

# GM 71261

Statutory report, summer 2018 fieldwork on the Troilus-Tortigny property

Documents complémentaires

*Additional Files*



Licence



*License*

Cette première page a été ajoutée  
au document et ne fait pas partie du  
rapport tel que soumis par les auteurs.

Énergie et Ressources  
naturelles

Québec 

# BEAUFIELD

---

## RESOURCES

**BEAUFIELD RESOURCES INC.**

**Statutory report**

**SUMMER 2018 FIELDWORK ON THE TROILUS-TORTIGNY PROPERTY**

JAMES-BAY, QUÉBEC, CANADA

Written by:

Hugues GUERIN-TREMBLAY, P.Geo

Pape D.-TAGUE, GIT

Mathieu STEPHENS, P. Geo

**November 5, 2018**

---

**Prepared by:**

LAURENTIA EXPLORATION INC.  
Geosciences & Exploration services company

**LAURENTIA**



**EXPLORATION**

---

## SUMMARY

With the assistance of Laurentia Exploration and Geologica Groupe Conseil, Beaufield Resources undertook a six-week surface exploration program of its Troilus-Tortigny property located in central Quebec, in the Mistissini/James Bay region. The program was conducted from July 2018 to August 2018 and panned several sectors of the large property.

The 803-claim, 42,419-hectare Troilus-Tortigny property is located approximately 125 km north of the town of Chibougamau, Quebec, Canada and is accessible year-round by the Route-du-Nord, a road that crosses the property, with several seasonal secondary logging roads allowing access to most of the claims using pickup trucks or all-terrain vehicles (ATV). A large portion of the property was acquired in May 2018 through map designation. The new 348 claims totalling 18,995 hectares constitutes ground that is underexplored, or in some case have had some level exploration without proper follow-up.

The Troilus-Tortigny property, located in the geological Superior Province, lies within the eastern part of the Opatica Sub province, in the Archean Frotet-Evans greenstone belt. The greenstone belt is bounded to the north, south and east by large tonalitic batholiths. It is composed of two Archean volcanic piles separated by a sedimentary basin. Beaufield's large property covers extensive ground, in several parts of the greenstone belt. Several mineralization genetic models are found in the Frotet-Evans greenstone belt. Some are clearly polymetallic though only gold or copper evidences are also present. These geological and metallogenic contexts give to the Troilus-Tortigny property potential for copper, zinc, silver and gold occurrences, and also Lithium bearing pegmatites.

The objective of the 2018 program was to conduct reconnaissance and surface exploration of select portions of the Property. Exploration grids were established over select targets in several parts of the Property. For the most part, the targets were geophysical in nature and obtained from various past surveys, including ground and airborne electromagnetic surveys and ground magnetic and induced polarization surveys. Other exploration targets consisted of areas known to contain gold or base metals occurrences, favorable geological contexts or geochemical anomalies (soil, till or bottom lake sediments).

A total of 51 grids were established for the field crew to investigate. 459 distinct outcrops were located, investigated and described by geologists and 232 samples were taken to be assayed for either base metals, lithium or whole rock

The program was successful in identifying several prospective areas worthy of follow-up exploration work. The work conducted also permitted the identification of the likely source of specific geophysical anomalies of certain areas.

## CONTENTS

Summary .....	ii
List of illustrations .....	v
List of tables .....	vi
1. Introduction .....	1
2. Property location and technical information.....	2
2.1. Location and accessibility .....	2
2.2. Claim status .....	2
2.3. Climate.....	2
2.4. Physiography .....	2
2.5. Infrastructures and local resources.....	3
3. Geological context and mineralization .....	6
3.1. Regional geology .....	6
3.2. Local geology .....	7
3.3. Deformation .....	9
3.4. Mineralization .....	9
4. History.....	11
5. Exploration.....	16
5.1. Prospection and sampling overview .....	16
5.2. Moblan Area.....	24
5.3. Chalonneau Area - Grids 1841 to 1844 .....	27
5.4. Lessard Area - Grid 1804 .....	27
5.5. Grid 1831.....	28
5.6. Crab Lake/Pearl Area.....	28
5.7. Oudiette Area .....	32
5.8. Boulder zone (Grids 1808, 1809, 1810, 1811, 1812, 1824, 1847, 1848 and 1849).....	32
5.9. Troilus Road South area .....	34
5.10. Troilus Road North area .....	34
5.11. Troilus Lake Area .....	35
5.12. Other Areas .....	38
5.13. Whole rock samples .....	40
5.14. Data validation .....	43
6. Interpretation.....	44

---

6.1. Moblan Area.....	44
6.2. Chalonneau Area .....	44
6.3. Lessard Area .....	45
6.4. Route du Nord - Grid 1831 .....	45
6.5. Crab Lake/Pearl Area.....	45
6.6. Oudiette Area .....	46
6.7. Boulder zone.....	46
6.8. Troilus Road South area .....	46
6.9. Troilus Road North area .....	46
6.10. Troilus Lake Area .....	47
6.11. Other Areas .....	47
7. Conclusions.....	48
8. References.....	49
APPENDICES.....	51
Appendix I : CDC maps and list	
Appendix II : Outcrop list	
Appendix III : Laboratories procedures	
Appendix IV : Au + base metals results (Au-AA23 + ME-ICP41)	
Appendix V : Lithium results (Li-OG63)	
Appendix VI : Geochemistry results (ME-XRF26)	
Appendix VII : Analyses certificates	
Appendix VIII : Certificate of qualification	

## LIST OF ILLUSTRATIONS

Figure 1 : Troilus property location .....	3
Figure 2 : Troilus-Tortigny property boundaries and hydrography.....	4
Figure 3 : Claims Royalties.....	5
Figure 4 : Regional geological map.....	6
Figure 5: Local Geology, Frotet-Troilus Belt. ....	7
Figure 6 : Prospective grids defined by Beaufield Resources Inc. prior to the field campaign .....	18
Figure 7 : Daily path for summer 2018 prospection.....	19
Figure 8 : Outcrops locations.....	20
Figure 9 : Au + Base metals sampling map.....	21
Figure 10: Map of lithium sample locations.....	22
Figure 11: Map of Whole Rock sample locations .....	23
Figure 12: Lithium mineralization.....	25
Figure 13: Lithium assay results and location .....	26
Figure 15: Rock classification chart of the Troilus-Tortigny property .....	41
Figure 16: AFM classification chart of Irvine and Baragar (1971) .....	42

## LIST OF TABLES

Table 1 : Historical work .....	12
Table 2 : Technical data for prospection .....	17
Table 3: Grid 1838 assays results .....	27
Table 4: Grids 1841 to 1844 assays results .....	27
Table 5: Grid 1804 assay results .....	28
Table 6: Grid 1831 assay results .....	28
Table 7: Grid 1805 assays results .....	29
Table 8: Grids 1825-1826 assay results .....	29
Table 9: Grid 1827-1828 assay results .....	30
Table 10: Grid 1833 assay results .....	30
Table 11: Grid 1839 assay results .....	31
Table 12: Grids 1801 and 1836 assay results .....	32
Table 13: Boulder zone assay results .....	33
Table 14: Grid 1813 assay results .....	34
Table 15: Grid 1840 assay results .....	35
Table 16: Grid 1845 assay results .....	36
Table 17: Grid 1816 assay results .....	36
Table 18: Grid 1817 assay results .....	37
Table 19: Grids 1845 and 1846 assay results .....	38
Table 20: Grid 1806 assay results .....	38
Table 21: Grids 1820, 1821, 1830 assay results .....	39
Table 22 : Major element composition (wt%) of basalt / andesites of TROILUS property .....	40

## 1. INTRODUCTION

This report describes the work completed by Beaufield Resources Inc. (“Beaufield”) during summer 2018 on its Troilus-Tortigny Property, Southern James-Bay, Québec. Work was conducted in July and August 2018 by Beaufield staff and two contractor firms (Laurentia Exploration Inc. (“Laurentia”) and Géologica Groupe Conseil Inc. (“Geologica”). The field campaign aims were:

1. Conduct surface prospecting over specific grids established during the compilation of historical data. Prospection tasks include rock and mineralization sampling, hand stripping and channeling;
2. Conduct geological mapping over the most prospective grids (i.e. Where potential for mineralization has been established);
3. Determine, when possible, the source of specific geochemical and/or geophysical anomalies;
4. Locate, sample and/or provide enhanced geological description of historical occurrences;

Laurentia Exploration has been contracted to produce the report of the 2018 field work. It relates the logistical aspects and geological context of the Troilus property, respectively in sections 2 and 3. Previous work done on the property are summarized in section 4. Section 5 explains the exploration strategy and how the field campaign was held. Results both from prospecting and till sampling are given in section 6. Finally, recommendations and conclusions are in section 7.



## 2. PROPERTY LOCATION AND TECHNICAL INFORMATION

### 2.1. Location and accessibility

The property is located approximately 125 km NORTH of the town of Chibougamau, Quebec, Canada (Figure 1). It is accessible year-round by road through the paved highway 167 to Mistissini for about 20 km, then by the gravel road "Route du Nord" which crosses most of the southern portion of the property. The old Troilus mine road and secondary logging roads allow access to most of the property using pickup trucks or all-terrain vehicles (ATV). A portion of the property can only be reached by helicopter or boat.

### 2.2. Claim status

The property is composed of 803 map designated claims (CDC) which are 100% owned by Beaufield Resources. Titles are both scattered or gathered in claim blocks and cover a total surface of 42,419 hectares. Most claims are over National Topographic Sheets (NTS) 32J/09, 32J/10, 32J/15; very few are located on 32O/02 and 32J/16 (Figure 2). Complete list of titles and relative information is available in Appendix I and II. Some claims have royalties, expressed in form of Net Smelter Return (NSR), in favour of Glencore, AMEX, Vale Mining and W. Holmstead which are summarized in Figure 3.

### 2.3. Climate

The climate data, compiled from The National Climate Data and Information Archive of Environment Canada for the Chibougamau-Chapais area, covers a period of approximately 20 years between November 1971 and March 1992. "Grass-root" exploration season extends from May to October, beyond this, snow should strongly be expected. The average daily temperature is slightly below freezing point at -1°C. The average temperature during July reaches +16°C with an average maximum temperature of +22°C and falls down to -20°C with an average minimum temperature of -26°C in January. Precipitation averages 80 mm of water monthly in the area. Average monthly precipitation ranges from 41 mm in February to 126 mm in September. Snow begins to fall in October and ends in April, with much of the accumulation occurring between November and March with an average snow falls of 46 cm for those five months. The anemometric data shows that the winds are predominantly WSW all year long with average velocity varying between 55 and 68 km/h (Environment Canada, 2018).

### 2.4. Physiography

Local topography consists in NORTHEAST trending drumlins, expressed as gently rolling hills and falling slopes (Auger & Brousseau, 2018). The forest which covers a large portion of Troilus property was subject to a forest fire about 35 years ago, leaving large open areas with abundant deadfalls. Outside the burned or logged area, the territory is covered by moderately dense spruce forest with occasional patches of birch and red pine. Lakes cover approximately 10% of the property.

## 2.5. Infrastructures and local resources

The Châtillon Camp is located on the property (Figure 2) and contains food and sleeping accommodations. The town of Chibougamau is the main communication and supply center for the area. Several government agencies and private businesses provide services to the mining and exploration sector and a long history of mining in the region has contributed to the development of a well-skilled work force. Commercial flights are scheduled on a weekly basis between Chibougamau and Montreal. A high voltage powerline goes NORTH to SOUTH through the eastern portion of the property (Figure 2).

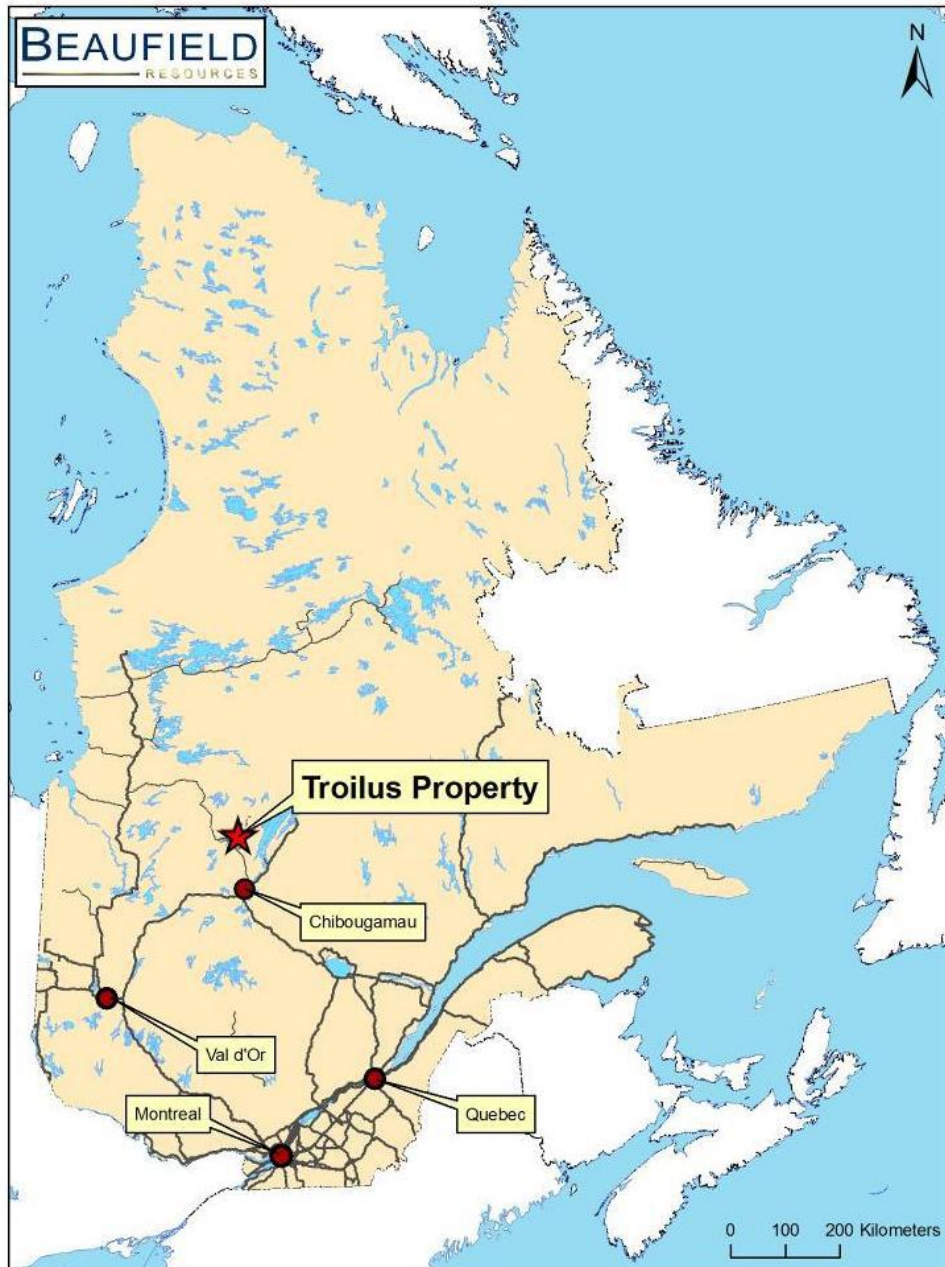


Figure 1 : Troilus property location

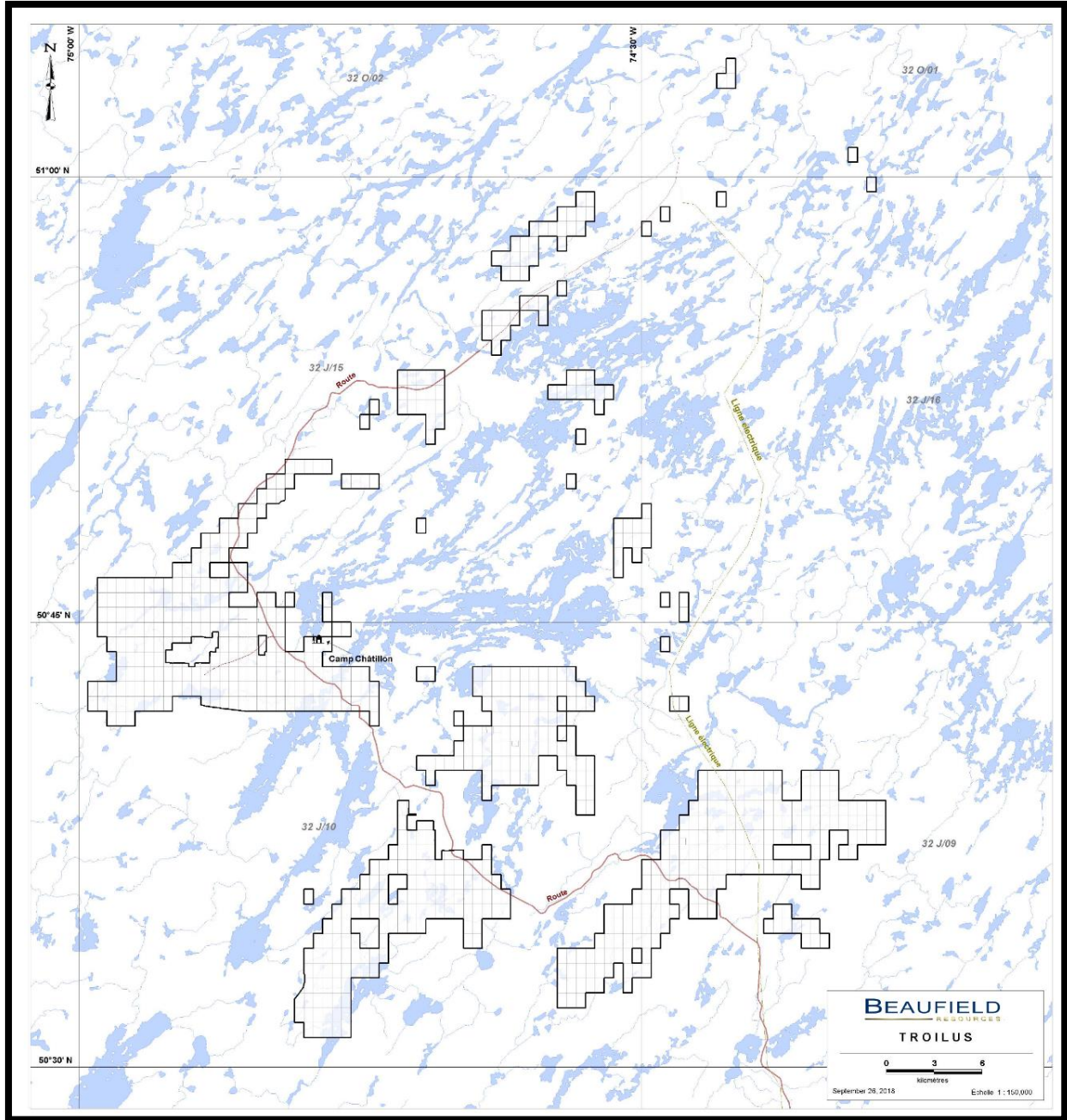


Figure 2 : Troilus-Tortigny property boundaries and hydrography



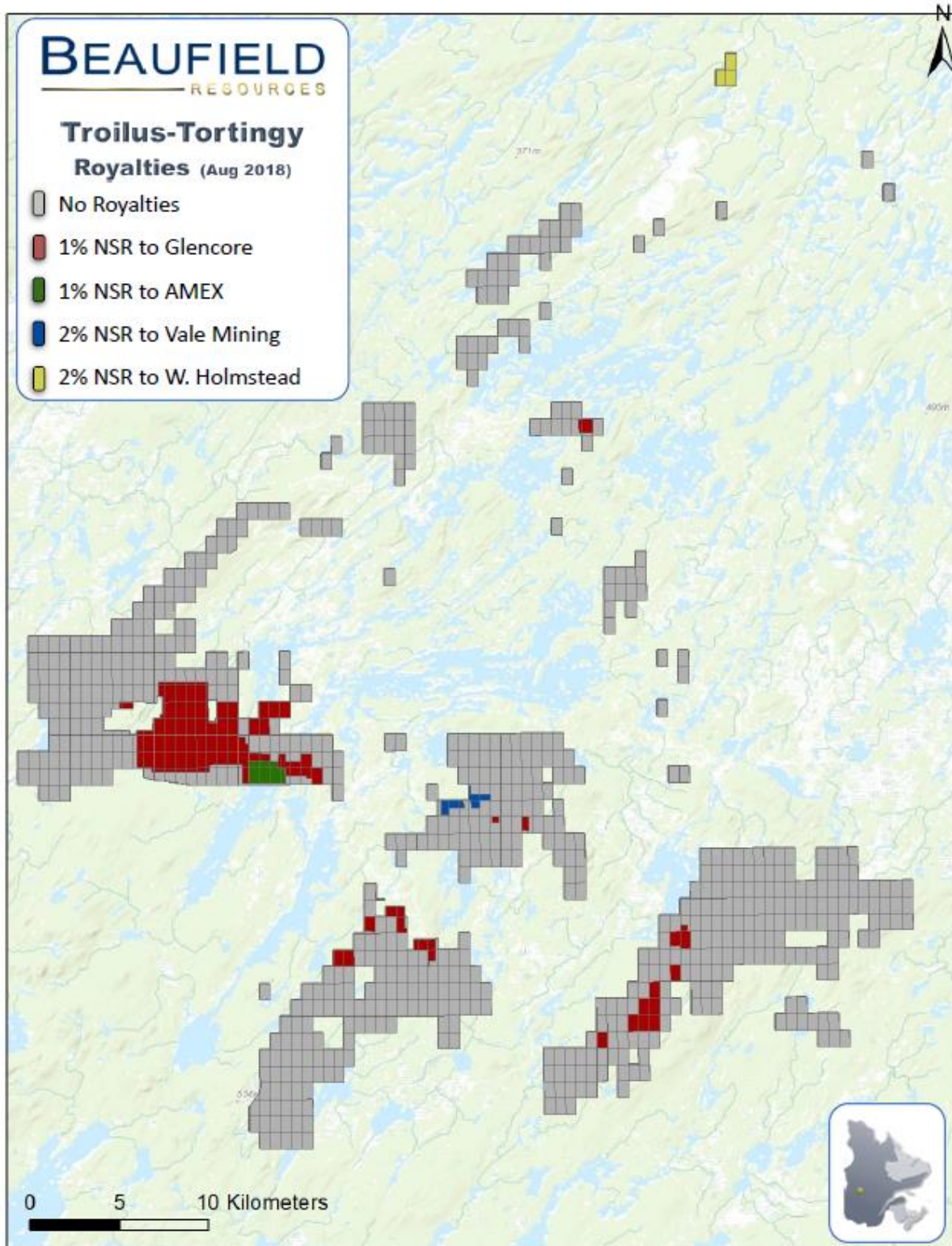


Figure 3 : Claims Royalties

### 3. GEOLOGICAL CONTEXT AND MINERALIZATION

#### 3.1. Regional geology

The area of study belongs to the Superior Province, which constitute the heart of the Canadian Shield. The Archean rocks from the Superior province are covered by Proterozoic sedimentary rocks of different age and Paleozoic rocks, mainly of Ordovicien and Silurien age. A synthesis on the Superior Province by Card (1990) and Hocq (1994) has divided the Province in 20 sub-provinces based on lithologies, metamorphism, structures, geochronology and geophysical data. Troilus property is part of the Opatoca sub-province, which is an Archean volcano-plutonic assemblage. It extends in the SOUTH to the limit with Abitibi greenstone belt, and in the NORTH until the limit of migmatized paragneiss, which constitute the majority of the Nemiscau sub-province.

The Frotet-Evans greenstone belt is a major component of the Opatoca sub-province and extends for about 250 km from Lac Mistassini to the Nottaway River. It is composed of two Archean volcanic piles separated by a sedimentary basin. Both volcanic piles consist of thick accumulations of submarine basalt and andesite interbedded with minor amounts of rhyolite, intermediate to felsic volcanoclastics, pyroclastics, siltstone, argillite and greywacke. The belt ranges from a few kilometres to 45 kilometres wide and is divided in four segments: 1) Evans-Ouagama, 2) Storm-Evans, 3) Assinica and 4) Frotet-Troilus. This very last one segment is detailed in section “3.2 Local geology” below.

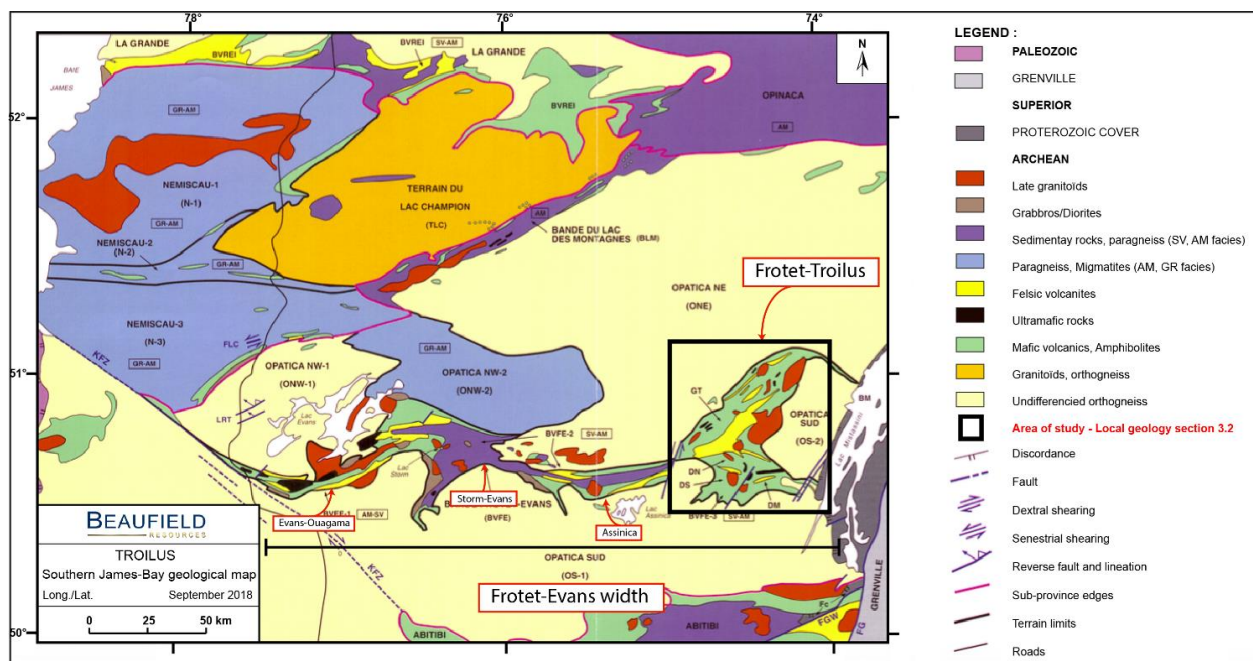


Figure 4 : Regional geological map (Southern James-Bay, modified from Amvratcev, 1985)

### 3.2. Local geology

The prospection area is located in the Frotet-Troilus segment (Figure 5). Different kinds of rocks, with different composition, texture/structure, facies can be found in this area. Lithologies encountered in the Troilus property are generally felsic to mafic volcanic rocks (felsic to intermediate tuff, numerous volcanics through mafic to intermediate with a bunch of different texture, andesite and basalt to amphibolite) and sediments. The volcanic sequence mainly comprises massive flows of basalts/andesite; thick sequences of massive flows, pillowed flows massive and deformed, and texture of consolidated lavas. The sediments sequence can be composed of mudstone, graphitic mudstone, siltstone, wacke, and paragneiss.

Based on the work compilation of many authors in the sector (Gosselin, 1995, 1996; Beaugard and Gaudreault, 2005; Stephens and Rivard, 2013; Auger and Brousseau, 2018), the Frotet-Troilus greenstone belt can be divided into four structural and lithostratigraphic domains or volcanic cycles that are separated by major regional faults and bounded on all sides by granodioritic to tonalitic intrusions (Figure 5).

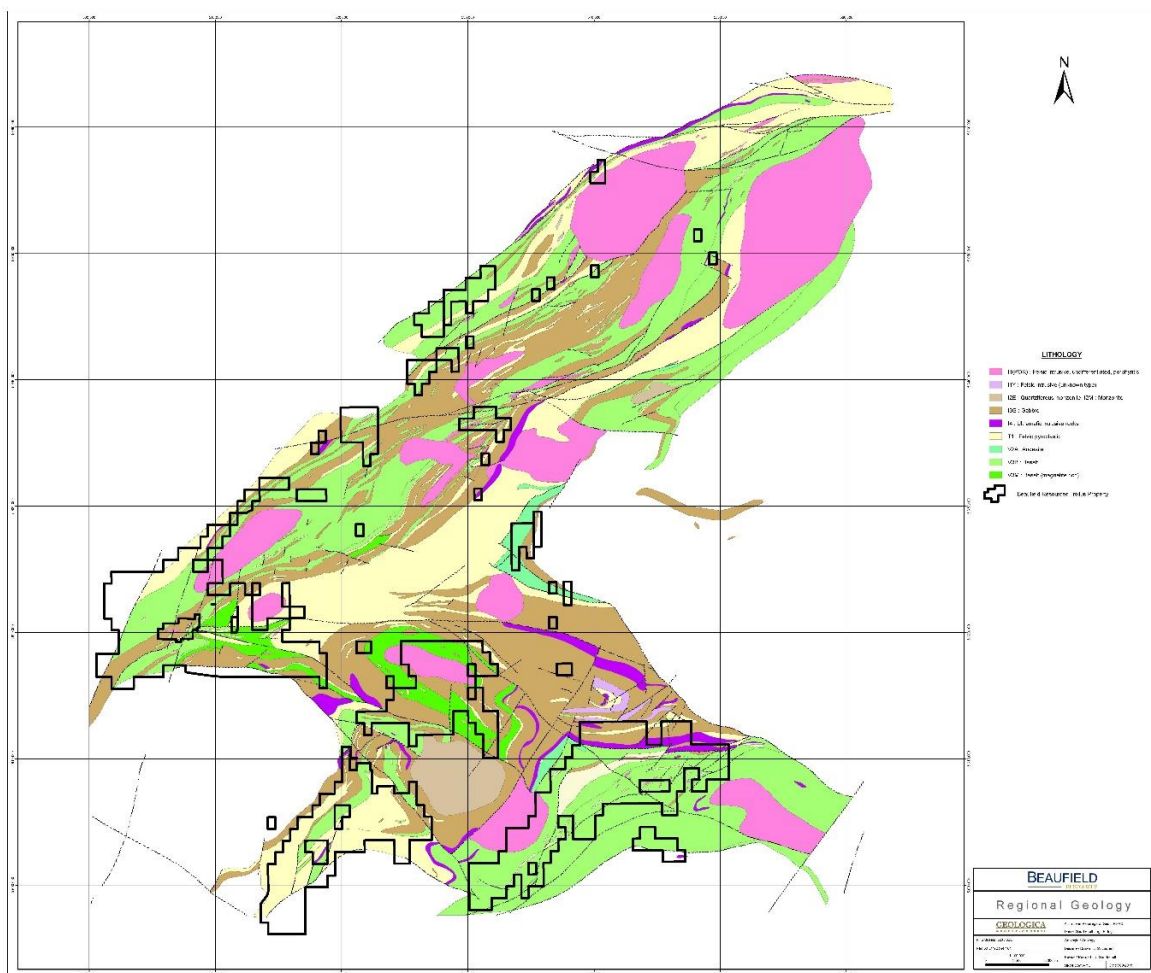


Figure 5: Local Geology, Frotet-Troilus Belt.



### **3.2.1. Cycle I**

Cycle I corresponds to tholeiitic volcanism of the De Maurès, La Fourche and Dompierre Formations. Lower basalt members of Cycle I consist of primitive magnesium-rich basalts, whereas higher members display iron enrichment typical of more evolved magmas, and characteristic of the Dompierre Formation (Gosselin, 1996). The volcanogenic mineralization encountered in these formations are hosted in sedimentary and/or pyroclastic levels within the volcanic pile. They are generally rich in iron sulphides (pyrrhotite-pyrite).

### **3.2.2. Cycle II**

The pyroclastic calc-alkaline units of the Frotet Formation and a part of the Odon Formation represent Cycle II. The Frotet Formation is composed of block tuffs, crystal tuffs and leucocratic ash tuffs with minor quantities of fine grain sedimentary rocks and felsic to intermediate lavas. The Odon formation consists of variolitic magnesian basalts and calc-alkaline andesites. Units of calc-alkaline, amygdaloidal, andesite are observed at the top of the De Maurès formation.

### **3.2.3. Cycle III**

Cycle III corresponds to transitional tholeiitic-calc-alkaline lavas, and is represented by the Châtillon, Parker, Domergue-Sud and Mesièrè Formations. The Chatillon Formation also hosts primitive komatiitic basalts with micro-spinifex, variolitic, pillowed, massive, and breccia textures. Some levels of tuff (ash and lapilli) and sedimentary rocks (argillite and graphitic argillite) are also present. The Parker Formation consists of gabbros and basalts and/or andesites with some volcanoclastic horizons. The presence of garnets and levels of felsic tuff dominate the upper members of this formation. The Domergue-Sud Formation corresponds with magnesian basalts of the Domergue-Sud Complex described by Simard (1987) and include some levels of pillowed andesites and crystal to block tuffs. The Mesièrè Formation consists of mostly massive to pillow basalts with rare felsic to intermediate tuffaceous horizons. Volcanogenic mineralizations encountered in these formations are mainly associated with the Châtillon Formation (e.g. Tortigny deposit and TSW Showing).

### **3.2.4. Cycle IV**

Cycle IV is dominated by magnesian basalts of the “Domergue-Nord Complex” and included in the Domergue-Nord Formation. Horizons of sedimentary and pyroclastic rocks are interstratified within basalts. The Oudiette Formation consisting of pillowed basalts of tholeiitic affinity are considered part of this cycle.

### **3.2.5. Intrusions and metamorphism**

Several intrusive rocks occur in the Frotet-Troilus volcano-sedimentary sequences with variable composition from tonalitic to ultramafic with some pyroxenite and peridotite intrusions mostly in the southern part of this sequence. The most important intrusions are the North Troilus Lake pluton, the Parker Lake pluton and the Domergue pluton. Pegmatite is a common rock found mostly at the Moblan deposit. The intrusive rocks are generally massive (can be sometime foliated), homogeneous, and medium to coarse grain. The volcano-sedimentary assemblages are metamorphosed at the greenschist facies in

the center of the belt. The metamorphic level rises to the upper-amphibolite facies close to the contact with the Opatica gneiss.

### **3.3. Deformation**

The majority of the rocks in the region were deformed during the Kenorean orogeny which happened between 2.72 and 2.68 Ga (Percival, 2007; Percival and al., 2012). During that orogenic phase, the sub-provinces of the Superior were successively amalgamated one to another following the southern border of a cratonic nucleus (Percival et al., 2012). That accretionary tectonic NORTH-SOUTH would be responsible of the mean structural trend EAST-WEST observed in each Archean sub-provinces in the SOUTH of Québec.

According to Sawyer and Benn (1993) there are three successive deformations phases observed in the area of study (Opatica sub-province). The first phase D1 is characterized by a penetrative foliation S1 at a regional scale and a generally moderate dip. The fabric associated with the deformation phase D1, mostly observed in the tonalitic gneiss and in the intrusive rocks of felsic, mafic to intermediate composition, would highlight an episode of high temperature shear deformation of the middle crust, and contemporary overlap in the SOUTH-WEST of the volcanic and sedimentary assemblage of the Frotet-Evans greenstone belt.

The foliation S1 was refolded at different scale during the second deformation phase D2. To the contrary of D1, the D2 phase is more localized, following the corridors of strong strain with a global orientation EAST-WEST in which a foliation S2 with moderate dip can be observed. According to Sawyer et Benn (1993), the areas of deformation D2 plunge to the NORTH or to the SOUTH. Finally, the last deformation phase D3 is expressed along shear zones with sinistral and dextral strike-slip kinematics, and oriented respectively NE-SW and NW-SE.

### **3.4. Mineralization**

Several mineralization genetic models are located in the Frotet-Evans greenstone belt. Most are clearly polymetallic though only gold or copper evidences are also present. These geological and metallogenic contexts give to the Troilus-Tortigny property potential for copper, zinc, silver and gold occurrences (Frappier-Rivard and Larderaz, 2012). Examples of such potential are listed in section “4. History” as different types of historical showings. Four principal genetic models are documented on the property and its surroundings:

- 1) Volcanogenic Massive Sulphides (VMS);
- 2) Archean Cu-Au Porphyry;
- 3) Ni-Cu Sulphides;
- 4) Li-rich pegmatites



### **3.4.1. Volcanogenic Massive Sulfides (VMS)**

VMS deposits are typically Cu-Zn±Au±Ag±Pb deposits commonly found in Archean meta-volcanic terranes such as the Abitibi or the Frotet-Evans belt and is arguably the most represented mineralization type of the Troilus Belt. They form on or within the volcanic seafloor in association with discharge fault zones of subseafloor convecting hydrothermal cells (Franklin et al., 2005). Mineralization can be stratabound or discordant massive sulphide lenses and/or associated stockwerks.

On the Troilus-Tortigny property, the Tortigny deposit is one good example of VMS mineralization. Sulphide lenses occur in pelitic meta-sediments in near contact with tholeiitic-transitional mafic basalts. Measured and indicated resources are 1 098 000 tonnes at 1.78% Cu, 3.65% Zn, 48.51 g/t Ag and 0.35 g/t Au (Ilieva et al., 2014). These resources are contained in discontinuous semi-massive to massive zoned sulphides lenses as well as in larger lateral extent disseminated horizons. Some other VMS type occurrences are Lac Coulombe, Baie Moléon, Lessard, Diléo and De Maurès.

### **3.4.2. Archean Cu-Au Porphyry**

There is also excellent potential for Copper-Gold porphyry type mineralization in the area, since the old Troilus mine belongs to this genetic model. The open-pit Troilus mine has produced more than two million ounces of gold and almost 70 000 tons of copper over thirteen years (1997-2010) and there is potential do restart operations an underground operation in the future.

Copper-Gold porphyry are hydrothermal deposits are that form at depth within a subduction related magmatism setting. During fractionation, initially volatile rich calc-alkaline magma gets oversaturated in volatiles and frees a hydrothermal fluid. Such fluid is responsible for the formation of stockworks, large zoned alteration halos rich in copper (± gold) sulfide disseminations (Sinclair, 2007). At Troilus Mine, Chalcopyrite, Pyrite and Pyrrhotite disseminated mineralization is hosted in quartz-chlorite breccias and vein swarms. These ore shoots are mostly contained at Troilus Diorite margins and in associated porphyritic felsic dykes (Zones Z87 and J4, Troilus Gold, 2018b).

### **3.4.3. Ni-Cu Sulphides**

Ni-Cu sulphides are magmatic deposits that form in association with syn-volcanic ultramafic flows or mafic to ultramafic intrusions. Sulphur saturation in the magma is responsible for sulphide precipitation and accumulation, and can be caused by various processes, crustal sulphur contamination from surrounding sediments being one (Eckstrand and Hulbert, 2007). Several Ni-Cu showings are known to occur in the Troilus belts, most notably the Odon showing (Soquem), located in its eastern portion of the belt.

### **3.4.4. Li-rich pegmatites**

Lithium bearing pegmatites are known to occur within or near the property, mostly within the adjacent Moblan Deposit being the best example of such occurrences. Mineralization consist of spodumene crystals in large (decametric) pegmatites intrusions. Volatile rich granitic magmas fractionate to an undercooling point where only hydrated and light element-rich minerals remain and grow (London, 2008). This type of mineralization can be substantial sources of lithium as well as some other rare metals. Moblan is owned 60% by Lithium Guo Ao Limited and 40% by SOQUEM Inc (SIGÉOM, 2018). Perilya

Limited's press release in 2011 states 14.25 Million tons at 1.41% Li<sub>2</sub>O (Perilya, 2011). The main showing is a major 40 meters large pegmatite dykes EAST-WEST on 700 meters and dipping 35 degrees NORTH. It takes place in the hinge of Frotet Anticline.

## 4. HISTORY

Since 1957, a broad range of exploration work were performed on the Troilus property area. Those historical work were recently listed and resumed in Ilieva et al. (2014) and in Auger and Brousseau (2018). This very last report conducted by InnovExplo Inc. consists in a compilation of all work and results done until March 2018 on the Beaufield Resources property. Most of the following statements are thus from the InnovExplo compilation report (Auger and Brousseau, 2018) and references herein.

In 1957, it was the discovery of a Cu-Ni rich bolder in the region which led to an intensive staking of the Frotet-Evans greenstone belt followed by ground and airborne magnetic/EM surveys as well as field exploration were undertaken mostly for gold and copper-gold potential. Nonetheless, during early 1960s, several base metals and/or gold occurrences were found while drill testing MAG/EM anomalies revealed by late 1950s surveys. These discoveries include showings Baie Moléon, Diléo (0.50 m @ 3.70% Cu, 6.20% Zn) and Lac Coulombe (4.90 m @ 1.00% Cu, 2.19% Zn) (Dessureault, 1998; Ilieva et al., 2014).

First sub-economic potential of the region waited for 1970 with Lessard mineralization exposure. It was followed by various exploration strategies in the 1970s by SELCO Mining Corporation Limited, SDBJ, Shell Canada Limited, Muscocho EXPLS Limited and the Québec Government. The 2 000 000 Oz gold plus 70 000 tonnes copper Troilus deposit and so-named mine was discovered in 1987 after almost 4 000 meters drilling campaign this year.

Late 1980s and early 1990s exploration works led to the highlighting of several gold rich volcanogenic occurrences, including the Inco VMS Boulder (3.0% Cu, 2.7% Zn, 8.0 g/t Au) and showing. The Tortigny polymetallic deposit was found by Noranda in 1994. Troilus Mine construction started in 1996. The same year, SOQUEM Inc. crosscut the De Maures mineralization (9.10 m @ 1.3% Cu, 10.0% Zn, 24.0 g/t Ag).

From late 1990s to 2008, Falconbridge et SOQUEM Inc. were the two most active companies on the whole area and conducted a range of exploration surveys (from ground field work, to soil sampling and airborne geophysics). About 30 to 40 holes were drilled based on these exploration technics. Knowledge as well as best intersections on the 1960s showings were thus updated. From Mid-2000s to 2012, Beaufield Resources performed various work and drilling campaigns notably on the Tortigny VMS deposit. In 2015, First Quantum Minerals Limited realized flown gradiometric and VTEM surveys over the Troilus Mine.

More detailed information about type or work, exploration strategies, and chronology is available in "section 5. HISTORY" of Auger and Brousseau (2018), and from which Table 1 below is derived.

Table 1 : Historical work (modified from Auger and Brousseau, 2018)

Year	Work	Owner / Company	Reference
1959	DRILLING	DAUPHIN IRON MINES LTD	GM 10636-B
1959	AIRBORNE EM, AIRBORNE MAGNETIC FIELD	RANWORTH EXPLORATIONS LTD	GM 09299
1959	GROUND EM, GROUND MAGNETIC FIELD	DAUPHIN IRON MINES LTD	GM 10636-A
1960	GROUND EM, GROUND MAGNETIC FIELD	CLAIMS BLANCHARD, CLAIMS DESBIENS	GM 10783
1962	DRILLING	MINING CORP OF CANADA LTD	GM 13435
1963	DRILLING	MINING CORP OF CANADA LTD	GM 13435
1963	STREAM SAMPLING	MRN	DP 385
1966	DRILLING	TROILUS MINES LTD	GM 20679
1967	DRILLING	ROSARIO EXPL CO., TROILUS MINES LTD	GM 21555
1967	DRILLING	TROILUS MINES LTD	GM 21814
1967	GROUND MAGNETIC FIELD	CLAIMS BOUCHARD, CLAIMS CHABOT	GM 19256
1967	GROUND MAGNETIC	TROILUS MINES LTD	GM 19257
1967	GROUND MAGNETIC FIELD	TROILUS MINES LTD	GM 19258
1967	GROUND EM, GROUND MAGNETIC FIELD	TROILUS MINES LTD	GM 19259
1967	GROUND MAGNETIC FIELD	TROILUS MINES LTD	GM 20675
1967	SELF-POTENTIAL SURVEY, GROUND EM	ROSARIO EXPL CO , TROILUS MINES LTD	GM 21562
1967	GROUND EM	ROSARIO EXPL CO , TROILUS MINES LTD	GM 21563
1967	GROUND EM	ROSARIO EXPL CO	GM 21593
1968	GROUND MAGNETIC	ROSARIO EXPL CO	GM 23177
1970	IP	ARROW INTER-AMERICA CORP, CLAIMS WHITING	GM 26652
1971	AIRBORNE MAGNETIC FIELD	CLAIMS CHEVALIER, CLAIMS WAPACHEE	GM 27094
1972	GROUND EM, GROUND MAGNETIC FIELD	SELCO EXPL CO LTD	GM 27890
1972	GROUND EM, GROUND MAGNETIC FIELD	SELCO MINING CORP LTD	GM 27999
1972	GROUND EM, GROUND MAGNETIC FIELD	SELCO MINING CORP LTD	GM 28281
1972	GROUND EM, GROUND MAGNETIC FIELD	SELCO MINING CORP LTD	GM 28285
1973	DRILLING	SELCO MINING CORP LTD	GM 28974
1973	DRILLING	SDBJ, SELCO MINING CORP LTD	GM 34060
1973	GROUND EM, GROUND MAGNETIC FIELD	SELCO MINING CORP LTD	GM 28306
1973	GROUND EM, GROUND MAGNETIC FIELD	SELCO MINING CORP LTD	GM 28308
1974	GROUND EM, GROUND MAGNETIC FIELD	SELCO MINING CORP LTD	GM 30163

1974	GROUND EM, GROUND MAGNETIC FIELD	RIO TINTO CANADIAN EXPL LTD	GM 30657
1974	GROUND EM, GROUND MAGNETIC FIELD	SDBJ, SELCO MINING CORP LTD	GM 34060
1975	DRILLING	SDBJ, SELCO MINING CORP LTD	GM 34061
1976	LAKE SAMPLING	MRN	GM 34038, GM 34045, GM 34085, GM 34047, DP-98-02, GM 38181, GM 34173, GM 34172, GM 38000, GM 34171, GM 34043, GM 34039, GM 34041, GM 34042
1978	SHELL CANADA LTD	SHELL CANADA LTD	GM 39045
1978	GROUND EM	MUSCOCHO EXPLS LTD	GM 33821
1980	DRILLING	MUSCOCHO EXPLS LTD, TROILUS MINES LTD	GM 36745
1980	DRILLING	MUSCOCHO EXPLS LTD	GM 38224
1980	STREAM SAMPLING	MRN	MB 85-55, MB 84-18
1981	DRILLING	MUSCOCHO EXPLS LTD	GM 38224
1981	SOIL SAMPLING	MRN	DP-98-02, MB 85-44, DP-82-03, GM 40087
1981	STREAM SAMPLING	MRN	MB 84-18
1982	DRILLING	MER	GM 40438
1982	SOIL SAMPLING	MRN	DP-98-02, MB 84-19
1982	STREAM SAMPLING	MRN	MB 84-18
1982	ROCK GEOCHEMISTRY	MRN	GM 40087
1982	IP, GROUND EM, GRAVIMETRY	MER	GM 40087
1983	SOIL SAMPLING	MRN	DP-98-02, MB 84-19
1983	STREAM SAMPLING	MRN	MB 84-18
1984	DRILLING	CIE DES PÉTROLES AMOCO CANADA	GM 41227
1986	DRILLING EXPLORATION	KERR ADDISON INC	GM 45114
1986	ROCK GEOCHEMISTRY	SIMARD	MONTRÉAL
1986	GROUND EM, GROUND MAGNETIC FIELD	EXPLORATION KERR ADDISON INC	GM 44539
1986	GROUND EM, GROUND GRADIOMETRY, GROUND MAGNETIC FIELD	EXPLORATION KERR ADDISON INC	GM 44815
1987	DRILLING	EXPLORATION KERR ADDISON INC	GM 46338
1987	DRILLING	MUSCOCHO EXPLS LTD	GM 47326

1987	DRILLING	MUSCOCHO EXPLS LTD	GM 47341
1987	GROUND GRADIOMETRY, GROUND MAGNETIC FIELD, GROUND VLF	FLANAGAN, MCADAM & CO	GM 44519
1987	AIRBORNE MAGNETIC FIELD, AIRBORNE VLF	CLAIMS GUNNER	GM 44897
1987	GROUND MAGNETIC, GROUND VLF	CLAIMS WAPACHEE, MUSCOCHO EXPLS LTD	GM 45003
1987	GROUND EM, GROUND MAGNETIC FIELD	EXPLORATION KERR ADDISON INC	GM 46350
1988	DRILLING	FLANAGAN, MCADAM & CO	GM 48341
1988	DRILLING	MUSCOCHO EXPLS LTD	GM 48345
1988	ROCK GEOCHEMISTRY	EXPLORATION KERR ADDISON INC	GM 46338
1988	GROUND EM, GROUND MAGNETIC FIELD	EXPLORATION KERR ADDISON INC	GM 46970
1989	AIRBORNE EM, AIRBORNE GRADIOMETRY, AIRBORNE MAGNETIC FIELD, AIRBORNE VLF	CANADIAN PATRICIA EXPL LTD, CLAIMS JONES	GM 49439
1989	AIRBORNE EM, AIRBORNE GRADIOMETRY, AIRBORNE MAGNETIC FIELD, AIRBORNE VLF	CANADIAN PATRICIA EXPL LTD, CLAIMS JONES	GM 49440
1989	AIRBORNE EM, AIRBORNE GRADIOMETRY, AIRBORNE MAGNETIC FIELD, AIRBORNE VLF	CANADIAN PATRICIA EXPL LTD, CLAIMS JONES	GM 49441
1992	ROCK GEOCHEMISTRY	MINNOVA INC	GM 52300
1993	ROCK GEOCHEMISTRY	CORPORATION MINIÈRE METALL	GM 52290
1993	ROCK GEOCHEMISTRY	MINNOVA INC	GM 52167
1993	ROCK GEOCHEMISTRY	MINES ET EXPLORATION NORANDA INC	GM 52272
1993	GROUND EM	MINNOVA INC	GM 52167
1993	HORIZONTAL LOOP EM, GROUND MAGNETIC FIELD	NORANDA LTÉE	GM 52250
1993	HORIZONTAL LOOP EM, GROUND MAGNETIC FIELD	EXPLORATIONS NORANDA LTÉE	GM 52272
1993	GROUND MAGNETIC, GROUND VLF	CLAIMS ATKINS	GM 52338
1994	DRILLING	MINES ET EXPLORATION NORANDA INC	GM 53927
1994	IP, HORIZONTAL LOOP EM, GROUND MAGNETIC FIELD	EXPLORATIONS NORANDA LTÉE	GM 52555
1994	IP	CORPORATION MINIÈRE METALL	GM 52878
1994	GROUND EM	CORPORATION MINIÈRE METALL, EXPLORATIONS MUSCOCHO LTÉE	GM 52922
1994	IP	CORPORATION MINIÈRE METALL	GM 53535
1995	DRILLING	MINES ET EXPLORATION NORANDA INC	GM 53927
1995	ROCK GEOCHEMISTRY	CORPORATION MINIÈRE INMET, EXPLORATIONS MUSCOCHO LTÉE	GM 53729
1995	ROCK GEOCHEMISTRY	MINES ET EXPLORATION NORANDA INC	GM 53927
1995	IP, GROUND EM, GROUND MAGNETIC FIELD	MINES ET EXPLORATION NORANDA INC	GM 53520

1995	GROUND EM	MINES ET EXPLORATION NORANDA INC	GM 53526
1995	GROUND MAGNETIC	MINES ET EXPLORATION NORANDA INC	GM 53527
1995	BOREHOLE EM	CORPORATION MINIÈRE INMET-DIVISION EXPLORATION	GM 53904
1995	BOREHOLE EM, GROUND EM	MINES ET EXPLORATION NORANDA INC	GM 53926
1995	BOREHOLE EM, GROUND EM, GROUND MAGNETIC FIELD	MINES ET EXPLORATION NORANDA INC	GM 53927
1996	DRILLING	CORPORATION MINIÈRE INMET, EXPLORATIONS MUSCOCHO LTÉE	GM 54149
1996	DRILLING	CORPORATION MINIÈRE INMET	GM 54596
1996	DRILLING	MINES ET EXPLORATION NORANDA INC	GM 54604
1996	ROCK GEOCHEMISTRY	CORPORATION MINIÈRE INMET	GM 54149
1996	IP	CORPORATION MINIÈRE INMET	GM 54197
1996	BOREHOLE EM	CORPORATION MINIÈRE INMET	GM 54596
1997	DRILLING	CORPORATION MINIÈRE INMET	GM 56183
1997	DRILLING	CORPORATION MINIÈRE INMET	GM 56326
1997	BOREHOLE EM	MINES ET EXPLORATION NORANDA INC	GM 54604
1998	HORIZONTAL LOOP EM, GROUND MAGNETIC FIELD	SOQUEM INC	GM 56563
1999	IP	SOQUEM INC	GM 56502
1999	GROUND EM, GROUND MAGNETIC FIELD	SOQUEM INC	GM 56564
1999	AIRBORNE MAGNETIC FIELD, AIRBORNE RADIOMETRY	CORPORATION MINIÈRE INMET	GM 59389
2001	ROCK GEOCHEMISTRY	SOQUEM INC	GM 59797
2002	IP, GROUND MAGNETIC FIELD	SOQUEM INC	GM 59411
2004	IP, GROUND MAGNETIC FIELD	SOQUEM INC	GM 61201
2005	DRILLING	SOQUEM INC	GM 62264
2005	ROCK GEOCHEMISTRY	SOQUEM INC	GM 62264, GM 62265
2005	IP, RESISTIVITY, GROUND MAGNETIC FIELD	SOQUEM INC	GM 61523
2005	IP	SOQUEM INC	GM 62264
2006	ROCK GEOCHEMISTRY	FALCONBRIDGE	GM 62463
2006	VTEM, GROUND EM	FALCONBRIDGE	GM 62463
2006	IP, RESISTIVITY	SOQUEM INC	GM 62794
2007	IP	SOQUEM INC	GM 64208
2008	DRILLING	RESSOURCES UNIFIÉES BEAUFIELD INC	GM 64998
2008	HORIZONTAL LOOP EM	RESSOURCES UNIFIÉES BEAUFIELD INC	GM 64513
2009	IP	SOQUEM INC	GM 64207
2009	GROUND MAGNETIC	RESSOURCES UNIFIÉES BEAUFIELD INC	GM 64512
2011	SOIL SAMPLING	BEAUFIELD RESOURCES	GM 67268
2012	HORIZONTAL LOOP EM, GROUND EM	RESSOURCES UNIFIÉES BEAUFIELD INC	GM 67268



2015	AIRBORNE GRADIOMETRY	FIRST QUANTUM MINERALS LTD	GM 68999
2015	AIRBORNE GRADIOMETRY, VTEM	FIRST QUANTUM MINERALS LTD	GM 69000

## 5. EXPLORATION

Summer 2018 work on the Troilus-Tortigny property was conducted in two parts. First from July 4<sup>th</sup> to July 25<sup>th</sup> and the second from August 7<sup>th</sup> to August 30<sup>th</sup>, totalizing 44 days of fieldwork, including mobilization. The field crew resided locally at the Châtillon forest camp and also at the Troilus Mine camp in order to be more proximal to the areas of interest and reduced transportation costs. The field team was composed of two geologists in training (GIT) from Laurentia Exploration Inc. (Jean Bernard, GIT; Pape Doudou Tague, GIT), two helpers (Émile Beauregard and Francis Marleau from Géologica) and four technicians/prospectors (Marc Pronovost, Nathalie Dion, Aldo Racine and Claude Ayotte from Beaufield Resources). Supervision was done by Mathieu Stephens (P. Geo, Vice President Exploration of Beaufield).

Summer 2018 campaign aims were:

- 1) Conduct surface prospecting over specific grids established during the compilation of historical data. Prospection tasks include rock and mineralization sampling, hand stripping and channeling;
- 2) Conduct geological mapping over the most prospective grids (i.e. Where potential for mineralization has been established);
- 3) Determine, when possible, the source of specific geochemical and/or geophysical anomalies;
- 4) Locate, sample and/or provide enhanced geological description of historical occurrences;
- 5) Conduct till sampling down-ice of key targets, that could not be explained from surface prospecting due to lack of bedrock exposure.

The following sections describe how the field team proceeded for each aspect above. Results from these methodologies are given in section “6. Results”.

### 5.1. Prospection and sampling overview

Several exploration grids were designed by Beaufield Resources based on available historical data prior to the campaign starting, which are for the most part, rectangular shaped kilometeric areas. They correspond to a combination of interests which can be related to geological aspect, geophysical anomalies and/or historical showings. A total of 51 grids were generated. Figure 6 presents the location of each grid. Once the priority grids are defined by the supervisor, the geologist on the field can plan their daily exploration paths to best cover the grid (Figure 7) based on access, relief, hydrography and potential for outcropping.

118 daily exploration paths have been walked during the summer, either by the geologists, helpers and technicians/prospectors. The majority of the grids were accessible by pick-up truck using forestry or Hydro-Québec roads. ATV and boats were used to access more remote areas lacking road access. Two Beepmats (GDD Instrumentation) were used by the technicians/prospectors to reveal shallow conductors

or magnetic anomalies which were for the most part, subsequently investigated by geologists. 452 outcrops were described (Figure 8 and Appendix II) and 227 samples were taken for assaying, which are:

- 1) 200 samples for gold and base metals (Figure 9);
- 2) 4 samples for Lithium (Figure 10);
- 3) 23 samples for Geochemistry (Whole Rock Chemistry, Figure 11).

Among the 227 samples, 224 are grab samples and 6 are from a channel (rock saw samples). Appendix III gives the technical information from the laboratory about the analyses. Table 2 resumes the important numbers for the prospection objective:

*Table 2 : Technical data for prospection*

Number of daily paths	118
Number of outcrops	452
Total number of rock samples	227
Number of Au + base metals samples	200
Number of Lithium samples	4
Number of Whole Rock samples	23
Number of stripping/ channeling	1

A brief description of each of the areas targeted with best results is given further below. Due to time constraints, updated geological maps with the newly obtained could not be produced for this report, but are planned to be done in the near future.



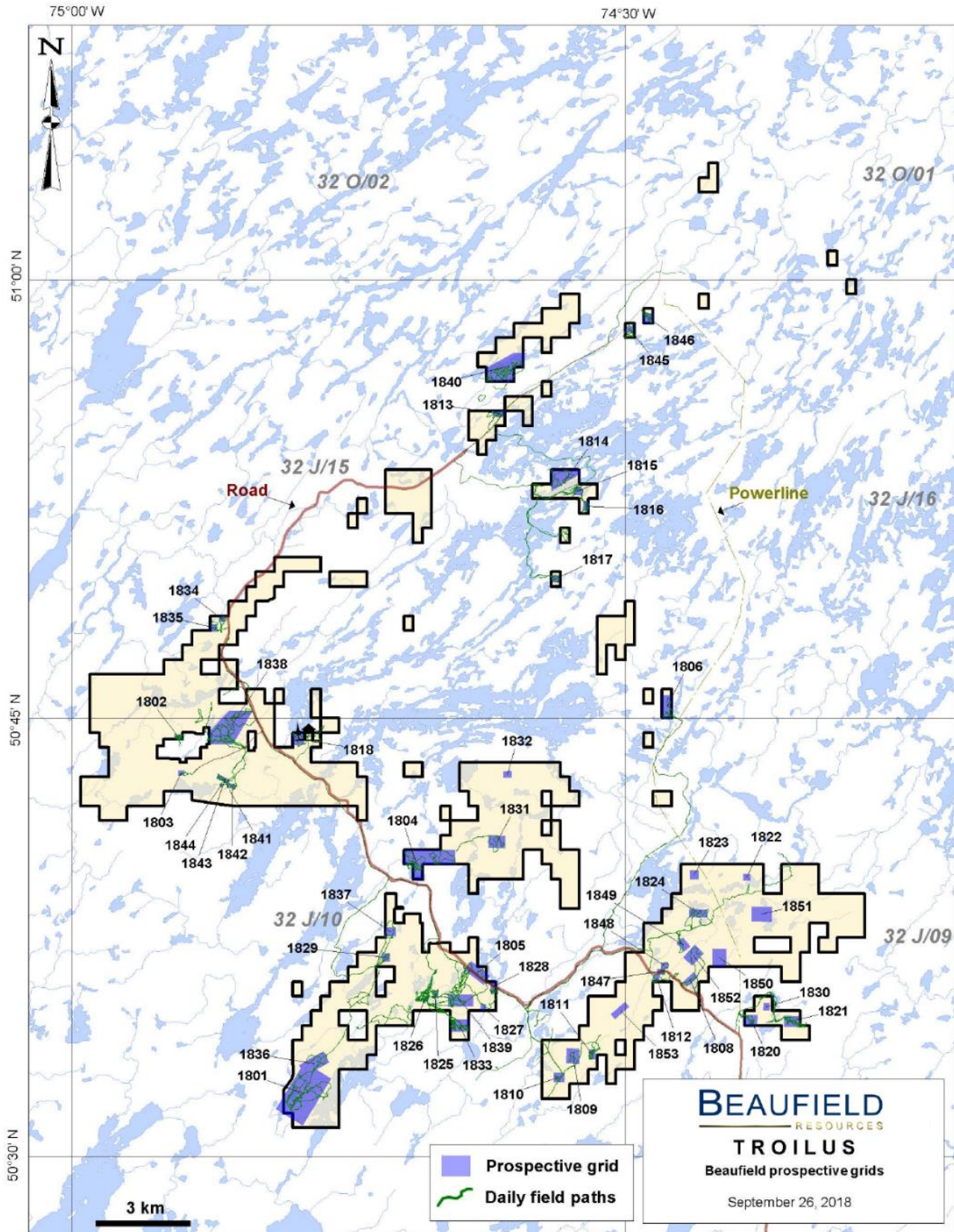


Figure 6 : Prospective grids defined by Beaufield Resources Inc. prior to the field campaign



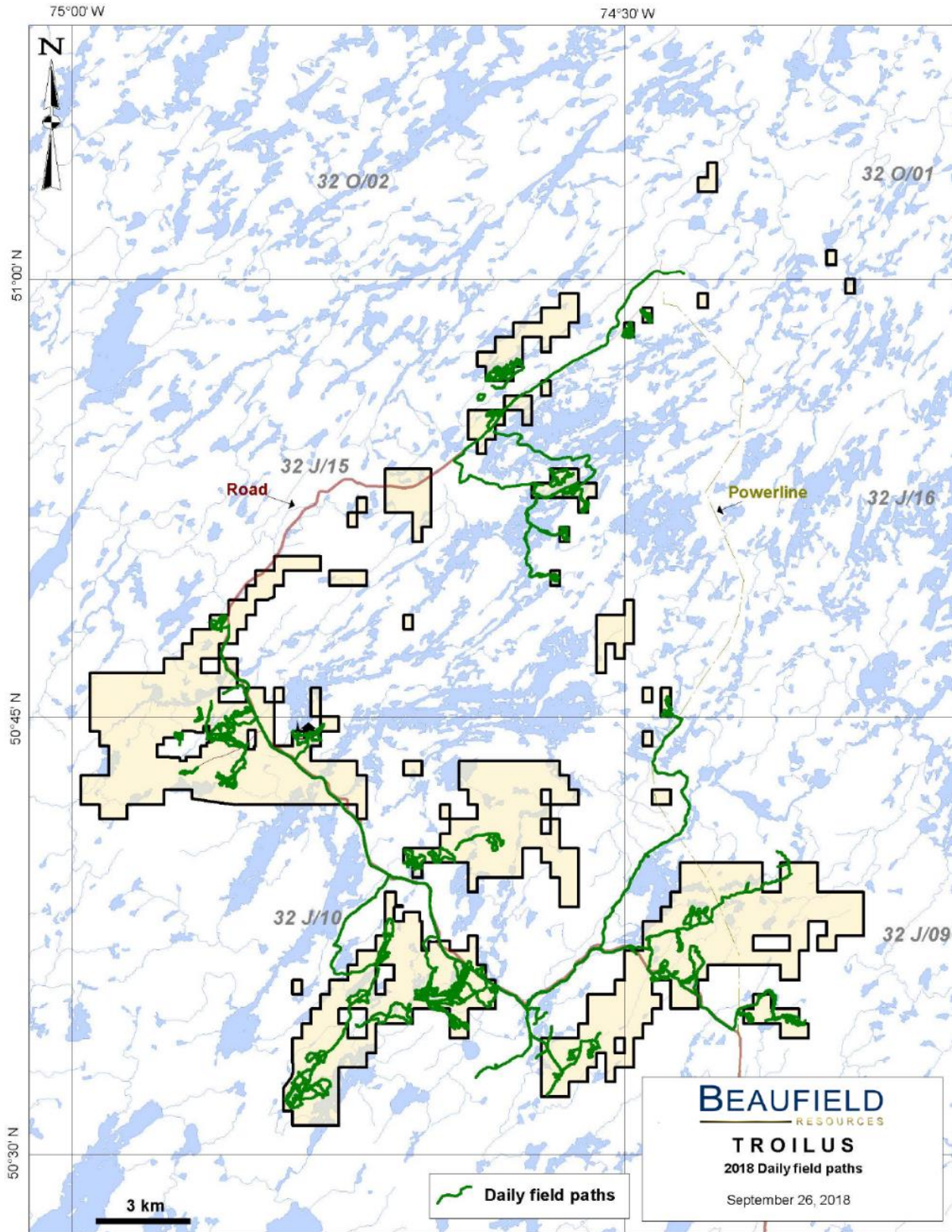


Figure 7 : Daily path for summer 2018 prospection



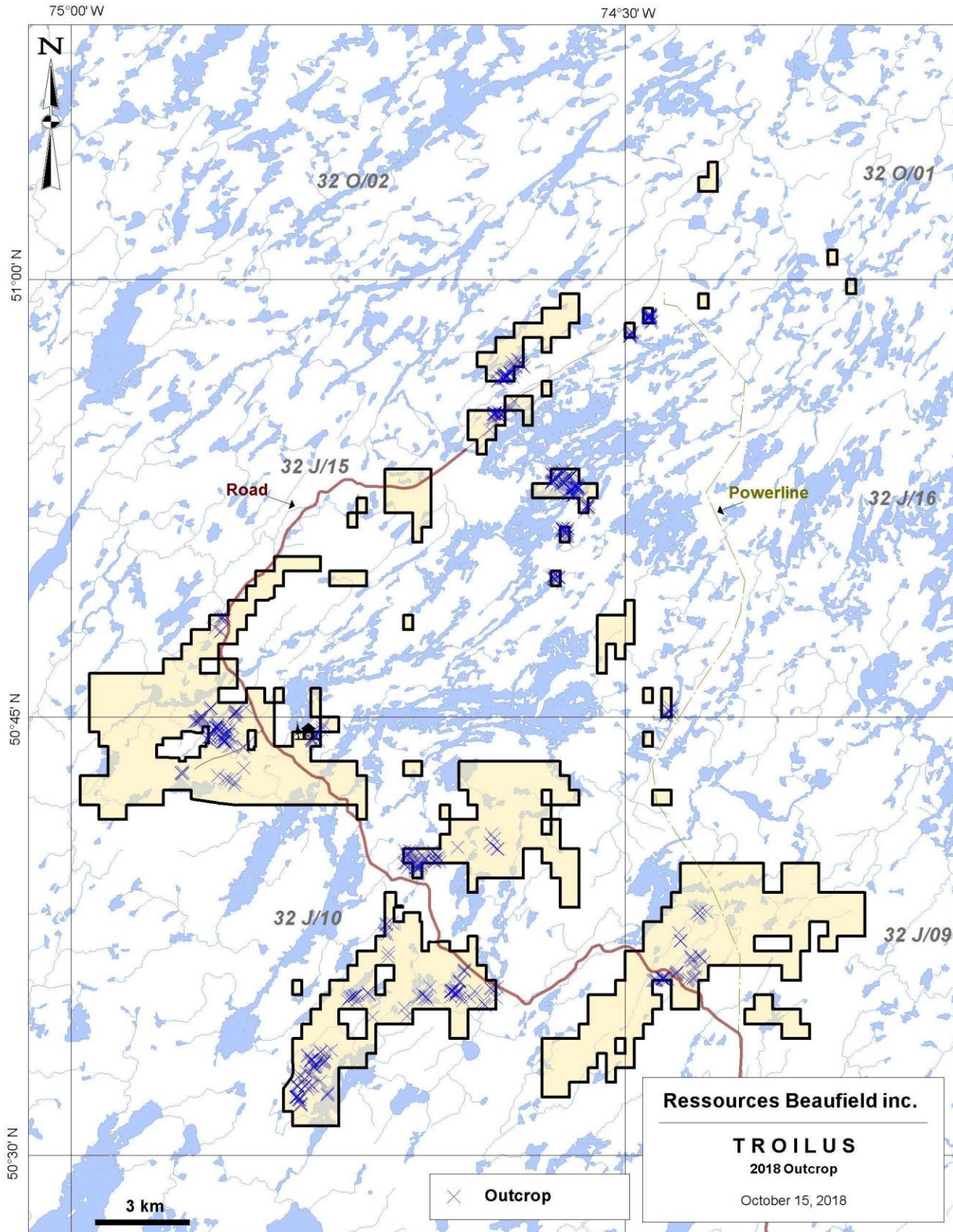


Figure 8 : Outcrops locations



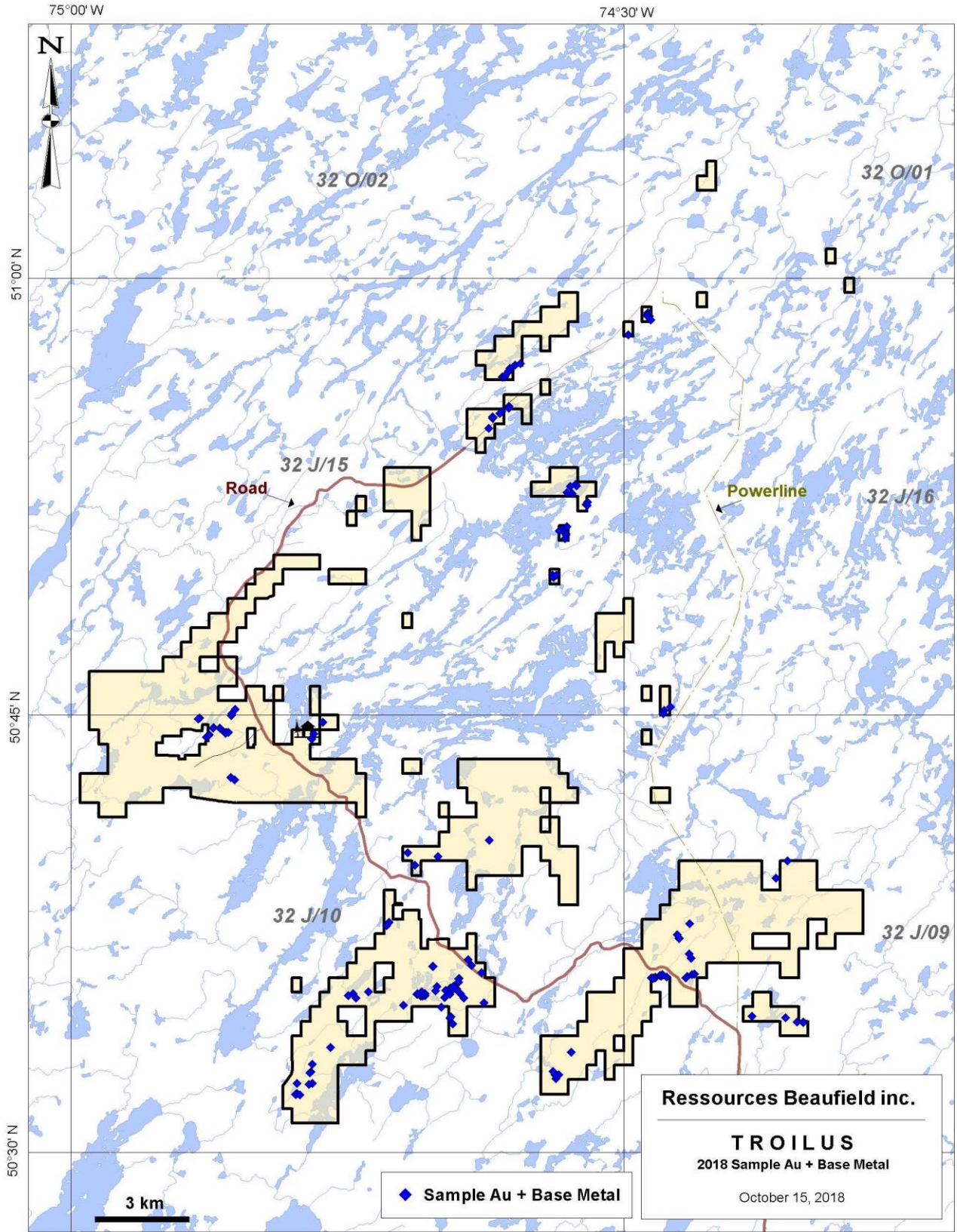


Figure 9 : Au + Base metals sampling map



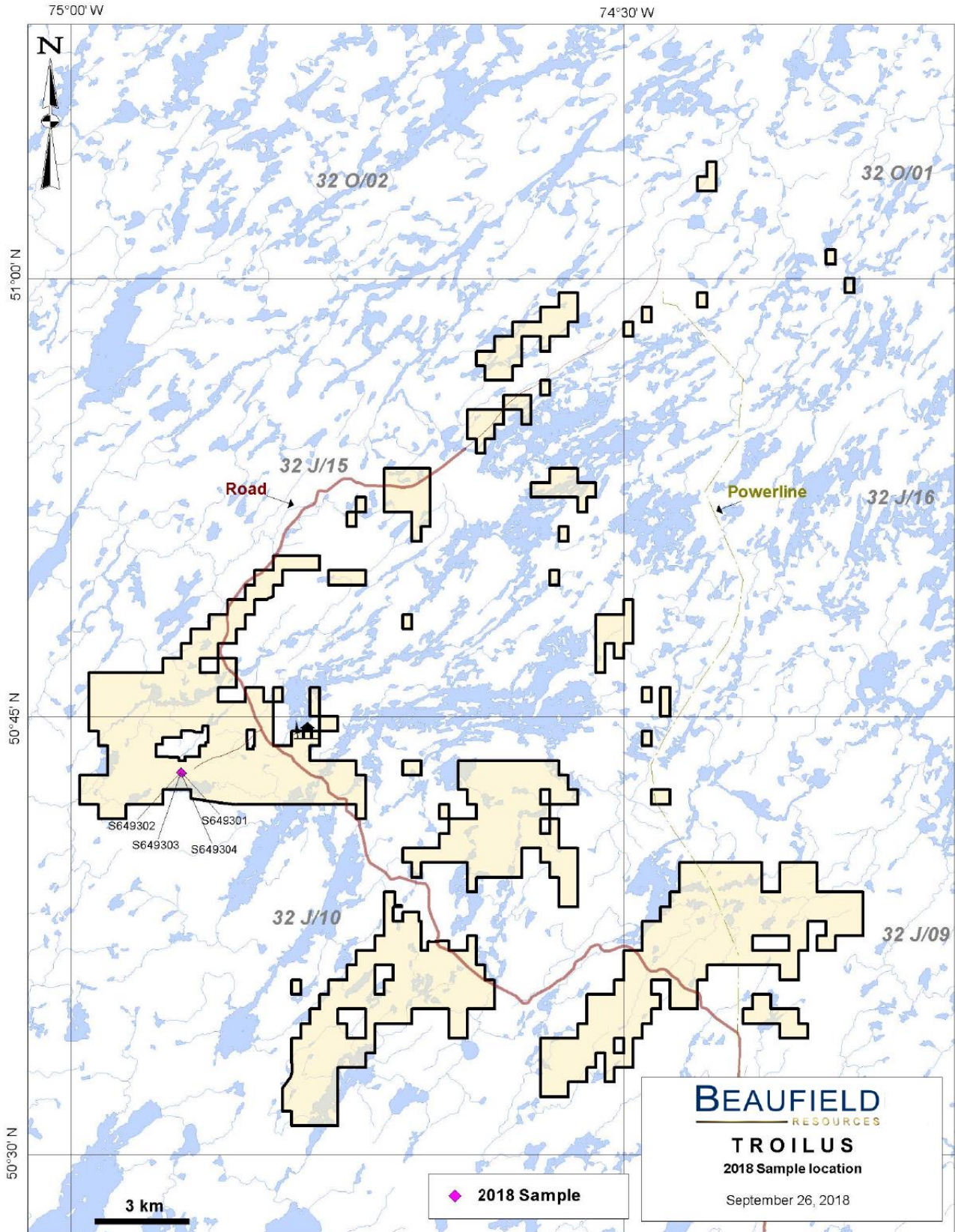


Figure 10: Map of lithium sample locations



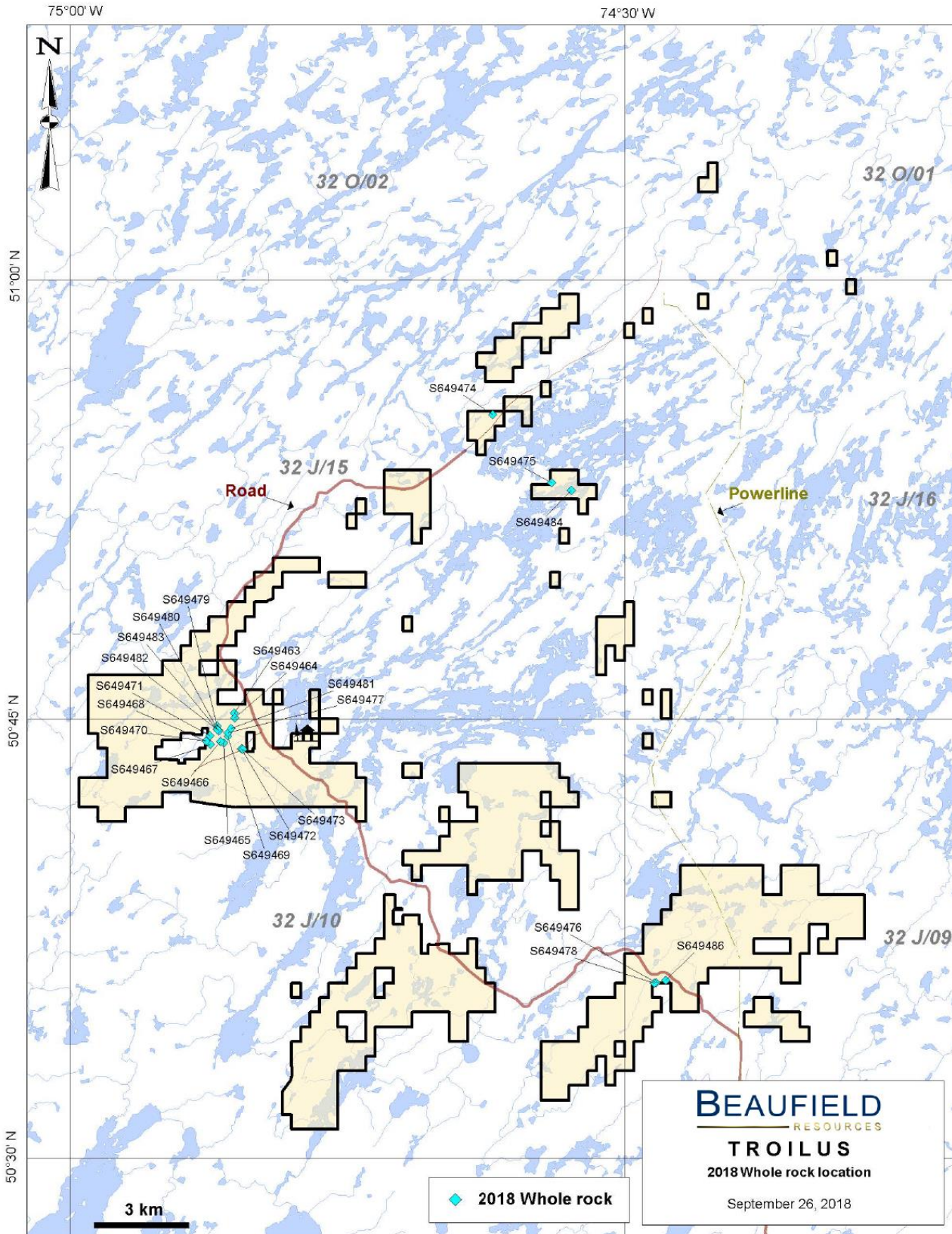


Figure 11: Map of Whole Rock sample locations

## **5.2. Moblan Area**

### **5.2.1. Grid 1802**

This area is located just north of the Moblan Lithium deposit and consist of an unexplained MegaTEM anomaly located a few dozens of metres north of the property boundary. Access is excellent due to a gravel road having been established to access the Moblan deposit.

Only a few basalt outcrops were located and no Beep-Mat readings were registered. One basalt outcrop contained disseminated Pyrite, Pyrrhotite and Chalcopyrite but not enough sulphides were present to explain the anomaly.

No sample where collected in this area.

### **5.2.2. Grid 1803**

Grid 1803 is located south of the Moblan deposit and was earmarked for ground prospecting due to high Rubidium values in pegmatites having been previously assayed in the area. The area is relatively easy to access with an ATV from the Tortigny deposit.

A 50m x 20m massive Pegmatite outcrop was identified and described as coarse grained, composed of Quartz, Feldspar, Biotite and Muscovite, and was deemed to contain Spodumen. Four (4) samples were taken and analyzed for lithium with two (2) being anomalous Figure 13. Samples S649302 and S649303 respectively graded at 0.478 and 0.351 % Li. Sample S649302 also visually contains 3-6% of Spodumene whereas S649303 is mineralized in Lepidolite (Appendix V). Appendix V lists every Li samples, their coordinates and description.





*Figure 12: Lithium mineralization (Sample S649302)*



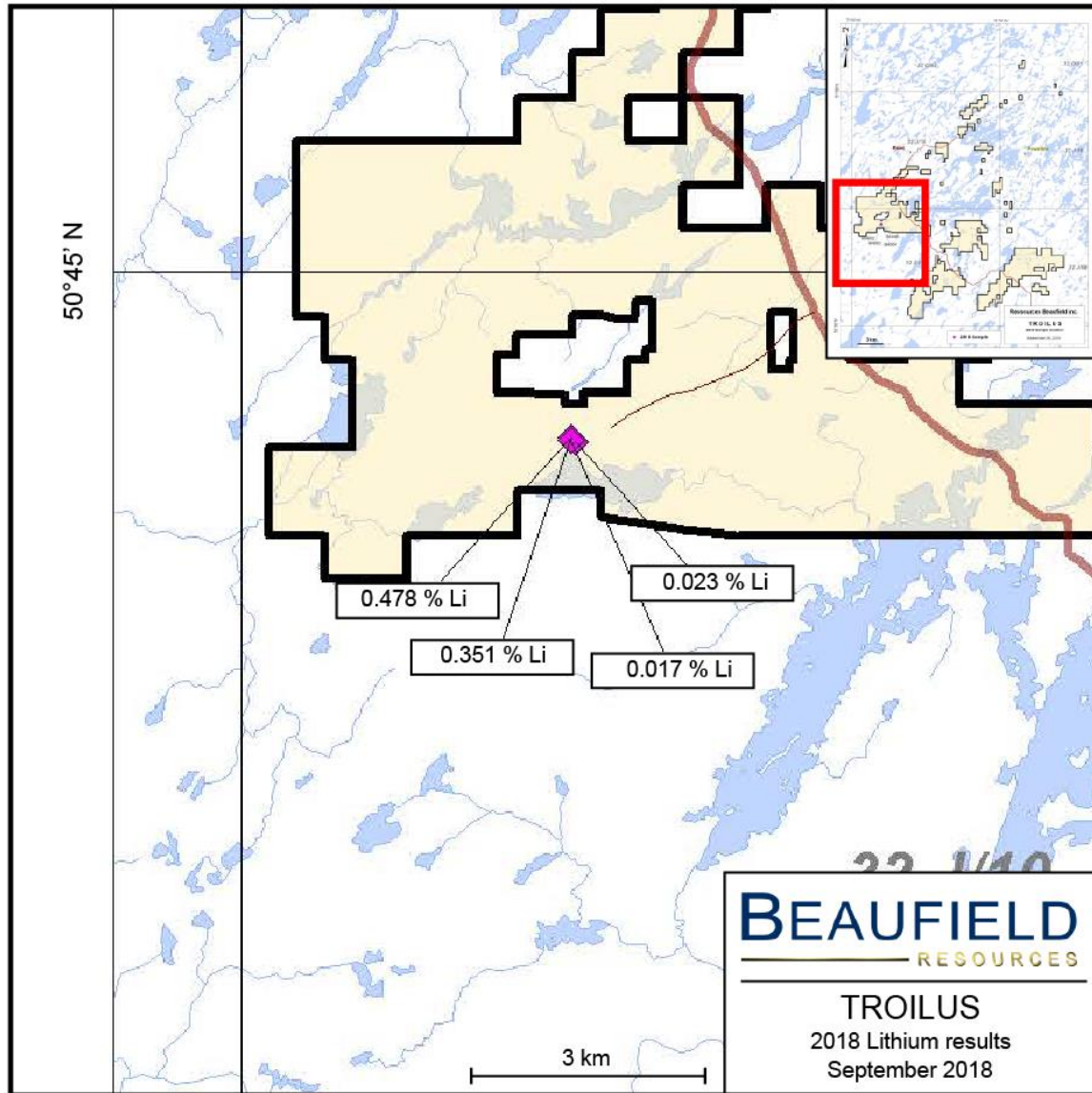


Figure 13: Lithium assay results and location

### 5.2.3. Grid 1838 (Coulombe Showing)

Grid 1838, also known as the Coulombe area, is located 1-2 km northwest of the Tortigny VMS deposit and is of interest due to the presence of several electromagnetic anomalies (MegaTEM, VTEM and Input), with historical drill holes having intersected mineralization (2,19% Zn, 1% Cu and 21,2 g/t Ag over 4,88 m (hole M74-3 (GM 30707))). Based on available data, there is a strong possibility that the Coulombe showing is located along the same stratigraphic horizon as of the Tortigny deposit, and is located within the arm of an overturned Anticline. The mineralization found in this area is basically hosted in wacke/mudstones which is a horizon located between two basalt units, and possibly two volcanic cycles as is the case at Tortigny.

15 samples were collected in the area with best values being 0.256% Cu in sample S649358 and 0.426% Zn in sample S349362. Table 3 exhibits assay results for this area.

Table 3: Grid 1838 assays results

Sample	UTME	UTMN	Au (ppm)	Ag (ppm)	Co (ppm)	Cu (ppm)	Ni (ppm)	Zn (ppm)
S649156	531072	5599015	0,011	0,7	113	1120	130	39
S649157	510208	5622013	0,007	-0,2	16	52	24	33
S649357	509805	5620942	0,016	0,2	18	393	26	24
S649358	509906	5620953	0,041	9,1	22	2560	26	168
S649359	509868	5620888	0,02	0,2	7	196	16	13
S649360	509868	5620889	0,008	0,3	54	552	95	93
S649361	510051	5620939	0,013	0,4	42	700	57	23
S649362	509496	5621232	0,037	0,2	38	594	15	32
S649367	508195	5621863	-0,005	-0,2	1	1	1	-2
S649371	510453	5622406	-0,005	-0,2	19	87	39	30
S649372	508626	5620646	0,016	0,7	139	344	248	4260
S649373	508098	5621790	0,024	-0,2	25	155	93	17
S649374	508824	5620785	0,006	0,7	14	126	40	150
S649379	509094	5621260	0,007	0,2	17	314	39	41
S649380	509071	5621233	0,008	-0,2	15	249	27	35

### 5.3. Chalonneau Area - Grids 1841 to 1844

These 4 grids were completed over the Chalonneau area where historical workings had identified a series of small mineralized boulders. Unfortunately, none of these mineralized boulders were able to be located during the 2018 program. Also, of potential interest, was the reported presence of a Pegmatite in the area. This unit was located, but it consists more of a granite/granodiorite unit with little potential for lithium and was not sampled.

Only 2 samples were collected from this area with best results being 499 and 489 ppm of nickel respectively in samples S649117 and S650065. No other significant values for base metals or gold were returned. Table 4 exhibits assay results for this area.

Table 4: Grids 1841 to 1844 assays results

Sample	UTME	UTMN	Au (ppm)	Ag (ppm)	Co (ppm)	Cu (ppm)	Ni (ppm)	Zn (ppm)
S649117	510436	5617934	0,039	-0,2	90	170	499	34
S650065	510214	5618082	-0,005	-0,2	66	15	489	56

### 5.4. Lessard Area - Grid 1804

This area is located 2.5 kms northwest of Landore's Lessard VMS deposit and was explored because of the presence of a MegaTEM anomaly, anomalous base metal values in bottom lake sediments and the proximity of the deposit.

The area has decent outcrop exposure (mostly basalts) but none of the outcrops could explain the presence of the MegaTEM anomaly except possibly for a small rusty outcrop and the presence of a 0.5m horizon of semi-massive sulphides containing 25% Pyrrhotite and up to 7% Chalcopyrite, trending in an

east-west direction. Further east, a wacke boulder was sampled which was estimated to contain 15% Pyrite and 8% Chalcopyrite.

5 samples were collected on the grid, with best results consisting of 0.2350 % Cu and 0.1385% Ni in sample S649368, 0.768% Cu and 0.4% Ni in sample S649370, 0.1% Cu and 0.15% Zn in sample S649378. Table 5 exhibits assay results for this area.

Table 5: Grid 1804 assay results

Sample	UTME	UTMN	Au (ppm)	Ag (ppm)	Co (ppm)	Cu (ppm)	Ni (ppm)	Zn (ppm)
S649356	521515	5613319	0,027	-0,2	38	190	58	66
S649368	521980	5612529	0,018	1	188	2350	1385	38
S649369	521980	5612530	0,008	0,2	18	204	111	20
S649370	521980	5612531	0,038	3,1	536	7680	4030	60
S649378	523450	5613083	0,015	2,2	76	1070	165	1480

## 5.5. Grid 1831

Located approximately halfway between the De Maurès and Lessard deposits, this grid was selected for exploration due to the presence of two moderate MegaTEM anomalies and zinc mineralization located along strike. Due to time constraints, exploration was limited to a single day and only a few outcrops had been observed, with none being able to explain the EM anomalies.

Only one sample was collected and does not contain any significant values (Table 6).

Table 6: Grid 1831 assay results

Sample	UTME	UTMN	Au (ppm)	Ag (ppm)	Co (ppm)	Cu (ppm)	Ni (ppm)	Zn (ppm)
S650057	526742	5614145	0,024	0,5	39	82	49	166

## 5.6. Crab Lake/Pearl Area

Located in the southern portion of the property, the Pearl area consist of several grids which targeted specific MegaTEM anomalies. The area is of interest due its proximity to the Lessard VMS Deposit and the suspected same stratigraphic level which continues onto some of these grids. Historical drilling is limited, and seems to have focused mainly on the strongest electro-magnetic anomalies at the time, which are believed to be part of a different stratigraphic level of the Lessard deposit.

The area indicates the clear presence of a major fold, with no drilling within its nose (hinge). The area of interest also indicates the presence of favorable electro-magnetic anomalies located along the stratigraphic level of interest and of medium intensity, similar to that displayed at the Lessard deposit.

Historical work includes regional bottom lake geochemical sampling which was limited to larger lakes. Several lakes in the area had returned anomalous in Cu and Zn, as well as Cd, Co and Ag.

### 5.6.1. Grid 1805

This grid is located adjacent to the main road and was selected due to the presence of two unexplained MegaTEM anomalies. Outcrops were scarce, but one of them showing 10 to 15% sulphides was located in

the vicinity of the most eastern anomaly. 3 samples were collected from this area with some anomalous results of 0.1 g/t Au and 0.25% Cu in sample S649153, 0.21% Zn and 0.25% Zn respectively in sample S649154 and S649155. Table 7 exhibits assay results for this area.

Table 7: Grid 1805 assays results

Sample	UTME	UTMN	Au (ppm)	Ag (ppm)	Co (ppm)	Cu (ppm)	Ni (ppm)	Zn (ppm)
S649153	525407	5606565	0,105	0,8	20	2490	29	45
S649154	525624	5606194	0,026	0,9	153	734	377	2080
S649155	526288	5605722	0,018	0,7	55	319	132	2530

### 5.6.2. Grids 1825 and 1826

These two grids were selected for follow-up as they are located in the top of some very strong conductors within the anticline described above. The source of the anomaly may have been located (S649193 to S649198) which consist of tuffs and mafic to intermediate basalts, very deformed containing disseminated to semi-massive sulphides as 15 to 20% stringers of pyrite and chalcopryrite. A channel sample was also completed on this outcrop and is described further below.

A total 21 grab samples were collected from this area where best results are 0.32% Zn and 0.07% Cu in sample S650003, 0.12% Cu in sample S650189 and 0.1% Zn in sample S650191. Values of interest have not been found. Table 8 presents assay results for this area.

Table 8: Grids 1825-1826 assay results.

Sample	UTME	UTMN	Au (ppm)	Ag (ppm)	Co (ppm)	Cu (ppm)	Ni (ppm)	Zn (ppm)
S649111	521276	5603628	0,019	0,4	25	102	47	108
S649182	522643	5604357	0,027	1,3	200	741	159	1220
S649183	522604	5604363	0,018	0,4	25	249	61	482
S649184	522616	5604310	0,069	1,1	140	451	193	77
S649185	522374	5604229	0,013	0,4	62	345	74	1470
S649186	522506	5604215	0,025	2,2	133	3020	429	3590
S649187	522659	5604261	0,015	0,8	72	216	92	71
S649188	522665	5604370	-0,005	-0,2	61	3	151	43
S649189	522455	5604489	0,01	0,4	47	280	81	1030
S649190	523415	5604845	0,008	0,7	107	219	103	118
S649191	523325	5604560	0,154	0,8	137	537	319	1210
S650003	522180	5604359	0,009	1,1	77	683	195	3230
S650004	522159	5604354	0,016	0,6	42	541	213	69
S650005	522150	5604329	-0,005	0,3	31	99	61	226
S650006	522151	5604330	0,015	1	39	554	122	324
S650009	523152	5606126	0,059	0,2	31	47	39	51
S650010	523190	5606114	0,038	0,2	17	35	32	56
S650011	523191	5606115	0,062	0,5	93	447	185	92
S650189	522665	5604369	0,023	1,2	227	1220	141	381
S650190	522454	5604488	0,005	0,3	46	144	66	784
S650191	522184	5604369	0,013	-0,2	28	216	54	1000

A channel was made during the prospecting campaign on a mineralized outcrop located during the summer with a Beep-Mat. Channeling was difficult due to the shape of the outcrop. A groove of 2.5m was made with a rock saw. The results (listed in table 9) in Au and Ag are anomalous at best while some results

in Cu-Zn are sub-economic. The channel sample is centered on coordinates UTME 522505 and UTMN 5604211, at a direction of 16 degrees, and is 2.5m long. Results are displayed in table 9 below.

Table 9: Channel R-1 assay results

From (m)	To (m)	Length (m)	# Sample	Au (ppm)	Ag (ppm)	Cu (ppm)	Zn (ppm)
0	0.5	0.5	S649193	0.013	0.5	547	2950
0.5	1.0	0.5	S649194	0.031	1.0	1490	3520
1.0	1.4	0.4	S649195	0.021	0.4	581	1370
1.4	1.7	0.3	S649196	0.011	0.7	858	60
1.7	2.1	0.4	S649197	0.011	0.2	238	66
2.1	2.5	0.4	S649198	0.016	0.2	437	53

### 5.6.3. Grids 1827-1828

These two grids were selected for follow-up as they are located atop of some weak MegaTEM conductors within the anticline described above and within the same suspected stratigraphic level as the Lessard VMS deposit. Few outcrops could be located within these grids due to poor rock exposure and dense vegetation. A single sample was taken with no values of interest (see Table 9).

Table 9: Grid 1827-1828 assay results

Sample	UTME	UTMN	Au (ppm)	Ag (ppm)	Co (ppm)	Cu (ppm)	Ni (ppm)	Zn (ppm)
952448	526428	5603808	0,019	0,7	43	357	134	1050

### 5.6.4. Grid 1833

This grid is located on a strong EM conductor suspected of being within the suspected anticline. The grid is fairly remote, requiring a 3.5km walk to access. No outcrops were located and therefore exploration concentrated on collecting till samples over and down-ice from the strongest EM conductor (till program to be reported separately).

A total of 3 samples from conductive boulders were collected with best results being 0.6 to 0.7%. Table 10 exhibits assay results for this area.

Table 10: Grid 1833 assay results

Sample	UTME	UTMN	Au (ppm)	Ag (ppm)	Co (ppm)	Cu (ppm)	Ni (ppm)	Zn (ppm)
S650015	524461	5602446	0,012	0,6	50	662	50	107
S650016	524277	5602836	0,019	0,2	50	618	73	15
S650017	524331	5602912	0,014	0,3	67	739	88	35

### 5.6.5. Grid 1839

This grid is located over the suspected hinge of the large anticline mentioned above. The grid is not easily accessible requiring a 2 to 3 km of walk from the main road and few outcrops could be located within the grid; therefor most of the sampling was done outside the grid, mainly to the northwest.

A total of 25 samples were collected with best results being 0.3% Zn in sample S649193, 0.15% Cu and 0.35% Zn in sample 649194, 0.3% Zn in sample S649397, 0.25 % Zn in samples S649399 and S649400, 0.25% Cu and 0.2% Zn in sample S645002. No significant value in Au were found. Table 11 exhibits assay results for this area.

Table 11: Grid 1839 assay results.

Sample	UTME	UTMN	Au (ppm)	Ag (ppm)	Co (ppm)	Cu (ppm)	Ni (ppm)	Zn (ppm)
S649110	524831	5605344	0,05	1,7	139	1180	163	121
S649179	524817	5605116	0,048	2	49	847	226	62
S649180	524769	5605096	0,029	1,3	76	587	150	632
S649181	524763	5605092	0,022	1,1	37	339	63	324
S649192	523716	5603523	0,053	0,2	50	594	604	28
S649193	523717	5603524	0,013	0,5	69	547	153	2950
S649194	523714	5603522	0,031	1	131	1490	403	3520
S649195	523716	5603524	0,021	0,4	67	581	114	1370
S649196	523715	5603525	0,011	0,7	141	858	191	60
S649197	523718	5603526	0,011	0,2	58	238	111	66
S649198	523719	5603521	0,016	0,2	81	437	148	53
S649199	523978	5604591	0,011	0,4	43	246	71	668
S649200	524274	5604506	0,03	1,2	96	847	177	2680
S649395	524558	5604895	0,01	-0,2	50	473	69	113
S649396	524558	5604895	0,023	0,4	57	432	84	487
S649397	524676	5604685	0,072	1,1	110	433	188	3120
S649398	524622	5604698	0,023	0,5	37	222	69	202
S649399	524296	5604739	0,083	0,9	204	714	408	2580
S649400	524273	5604681	0,033	1,4	135	1020	124	2520
S650001	523928	5604134	0,044	1,4	113	675	234	104
S650002	525150	5604124	0,054	2,1	52	2540	57	2130
S650051	524270	5604336	0,008	-0,2	13	160	17	297
S650052	524475	5604848	0,006	0,9	139	77	270	10
952449	524946	5604373	0,005	-0,2	1	3	5	3
952450	524820	5605328	0,082	3,7	125	817	237	106



## 5.7. Oudiette Area

### 5.7.1. Grids 1801 and 1836

These grids are located in the southern portion of the Troilus property and were recently staked due to coincident MegaTEM anomalies with anomalous Cu, Zn, Cd and Ag in bottom lake sediments from nearby lakes. The area is located on the fringe of the mapped greenstone belt, and was regionally mapped as tuffs but the 2018 mapping indicates a geologically more complex area. The mapped area shows mostly amphibolite rock with metamorphosed sediment and some intrusions, mainly diorite and pegmatite. The mineralization is contained in the sediments and is mineralized with disseminated pyrite principally.

The area is mostly flat, with few outcrops, but overburden is believed to be relatively thin in most places. The source of the EM anomaly was identified as massive to semi-massive sulphides consisting mostly of pyrite and up to 5% Chalcopyrite over an area estimated by Beep-Mat to be at least 40m long and several metres wide.

13 samples were collected in the area with best values returning 0.17% Cu in sample W952435. Table 12 exhibits assay results for this area.

Table 12: Grids 1801 and 1836 assay results

Sample	UTME	UTMN	Au (ppm)	Ag (ppm)	Co (ppm)	Cu (ppm)	Ni (ppm)	Zn (ppm)
W952423	514488	5598639	-0,005	-0,2	1	14	1	2
W952424	514673	5597920	-0,005	-0,2	-1	1	1	-2
W952435	516622	5600944	0,011	1,5	54	1690	60	68
S649152	514406	5597952	0,01	3,6	41	412	92	114
S649909	514393	5597948	0,005	1,9	25	141	59	74
S649910	514405	5597950	0,007	5,4	65	557	121	232
S649354	515256	5598597	0,013	0,4	37	354	28	87
S649355	515469	5598655	0,008	-0,2	22	50	10	36
S649351	515471	5599865	0,006	-0,2	-1	1	1	-2
S649352	515364	5599369	-0,005	-0,2	1	1	1	3
S649353	515306	5599314	0,015	-0,2	9	108	14	20
S649151	514420	5597957	0,01	5,5	107	855	252	5
S649366	514469	5598004	-0,005	-0,2	1	2	1	4

## 5.8. Boulder zone (Grids 1808, 1809, 1810, 1811, 1812, 1824, 1847, 1848 and 1849)

Only a few days were spent in this large area due to other areas requiring priority work. A total of 9 grids out of 14 were briefly investigated over the course of a couple of days.

On grid 1849, a large mudstone subangular boulder (3m<sup>2</sup>) containing 40% Pyrrhotite, 5% Pyrite and 2% Chalcopyrite disseminated and in stringer was located (649945). And on grid 1808, several outcrops containing sulphides consisting of Pyrrhotite, Chalcopyrite and Sphalerite within a chert-like sedimentary

unit were identified. A fine to medium grained gabbro with trace to 0.5% of Pyrrhotite was also identified in the area.

30 samples were collected from this area with best results being 0.44% Zn in sample S649176. The values of Au are relatively low and no other significant assay anomaly were noted. Table 13 exhibits assay results for this area.

Table 13: Boulder zone assay results

Sample	UTME	UTMN	Au (ppm)	Ag (ppm)	Co (ppm)	Cu (ppm)	Ni (ppm)	Zn (ppm)
W952432	539904	5605731	0,008	0,6	13	117	36	80
W952433	539905	5605731	0,011	0,8	31	309	96	108
W952434	539745	5605686	0,012	0,7	34	122	78	197
S649124	539463	5605562	0,016	-0,2	16	65	41	1130
S649125	539357	5605491	0,009	-0,2	13	169	25	311
S649156	531072	5599015	0,011	0,7	113	1120	130	39
S649163	539588	5608932	0,006	-0,2	12	82	10	105
S649164	537264	5605454	0,01	0,4	20	590	42	365
S649165	537416	5605504	0,022	0,3	9	210	15	75
S649166	537416	5605504	0,006	-0,2	20	111	25	86
S649167	537416	5605504	-0,005	-0,2	23	113	18	102
S649168	537274	5605441	-0,005	-0,2	1	3	3	6
S649169	537274	5605441	0,022	0,3	23	413	31	168
S649170	537416	5605504	0,009	0,3	21	229	28	204
S649171	538790	5608229	0,017	0,4	38	38	26	66
S649172	538920	5607974	0,014	0,2	77	52	23	345
S649173	532061	5600713	0,012	0,3	50	130	40	269
S649174	531012	5599267	0,023	0,3	17	333	140	470
S649175	530900	5599467	-0,005	-0,2	9	30	13	20
S649176	531257	5599279	0,016	0,3	57	489	42	4460
S649381	538920	5607976	0,008	0,5	16	126	48	363
S649363	538916	5607991	-0,005	0,5	40	52	28	141
S649364	537154	5605477	-0,005	-0,2	4	65	3	13
S649382	537364	5605459	0,018	-0,2	54	53	17	692
S649365	537395	5605493	0,006	-0,2	20	267	20	43
S650072	537703	5605620	-0,005	-0,2	38	83	44	79
S650073	537758	5605597	-0,005	-0,2	17	34	31	28
S650074	537785	5605600	0,025	0,2	41	337	23	79
S650075	537861	5605670	0,008	-0,2	18	163	13	61
S650076	538122	5605543	0,052	2,5	142	1160	354	113



## 5.9. Troilus Road South area

### 5.9.1. Grids 1834 and 1835

These 2 grids are located along the road that leads into the old Troilus mine and were selected due to the presence of two weak MegaTEM anomalies and the lack of historical exploration and easiness of access. Several outcrops were identified and described, but no mineralization of note was observed and the source of the anomalies remain to be determined. No samples for base metals and Au were collected from this area.

## 5.10. Troilus Road North area

### 5.10.1. Grid 1813

This grid is located 11 kms southwest of the old Troilus mine, and although the area has had a good amount of historical exploration, it has also been recently clearcut which may have uncovered new outcrops. A MegaTEM anomaly is present on the eastern margin of the grid, which also corresponds to the claim boundary. The geology in this area is complex, with diversified lithology. Several outcrops (Gabbro, Tuffs, volcanic and sediments) were located but no mineralization of interest could be found. A review of nearby historical work indicates that a hole further east (1986), and not on the property intersected graphite and pyrrhotite which may explain the presence of the MegaTEM anomaly. 7 samples were collected from this area with no significant assay results. Table 14 exhibits assay results for this area.

Table 14: Grid 1813 assay results

Sample	UTME	UTMN	Au (ppm)	Ag (ppm)	Co (ppm)	Cu (ppm)	Ni (ppm)	Zn (ppm)
W952425	526572	5640344	-0,005	-0,2	4	17	6	7
W952426	526794	5640987	-0,005	-0,2	10	4	8	61
W952427	526792	5641071	0,013	0,2	8	37	1	60
S649113	527849	5641754	-0,005	-0,2	3	5	3	44
S649375	527246	5641291	-0,005	-0,2	29	94	94	40
S649393	527826	5641621	-0,005	-0,2	1	2	1	-2
S649394	527390	5641423	0,017	-0,2	2	16	2	66

### 5.10.2. Grid 1840

Grid 1840 is located immediately southwest of the old Troilus mine and is relatively easy to access due recently established logging roads. Several outcrops where located, and of interest were some strongly silicified rocks with the prolith likely being a basalt or andesite which has been through an intense deformation marked by a strong foliation NE. The rocks contain mineralized smokey quartz veins following the orientation of the foliation and with sulphides (disseminated to massive) consisting mostly of Pyrite, Sphalerite, Chalcopyrite and possibly Bornite. The largest vein is approximately 0.5m to 1.2 metres wide and estimated to be at least 10-12m long, based on the Beep-Mat results.

12 samples were collected from this area with best results being 0.4 g/t Au, 0.7 g/t Ag and 0.3% Zn in sample S649390. This area is anomalous in Au and Zn and further exploration is recommended. Table 15 exhibits assay results for this area.

Table 15: Grid 1840 assay results

Sample	UTME	UTMN	Au (ppm)	Ag (ppm)	Co (ppm)	Cu (ppm)	Ni (ppm)	Zn (ppm)
W952445	528565	5644449	-0,005	-0,2	3	13	7	11
W952446	528204	5644358	-0,005	-0,2	7	2	30	15
S649383	527862	5644004	0,007	-0,2	26	124	32	304
S649384	527862	5644004	-0,005	-0,2	1	3	2	5
S649385	527885	5644158	-0,005	-0,2	-1	2	1	2
S649386	527385	5643593	0,023	-0,2	26	104	43	42
S649387	527416	5643593	-0,005	-0,2	-1	1	1	-2
S649388	527546	5643597	0,012	-0,2	3	3	11	10
S649389	527579	5643692	0,023	0,5	44	464	149	327
S649390	527579	5643692	0,403	0,7	141	442	451	3000
S649391	527579	5643692	0,019	0,3	8	369	26	154
S649392	527778	5643979	0,009	-0,2	4	14	12	6

## 5.11. Troilus Lake Area

### 5.11.1. Grid 1814

Grid 1814 is centrally located within the Troilus belt and is located near several gold and copper showings. The area was also recently logged, allowing road access to the area and possibly uncovering new outcrops. Intermediate to mafic volcanics and tuff were located, and carbonate and silica alteration were locally noted. The rare trace mineralization consisted mainly of disseminated pyrrhotite. One specific area was said to contain sedimentary units. No samples were collected from this area.

### 5.11.2. Grid 1815

Grid 1815 was designed to cover an area underlain by a strong VTEM anomaly and although the strongest part of the EM anomaly is located underwater (Lake Troilus), it was hoped that some evidence of mineralization could be located on nearby islands. A stockwerk vein system was identified and consisted of smokey quartz veining with clear evidence of Chalcopyrite and possibly Malachite (or oxidized Cu).

On the southwest portion of the grid, a grab sample was taken from a quartz vein located within a gabbro, with most mineralization consisting of chalcopyrite and pyrrhotite.

11 samples were collected from this area with best results being 0.46 % Cu for sample W952436, 0.2 g/t Au and 0.8% Cu for sample S650067, 0.2 g/t Au and 0.9% Cu for sample S650068 and 0.4% Cu for the sample S650071. The results show anomalies for Au and interesting values for Cu + Co, further exploration may be necessary. Table 16 exhibits assay results for this area.

Table 16: Grid 1845 assay results.

Sample	UTME	UTMN	Au (ppm)	Ag (ppm)	Co (ppm)	Cu (ppm)	Ni (ppm)	Zn (ppm)
W952436	531548	5636290	0,095	0,9	481	4560	152	38
W952437	531549	5636290	0,021	0,3	150	1330	37	79
W952438	531548	5636291	0,006	-0,2	44	159	16	87
W952447	532098	5636786	-0,005	-0,2	20	1	97	23
S650067	532157	5636711	0,216	3,3	70	8210	110	62
S650068	532158	5636711	0,235	4,6	73	9930	138	73
S650069	532159	5636711	0,005	0,2	14	404	15	12
S650070	532157	5636712	0,156	2,5	26	4160	38	23
S650071	532157	5636713	-0,005	-0,2	1	2	3	3
W952439	531776	5636683	-0,005	-0,2	3	9	6	4
W952444	531902	5636211	-0,005	-0,2	7	6	20	51

### 5.11.3. Grid 1816

This grid is located to the southeast of grid 1815 and was of interest due the presence of several VTEM anomalies. Three historical drill holes are recorded in the area, but their exact location is difficult to determine, and no evidence could be located in the field. These drill holes had intersected anomalous values in base and precious metals, with no apparent follow-up. Several outcrops were described in the area, being mainly gabbros, coarse to medium grain, massive, and containing disseminated mineralization consisting of pyrrhotite and magnetite.

3 samples were collected from this area with no significant values. Table 17 exhibits assay results for this area.

Table 17: Grid 1816 assay results

Sample	UTME	UTMN	Au (ppm)	Ag (ppm)	Co (ppm)	Cu (ppm)	Ni (ppm)	Zn (ppm)
W952442	532790	5635535	-0,005	-0,2	35	124	71	90
W952441	532859	5635685	0,023	0,3	18	98	33	70
W952443	532843	5635454	-0,005	-0,2	45	17	2	88

### 5.11.4. Grid 1817

Grid 1817 is a small area located atop a strong MegaTEM anomaly and does not seem to have been properly explored based on published historical data. A few outcrops (11) were located within the area and the Beep-Mat indicated several conductive anomalies. The host rock is an ultramafic, probably peridotite, which is mainly composed of olivine and serpentine. Due to the metamorphism, the rock contains an important quantity of oxides (magnetite). Disseminated to semi-massive sulphides in an olivine-rich rock were observed, composed primarily of pyrrhotite. An outcrop believed to contain troctolite was also observed in proximity, indicating a possible favorable geological context for PGE-Ni-Cu mineralization.

6 samples were collected from this area with best results being 0.17 % Ni in sample S650177. All the results for Ni indicated that these rocks have the value of primitive mantle; therefore they did not reach the sulphide saturation at this stratigraphic level. Table 18 exhibits assay results for this area.

Table 18: Grid 1817 assay results

Sample	UTME	UTMN	Au (ppm)	Ag (ppm)	Co (ppm)	Cu (ppm)	Ni (ppm)	Zn (ppm)
S650174	530684	5631038	-0,005	-0,2	89	2	1310	8
S650175	530918	5631037	0,005	-0,2	95	1	790	8
S650176	530918	5631037	0,006	-0,2	81	9	955	36
S650177	530918	5631037	0,005	0,4	201	3	1745	10
S650178	530725	5630868	-0,005	-0,2	108	-1	998	9
S650179	530733	5630912	-0,005	-0,2	109	2	858	7



## 5.12. Other Areas

Several other smaller and isolated grids were explored during the program and are described below.

### 5.12.1. Grids 1845 and 1846

These two grids are located near the old Troilus mine and are located over a single cell claim each. No specific target was located on grid 1845, and the grid was simply explored due to its proximity to the Troilus mine in order evaluate it and determine if any further work is required. Several outcrops consisting of fined grain basalt to andesite and foliated to massive gabbro were located, but no mineralization was observed in the few samples collected.

Grid 1846 is located over a moderate to strong MegaTEM/INPUT anomaly. Surface exploration located several outcrops of deformed mafic/intermediary tuffaceous basalts, which show locally some layering following the direction of the schistosity.

6 samples were collected from this area with best results being 0.28% Zn in sample S650060 and 1.67 g/t Au in sample S650061. Given the proximity between the claim and the old Troilus mine, this area could be interesting for further gold exploration. Table 19 exhibits assay results for this area.

Table 19: Grids 1845 and 1846 assay results

Sample	UTME	UTMN	Au (ppm)	Ag (ppm)	Co (ppm)	Cu (ppm)	Ni (ppm)	Zn (ppm)
S649112	535402	5646347	0,005	-0,2	15	44	38	48
S650060	536568	5647602	0,009	0,4	41	385	89	2840
S650061	536568	5647602	1,665	0,9	30	297	80	178
S650062	536644	5647512	0,005	-0,2	36	77	136	257
S650063	536814	5647304	-0,005	-0,2	79	125	110	169
S650058	536637	5647756	0,006	-0,2	24	106	51	59
S650059	536733	5647540	0,045	-0,2	37	68	123	54

### 5.12.2. Grid 1806

Grid 1806 is a more distant area located in the eastern portion of the Troilus Belt and was investigated due to the presence of small MegaTEM anomaly. Although several outcrops were located to the south of the anomaly, none could be found within its immediate area and the anomaly remains unexplained. The outcrops described outside of the anomaly are mainly mafic volcanic and some tuff of blocs and lapillis.

4 samples were collected from this area with no significant values. Table 20 exhibits assay results for this area.

Table 20: Grid 1806 assay results

Sample	UTME	UTMN	Au (ppm)	Ag (ppm)	Co (ppm)	Cu (ppm)	Ni (ppm)	Zn (ppm)
S650064	538242	5622708	0,013	0,4	356	460	133	30
S649114	537848	5622486	0,005	-0,2	43	305	22	19
S649115	537848	5622486	-0,005	-0,2	2	2	5	5
S649116	537806	5622253	0,027	-0,2	9	10	23	30

### 5.12.3. Grids 1820, 1821 and 1830

These 3 small grids are located over 3 small MegaTEM anomalies and in an area with no recorded exploration work. 5 samples were collected from this area with best result returning 0.4 g/t Au in sample S650008. Sample S650007 also returned anomalous gold with 0.24 g/t Au. Table 21 exhibits assay results for this area.

*Table 21: Grids 1820, 1821, 1830 assay results*

Sample	UTME	UTMN	Au (ppm)	Ag (ppm)	Co (ppm)	Cu (ppm)	Ni (ppm)	Zn (ppm)
S650007	545768	5602993	0,237	1	93	782	197	710
S650008	546493	5602723	0,422	0,3	19	288	32	95
S650012	546893	5602726	0,038	0,3	20	262	34	25
S650013	546914	5602692	0,038	0,8	140	867	193	993
S650014	543628	5603068	0,121	0,8	87	336	164	112

### 5.13. Whole rock samples

Table 3 shows the major element composition of the basalts / andesites as well as two sediments that were collected on the Troilus-Tortigny property. The MgO content of basalts / andesites ranges from 5.36 to 11.6 with an average value of 7.15. The average contents of Al<sub>2</sub>O<sub>3</sub> and CaO are respectively 13.65 and 9.68. The Mg# ranges from 37.23 to 66.63 with an average of 49.76. A primitive basalt is defined by an Mg# of 66 or more, the major part of the analyzes shows a Mg# less than 60, which would allow to conclude that the magmas from which these rocks crystallized are relatively evolved.

*Table 22 : Major element composition (wt%) of basalt / andesites of TROILUS property*

Outcrop	Sample	Litho	Al <sub>2</sub> O <sub>3</sub>	CaO	Cr <sub>2</sub> O <sub>3</sub>	FeO	Fe <sub>2</sub> O <sub>3</sub>	MgO	Na <sub>2</sub> O	SiO <sub>2</sub>	TiO <sub>2</sub>	Mg#
TRO-PDT-18-059	S649463	V3B	13.86	8.96	0.02	11.611	2.049	7.17	2.53	50.27	1.14	48.72
TRO-PDT-18-063	S649464	V3B	13.86	10.2	0.01	13.268	2.3415	4.99	1.64	50.69	1.36	36.65
TRO-PDT-18-068	S649465	V3B	13.58	11.1	0.03	10.429	1.8405	7.02	1.88	51.67	0.93	50.88
TRO-PDT-18-071	S649466	V3B	13.3	10.7	0.02	12.121	2.139	6.5	1.94	50.8	1.07	45.21
TRO-PDT-18-072	S649467	V3B	10.96	14.8	0.03	10.081	1.779	6.83	0.22	52.43	0.83	51.04
TRO-PDT-18-074-1	S649468	S6A	12.72	1.36	-0.01	5.304	0.936	2.59	3.29	69.09	0.38	42.90
TRO-JB-18-056	S649469	V3B	13.66	11.2	0.06	10.574	1.866	9.03	1.62	49.09	0.61	56.79
TRO-PDT-18-074-2	S649470	V3B	13.88	9.35	0.01	11.832	2.088	5.36	0.66	51.99	1.38	41.075
TRO-PDT-18-082	S649471	V3B	13.54	10.05	0.02	10.812	1.908	6.55	3.11	51.07	0.97	48.24
TRO-PDT-18-086	S649472	V3B	13.91	8.46	0.01	11.356	2.004	6.43	2.67	51.67	1.13	46.56
TRO-PDT-18-087	S649473	V3B	14.08	11.1	0.05	10.268	1.812	8.86	0.74	50.06	0.59	57.04
TRO-PDT-18-089	S649474	I3A	14.94	7.65	0.08	6.281	1.1085	11.15	3.59	51.06	0.2	73.21
TRO-PDT-18-103	S649475	V2J (TU)	14.21	8.69	0.03	11.9	2.1	5.93	2.35	49.5	1.44	43.40
TRO-JB-18-090-1	S649476	I3A	14.35	8.19	0.02	12.563	2.217	4.64	3.27	50.59	1.67	36.23
TRO-JB-18-057	S649477	V3B	12.82	10.95	0.1	10.871	1.9185	10.5	1.58	49.22	0.55	59.78
TRO-JB-18-088	S649478	S6	13.86	6.74	0.03	12.886	2.274	6.28	3.74	51.53	1.62	42.85
TRO-JB-18-059	S649479	T2B V3B	13.64	11.3	0.02	11.271	1.989	6.13	1.16	51.61	1.02	45.56
TRO-JB-18-060	S649480	V3B	13.78	9.83	0.02	10.973	1.9365	7.02	2.73	50.6	1.00	49.61
TRO-JB-18-061	S649481	V3B	14.26	11.7	0.01	10.285	1.815	8.64	1.44	49.49	0.54	56.39
TRO-JB-18-066	S649482	I3A	11.93	12.85	0.05	8.857	1.563	11.6	1.01	49.7	0.4	66.84
TRO-JB-18-068	S649483	V3B	12.28	8.77	0.01	13.549	2.391	6.42	1.84	51.61	1.23	42.16
TRO-PDT-18-143	S649484	I3A	16.62	11.55	0.11	7.939	1.401	10.3	1.6	45.72	0.45	66.63
TRO-PDT-18-262	S649486	I3A	13.98	7.11	0.01	12.087	2.133	4.66	3.8	52.81	1.62	37.23

Classification diagrams (Figure 14) confirm that the rocks field name is closed to their geochemical classification. Figure A and B relate the total alkali against  $\text{SiO}_2$  as proposed by Irvine and Baragar (1971) and Maître (2002). The rocks are found in the subalkaline field (Figure 14A) and fall into the fields of basalt and andesitic basalt (Figure 14B).

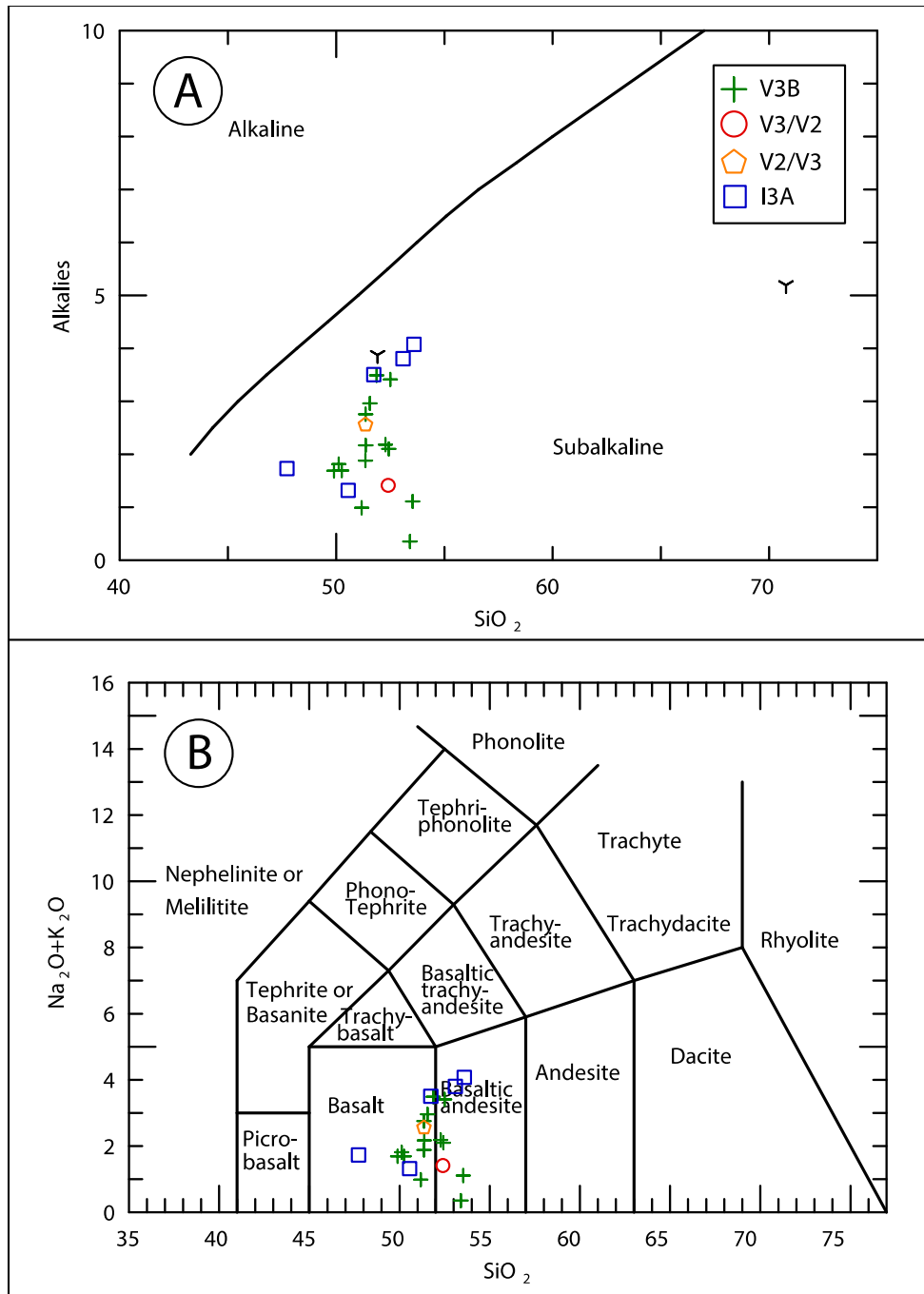


Figure 14: Rock classification chart of the Troilus-Tortigny property after Irvine and Baragar (1971) and Le Maître (2002)



The diagram of Figure 15 emphasizes in the magmatic affinity of these rocks. The AFM diagram of Irvine and Baragar (1971) where FeO \* represents total iron, states that basalts / andesites belong to the tholeiitic magmatic series and that gabbros could be comagmatic to these flows.

These diagrams are suitable for major elements. More detailed interpretation could have been obtained from minor and traces elements analysis, since major elements can be mobile under many conditions.

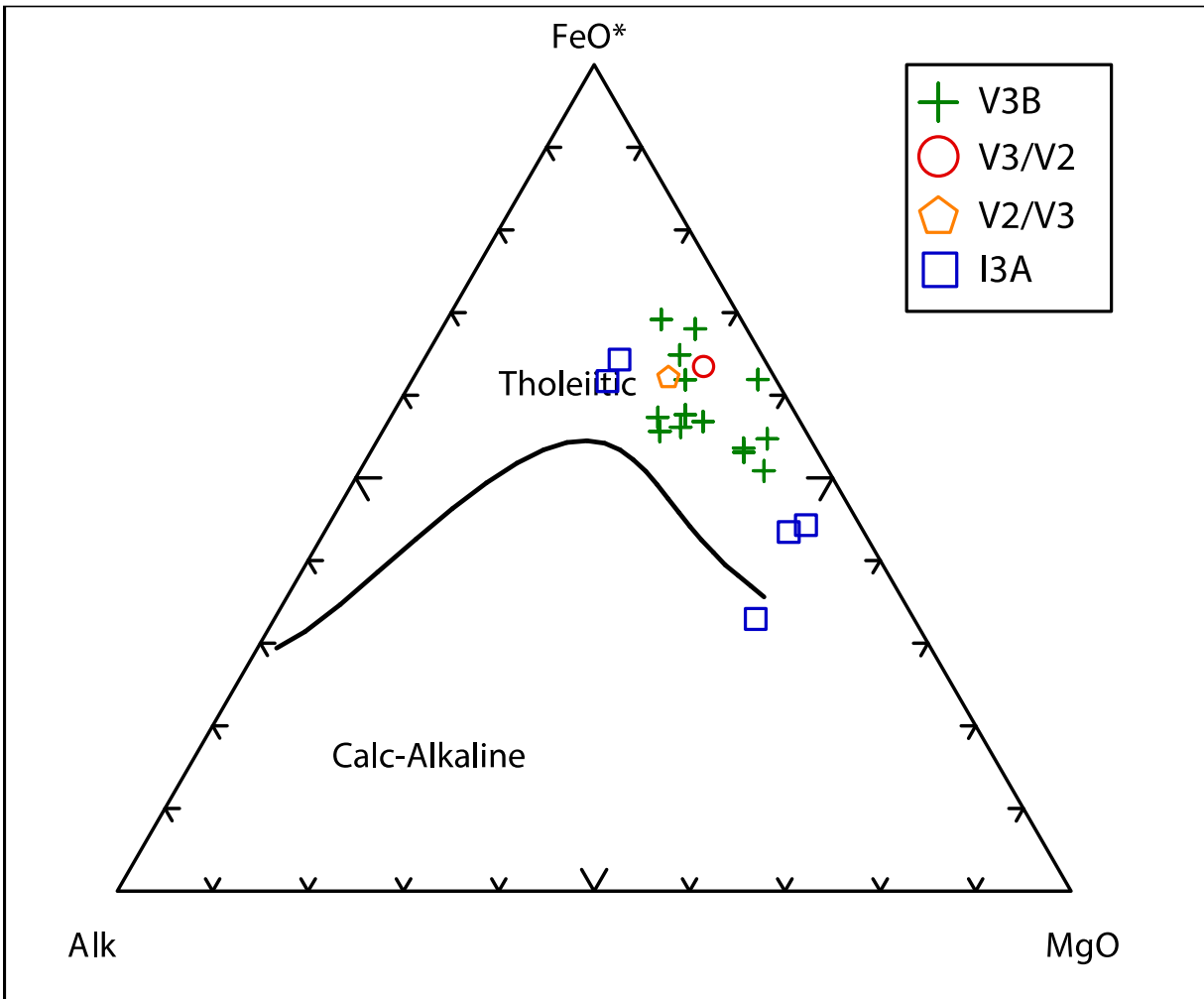


Figure 15: AFM classification chart of Irvine and Baragar (1971)

Further analysis of these results, and possibly more sampling should strongly be considered in order to recognize alteration patterns that may point (vector) to possible local mineralization.

#### 5.14. Data validation

To validate the laboratory some control materials were added to the sampling sequences. One standard (OREAS 216) and two blanks have been inserted. The two blanks returned very low values in Au and base metals while the standard returned an acceptable value since included in the interval of confidence. For more details, see the two following tables.

# sample	Au (ppm)_labo	Au (ppm)_certified	Type STD
952422	6.58	6.62	OREAS 216

# sample	Au (ppm)	Ag (ppm)	Co (ppm)	Cu (ppm)	Ni (ppm)	Zn (ppm)
952441	0.023	0.3	18	98	33	70
952443	-0.005	-0.2	45	17	2	88

Note that the QA/QC protocol used should be considered insufficient, and more control samples should have been used for the amount samples collected. However, given that the majority, if not all assay results are fairly low to anomalous, the authors do not believe that further QA/QC on the samples collected are warranted at this time. Future programs must employ a more stringent protocol with a larger portion of control samples and duplicates.

## **6. INTERPRETATION**

Given the size of the Property and the scope of the exploration program being limited to specific areas, an interpretation of the results is given below for each of these areas.

### **6.1. Moblan Area**

A total of 3 Grids were investigated, 2 of which warrant further work.

#### **6.1.1. Grid 1802**

Located north of the Moblan lithium deposit, this grid consisted of a small MegaTEM anomaly which remains unexplained. Given the scarcity of outcrops in the immediate area, follow-work should include surface geochemical sampling and further Beep-Mat prospecting down-ice from the anomaly for possible till/boulder trains. Given the very easy access to the area, a day or two of work by a two-man crew could easily accomplish this.

#### **6.1.2. Grid 1803**

The Pegmatite in this area returned only low lithium values. No further work is recommended for the time being for this area. The potential of this area for lithium could be revisited if and when the neighboring Moblan deposit comes closer to production.

#### **6.1.3. Grid 1838 (Coulombe Showing)**

Although only a few samples were anomalous in base metals at best, the potential of this area remains very good for volcanic massive sulphide mineralization in the authors opinion. There is a strong possibility that the Coulombe showing is located along the same stratigraphic horizon as of Tortigny, and in addition, a review of historical drill holes indicates that the mineralization may become more interesting with depth. Further work is recommended in the area, starting with more in-depth analysis of samples collected (mostly whole rock). Following this, a small drilling program of drilling (600m-1000m) should focus on the strong EM targets located near the property boundary with Moblan and at further depth of the best historical hole, followed by downhole EM.

### **6.2. Chalonneau Area**

#### **6.2.1. Grids 1841 to 1844**

Results for this area were disappointing given that none of the historical sulphide bearing boulders could be located. Only anomalous amounts of nickel were sampled in the area, indicating a more mafic

environment than that of the nearby Tortigny deposit. Given the amount of historical work done in the immediate area, no further work is recommended here for the time being.

### **6.3. Lessard Area**

#### **6.3.1. Grid 1804**

This area was of interest due its proximity to the Lessard deposit and the presence of unexplained electromagnetic anomalies. Best results where from a Gabbro which returned anomalous values in copper and nickel of up to 0.7% Cu and 0.4 Ni% respectively. Although not a priority due to the low grades, further work should focus on the area the mineralization with further prospection and possibly ground EM geophysics if more mineralization is located.

### **6.4. Route du Nord - Grid 1831**

The source of the MegaTEM anomaly could not be identified for this grid. Only a day of exploration was conducted, and therefore coverage was limited. More surface exploration and mapping may be beneficial, but is not a priority.

### **6.5. Crab Lake/Pearl Area**

#### **6.5.1. Grid 1805**

Of the two EM anomalies located on this grid, the most eastern one is most likely explained by the presence of 1%-15% sulphides which assayed only anomalous quantities of copper and zinc. The western EM anomaly remains unexplained but given its proximity to eastern anomaly and the local geological trend based on magnetic data, the anomaly is likely caused by the same formation as its eastern counterpart. No further work is recommended for this area.

#### **6.5.2. Grids 1825 and 1826**

These two grids are located over a very strong and long electromagnetic anomaly which is part of a seemingly folded basalt (anticline). Prospection and historical drilling indicate that this basalt is sulphide-rich, but these consists mostly Pyrite and Pyrrhotite. Best base metal values were 0.3% for copper and 0.35% for zinc. Precious metals were low to anomalous across the board. No further work is recommended here.

#### **6.5.3. Grids 1827-1828**

Due to lack of bedrock exposure in the area, these two MegaTEM anomalies located on these two separate grids could not be explained. Recommended follow-up work for these grids is to explore the areas down ice with Beep-Map prospecting in the hopes of identifying any potential boulders which could possibly explain the source of the EM anomaly, as well as conduct till sampling with the same objective.



#### **6.5.4. Grid 1833**

No outcrop exposure could be located on this grid, and despite locating three small conductive boulders, no mineralization on note could be established. A small till sampling program was conducted to the southwest, mostly down-ice from the strongest VTEM anomaly in the hopes of identifying any favorable mineralization trend coming from this anomaly. Follow-up work should await complete results from this till program.

### **6.6. Oudiette Area**

#### **6.6.1. Grids 1801 and 1836**

The source of the strong and isolated MegaTEM anomalies located within these grids has been located and identified by the field crew and consists principally of massive to semi-massive sulphides composed mainly of pyrite and lesser pyrrhotite. Most assay result did not return any Gold, Silver, Copper or Zinc values of note. Best sample 1690 ppm Cu. No further work is recommended here.

### **6.7. Boulder zone**

Exploration in area was limited due to time constraints. Several grids were not properly investigated and some not at all. Results of the sampling 2018 returned a few a samples anomalous Zn values (up to 0.4%) and couple of Cu values over 0.1%. Further digitization of historical data and 5-7 days of surface exploration, mapping, data validation and producing an updated geological database is recommended for the area prior to more advanced work.

### **6.8. Troilus Road South area**

Grids 1834 and 1835 were selected due to the presence of two weak MegaTEM anomalies. Exploration did encounter any mineralization of note. No further work is recommended.

### **6.9. Troilus Road North area**

#### **6.9.1. Grid 1813**

Just like the previous area, surface exploration could not explain the presence of the electro-magnetic anomaly in this area. Samples collected did not return any assay values of interest and no further work is recommended for the area. It is theorized that the EM anomalies may be caused by graphite and pyrrhotite as historical data notes their presence just of the property boundary.

### **6.9.2. Grid 1840**

Low grade gold (0.4 g/t Au) was assayed in a grab sample in an area located between the old Troilus mine and small gold occurrence further southwest. Given the geological context, this area does warrant further investigation and due to the amount of historical work, further compilation and digitization of the historical surface and drill hole data is recommended in this area prior to recommending further field work.

## **6.10. Troilus Lake Area**

### **6.10.1. Grid 1815**

The exact location of the strong VTEM anomaly could not be investigated due to it being located underwater, but mineralization was located on nearby islands with multiple samples assaying anomalous copper between 0.1% and nearly 1%. Gold values were relatively low as well, but were closely linked to copper values, with the highest gold value of 0.235 g/t Au being associated to the highest Cu value.

Further work is recommended here in the form of winter ground geophysics (MaxMin) and bottom lake sampling over the VTEM anomaly to confirm it is a valid target and its exact location. It could subsequently be drilled on ice if conditions are proper or by helicopter if the islands are close enough to the target.

### **6.10.2. Grid 1816**

Only a few non-mineralized outcrops were found and sampled in this area and none of the historical drill holes could be located on this grid. It is likely that these historical holes targeted the secondary VTEM anomalies located here. No further work is recommended in this area for the time being.

### **6.10.3. Grid 1817**

This grid located atop a strong MegaTEM anomaly which returned anomalous values in nickel where semi-massive sulphides were identified during the summer program. Unfortunately, samples have not been assayed for PGE mineralization, and it is recommended that they should be in order to determine next steps for the area.

## **6.11. Other Areas**

### **6.11.1. Grid 1846**

A grab sampled assaying 1.66 g/t Au was taken on this grid. Although still relatively low grade, the proximity of the sample to old Troilus mine could be interesting and further work. The sample was taken within a sheared basalt containing 10-15% stringers of pyrite and pyrrhotite. Further ground investigation and review of all historical data is warranted here prior to determining further advanced work.

---

## 7. CONCLUSIONS

Located within Frotet-Troilus greenstone belt, the large Troilus property is located over prospective ground that warrant further exploration. Beaufield's 6 week exploration program of prospecting and mapping on the Troilus-Tortigny property was successful in identifying several new areas of interest on both old and recently staked claims.

It is recommended that further work concentrate on the claims with the most potential and those which the 2018 program did not have time to properly explore. This work should entitle additional compilation work, and a review of the data collected in 2018. Due to time constraints in the production of this report, a proposed budget could not be proposed.

## 8. REFERENCES

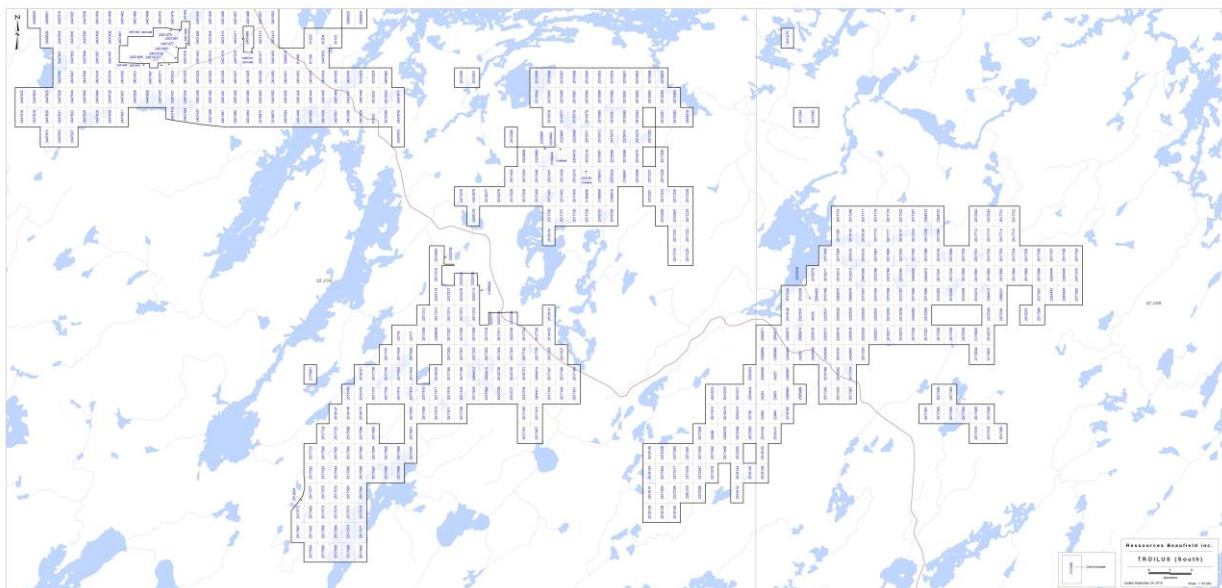
- AMVRATCHEV, L. 1985.** Carte géologique du Québec. Ministère et de Ressources de l'Énergie, Québec; Carte n2001 du DV 85-09; echelle 1 : 1 500 000
- AUGER, C.-C., BROUSSEAU, K. 2018.** Compilation report on the northeast portion of the Troilus-tortigny Property, James Bay, Québec. Beaufield Resources. 251 p.
- BEAUREGARD, A. J., AND GAUDREAU, D. 2005.** Technical Report on The Troilus-Mistassini group of Properties. Internal report NI 43-101.
- CARD, K.D., 1990.** A review of the Superior Province of the Canadian Shield, a product of Archean accretion. *Precambrian Research*, 48(1-2), pp.99-156.
- DESSUREAULT, M. 1997.** Rapport sur des Travaux d'exploration, Propriété Tortigny Projet 461. Mines et Exploration Noranda Inc. Assessment Report, Ministère des Ressources Naturelles du Québec, Sigéom file number GM55449. 108p.
- ECKSTRAND, O.-R., HULBERT, L.-J. 2007.** Magmatic Nickel-Copper-Platinum Group Element Deposits. Geological Association of Canada. Mineral Deposit of Canada: A Synthesis of Major Deposit Types, District Metallogeny, the evolution of Geological Provinces and Exploration Models
- ENVIRONMENT CANADA. 2018.** Historical Data from Poste de Chapais.  
<[http://climat.meteo.gc.ca/climate\\_data/monthly\\_data\\_f.html?hlyRange=%7C&dlyRange=1962-05-01%7C2004-04-30&mlyRange=1962-01-01%7C2004-04-01&StationID=6026&Prov=QC&urlExtension=\\_f.html&searchType=stnName&optLimit=yearRange&StartYear=1840&EndYear=2018&selRowPerPage=25&Line=2&searchMethod=contains&Month=1&Day=23&txtStationName=Chapais&timeframe=3&Year=2004](http://climat.meteo.gc.ca/climate_data/monthly_data_f.html?hlyRange=%7C&dlyRange=1962-05-01%7C2004-04-30&mlyRange=1962-01-01%7C2004-04-01&StationID=6026&Prov=QC&urlExtension=_f.html&searchType=stnName&optLimit=yearRange&StartYear=1840&EndYear=2018&selRowPerPage=25&Line=2&searchMethod=contains&Month=1&Day=23&txtStationName=Chapais&timeframe=3&Year=2004)>
- EVANS, L., CIUCULESCU, T. 2017.** Pitchblack Resources Limited : Technical Report on the Troilus Gold-Copper Mine Mineral Resource Estimate, Quebec, Canada. 125 p.
- FRANKLIN, J.-M., GIBSON, H., JONASSON, I., GALLEY, A. 2005.** Volcanogenic Massive Sulfide deposits. Economic geology 100<sup>th</sup> anniversary volume 98: 523-560 pp.
- FRAPPIER-RIVARD, D., LARDERAZ., C. 2012.** Technical Report for t he Exploration and Drilling Campaign, Fall 2011 Troilus Property, Québec, Canada. GM 67268. Beaufield Resources. 1002 p.
- GOSELIN, C. 1995.** Synthèse géologique de la région de Frotet-Troilus et ses implications pour l'exploration.
- GOSELIN, C. 1996.** Synthèse géologique de la région de Frotet-Troilus.



- HOCQ, M., 1994.** La province du Supérieur. *Géologie du Québec: Les Publications du Québec, Québec*, pp.7-20.
- ILIEVA, T., KRUSE, S., DAMJANOVIC, B. 2014.** Technical Report for the Tortigny Polymetallic Project Southern James Bay Municipality Aube, Canada. 213p.
- LONDON, D. 2008.** Pegmatites. *The Canadian Mineralogist*, Special Publication 10.
- PERCIVAL, J.A. 2007.** Geology and metallogeny of the Superior Province, Canada. *In* : Goodfellow, W.D. (Ed), *Mineral resources of Canada: A synthesis of major deposit types, district metallogeny, the evolution of Provinces, and exploration methods.*
- PERILYA. 2011.** Press release of May 31<sup>st</sup> 2011 : MOBLAN LITHIUM PROJECT – SIGNIFICANT INCREASE IN MINERAL RESOURCE. 9 p.
- SAWYER, E. W., & BENN, K. 1993.** Structure of the high-grade Opatoca Belt and adjacent low-grade Abitibi Subprovince, Canada: an Archaean mountain front. *Journal of Structural Geology*, 15(12), 1443-1458.
- SIGÉOM. 2018.** Internet website of Système d'Information Géominière du Québec. Showing Boulder Groupe.  
[http://sigeom.mines.gouv.qc.ca/signet/classes/l1103\\_index?format=COMPLET&type\\_reqt=U&mode=NOUVELLE&l=F&entt=GM&numr\\_utls=2339111&alias\\_table\\_crit=F4E02&mnen\\_crit=NUMR\\_INTER&oper\\_crit=EGAL&valr\\_crit=167](http://sigeom.mines.gouv.qc.ca/signet/classes/l1103_index?format=COMPLET&type_reqt=U&mode=NOUVELLE&l=F&entt=GM&numr_utls=2339111&alias_table_crit=F4E02&mnen_crit=NUMR_INTER&oper_crit=EGAL&valr_crit=167)
- SINCLAIR, W.-D. 2007.** Porphyry Deposits. Geological Association of Canada. *Mineral Deposit of Canada: A Synthesis of Major Deposit Types, District Metallogeny, the evolution of Geological Provinces and Exploration Models*
- STEPHENS, M., AND RIVARD D. F., 2013.** Drilling Report 2010-2011 Tortigny Deposit, Troilus Property, Quebec, Canada
- TROILUS GOLD CORP. 2018a.** Press release of March 26<sup>th</sup>, 2018: TROILUS GOLD CORP. PROVIDES UPDATE ON 30 000 METRE DRILL PROGRAM AT TROILUS PROPERTY. Toronto, Ontario. 08 p.  
<[https://www.troilusgold.com/resources/news/nr\\_20180326.pdf](https://www.troilusgold.com/resources/news/nr_20180326.pdf)>
- TROILUS GOLD CORP. 2018b.** Internet website of Troilus Gold Corp. TROILUS GOLD PROJECT – GEOLOGY & MINERAL RESOURCES. <<https://www.troilusgold.com/troilus-gold-project/#geology-and-mineral-resources>>

## APPENDICES

**Appendix I : CDC maps and list**



Title number	NTS	Surface (hectares)	Emission date	Expiration date	Credit (CAN)
22693	32J09	54,67	06/15/2004	06/14/2020	17703
22694	32J09	54,67	06/15/2004	06/14/2020	18329
23716	32J10	54,64	06/14/2004	06/13/2020	0
23717	32J10	54,64	06/14/2004	06/13/2020	0
23730	32J10	54,67	06/14/2004	06/13/2020	14288
23931	32J09	54,67	06/17/2004	06/16/2020	0
24255	32J09	54,65	06/17/2004	06/16/2020	0
24257	32J09	54,66	06/17/2004	06/16/2020	12323
24261	32J09	54,67	06/17/2004	06/16/2020	17209
24269	32J10	54,68	06/17/2004	06/16/2020	0
44235	32J09	54,63	10/18/2004	10/17/2018	0
81197	32J10	54,49	06/29/2005	06/28/2019	10532
81198	32J10	54,5	06/29/2005	06/28/2019	0
81199	32J10	54,5	06/29/2005	06/28/2019	0
81202	32J10	54,53	06/29/2005	06/28/2019	0
81203	32J10	54,49	06/29/2005	06/28/2019	0
81204	32J10	54,49	06/29/2005	06/28/2019	690
2090518	32J10	54,5	06/11/2007	06/10/2019	0
2090923	32J10	54,48	06/12/2007	06/11/2019	0
2090924	32J10	54,48	06/12/2007	06/11/2019	0
2158088	32J16	54,46	06/04/2008	06/03/2020	19789
2166908	32J10	54,57	07/24/2008	07/23/2020	0
2166909	32J10	54,57	07/24/2008	07/23/2020	0
2166910	32J10	54,57	07/24/2008	07/23/2020	6
2166913	32J10	54,56	07/24/2008	07/23/2020	2692
2166942	32J10	6,81	07/24/2008	07/23/2020	0
2166945	32J10	41,9	07/24/2008	07/23/2020	18014
2166947	32J10	54,56	07/24/2008	07/23/2020	826
2166948	32J10	42,71	07/24/2008	07/23/2020	0
2166949	32J10	32,98	07/24/2008	07/23/2020	892
2173601	32J10	54,65	10/30/2008	10/29/2018	111673
2173630	32J09	54,65	10/30/2008	10/29/2018	116676
2173631	32J09	54,65	10/30/2008	10/29/2018	5022
2173633	32J09	54,64	10/30/2008	10/29/2018	4719
2173637	32J15	54,33	10/30/2008	10/29/2018	17490
2173638	32J15	54,33	10/30/2008	10/29/2018	0
2173640	32J15	54,32	10/30/2008	10/29/2018	0
2173641	32J15	54,32	10/30/2008	10/29/2018	1517
2209948	32J10	54,64	03/11/2010	03/10/2020	0
2219972	32J10	54,53	04/23/2010	04/22/2020	0
2219973	32J10	54,53	04/23/2010	04/22/2020	0

2220041	32J15	54,47	04/23/2010	04/22/2020	1060
2220042	32J15	54,47	04/23/2010	04/22/2020	0
2220063	32J15	54,46	04/23/2010	04/22/2020	0
2220064	32J15	54,46	04/23/2010	04/22/2020	2072
2240755	32J15	43,02	07/14/2010	07/13/2020	31
2240757	32J15	52,66	07/14/2010	07/13/2020	0
2253415	32J10	54,67	10/12/2010	10/11/2018	0
2253424	32J10	54,67	10/12/2010	10/11/2018	0
2253432	32J10	54,66	10/12/2010	10/11/2018	0
2253516	32J09	54,64	10/12/2010	10/11/2018	0
2253517	32J09	54,64	10/12/2010	10/11/2018	0
2253518	32J09	54,64	10/12/2010	10/11/2018	0
2253519	32J09	54,64	10/12/2010	10/11/2018	0
2253520	32J09	54,64	10/12/2010	10/11/2018	0
2253521	32J09	54,64	10/12/2010	10/11/2018	0
2253527	32J09	54,63	10/12/2010	10/11/2018	0
2253528	32J09	54,63	10/12/2010	10/11/2018	0
2253529	32J09	54,63	10/12/2010	10/11/2018	0
2253530	32J09	54,63	10/12/2010	10/11/2018	0
2253531	32J09	54,63	10/12/2010	10/11/2018	0
2253877	32J15	54,43	10/14/2010	10/13/2018	76737
2253878	32J15	54,43	10/14/2010	10/13/2018	0
2253880	32J15	54,42	10/14/2010	10/13/2018	0
2254467	32O01	54,18	10/18/2010	10/17/2018	1
2255902	32J16	54,2	10/25/2010	10/24/2018	387
2255903	32J16	54,2	10/25/2010	10/24/2018	109118
2262720	32J10	3,84	12/03/2010	12/02/2018	0
2264368	32J09	54,66	12/14/2010	12/13/2018	0
2264369	32J09	54,65	12/14/2010	12/13/2018	0
2264372	32J09	54,62	12/14/2010	12/13/2018	4632
2264374	32J09	54,58	12/14/2010	12/13/2018	0
2264375	32J09	54,58	12/14/2010	12/13/2018	1567
2264376	32J10	54,68	12/14/2010	12/13/2018	0
2264400	32J09	38,62	12/14/2010	12/13/2018	73119
2283442	32J09	54,62	04/07/2011	04/06/2019	5448
2283443	32J09	54,62	04/07/2011	04/06/2019	9814
2283444	32J09	54,61	04/07/2011	04/06/2019	5448
2283445	32J09	54,61	04/07/2011	04/06/2019	7444
2323529	32J09	16	12/08/2011	05/03/2019	72679
2323531	32J09	54,63	12/08/2011	05/03/2019	1216
2323689	32J10	54,55	12/08/2011	12/03/2018	12404
2323690	32J10	54,55	12/08/2011	12/03/2018	0
2323691	32J10	11,84	12/08/2011	12/03/2018	581
2323692	32J10	21,57	12/08/2011	12/03/2018	46840
2323697	32J10	54,54	12/08/2011	12/03/2018	0



2323698	32J10	54,54	12/08/2011	12/03/2018	0
2323700	32J10	12,66	12/08/2011	12/03/2018	66
2323706	32J10	12,46	12/08/2011	04/14/2019	0
2323708	32J10	33,32	12/08/2011	04/14/2019	26864
2323709	32J10	27,27	12/08/2011	04/14/2019	33353
2323712	32J10	47,8	12/08/2011	04/14/2019	31325
2323714	32J10	54,62	12/08/2011	04/14/2019	13908
2323746	32J10	54,64	12/08/2011	12/13/2018	0
2323747	32J10	9,71	12/08/2011	12/13/2018	759
2323748	32J10	34,36	12/08/2011	12/13/2018	0
2323749	32J10	34,9	12/08/2011	12/13/2018	17519
2334726	32J10	54,52	03/06/2012	03/05/2020	0
2335740	32J15	54,33	04/13/2012	09/22/2018	886
2335741	32J15	54,33	04/13/2012	09/22/2018	1161
2342477	32J15	43,02	04/26/2012	04/25/2020	0
2351879	32J10	54,57	06/19/2012	06/18/2020	816
2369221	32J09	54,62	11/05/2012	11/04/2018	4632
2371567	32J09	54,62	11/28/2012	11/27/2018	0
2371568	32J09	54,62	11/28/2012	11/27/2018	0
2371569	32J09	54,62	11/28/2012	11/27/2018	0
2371577	32J10	54,7	11/28/2012	11/27/2018	4800
2371578	32J10	54,7	11/28/2012	11/27/2018	4800
2371579	32J10	54,7	11/28/2012	11/27/2018	3600
2371580	32J10	54,69	11/28/2012	11/27/2018	4800
2371581	32J10	54,69	11/28/2012	11/27/2018	4800
2371582	32J10	54,69	11/28/2012	11/27/2018	3600
2371584	32J10	54,66	11/28/2012	11/27/2018	0
2372785	32J09	54,62	12/14/2012	12/13/2018	0
2372786	32J09	54,62	12/14/2012	12/13/2018	0
2372787	32J09	54,62	12/14/2012	12/13/2018	0
2372788	32J09	54,61	12/14/2012	12/13/2018	0
2372789	32J09	54,61	12/14/2012	12/13/2018	0
2372794	32J10	54,71	12/14/2012	12/13/2018	3600
2385965	32J09	54,67	05/28/2013	05/27/2019	0
2385966	32J09	54,67	05/28/2013	05/27/2019	0
2385967	32J09	54,66	05/28/2013	05/27/2019	0
2385968	32J09	54,65	05/28/2013	05/27/2019	0
2385969	32J09	54,65	05/28/2013	05/27/2019	0
2385971	32J09	54,64	05/28/2013	05/27/2019	0
2385972	32J09	54,64	05/28/2013	05/27/2019	0
2385973	32J09	54,64	05/28/2013	05/27/2019	0
2385974	32J09	54,64	05/28/2013	05/27/2019	0
2385975	32J09	54,62	05/28/2013	05/27/2019	0
2385976	32J09	54,62	05/28/2013	05/27/2019	0
2391579	32J10	54,71	10/08/2013	10/07/2019	3600

2401405	32J10	54,48	03/26/2014	08/05/2019	39160
2401406	32J10	54,48	03/26/2014	08/05/2019	37867
2401407	32J10	54,48	03/26/2014	08/05/2019	39261
2401408	32J10	54,49	03/26/2014	08/05/2019	36310
2401409	32J10	54,49	03/26/2014	08/05/2019	36929
2401410	32J10	54,49	03/26/2014	08/05/2019	39724
2401411	32J10	54,49	03/26/2014	08/05/2019	38099
2401412	32J10	54,49	03/26/2014	08/05/2019	39269
2401413	32J10	54,49	03/26/2014	08/05/2019	40049
2401414	32J10	54,5	03/26/2014	08/05/2019	40057
2401415	32J10	54,5	03/26/2014	08/05/2019	38497
2401416	32J10	54,5	03/26/2014	08/05/2019	39343
2401417	32J10	54,5	03/26/2014	08/05/2019	40057
2401418	32J10	54,51	03/26/2014	08/05/2019	36620
2401419	32J10	54,51	03/26/2014	08/05/2019	36944
2401420	32J10	54,51	03/26/2014	08/05/2019	37724
2401421	32J10	54,51	03/26/2014	08/05/2019	37724
2401422	32J10	54,51	03/26/2014	08/05/2019	40064
2401423	32J10	54,51	03/26/2014	08/05/2019	40064
2401424	32J10	54,51	03/26/2014	08/05/2019	40064
2401425	32J10	54,51	03/26/2014	08/05/2019	40844
2401426	32J10	54,51	03/26/2014	08/05/2019	40064
2401427	32J10	54,51	03/26/2014	08/05/2019	37244
2401428	32J10	54,51	03/26/2014	08/05/2019	40844
2401429	32J10	54,51	03/26/2014	08/05/2019	39674
2401430	32J10	54,51	03/26/2014	08/05/2019	40844
2401431	32J10	54,51	03/26/2014	08/05/2019	40844
2401432	32J10	54,51	03/26/2014	08/05/2019	40064
2401433	32J10	54,51	03/26/2014	08/05/2019	38504
2401434	32J10	54,51	03/26/2014	08/05/2019	39044
2401435	32J10	54,51	03/26/2014	08/05/2019	38894
2401436	32J10	54,51	03/26/2014	08/05/2019	39044
2401437	32J10	54,52	03/26/2014	08/05/2019	39292
2401438	32J10	54,52	03/26/2014	08/05/2019	40852
2401439	32J10	54,52	03/26/2014	08/05/2019	40072
2401440	32J10	54,52	03/26/2014	08/05/2019	39682
2401441	32J10	54,52	03/26/2014	08/05/2019	40852
2401442	32J10	54,52	03/26/2014	08/05/2019	40072
2401443	32J10	54,52	03/26/2014	08/05/2019	38512
2401444	32J10	54,52	03/26/2014	08/05/2019	38272
2401445	32J10	54,52	03/26/2014	08/05/2019	37252
2401446	32J10	54,52	03/26/2014	08/05/2019	39052
2401447	32J10	54,52	03/26/2014	08/05/2019	39153
2401448	32J10	54,52	03/26/2014	08/05/2019	35452
2401449	32J10	54,53	03/26/2014	08/05/2019	40360

2401450	32J10	54,53	03/26/2014	08/05/2019	37260
2401451	32J10	54,5	03/26/2014	08/05/2019	36937
2401452	32J10	54,5	03/26/2014	08/05/2019	40837
2401453	32J10	54,5	03/26/2014	08/05/2019	40418
2401454	32J10	54,49	03/26/2014	08/05/2019	40049
2401455	32J10	54,48	03/26/2014	08/05/2019	39261
2401456	32J10	54,49	03/26/2014	08/05/2019	39269
2401457	32J10	54,5	03/26/2014	08/05/2019	37717
2401458	32J10	54,48	03/26/2014	08/05/2019	34066
2401459	32J10	54,48	03/26/2014	08/05/2019	34074
2401460	32J10	25,52	03/26/2014	08/05/2019	18258
2401461	32J10	48,66	03/26/2014	08/05/2019	36287
2401462	32J10	54,48	03/26/2014	08/05/2019	34074
2401463	32J10	13,15	03/26/2014	08/05/2019	9595
2401464	32J10	22,76	03/26/2014	08/05/2019	17083
2401465	32J10	54,48	03/26/2014	08/05/2019	34082
2401466	32J10	22,79	03/26/2014	08/05/2019	17106
2401467	32J10	54,51	03/26/2014	08/05/2019	28005
2401468	32J10	8,9	03/26/2014	08/05/2019	6284
2401469	32J10	54,48	03/26/2014	08/05/2019	34082
2401470	32J10	54,52	03/26/2014	08/05/2019	24997
2401471	32J10	54,51	03/26/2014	08/05/2019	25449
2401472	32J10	8,71	03/26/2014	08/05/2019	6136
2401473	32J10	53,66	03/26/2014	08/05/2019	33435
2401474	32J10	15,58	03/26/2014	08/05/2019	11489
2401475	32J10	1,73	03/26/2014	08/05/2019	698
2401476	32J10	34,73	03/26/2014	08/05/2019	1063
2401477	32J10	0,01	03/26/2014	08/05/2019	0
2401478	32J10	54,3	03/26/2014	08/05/2019	33926
2401479	32J10	54,41	03/26/2014	08/05/2019	40766
2401480	32J10	10,69	03/26/2014	08/05/2019	7679
2401481	32J10	0,74	03/26/2014	08/05/2019	0
2401482	32J10	42,33	03/26/2014	08/05/2019	28456
2401483	32J15	54,47	03/26/2014	08/05/2019	3455
2401484	32J10	40,16	03/26/2014	08/05/2019	8262
2401485	32J10	0,04	03/26/2014	08/05/2019	0
2401486	32J15	54,47	03/26/2014	08/05/2019	7288
2401487	32J10	45,3	03/26/2014	08/05/2019	8059
2401488	32J15	11,45	03/26/2014	08/05/2019	8271
2401489	32J10	49,4	03/26/2014	08/05/2019	8083
2401490	32J15	11,45	03/26/2014	08/05/2019	8271
2401491	32J10	53,03	03/26/2014	08/05/2019	8153
2401492	32J10	54,53	03/26/2014	08/05/2019	7740
2401493	32J15	54,47	03/26/2014	08/05/2019	7288
2401494	32J10	54,53	03/26/2014	08/05/2019	697

2401495	32J10	54,52	03/26/2014	08/05/2019	34619
2401496	32J10	9,28	03/26/2014	08/05/2019	6580
2401497	32J15	1,81	03/26/2014	08/05/2019	760
2401498	32J10	42,88	03/26/2014	08/05/2019	31783
2401499	32J10	49,76	03/26/2014	08/05/2019	32079
2401500	32J10	54,52	03/26/2014	08/05/2019	32523
2401501	32J10	54,48	03/26/2014	08/05/2019	34034
2401502	32J10	54,52	03/26/2014	08/05/2019	32523
2401503	32J10	54,48	03/26/2014	08/05/2019	34814
2401504	32J10	54,53	03/26/2014	08/05/2019	23470
2401505	32J10	54,52	03/26/2014	08/05/2019	37892
2401506	32J10	54,53	03/26/2014	08/05/2019	37782
2401507	32J10	54,53	03/26/2014	08/05/2019	28044
2401508	32J10	54,53	03/26/2014	08/05/2019	18320
2401509	32J10	54,53	03/26/2014	08/05/2019	21281
2404406	32J15	54,34	05/23/2014	05/22/2020	0
2404418	32J16	54,21	05/23/2014	05/22/2020	0
2422145	32O01	54,13	02/03/2015	02/02/2019	50238
2422146	32O01	54,13	02/03/2015	02/02/2019	8217
2422147	32O01	54,12	02/03/2015	02/02/2019	19295
2424548	32J09	54,65	03/16/2015	03/15/2019	0
2424549	32J09	54,65	03/16/2015	03/15/2019	0
2424550	32J15	54,44	03/16/2015	03/15/2019	0
2424551	32J15	54,44	03/16/2015	03/15/2019	0
2424552	32J15	54,34	03/16/2015	03/15/2019	900
2424553	32J16	54,41	03/16/2015	03/15/2019	0
2428481	32J09	54,65	06/02/2015	06/01/2019	0
2428483	32J09	54,63	06/02/2015	06/01/2019	0
2447644	32J10	54,52	06/10/2016	06/09/2020	0
2447645	32J10	54,52	06/10/2016	06/09/2020	0
2447646	32J10	54,52	06/10/2016	06/09/2020	0
2447647	32J10	54,51	06/10/2016	06/09/2020	0
2447648	32J10	54,51	06/10/2016	06/09/2020	0
2447649	32J10	54,5	06/10/2016	06/09/2020	0
2447808	32J09	54,61	06/13/2016	06/12/2020	0
2447815	32J10	54,54	06/13/2016	06/12/2020	0
2447816	32J10	54,54	06/13/2016	06/12/2020	0
2447818	32J10	54,53	06/13/2016	06/12/2020	0
2447819	32J10	54,53	06/13/2016	06/12/2020	0
2447820	32J10	54,53	06/13/2016	06/12/2020	0
2447821	32J10	54,53	06/13/2016	06/12/2020	0
2447822	32J10	54,53	06/13/2016	06/12/2020	0
2447823	32J10	54,52	06/13/2016	06/12/2020	0
2447824	32J10	54,52	06/13/2016	06/12/2020	0
2447825	32J10	54,52	06/13/2016	06/12/2020	0

2447826	32J10	54,52	06/13/2016	06/12/2020	0
2447827	32J10	54,52	06/13/2016	06/12/2020	0
2447828	32J10	54,52	06/13/2016	06/12/2020	0
2447829	32J10	54,52	06/13/2016	06/12/2020	0
2447830	32J10	54,51	06/13/2016	06/12/2020	0
2447831	32J10	54,5	06/13/2016	06/12/2020	0
2447832	32J10	54,5	06/13/2016	06/12/2020	0
2447833	32J10	54,5	06/13/2016	06/12/2020	0
2447834	32J10	54,49	06/13/2016	06/12/2020	0
2447835	32J10	54,49	06/13/2016	06/12/2020	0
2447836	32J10	54,49	06/13/2016	06/12/2020	0
2447837	32J10	54,48	06/13/2016	06/12/2020	0
2447838	32J10	54,48	06/13/2016	06/12/2020	0
2447842	32J15	54,47	06/13/2016	06/12/2020	0
2447843	32J15	54,47	06/13/2016	06/12/2020	0
2447844	32J15	54,47	06/13/2016	06/12/2020	0
2447845	32J15	54,47	06/13/2016	06/12/2020	0
2447846	32J15	54,46	06/13/2016	06/12/2020	0
2447847	32J15	54,46	06/13/2016	06/12/2020	0
2447848	32J15	54,46	06/13/2016	06/12/2020	0
2447849	32J15	54,46	06/13/2016	06/12/2020	0
2447850	32J15	54,46	06/13/2016	06/12/2020	0
2447851	32J15	54,46	06/13/2016	06/12/2020	0
2447852	32J15	54,46	06/13/2016	06/12/2020	0
2447853	32J15	54,45	06/13/2016	06/12/2020	0
2447854	32J15	54,45	06/13/2016	06/12/2020	0
2447855	32J15	54,45	06/13/2016	06/12/2020	0
2447927	32J10	54,54	06/13/2016	06/12/2020	0
2447928	32J10	54,53	06/13/2016	06/12/2020	0
2447929	32J10	54,53	06/13/2016	06/12/2020	0
2447930	32J10	54,53	06/13/2016	06/12/2020	0
2447931	32J10	54,53	06/13/2016	06/12/2020	0
2447975	32J10	54,54	06/13/2016	06/12/2020	0
2447976	32J10	54,53	06/13/2016	06/12/2020	0
2447977	32J10	54,52	06/13/2016	06/12/2020	0
2447978	32J10	54,48	06/13/2016	06/12/2020	0
2447979	32J15	54,47	06/13/2016	06/12/2020	0
2447980	32J15	54,47	06/13/2016	06/12/2020	0
2447981	32J15	54,47	06/13/2016	06/12/2020	0
2447982	32J15	54,47	06/13/2016	06/12/2020	0
2447983	32J15	54,47	06/13/2016	06/12/2020	0
2447984	32J15	54,46	06/13/2016	06/12/2020	0
2447985	32J15	54,46	06/13/2016	06/12/2020	0
2447986	32J15	54,46	06/13/2016	06/12/2020	0
2447987	32J15	54,41	06/13/2016	06/12/2018	0



2447992	32J10	54,51	06/13/2016	06/12/2020	0
2447993	32J15	54,45	06/13/2016	06/12/2020	0
2447994	32J15	54,45	06/13/2016	06/12/2020	0
2447995	32J15	54,45	06/13/2016	06/12/2020	0
2447996	32J15	54,44	06/13/2016	06/12/2020	0
2447997	32J15	54,44	06/13/2016	06/12/2020	0
2454358	32J15	54,42	07/25/2016	07/24/2020	0
2454359	32J15	54,42	07/25/2016	07/24/2020	0
2454360	32J15	54,38	07/25/2016	07/24/2020	120
2454361	32J15	54,36	07/25/2016	07/24/2020	0
2454362	32J15	54,35	07/25/2016	07/24/2020	0
2454363	32J15	54,35	07/25/2016	07/24/2020	0
2454364	32J15	54,34	07/25/2016	07/24/2020	0
2454365	32J15	54,34	07/25/2016	07/24/2020	0
2454366	32J15	54,34	07/25/2016	07/24/2020	0
2454367	32J15	54,34	07/25/2016	07/24/2020	0
2454368	32J15	54,33	07/25/2016	07/24/2020	0
2454369	32J15	54,33	07/25/2016	07/24/2020	0
2454370	32J15	54,33	07/25/2016	07/24/2020	0
2454371	32J15	54,33	07/25/2016	07/24/2020	120
2454372	32J15	54,33	07/25/2016	07/24/2020	120
2454373	32J15	54,33	07/25/2016	07/24/2020	120
2454374	32J15	54,33	07/25/2016	07/24/2020	120
2454375	32J15	54,32	07/25/2016	07/24/2020	0
2454376	32J15	54,32	07/25/2016	07/24/2020	0
2454377	32J15	54,32	07/25/2016	07/24/2020	0
2454378	32J15	54,32	07/25/2016	07/24/2020	120
2454379	32J15	54,32	07/25/2016	07/24/2020	120
2454380	32J15	54,32	07/25/2016	07/24/2020	120
2454381	32J15	54,3	07/25/2016	07/24/2020	0
2454382	32J15	54,29	07/25/2016	07/24/2020	0
2454383	32J15	54,29	07/25/2016	07/24/2020	0
2454384	32J15	54,29	07/25/2016	07/24/2020	0
2454385	32J15	54,28	07/25/2016	07/24/2020	0
2454386	32J15	54,28	07/25/2016	07/24/2020	0
2454387	32J15	54,26	07/25/2016	07/24/2020	0
2454388	32J15	54,25	07/25/2016	07/24/2020	0
2454389	32J15	54,25	07/25/2016	07/24/2020	0
2454390	32J15	54,25	07/25/2016	07/24/2020	0
2454391	32J15	54,24	07/25/2016	07/24/2020	0
2454392	32J15	54,24	07/25/2016	07/24/2020	0
2454393	32J15	54,23	07/25/2016	07/24/2020	0
2454394	32J15	54,22	07/25/2016	07/24/2020	0
2454395	32J15	54,22	07/25/2016	07/24/2020	0
2454396	32J15	54,21	07/25/2016	07/24/2020	0

2454397	32J15	54,21	07/25/2016	07/24/2020	0
2454409	32J09	54,61	07/25/2016	07/24/2020	0
2454410	32J09	54,61	07/25/2016	07/24/2020	0
2454411	32J10	54,66	07/25/2016	07/24/2020	0
2454412	32J10	54,65	07/25/2016	07/24/2020	0
2454413	32J10	54,65	07/25/2016	07/24/2020	0
2454414	32J10	54,65	07/25/2016	07/24/2020	0
2454415	32J10	54,55	07/25/2016	07/24/2020	0
2454416	32J10	54,53	07/25/2016	07/24/2018	0
2456829	32J10	54,49	08/09/2016	08/08/2018	0
2456830	32J10	54,48	08/09/2016	08/08/2018	0
2456831	32J10	54,48	08/09/2016	08/08/2018	0
2456832	32J15	54,47	08/09/2016	08/08/2018	0
2456833	32J15	54,46	08/09/2016	08/08/2018	0
2456834	32J15	54,46	08/09/2016	08/08/2018	0
2456835	32J15	54,45	08/09/2016	08/08/2018	0
2456836	32J15	54,45	08/09/2016	08/08/2018	0
2456837	32J15	54,45	08/09/2016	08/08/2018	0
2456838	32J15	54,45	08/09/2016	08/08/2018	0
2456839	32J15	54,36	08/09/2016	08/08/2018	900
2456840	32J15	54,33	08/09/2016	08/08/2018	900
2456998	32J15	54,46	08/09/2016	08/08/2018	0
2456999	32J15	54,46	08/09/2016	08/08/2018	0
2457000	32J15	54,45	08/09/2016	08/08/2018	0
2457001	32J15	54,45	08/09/2016	08/08/2018	0
2457002	32J15	54,45	08/09/2016	08/08/2018	0
2457003	32J15	54,45	08/09/2016	08/08/2018	0
2457004	32J15	54,44	08/09/2016	08/08/2018	100
2457005	32J15	54,44	08/09/2016	08/08/2018	100
2457006	32J15	54,44	08/09/2016	08/08/2018	100
2457007	32J15	54,44	08/09/2016	08/08/2018	100
2457008	32J15	54,43	08/09/2016	08/08/2018	100
2457009	32J15	54,43	08/09/2016	08/08/2018	100
2457010	32J15	54,43	08/09/2016	08/08/2018	100
2457011	32J15	54,43	08/09/2016	08/08/2018	100
2457012	32J15	54,42	08/09/2016	08/08/2018	100
2457013	32J15	54,42	08/09/2016	08/08/2018	100
2457014	32J15	54,42	08/09/2016	08/08/2018	500
2457015	32J15	54,42	08/09/2016	08/08/2018	500
2457016	32J15	54,42	08/09/2016	08/08/2018	500
2457017	32J15	54,41	08/09/2016	08/08/2018	100
2457018	32J15	54,41	08/09/2016	08/08/2018	500
2457019	32J15	54,41	08/09/2016	08/08/2018	500
2457020	32J15	54,4	08/09/2016	08/08/2018	100
2457021	32J15	54,4	08/09/2016	08/08/2018	500

2457022	32J15	54,4	08/09/2016	08/08/2018	500
2457023	32J15	54,4	08/09/2016	08/08/2018	500
2457024	32J15	54,4	08/09/2016	08/08/2018	500
2457025	32J15	54,39	08/09/2016	08/08/2018	500
2457026	32J15	54,39	08/09/2016	08/08/2018	500
2457027	32J15	54,39	08/09/2016	08/08/2018	500
2457028	32J15	54,39	08/09/2016	08/08/2018	900
2457029	32J15	54,39	08/09/2016	08/08/2018	900
2457030	32J15	54,39	08/09/2016	08/08/2018	900
2457031	32J15	54,39	08/09/2016	08/08/2018	900
2457032	32J15	54,38	08/09/2016	08/08/2018	500
2457033	32J15	54,38	08/09/2016	08/08/2018	500
2457034	32J15	54,38	08/09/2016	08/08/2018	900
2457035	32J15	54,38	08/09/2016	08/08/2018	900
2461537	32J15	54,46	09/09/2016	09/08/2018	0
2461538	32J15	54,46	09/09/2016	09/08/2018	0
2461539	32J15	54,45	09/09/2016	09/08/2018	0
2461540	32J15	54,45	09/09/2016	09/08/2018	0
2461571	32J15	48,41	09/12/2016	09/11/2018	500
2465291	32J15	54,35	10/06/2016	10/05/2018	780
2465292	32J15	54,34	10/06/2016	10/05/2018	780
2468129	32J10	54,58	11/07/2016	11/06/2018	0
2468130	32J15	54,47	11/07/2016	11/06/2018	0
2468131	32J15	54,47	11/07/2016	11/06/2018	0
2468132	32J15	54,47	11/07/2016	11/06/2018	0
2468133	32J15	54,41	11/07/2016	11/06/2018	500
2468134	32J16	54,22	11/07/2016	11/06/2018	0
2471375	32J09	54,61	12/29/2016	12/28/2018	0
2471376	32J10	54,57	12/29/2016	12/28/2018	0
2471377	32J15	54,28	12/29/2016	12/28/2018	0
2471378	32J15	54,27	12/29/2016	12/28/2018	0
2471379	32J15	54,27	12/29/2016	12/28/2018	0
2472338	32J09	54,64	01/09/2017	01/08/2019	0
2472339	32J09	54,63	01/09/2017	01/08/2019	0
2472340	32J09	54,63	01/09/2017	01/08/2019	0
2472341	32J09	54,63	01/09/2017	01/08/2019	0
2472342	32J09	54,58	01/09/2017	01/08/2019	0
2472343	32J09	54,58	01/09/2017	01/08/2019	0
2472344	32J09	54,53	01/09/2017	01/08/2019	0
2472345	32J09	54,53	01/09/2017	01/08/2019	0
2472346	32J10	54,71	01/09/2017	01/08/2019	0
2472347	32J10	54,7	01/09/2017	01/08/2019	0
2472348	32J10	54,69	01/09/2017	01/08/2019	0
2472349	32J10	54,68	01/09/2017	01/08/2019	0
2472350	32J10	54,68	01/09/2017	01/08/2019	0

2472351	32J10	54,57	01/09/2017	01/08/2019	0
2472352	32J15	54,39	01/09/2017	01/08/2019	692
2472353	32J15	54,28	01/09/2017	01/08/2019	0
2472354	32J15	54,28	01/09/2017	01/08/2019	0
2472355	32J15	54,27	01/09/2017	01/08/2019	0
2472356	32J16	54,47	01/09/2017	01/08/2019	0
2510194	32J09	54,68	01/23/2018	01/22/2020	0
2510195	32J09	54,67	01/23/2018	01/22/2020	0
2510196	32J09	54,66	01/23/2018	01/22/2020	0
2510197	32J09	54,65	01/23/2018	01/22/2020	0
2510198	32J09	54,63	01/23/2018	01/22/2020	0
2510199	32J09	54,62	01/23/2018	01/22/2020	0
2510200	32J10	54,69	01/23/2018	01/22/2020	0
2510201	32J10	54,52	01/23/2018	01/22/2020	0
2510202	32J10	54,52	01/23/2018	01/22/2020	0
2510203	32J10	54,51	01/23/2018	01/22/2020	0
2510204	32J10	54,51	01/23/2018	01/22/2020	0
2510205	32J09	54,63	01/23/2018	01/22/2020	0
2510206	32J09	54,63	01/23/2018	01/22/2020	0
2510207	32J09	54,63	01/23/2018	01/22/2020	0
2510208	32J09	54,62	01/23/2018	01/22/2020	0
2510209	32J09	54,62	01/23/2018	01/22/2020	0
2510210	32J09	54,62	01/23/2018	01/22/2020	0
2510211	32J09	54,61	01/23/2018	01/22/2020	0
2510212	32J09	54,61	01/23/2018	01/22/2020	0
2510213	32J09	54,61	01/23/2018	01/22/2020	0
2510214	32J10	54,67	01/23/2018	01/22/2020	0
2510215	32J10	54,67	01/23/2018	01/22/2020	0
2510216	32J10	54,67	01/23/2018	01/22/2020	0
2510217	32J10	54,67	01/23/2018	01/22/2020	0
2510218	32J10	54,56	01/23/2018	01/22/2020	0
2510219	32J10	54,55	01/23/2018	01/22/2020	0
2510271	32J09	54,64	01/23/2018	01/22/2020	0
2510272	32J09	54,64	01/23/2018	01/22/2020	0
2510273	32J09	54,64	01/23/2018	01/22/2020	0
2510274	32J09	54,61	01/23/2018	01/22/2020	0
2510275	32J09	54,49	01/23/2018	01/22/2020	0
2510276	32J10	54,62	01/23/2018	01/22/2020	0
2510277	32J10	54,57	01/23/2018	01/22/2020	0
2510278	32J10	54,57	01/23/2018	01/22/2020	0
2510279	32J10	54,56	01/23/2018	01/22/2020	0
2510280	32J10	54,53	01/23/2018	01/22/2020	0
2510281	32J10	54,53	01/23/2018	01/22/2020	0
2510282	32J10	54,53	01/23/2018	01/22/2020	0
2510292	32J09	54,66	01/23/2018	01/22/2020	0

2510293	32J09	54,62	01/23/2018	01/22/2020	0
2510294	32J09	54,62	01/23/2018	01/22/2020	0
2510295	32J09	54,61	01/23/2018	01/22/2020	0
2510296	32J10	54,58	01/23/2018	01/22/2020	0
2510297	32J10	54,58	01/23/2018	01/22/2020	0
2510298	32J10	54,54	01/23/2018	01/22/2020	0
2510299	32J10	54,52	01/23/2018	01/22/2020	0
2510300	32J10	54,51	01/23/2018	01/22/2020	0
2510301	32J10	54,51	01/23/2018	01/22/2020	0
2510302	32J10	54,51	01/23/2018	01/22/2020	0
2510303	32J10	54,51	01/23/2018	01/22/2020	0
2510726	32J10	54,66	01/24/2018	01/23/2020	0
2510727	32J10	54,66	01/24/2018	01/23/2020	0
2510728	32J10	54,66	01/24/2018	01/23/2020	0
2510729	32J10	54,65	01/24/2018	01/23/2020	0
2510730	32J10	54,65	01/24/2018	01/23/2020	0
2510731	32J10	54,65	01/24/2018	01/23/2020	0
2515565	32J10	54,6	04/09/2018	04/08/2020	0
2515566	32J10	54,56	04/09/2018	04/08/2020	0
2515567	32J10	54,55	04/09/2018	04/08/2020	0
2515568	32J10	54,55	04/09/2018	04/08/2020	0
2515569	32J10	54,55	04/09/2018	04/08/2020	0
2515570	32J10	54,55	04/09/2018	04/08/2020	0
2515571	32J10	54,54	04/09/2018	04/08/2020	0
2515572	32J10	54,54	04/09/2018	04/08/2020	0
2515573	32J10	54,54	04/09/2018	04/08/2020	0
2515574	32J10	54,54	04/09/2018	04/08/2020	0
2515575	32J10	54,54	04/09/2018	04/08/2020	0
2515576	32J10	54,53	04/09/2018	04/08/2020	0
2515577	32J10	54,53	04/09/2018	04/08/2020	0
2515578	32J10	54,53	04/09/2018	04/08/2020	0
2515579	32J10	54,53	04/09/2018	04/08/2020	0
2515580	32J10	54,53	04/09/2018	04/08/2020	0
2515581	32J10	54,53	04/09/2018	04/08/2020	0
2515582	32J10	54,53	04/09/2018	04/08/2020	0
2515583	32J10	54,53	04/09/2018	04/08/2020	0
2515584	32J10	54,52	04/09/2018	04/08/2020	0
2515585	32J10	54,52	04/09/2018	04/08/2020	0
2515586	32J10	54,52	04/09/2018	04/08/2020	0
2515587	32J10	54,52	04/09/2018	04/08/2020	0
2515588	32J10	54,52	04/09/2018	04/08/2020	0
2515589	32J10	54,52	04/09/2018	04/08/2020	0
2515590	32J10	54,52	04/09/2018	04/08/2020	0
2515591	32J10	54,52	04/09/2018	04/08/2020	0
2515592	32J10	54,52	04/09/2018	04/08/2020	0



2515593	32J10	54,52	04/09/2018	04/08/2020	0
2515594	32J10	54,52	04/09/2018	04/08/2020	0
2515595	32J10	54,51	04/09/2018	04/08/2020	0
2515596	32J10	54,51	04/09/2018	04/08/2020	0
2515597	32J10	54,51	04/09/2018	04/08/2020	0
2515598	32J10	54,51	04/09/2018	04/08/2020	0
2515599	32J10	54,51	04/09/2018	04/08/2020	0
2515600	32J10	54,51	04/09/2018	04/08/2020	0
2515601	32J10	54,51	04/09/2018	04/08/2020	0
2515602	32J10	54,51	04/09/2018	04/08/2020	0
2515603	32J10	54,51	04/09/2018	04/08/2020	0
2517191	32J10	54,68	05/03/2018	05/02/2020	0
2517192	32J10	54,67	05/03/2018	05/02/2020	0
2517193	32J10	54,66	05/03/2018	05/02/2020	0
2517194	32J10	54,66	05/03/2018	05/02/2020	0
2517195	32J10	54,65	05/03/2018	05/02/2020	0
2517196	32J10	54,65	05/03/2018	05/02/2020	0
2517197	32J10	54,65	05/03/2018	05/02/2020	0
2517198	32J10	54,65	05/03/2018	05/02/2020	0
2517199	32J10	54,65	05/03/2018	05/02/2020	0
2517200	32J10	54,64	05/03/2018	05/02/2020	0
2517201	32J10	54,65	05/03/2018	05/02/2020	0
2517202	32J10	54,65	05/03/2018	05/02/2020	0
2517203	32J10	54,65	05/03/2018	05/02/2020	0
2517204	32J10	54,65	05/03/2018	05/02/2020	0
2517205	32J10	54,65	05/03/2018	05/02/2020	0
2517206	32J10	54,64	05/03/2018	05/02/2020	0
2517207	32J10	54,64	05/03/2018	05/02/2020	0
2517208	32J10	54,64	05/03/2018	05/02/2020	0
2517209	32J10	54,64	05/03/2018	05/02/2020	0
2517210	32J10	54,64	05/03/2018	05/02/2020	0
2517211	32J10	54,64	05/03/2018	05/02/2020	0
2517212	32J10	54,63	05/03/2018	05/02/2020	0
2517213	32J10	54,63	05/03/2018	05/02/2020	0
2517214	32J10	54,63	05/03/2018	05/02/2020	0
2517215	32J10	54,63	05/03/2018	05/02/2020	0
2517216	32J10	54,63	05/03/2018	05/02/2020	0
2517217	32J10	54,62	05/03/2018	05/02/2020	0
2517218	32J10	54,61	05/03/2018	05/02/2020	0
2517219	32J10	54,6	05/03/2018	05/02/2020	0
2517220	32J10	54,6	05/03/2018	05/02/2020	0
2517221	32J10	54,59	05/03/2018	05/02/2020	0
2517222	32J10	54,59	05/03/2018	05/02/2020	0
2517223	32J10	54,58	05/03/2018	05/02/2020	0
2517224	32J10	54,57	05/03/2018	05/02/2020	0

2517225	32J10	54,57	05/03/2018	05/02/2020	0
2517226	32J10	54,57	05/03/2018	05/02/2020	0
2517227	32J10	54,56	05/03/2018	05/02/2020	0
2517228	32J10	54,56	05/03/2018	05/02/2020	0
2517229	32J10	54,55	05/03/2018	05/02/2020	0
2517230	32J10	54,54	05/03/2018	05/02/2020	0
2517232	32J09	54,67	05/03/2018	05/02/2020	0
2517233	32J09	54,67	05/03/2018	05/02/2020	0
2517234	32J09	54,66	05/03/2018	05/02/2020	0
2517235	32J09	54,65	05/03/2018	05/02/2020	0
2517236	32J09	54,64	05/03/2018	05/02/2020	0
2517237	32J09	54,64	05/03/2018	05/02/2020	0
2517238	32J09	54,64	05/03/2018	05/02/2020	0
2517239	32J09	54,64	05/03/2018	05/02/2020	0
2517240	32J09	54,62	05/03/2018	05/02/2020	0
2517241	32J09	54,61	05/03/2018	05/02/2020	0
2517242	32J09	54,61	05/03/2018	05/02/2020	0
2517243	32J09	54,6	05/03/2018	05/02/2020	0
2517244	32J09	54,59	05/03/2018	05/02/2020	0
2517245	32J09	54,59	05/03/2018	05/02/2020	0
2517246	32J09	54,58	05/03/2018	05/02/2020	0
2517247	32J09	54,58	05/03/2018	05/02/2020	0
2517248	32J15	54,24	05/03/2018	05/02/2020	0
2517249	32J15	54,24	05/03/2018	05/02/2020	0
2517250	32J15	54,24	05/03/2018	05/02/2020	0
2517251	32J15	54,23	05/03/2018	05/02/2020	0
2517252	32J15	54,23	05/03/2018	05/02/2020	0
2517253	32J15	54,23	05/03/2018	05/02/2020	0
2517254	32J15	54,22	05/03/2018	05/02/2020	0
2517255	32J15	54,22	05/03/2018	05/02/2020	0
2517256	32J15	54,22	05/03/2018	05/02/2020	0
2517257	32J15	54,22	05/03/2018	05/02/2020	0
2517258	32J15	54,21	05/03/2018	05/02/2020	0
2517259	32J15	54,21	05/03/2018	05/02/2020	0
2517260	32J15	54,2	05/03/2018	05/02/2020	0
2517261	32J15	54,2	05/03/2018	05/02/2020	0
2517378	32J09	54,69	05/03/2018	05/02/2020	0
2517379	32J09	54,69	05/03/2018	05/02/2020	0
2517380	32J09	54,69	05/03/2018	05/02/2020	0
2517381	32J09	54,68	05/03/2018	05/02/2020	0
2517382	32J09	54,68	05/03/2018	05/02/2020	0
2517383	32J09	54,68	05/03/2018	05/02/2020	0
2517384	32J09	54,68	05/03/2018	05/02/2020	0
2517385	32J09	54,68	05/03/2018	05/02/2020	0
2517386	32J09	54,68	05/03/2018	05/02/2020	0

2517387	32J09	54,67	05/03/2018	05/02/2020	0
2517388	32J09	54,67	05/03/2018	05/02/2020	0
2517389	32J09	54,67	05/03/2018	05/02/2020	0
2517390	32J09	54,63	05/03/2018	05/02/2020	0
2517391	32J09	54,62	05/03/2018	05/02/2020	0
2517392	32J09	54,62	05/03/2018	05/02/2020	0
2517393	32J09	54,6	05/03/2018	05/02/2020	0
2517394	32J09	54,6	05/03/2018	05/02/2020	0
2517395	32J09	54,6	05/03/2018	05/02/2020	0
2517396	32J09	54,6	05/03/2018	05/02/2020	0
2517397	32J09	54,59	05/03/2018	05/02/2020	0
2517398	32J09	54,59	05/03/2018	05/02/2020	0
2517399	32J10	54,74	05/03/2018	05/02/2020	0
2517400	32J10	54,74	05/03/2018	05/02/2020	0
2517401	32J10	54,73	05/03/2018	05/02/2020	0
2517402	32J10	54,72	05/03/2018	05/02/2020	0
2517403	32J10	54,71	05/03/2018	05/02/2020	0
2517404	32J10	54,7	05/03/2018	05/02/2020	0
2517405	32J10	54,69	05/03/2018	05/02/2020	0
2517406	32J10	54,69	05/03/2018	05/02/2020	0
2517407	32J10	54,68	05/03/2018	05/02/2020	0
2517408	32J10	54,68	05/03/2018	05/02/2020	0
2517409	32J10	54,67	05/03/2018	05/02/2020	0
2517410	32J10	54,67	05/03/2018	05/02/2020	0
2517411	32J10	54,67	05/03/2018	05/02/2020	0
2517412	32J10	54,67	05/03/2018	05/02/2020	0
2517413	32J10	54,67	05/03/2018	05/02/2020	0
2517414	32J10	54,66	05/03/2018	05/02/2020	0
2517415	32J10	54,66	05/03/2018	05/02/2020	0
2517416	32J10	54,66	05/03/2018	05/02/2020	0
2517417	32J10	54,66	05/03/2018	05/02/2020	0
2517418	32J10	54,66	05/03/2018	05/02/2020	0
2517419	32J10	54,66	05/03/2018	05/02/2020	0
2517420	32J10	54,66	05/03/2018	05/02/2020	0
2517421	32J10	54,66	05/03/2018	05/02/2020	0
2517422	32J10	54,65	05/03/2018	05/02/2020	0
2517423	32J10	54,65	05/03/2018	05/02/2020	0
2517424	32J10	54,64	05/03/2018	05/02/2020	0
2517425	32J10	54,64	05/03/2018	05/02/2020	0
2517426	32J10	54,65	05/03/2018	05/02/2020	0
2517427	32J10	54,65	05/03/2018	05/02/2020	0
2517428	32J10	54,57	05/03/2018	05/02/2020	0
2517429	32J10	54,57	05/03/2018	05/02/2020	0
2517430	32J10	54,57	05/03/2018	05/02/2020	0
2517431	32J10	54,57	05/03/2018	05/02/2020	0

2517432	32J10	54,57	05/03/2018	05/02/2020	0
2517433	32J10	54,57	05/03/2018	05/02/2020	0
2517434	32J10	54,56	05/03/2018	05/02/2020	0
2517435	32J10	54,56	05/03/2018	05/02/2020	0
2517436	32J10	54,56	05/03/2018	05/02/2020	0
2517437	32J10	54,56	05/03/2018	05/02/2020	0
2517438	32J10	54,56	05/03/2018	05/02/2020	0
2517564	32J10	54,74	05/08/2018	05/07/2020	0
2517565	32J10	54,74	05/08/2018	05/07/2020	0
2517566	32J10	54,74	05/08/2018	05/07/2020	0
2517567	32J10	54,73	05/08/2018	05/07/2020	0
2517568	32J10	54,73	05/08/2018	05/07/2020	0
2517569	32J10	54,73	05/08/2018	05/07/2020	0
2517570	32J10	54,73	05/08/2018	05/07/2020	0
2517571	32J10	54,73	05/08/2018	05/07/2020	0
2517572	32J10	49,25	05/08/2018	05/07/2020	0
2517573	32J10	54,72	05/08/2018	05/07/2020	0
2517574	32J10	54,72	05/08/2018	05/07/2020	0
2517575	32J10	54,72	05/08/2018	05/07/2020	0
2517576	32J10	54,72	05/08/2018	05/07/2020	0
2517577	32J10	53,75	05/08/2018	05/07/2020	0
2517578	32J10	54,71	05/08/2018	05/07/2020	0
2517579	32J10	54,71	05/08/2018	05/07/2020	0
2517580	32J10	54,71	05/08/2018	05/07/2020	0
2517581	32J10	54,71	05/08/2018	05/07/2020	0
2517582	32J10	53,96	05/08/2018	05/07/2020	0
2517583	32J10	54,7	05/08/2018	05/07/2020	0
2517584	32J10	54,7	05/08/2018	05/07/2020	0
2517585	32J10	54,7	05/08/2018	05/07/2020	0
2517586	32J10	54,7	05/08/2018	05/07/2020	0
2517587	32J10	54,7	05/08/2018	05/07/2020	0
2517588	32J10	54,7	05/08/2018	05/07/2020	0
2517589	32J10	54,7	05/08/2018	05/07/2020	0
2517590	32J10	54,69	05/08/2018	05/07/2020	0
2517591	32J10	54,69	05/08/2018	05/07/2020	0
2517592	32J10	54,69	05/08/2018	05/07/2020	0
2517593	32J10	54,69	05/08/2018	05/07/2020	0
2517594	32J10	54,69	05/08/2018	05/07/2020	0
2517595	32J10	54,69	05/08/2018	05/07/2020	0
2517596	32J10	54,69	05/08/2018	05/07/2020	0
2517597	32J10	54,69	05/08/2018	05/07/2020	0
2517598	32J10	54,68	05/08/2018	05/07/2020	0
2517599	32J10	54,68	05/08/2018	05/07/2020	0
2517600	32J10	54,68	05/08/2018	05/07/2020	0
2517601	32J10	54,68	05/08/2018	05/07/2020	0

2517602	32J10	54,67	05/08/2018	05/07/2020	0
2517690	32J09	54,61	05/09/2018	05/08/2020	0
2517691	32J09	54,61	05/09/2018	05/08/2020	0
2517692	32J09	54,61	05/09/2018	05/08/2020	0
2517693	32J09	54,61	05/09/2018	05/08/2020	0
2517694	32J09	54,61	05/09/2018	05/08/2020	0
2517695	32J09	54,61	05/09/2018	05/08/2020	0
2517696	32J09	54,61	05/09/2018	05/08/2020	0
2517697	32J09	54,6	05/09/2018	05/08/2020	0
2517698	32J09	54,6	05/09/2018	05/08/2020	0
2517699	32J09	54,6	05/09/2018	05/08/2020	0
2517700	32J09	54,6	05/09/2018	05/08/2020	0
2517701	32J09	54,6	05/09/2018	05/08/2020	0
2517702	32J09	54,6	05/09/2018	05/08/2020	0
2517703	32J09	54,6	05/09/2018	05/08/2020	0
2517704	32J09	54,6	05/09/2018	05/08/2020	0
2517705	32J09	54,6	05/09/2018	05/08/2020	0
2517706	32J09	54,6	05/09/2018	05/08/2020	0
2517707	32J09	54,6	05/09/2018	05/08/2020	0
2517708	32J09	54,6	05/09/2018	05/08/2020	0
2517709	32J09	54,6	05/09/2018	05/08/2020	0
2517710	32J09	54,59	05/09/2018	05/08/2020	0
2517711	32J09	54,59	05/09/2018	05/08/2020	0
2517712	32J09	54,59	05/09/2018	05/08/2020	0
2517713	32J09	54,59	05/09/2018	05/08/2020	0
2517714	32J09	54,59	05/09/2018	05/08/2020	0
2517715	32J09	54,59	05/09/2018	05/08/2020	0
2517716	32J09	54,58	05/09/2018	05/08/2020	0
2517717	32J09	54,58	05/09/2018	05/08/2020	0
2517718	32J09	54,58	05/09/2018	05/08/2020	0
2517719	32J09	54,58	05/09/2018	05/08/2020	0
2517720	32J09	54,58	05/09/2018	05/08/2020	0
2517721	32J09	54,58	05/09/2018	05/08/2020	0
2517722	32J09	54,58	05/09/2018	05/08/2020	0
2517723	32J10	54,69	05/09/2018	05/08/2020	0
2517724	32J10	54,68	05/09/2018	05/08/2020	0
2517725	32J10	54,68	05/09/2018	05/08/2020	0
2517726	32J10	54,67	05/09/2018	05/08/2020	0
2517727	32J10	54,66	05/09/2018	05/08/2020	0
2517728	32J10	54,66	05/09/2018	05/08/2020	0
2517729	32J10	54,65	05/09/2018	05/08/2020	0
2517730	32J10	54,65	05/09/2018	05/08/2020	0
2517731	32J10	54,64	05/09/2018	05/08/2020	0
2517732	32J10	54,65	05/09/2018	05/08/2020	0
2517733	32J10	54,65	05/09/2018	05/08/2020	0



2517734	32J10	54,64	05/09/2018	05/08/2020	0
2517735	32J10	54,64	05/09/2018	05/08/2020	0
2517736	32J10	54,58	05/09/2018	05/08/2020	0
2517737	32J10	54,58	05/09/2018	05/08/2020	0
2517738	32J10	54,58	05/09/2018	05/08/2020	0
2517739	32J10	54,58	05/09/2018	05/08/2020	0
2517740	32J15	54,44	05/09/2018	05/08/2020	0
2517741	32J15	54,43	05/09/2018	05/08/2020	0
2517742	32J16	54,46	05/09/2018	05/08/2020	0
2517743	32J16	54,43	05/09/2018	05/08/2020	0
2517744	32J16	54,42	05/09/2018	05/08/2020	0
2518129	32J09	54,7	05/16/2018	05/15/2020	0
2518130	32J09	54,69	05/16/2018	05/15/2020	0
2518131	32J09	54,68	05/16/2018	05/15/2020	0
2518132	32J09	54,6	05/16/2018	05/15/2020	0
2518133	32J09	54,6	05/16/2018	05/15/2020	0
2518134	32J09	54,6	05/16/2018	05/15/2020	0
2518135	32J09	54,59	05/16/2018	05/15/2020	0
2518136	32J09	54,59	05/16/2018	05/15/2020	0
2518137	32J09	54,59	05/16/2018	05/15/2020	0
2518138	32J10	54,72	05/16/2018	05/15/2020	0
2518139	32J10	54,72	05/16/2018	05/15/2020	0
2518140	32J10	54,72	05/16/2018	05/15/2020	0
2518141	32J10	54,71	05/16/2018	05/15/2020	0
2518142	32J10	54,71	05/16/2018	05/15/2020	0
2518143	32J10	54,7	05/16/2018	05/15/2020	0
2518144	32J10	54,7	05/16/2018	05/15/2020	0
2518145	32J10	54,7	05/16/2018	05/15/2020	0
2518146	32J10	54,69	05/16/2018	05/15/2020	0
2518147	32J10	54,67	05/16/2018	05/15/2020	0
2518148	32J10	54,67	05/16/2018	05/15/2020	0
2518149	32J10	54,66	05/16/2018	05/15/2020	0
2518150	32J10	54,66	05/16/2018	05/15/2020	0
2518151	32J10	54,65	05/16/2018	05/15/2020	0
2518152	32J10	54,64	05/16/2018	05/15/2020	0
2518153	32J10	54,63	05/16/2018	05/15/2020	0
2518154	32J10	54,59	05/16/2018	05/15/2020	0
2518155	32J10	54,58	05/16/2018	05/15/2020	0
2518156	32J10	54,58	05/16/2018	05/15/2020	0
2518931	32J10	6,71	05/30/2018	05/29/2020	0
2519330	32J10	54,65	06/06/2018	06/05/2020	0
2519775	32J10	54,67	06/19/2018	06/18/2020	0

**Appendix II : Outcrop list**

Nom Affleurement	UTME	UTMN	NoSample	Litho1	Litho2	Lithologie	Mineralisation	Texture	Alteration
TRO-PDT-18-001	514949	5598656		M16 (V3B)	I1G	Aff est composé de 60% de M16 (V3B) à grain fin, schisteux, et laminé. Les amphiboles forment des lits millimétriques faisant penser à des lamines. On a 25% de I1G et 15% de I1C.		[GF] [FO] [SC] [LA]	CL
TRO-PDT-18-002	514976	5598719		I1C	I1G	I1C avec injection de I1G		[MA]	
TRO-PDT-18-003	514948	5599112		I1C		I1C massif, à grain moyen, équigranulaire avec injection de I1G centimétrique à décimétrique		[MA] [G M] [EQ]	
TRO-PDT-18-004	514650	5599304		I1C	M16	I1C massif, à grain moyen, équigranulaire à 95% et 5% de I1G (I1c) à grain grossier et pegmatitique.		[GF] [GM]	
TRO-PDT-18-005	514994	5599571		I1C	M16 (V3B)	Aff composé de I1C à grain moyen, homogène et massif majoritairement et de M16 interlité à grain fin/moyen, schisteux, localement boudiné. Le M16 constitue des enclaves où les bordures sont riches en biotite.	Tr de PY dans vn de QZ	[GF] [MG] [SC] [LA]	
TRO-PDT-18-006	515471	5599865	S649351	I1B (I1G)	M16 (V3B)	Aff composé de 50% de I1B (I1G) à grain moyen/grossier/pegmatitique, massif et heterogranulaire, de M16 (V3B) à grain fin/moyen, schisteux, laminé à 40%, et de veine de qz faiblement fumé.	Tr de PY dans vn de QZ fumée	[SC] [GF] [GM] ]	
TRO-PDT-18-007	515560	5599824		M16 (V3B)		M16 schisteux, à grain fin/moyen		[GF] [GM]	
TRO-PDT-18-008	515591	5599857		M16 (V3B)		M16 à grain fin et schisteux		[GF] [GM]	
TRO-PDT-18-009	515602	5599907		M16 (V3B)	I1C	Aff en fauchage de pente constitué à 55% de M16 (V3B) et à 45% de I1C			
TRO-PDT-18-010	515373	5599556		M4/M16		Boulder sub en place. Il semble s'agir d'un M4/M16 rouillé (oxydé en surface et cassure fraîche). La rx est magnétique et on observe des sf finement disséminées en tr.	Tr-0,5% de PY diss	[GF] [SC] [FO]	
TRO-PDT-18-011	515364	5599369	S649352	M16 (V3B)	I1C	Aff constitué majoritairement de M16 (V3B) à grain fin, laminé, schisteux et folié et de 25% de I1C + I1G	Tr de PY dans M16	[LA] [GF] [SC] [EQ]	
TRO-PDT-18-012	515306	5599314	S649353	M16 (V3B)	I1C	Aff gigantesque composé de M16 à grain fin majoritairement et de I1C en partie.	Tr de sf dans M16	[GF] [SC]	
TRO-PDT-18-013	515013	5598673		I1G	I1C	Aff composé de 50% de I1G à grain grossier, pegmatitique et massif et 50% de I1C à grain moyen, homogène, équigranulaire et massif	I1G rose avec MG à 1%	[GG] [PG] [MA]	

TRO-PDT-18-014	514420	5597957	S649151	M4 (S1)	Aff plat et rouillé sur 1m2 observable dans un trou. Les SF observées sont essentiellement la PY (75%), la CCP (3-4%), la PO (2-3%) et la magnétite (15-20%). L'encaissant semblerait être du M4 (S1)	60-70% de SF; voir description pour les minéraux concernés	[GM] [GF]	PY, SI	
TRO-PDT-18-015	514359	5597935		I1G	M4	Aff composé majoritairement de I1B (I1G) à 85% et de M4 à 15%. La I1B (I1G) est à grain grossier/pegmatitique et massif, et la M4 est à grain fin, folié et est interdigitée par des veines de QZ centimétriques et du I1B suivant le sens de la schistosité.	Tr de SF dans M4	[GM] [GG] [PG] [HG] [MA]	
TRO-PDT-18-016	514351	5597943		M4 (S1)	I1G	Aff composé majoritairement de M4 (S1) et interdigité à 2-3% avec du I1B blanc. Le M4 est large sur 2,5m et il suit la même direction que le M4 silicifié avec sulfure semi-massif localisé plus au NE. Le M4 représenterait donc le protholite porteur de minéralisation.		[FO] [LA] [SC] [GF]	
TRO-PDT-18-017	514662	5597462		I1G (I1B)		I1G (I1B) blanc à grain moyen/grossier/pegmatitique, massif et donc hétérogranulaire avec 2-3% de MG diss millimétrique à centimétrique.		[GM] [G] [G] [PG] [MA]	
TRO-PDT-18-018	514697	5597494		I1B/I1C		I1B/I1C avec trace de MG à l'échelle de l'affleurement (>300m2)		[GM] [MA]	
TRO-PDT-18-019	514730	5597456		I1B/I1C		I1B/I1C à grain moyen, massif et injection de I1G diffus à l'échelle de l'affleurement. Veine de quartz dont l'épaisseur varie entre 10-30cm et qui est continue sur au moins 50m.	Tr de PY dans veine de QZ	[GM] [MA]	
TRO-PDT-18-020	514702	5597551		I1B/I1C	M4	Aff composé majoritairement de I1B/I1C (60%) massif, à grain moyen et équigranulaire, avec des injections de I1G (10%) et des enclaves de M4 à 30% dans la I1B/I1C.		[MA] [M] [G] [EQ]	
TRO-PDT-18-021	514602	5597770		I1B (I1G)	M16	Aff constitué grandement de I1B/I1C (I1G) (80%) et de M16 (20%). Le M16 est laminé, à grain fin et schisteux, il est riche en amphibole et de couleur vert noirâtre. Le contact entre le M16 et la I1C est net, mais ondulant, sans direction préférentielle.		[GM] [GG] [PG] [HG]	CL
TRO-PDT-18-022	514519	5597803		I1B (I1G)		Aff de 4m2, situé au bord de la route, composé de I1B (I1G) blanc.		[GM] [G] [G] [PG]	
TRO-PDT-18-023	514486	5597968		I1B/I1C		I1B/I1C à grain moyen, massif et homogène		[MA] [HJ]	

TRO-PDT-18-024	514469	5598004	S649366	I1B/I1C	M4 (S1)	Aff composé d'une interdigitation de niveau de M4 (S1) métrique avec du I1B/I1C. Les contacts sont moyennement orientés à 070 et à faible pendage. On a une veine de QZ, d'environ 30cm d'épaisseur et d'orientation N070, légèrement fumés avec tr de PY.	Tr de PY dans la veine de QZ fumée	[SC] [GF] [FO] [LA]	
TRO-PDT-18-025	514424	5597976		I1C		I1C avec injection de I1G		A]	
TRO-PDT-18-026	508281	5622116		I3A		I3A dont la surface altérée pourrait faire penser à une pyroxénite. Il est massif, à grain moyen, homogène et donc moyennement grenu.		[GM] [MA] [HJ] [EQ]	
TRO-PDT-18-027	508292	5622067		I3A		Deux types de I3A sont observés sur cet affleurement >500m2; un I3A massif, à grain moyen/grossier et un I3A folié à grain fin dont l'intensité de la déformation est forte (4). Le I3A (FO) contient des SF finement diss en tr.	Tr de SF dans I3A (FO)	[GF] [GM] [GG] [MA]	
TRO-PDT-18-028	508298	5621976		I3A		Aff situé sur le flanc de la montagne qui est composé de I3A à grain moyen et massif		[GM] [MA]	
TRO-PDT-18-029	508261	5621854		I3A		Aff composé de I3A à grain moyen et massif, et un I3A très déformés, folié et à grain fin qui ressemblerait presque à du V3B en termes de granulométrie. Il semblerait qu'il s'agisse de la même litho, le I3A déformé se situant dans une zone de cisaillement.	I3A (FO) avec tr de SF	[GF] [GM] [FO] [MA]	
TRO-PDT-18-030	508195	5621863	S649367	I3A		I3A à grain grossier, généralement massif, localement folié avec des veines de quartz pluricentimétriques démembrées	Tr de PY dans veine de QZ		
TRO-PDT-18-031	508098	5621790	S649373	I3A		I3A généralement folié avec tr à 2% de PO finement diss dans la roche. Un des échantillons montre de la PO en amas sur 4-5% de la rx	Tr-2% de PO	[GM]	
TRO-PDT-18-032	507989	5621779		I3A		I3A très déformé à la limite du lité, composée majoritairement d'amphiboles et de plagioclase à grain fin/moyen. La roche est probablement localisée dans une zone de déformation.		[FO] [GM] [GF] [SA]	
TRO-PDT-18-033	507845	5621741		I3A		I3A massif à folié par niveau avec une veine de quartz légèrement fumé, décimétrique (environ 50cm). La foliation est intense (4)	Veine de QZ avec tr de PY	[FO] [MA] [GM]	
TRO-PDT-18-034	507893	5621804		I3A		Aff de I3A à grain moyen, légèrement folié.		[FO]	
TRO-PDT-18-035	507951	5621836		I3A		Aff intéressant puisqu'on observe un I3A à 99% et localement des bandes de cisaillement suivant une fabrique CS sur un corridor de 60-70cm et sur une longueur visible de 2m.		[GM] [GF] [FO]	



TRO-PDT-18-036	508167	5622037		I3A		Aff de I3A où on observe un dyke de dolérite/diabase de 40cm d'épaisseur		[GM]	
TRO-PDT-18-038	521886	5612770		I4I		Boulder subanguleux de 15-20m3 d'une péridotite facilement reconnaissable de par la croûte d'altération et sac brun ocre en surface altérée.		[MA] [GF] [GM]	AP
TRO-PDT-18-039	521971	5612557		I3A		Aff constitué de I3A moyennement grenu à 99%		[GM] [M A]	
TRO-PDT-18-040	521980	5612529	S649368	V3B		Aff composé de V3B à grain fin, légèrement folié, où on observe un niveau rouillé sur 50cm d'épaisseur. Les échantillons prélevés sur cette zone sont des sulfures semi-massifs contenant jusqu'à 5-7% de ccp, 25% de po et de la magnétite.	5% de ccp, 25% de PO	[GF] [FO]	SI, PY
TRO-PDT-18-041	521980	5612529	S649369	V3B		Aff composé de V3B à grain fin, légèrement folié, où on observe un niveau rouillé sur 50cm d'épaisseur. Les échantillons prélevés sur cette zone sont des sulfures semi-massifs contenant jusqu'à 5-7% de ccp, 25% de po et de la magnétite.	lentille millimétrique de PO + CCP et 2-3%		
TRO-PDT-18-042	522024	5612535		I3A		I3A à grain moyen, folié et homogène. En cassure fraîche le I3A a l'apparence d'une pyroxénite, mais la surface altérée permet de confirmer qu'il s'agit d'un I3A		[GM] [FO] [HJ]	
TRO-PDT-18-043	522282	5612530		I3A		I3A massif, à grain moyen, homogène et équigranulaire		[MA] [G M] [EQ]	
TRO-PDT-18-044	522242	5612605		V3B		Aff de 10m2 décrit comme un S6A, mais il s'agirait plutôt d'un V3B (M16) très déformé (d'intensité 4) à grain fin, schisteux et localement rubané		[GF] [FO] [SC] [RU]	
TRO-PDT-18-045	522319	5612726		I3A		Aff >200m2 composé majoritairement de I3A (80%) à grain moyen, homogène et de V3B à grain fin, schisteux noir verdâtre en cassure fraîche.		[GM] [HJ]	
TRO-PDT-18-046	522332	5612857		V3B		V3B à grain fin, schisteux et noire verdâtre		[FO]	
TRO-PDT-18-047	522417	5612925		V3B		V3B à grain fin, schisteux et noire verdâtre		[GF]	
TRO-PDT-18-048	522556	5613018		V3B		Aff de 15m2 composé à 99% de V3B à grain fin, folié, noir verdâtre où on peut voir des bordures hyaloclastites et ce qui semble être des coussins étirés selon la direction de la foliation		[HY] [GF] [SC] [FO] [CO]	
TRO-PDT-18-049	522482	5613246		V3B		Aff >100m2 de V3B à grain fin, noir verdâtre		[GF]	
TRO-PDT-18-050	522388	5613291		V3B		Aff de V3B à grain fin, folié		[GF][FO]	
TRO-PDT-18-051	522037	5613057		I4I		Aff de 200-250m2 composé à 99% de I4I à grain fin/moyen, massif. La rx est très magnétique.		[GF] [GM]	SP

TRO-PDT-18-052	521678	5612815		V3B		Aff de 5-10m2 situé au bord de l'eau. Il s'agit d'un V3B à grain fin et massif.		[GF] [MA]	
TRO-PDT-18-053	521332	5612832		V3B [M16]		Aff de 15-20m2 de V3B (M16) à grain fin, schisteux		[GF] [SC]	
TRO-PDT-18-054	521227	5612815		V3B		Aff de 30m2 de V3B à grain fin avec des lamines millimétriques de po à 1%	Po à 1% sous forme de lamine	[GF]	
TRO-PDT-18-055	521980	5612529	S649370	V3B		Aff composé de V3B à grain fin, légèrement folié, où on observe un niveau rouillé sur 50cm d'épaisseur. Les échantillons prélevés sur cette zone sont des sulfures semi-massifs contenant jusqu'à 5-7% de ccp, 25% de po et de la magnétite.	Sulfure semi-massif composé majoritairement de PO, CCP, BN		BN, PY
TRO-PDT-18-056	510580	5622393		I3A		Aff de I3A à grain moyen, équigranulaire, massif et homogène		[GM] [MA] [HJ]	
TRO-PDT-18-057	510470	5622389		V3B		Aff de 50m2 situés en relief composé de V3B à grain fin/aphanitique et relativement massif.		[GF] [AP]	
TRO-PDT-18-058	510453	5622406	S649371	V3B		Aff de 20m2, non loin de l'aff 057 qui est composé de de V3B à grain fin avec des sf diss et en amas à 2-3%	2-3% de PO diss et en amas	[GF]	
TRO-PDT-18-059	510453	5622406	S649463	V3B		Aff de 20m2, non loin de l'aff 057 qui est composé de de V3B à grain fin avec des sf diss et en amas à 2-3%			
TRO-PDT-18-060	510433	5622316		V3B		Aff de 200-300m2 composé à 99% de V3B à grain fin vert noirâtre		[GF]	
TRO-PDT-18-061	510390	5622306		V3B		Aff composé de V3B avec des horizons centimétriques rouillés (tr à 1% de sf) (10-30cm) d'orientation N50 semblant être du V3B altéré et beaucoup plus schisteux, mais il pourrait aussi s'agir de sédiment shale/mudstone (difficile à dire)	Tr à 1% de SF diss	[GF] [GT] [AP]	
TRO-PDT-18-062	510341	5622155		I3A		Aff gigantesque représentant une grosse patate >1000m2 dans une anomalie MegaTEM. La roche, qui est un I3A massif à grain moyen, n'est ni magnétique ni conductrice. La litho causant l'anomalie pourrait se retrouver à un autre niveau stratigraphique.		[GM] [MA] [HJ]	
TRO-PDT-18-063	510483	5622108	S649464	V3B		Aff réalisé sous la forte pluie. Il semble s'agir d'un V3B noir verdâtre à grain fin/aphanitique.		[GF] [AP]	
TRO-PDT-18-064	511151	5622646		I3A		I3A à grain fin/moyen et massif		[MA]	
TRO-PDT-18-065	510235	5620219		V3B		Aff de 150-200m2 constitué à 99% de V3B à grain fin, homogène, vert noirâtre d'une coulée massive		[GF] [HJ] [MA] [CK]	

TRO-PDT-18-066	510049	5620201		V3B		Aff de 100m2 relativement plat et de composition basaltique à 99%. La rx est à grain fin, aphanitique, et coussiné avec bordure hyaloclastique.		[GF] [AP] [CO] [HY]	
TRO-PDT-18-067	509840	5620457		I3A		Aff constitué à 99% de I3A à grain moyen/grossier et généralement massif. On observe un niveau de 70-80cm très déformé d'orientation N109 qui semble être un petit corridor de def dans le I3A. La rx y est schisteuse et à grain fin avec une certaine silicification.			SI
TRO-PDT-18-068	509766	5620520	S649465	V3B		Aff éparpillé sur 75-100m2 en fauchage de pente composée de V3B à grain fin, coussiné et localement massif		[GF] [CO] [MA]	
TRO-PDT-18-069	509720	5620529		V3B		Aff sur le flanc d'une montagne, couvert de mousse de 50-80m2, d'un V3B à grain fin, massif de couleur vert noirâtre.		[GF] [MA]	
TRO-PDT-18-070	509654	5620531		V3B		V3B coussiné à grain fin		[HY]	
TRO-PDT-18-071	509555	5620606	S649466	V3B		Aff >200m2 de V3B à grain fin, homogène, massif, coussiné avec une très légère silicification		[GF] [HJ] [MA] [CO]	SI
TRO-PDT-18-072	508906	5620434	S649467	V3B		Aff de 20-30m2 en relief composé de V3B à grain fin, homogène et massif. La rx est de couleur vert foncé en cassure fraîche.		[GF] [HJ] [CK]	
TRO-PDT-18-074	508750	5620646	S649372	S6	V3B	Affleurement dont l'encaissant est un V3B à grain fin, homogène et relativement massif avec un niveau rouillé de 2,5-3m de largeur sur une longueur d'au moins 20m (visible à l'échelle de l'affleurement). L'assemblage lithologique sédimentaire est très similaire à celui de Tortiny. On y observe des shales graphiteux, du siltstone avec de belles lamination parallèles, ainsi qu'une roche riche en mica et qui semble tufacée	La min (10% de la roche) consiste à de la PO (75%), de la CCP (25%) et un peu de PY. Elle est sous forme de lamines fines millimétrique suivant sens de la schistosité.	[GF] [SC] [LA]	MI, PY, SI, GP+
1	508750	5620647	S649468	S6A		Siltstone au contact NE avec le S6 minéralisé			
2	508750	5620648	S649470	V3B		V3B au contact SO du S6 minéralisé			

TRO-PDT-18-075	508876	5622644		V3B	Aff gigantesque >600m2 de V3B où on observe un V3B à grain fin, homogène d'une coulée massive dans la partie sud de l'aff. La partie nord de l'aff montre un V3B avec texture de lave cordée et des veines de QZ décimétriques localement démembrées d'orientation N50			[CK] [GF] [HJ]	
TRO-PDT-18-076	508898	5622604		V3B	Aff gigantesque >600m2 de V3B où on observe un V3B à grain fin, homogène d'une coulée massive dans la partie sud de l'aff. La partie nord de l'aff montre un V3B avec texture de lave cordée et des veines de QZ décimétriques localement démembrées d'orientation N50				
TRO-PDT-18-077	508829	5622533		V3B	V3B magnétique où le BeepMat a sonné jusqu'à 1000 HFR. La rx est à grain fin et homogène vert noirâtre avec tr-0,5% de PO diss	PO diss en tr-0,5%		[GF] [HJ]	
TRO-PDT-18-078	508522	5621449		V3B	Aff douteux, couvert de mousse de V3B schisteux, à grain fin, interdigité avec des veinules millimétriques à centimétrique de quartz			[SC] [FO] [GF]	
TRO-PDT-18-079	508824	5620785	S649374	S6	Aff de 20m2 composé à 99% de rx sédimentaire. On y observe dans la partie SE, ce qui semble être de l'argilite à grain fin/très fin et schisteux avec 1-2% de min sous forme de lamine millimétrique suivant la direction de la schistosité. La partie NW est composée de siltstone de couleur beige grisâtre.	1-2% de PO en lamine millimétrique		[SC] [GF] [GT] [HJ]	GP
TRO-PDT-18-080	508819	5620764		S6 (TU)	Aff composé de ce qui semble être un sédiment tufacé de composition quartzo-feldspathique. La rx est légèrement silicifiée.			[TU] [GF] [HJ]	SI
TRO-PDT-18-081	508824	5620763		S6	Aff dans un trou avec au moins 50 cm de mort terrain qui a sonné conducteur. La rx semble être aussi un sédiment.				
TRO-PDT-18-082	508889	5620992	S649471	V3B	V3B à grain fin, homogène vert noirâtre			[GF] [HJ]	
TRO-PDT-18-083	509610	5620932		V3B	V3B à grain fin, homogène et massif			[MA]	
TRO-PDT-18-084	509756	5620989		V3B	Aff similaire à 083				
TRO-PDT-18-085	510248	5620636		V3B	V3B à grain fin, localement à grain moyen et massif, probablement la partie plus centrale d'une coulée massive			[GF] [GM] [MA]	
TRO-PDT-18-086	510944	5620164	S649472	V3B	Ech de V3B dans la portion NW de Toriny pour analyse litho				
TRO-PDT-18-087	511032	5620119	S649473	V3B	Ech de V3B dans la portion SES de Tortiny pour analyse litho				

TRO-PDT-18-088	526863	5641319		I3A	99% de I3A à grain moyen, massif et homogène où on observe un petit corridor de déformation de 20cm d'épaisseur et d'orientation N50. La rx y est très foliée.		[MA] [FO] [GM]	
TRO-PDT-18-089	526810	5641339	S649474	I3A	Aff de I3A en relief de 15m2 similaire à 088. Il s'agit d'une rx massive, avec un corridor de déformation décimétrique où la roche est très foliée.		[MA] [FO] [GM]	
TRO-PDT-18-090	526779	5641347		I3A	Même description que 089 sauf qu'on n'a pas observé de corridor de déformation		[MA] [GM]	
TRO-PDT-18-091	526831	5641405		I3A	I3A à grain moyen, massif et homogène dans un aff couvert de mousse de 50m2		[GM] [MA] [HJ]	
TRO-PDT-18-092	526873	5641416		I3A	Aff de I3A en fauchage de pente folié à grain moyen qui semble homogène. La rx dans portion ouest de l'aff est composé de I3A massif.		[FO] [GM] [MA]	
TRO-PDT-18-093	526903	5641415		I3A	Aff >100m2 de I3A massif, folié et à grain moyen		[FO]	
TRO-PDT-18-094	527021	5641494		I3A	Aff sur flanc de montagne d'un I3A très déformé de direction N36 à pendage subvertical		[FO] [GM]	
TRO-PDT-18-095	527179	5641476		Tuf V3/V2	Aff situé en bord de route composé à 99% de tuf mafique à intermédiaire à lapilli, folié avec une orientation à N248		[TL] [HK] [FO]	
TRO-PDT-18-096	527132	5641240		V2 (TU)	Rx volcanique intermédiaire tufacé à grain fin faiblement laminé qui est distinctif de par sa couleur blanche en SA et sa croûte d'altération épaisse de 0,5-1cm.		[TU] [GF]	
TRO-PDT-18-097	527149	5641190		S3	Aff en relief de 20-30m2, composé de ce qui semble être du S3 qui montre une bonne lamination parallèle. La rx est à grain fin.		[GF] [LA]	
TRO-PDT-18-098	527246	5641291	S649375	S6	Aff composé à 99% de S6, probablement du shale. La rx est à grain très fin, aphanitique de couleur beigâtre en SA et noir grisâtre en SF	Tr de PY + PO diss dans S6	[GT] [AP] [HJ]	
TRO-PDT-18-099	527230	5641359		Tuf V2/V3	Tuf mafique/intermédiaire à grain fin de couleur blanche beigrâtre en SA et noirâtre en SF. IL pourrait s'agir d'un tuf à cendre.		[GF] [TD] ?	
TRO-PDT-18-100	527390	5641423		Tuf V3/V2	Aff bord de route et en fauchage de pente constituée de tuf intermédiaire/mafique déformé. La rx est à grain moyen/fin avec de la PY diss en tr au contact des régions leucocrates.		[GF] [GM] [HK]	PY



TRO-PDT-18-101	530499	5636986		V2J (TU)		V2J (TU) schisteux, à grain fin et localement vésiculaire avec des vésicules étirées selon le sens de la schistosité. La rx est moyennement silicifiée et on note une certaine carbonatation sous forme de petites veinules.	Tr de PO diss dans V2J (TU)	[TU] [GF] [VE] [SC]	SI, CA
TRO-PDT-18-102	530487	5637029		V2J (TU)		Aff similaire à 101 en terme compositionnel où on note une carbonatation et silicification ainsi que du magnétisme local qui s'explique par la présence de PO très finement diss		[TU] [GF] [SC] [HJ]	SI, CA
TRO-PDT-18-103	530533	5637064	S649475	V2J (TU)		Aff de 100-150m2 en relief composé de V2J (TU) à 99%.		[HJ]	
TRO-PDT-18-104	530568	5637099		V2J (TU)		V2J (TU) à grain fin où la schistosité est beaucoup moins pénétrative, la rx étant d'apparence plus massive. On y observe une veine de quartz plate sur un petit rayon de 1000cm2, celle-ci contient des tr de SF diss.	Veine de quartz avec tr de SF diss dans V2J (TU)	[TU] [GF]	
TRO-PDT-18-105	530568	5637099		V2J (TU)		V2J (TU) à grain fin où la schistosité est beaucoup moins pénétrative, la rx étant d'apparence plus massive. On y observe une veine de quartz plate sur un petit rayon de 1000cm2, celle-ci contient des tr de SF diss.	Éponte de la veine de quartz de l'aff 104		
TRO-PDT-18-106	530590	5637170		V2J (TU)		V2 (TU) similaire aux précédents affleurements		[TU] [GF]	SI
TRO-PDT-18-107	530652	5637215		V2J (TU)		V2J (TU) schisteux et à grain fin		[SC] [GF]	
TRO-PDT-18-108	530723	5637353		V2J (TU)		V2J (TU) à grain fin où l'aff montre en surface ce qui semble être des reliques de textures/structures plus ou moins conservées		[TU] [GF]	
TRO-PDT-18-109	530749	5637317		V2J (TU)	I3A	Aff composé de V2J (TU) avec des sills pluridécimétriques de I3A à grain moyen et massif. On observe dans les deux lithos des tr de SF finement diss	Tr de SF finement diss	[TU] [GF] [GM] [MA]	
TRO-PDT-18-110	530903	5637308		V2J (TU)		V2J (TU) avec surface d'altération beige brunâtre classique		[TU] [GF] [HJ]	
TRO-PDT-18-111	531085	5636964		V2J (TU)		V2J (TU) à grain fin, localement schisteux		[TU] [SC]	
TRO-PDT-18-112	531111	5636851		V2 (PO)		Aff intéressant situé au bord du lac de 10m2 de couleur blanc beigrâtre en SA et de couleur grise en SF. L'aff est composé à 99% de V2 (PO) avec 30-35% de porphyre de fp, de forme idio-hypidiomorphe pouvant atteindre jusqu'à 5mm.		[GM] [GF] [PO]	CA
TRO-PDT-18-113	530814	5636894		V2J (TU)		V2J (TU) à grain fin, schisteux		[GF]	SI
TRO-PDT-18-114	530787	5637257		V2J (TU)		Aff similaire à 113		[GF]	SI
TRO-PDT-18-115	530499	5637551		I3A		Aff >200m2 de I3A en relief, où la rx est grain moyen, massif, équi-granulaire et homogène		[MG] [M] [A] [EQ] [	

TRO-PDT-18-116	530487	5637637		V2J (TU)		V2J (TU) massif à schisteux, à grain fin et distinctif par sa couleur blanchâtre en SA et gris verdâtre en SF. La rx contient des tr de PO, BN ainsi qu'une forte silicification.	Tr de PO, BN diss dans la V2J (TU)	[TU] [SC] [MA]	CA, SI+
TRO-PDT-18-117	530487	5637637		I3A		I3A massif, à grain moyen et homogène		A] [HJ]	
TRO-PDT-18-118	530655	5637642		I3A		I3A massif, à grain moyen, équigranulaire et homogène		[GM] [M A] [HJ]	
TRO-PDT-18-119	531370	5637814		V2J (TU)		Aff de V2J faiblement silicifié et moyennement à fortement carbonaté. On observe un faible magnétisme dû à la présence de Po en tr diss.		[TU] [GF]	SI, CA+
TRO-PDT-18-120	531322	5637819		V2J (TU)		Aff similaire à 119			
TRO-PDT-18-121	531144	5637750		I3A	V2J (TU)	Aff composé majoritairement de I3A à grain moyen, massif au contact avec la V2J (TU) qui est schisteux et à grain fin	Tr de PO en lamine dans V2J [SC]	[GM] [MA] [SC] [GF]	
TRO-PDT-18-122	531000	5637683		V2J (TU)		V2J (TU) relativement massif		] [TU]	CA, SI
TRO-PDT-18-123	515129	5600617		I1G (I1B)		Aff en fauchage de pente de I1G (I1B) blanche à 99%. La rx est à grain grossier, pegmatitique, massive, et donc hétérogranulaire.		[GG] [PG] [GM] [M]	
TRO-PDT-18-124	515106	5600541		I1B		I1B à grain moyen et massif		A]	
TRO-PDT-18-125	515238	5600190		I1B (I1G)	M4 (S1)	On a du I1B (I1G) massif et hétérogranulaire qui compose 80% de l'aff et le reste représente du M4 (S1) folié, laminé et à grain fin.		[MA] [H G] [GG] [PG]	
TRO-PDT-18-126	515328	5600277		I1G	M4 (S1)	I1G à 60% et M4 à 40%. A noter que le M4 orangé en surface ne contient pas de SF, probablement de l'altération de surface.		[GG] [PG] [GF]	
TRO-PDT-18-127	515350	5600333		M4 (S1)		M4 (S1) à grain fin avec trace de pyrite finement disséminée	Tr de PY diss dans M4 (S1)	[GF]	
TRO-PDT-18-128	515353	5600333		I1B (I1G)		I1B (I1G) rose à grain moyen, grossier et pegmatitique.		[MA] [G M] [GG] [	
TRO-PDT-18-129	515917	5600819		M4 ?		Aff de 30-40m2 constitué à 99% d'une rx laminée, foliée, à grain fin de composition quartzo-feldspathique, d'amph et de biotite. Il pourrait s'agir d'un métasédiment possiblement un paragneiss		[LA] [GF] [FO]	
TRO-PDT-18-130	515987	5600829		M4 (S1)		Aff de M4 (S1) à 99% où la roche est à grain fin et homogène		[GF] [HJ]	
TRO-PDT-18-131	516293	5600746		I1G		I1G blanc à grain grossier, pegmatitique avec M16 à grain fin et homogène		[GG] [PG]	

TRO-PDT-18-132	516206	5600314		I1C		Aff de I1C à grain moyen et massif avec injections multiples de I1G centimétriques suivant plusieurs directions		[GM] [MA]	
TRO-PDT-18-133	516186	5600222		I1C	M16	Aff composé à 50% de I1C et de 50% de M16		[MA]	
TRO-PDT-18-134	516154	5600180		M16		Aff de M16 à grain fin, folié de couleur noir verdâtre avec quelques veines de QZ suivant la direction de la foliation		[FO] [GF]	
TRO-PDT-18-135	516127	5600122		I1C	M16	Gros affleurement >250m2 composé à 60% de I1C à grain moyen/grossier, massif et à 40% de M16 à grain fin, homogène.		[GF] [GM] [G G] [MA]	
TRO-PDT-18-136	515783	5600241		I1C		I1C à grain moyen, massif avec injection de I1G		A]	
TRO-PDT-18-137	515757	5600377		M16 (V3B)		Aff de M16 (V3B) folié, à grain fin avec un petit réseau (4-5%) de veines et veinules de QZ démembrées		[FO] [GF]	
TRO-PDT-18-138	518251	5604094	S649376	S6		Aff bord de route où on observe un horizon de S6 encaissé dans du M16. Le S6 a donné jusqu'à 3000 en valeur de HFR, on y observe des lamines de PO + CCP millimétriques suivant l'orientation de la stratification.	Lamine de PO + CCP à 1-2% dans le S6	[LA] [FO] [GF] [GT]	
TRO-PDT-18-139	518251	5604094	S649377	S6		Aff bord de route où on observe un horizon de S6 encaissé dans du M16. Le S6 a donné jusqu'à 3000 en valeur de HFR, on y observe des lamines de PO + CCP millimétriques suivant l'orientation de la stratification.			
TRO-PDT-18-140	532009	5636720		I3A		Aff situé au bord de l'eau composé de I3A à grain moyen/grossier, massif et leucocrate. La roche est homogène et non magnétique.		[GM] [G G] [MA] [ LX]	
TRO-PDT-18-141	531959	5636679		I3A		I3A leucocrate, massif et moyennement grenu. On y observe une veine plate de QZ décimétrique.		[LX] [MA] [GM]	
TRO-PDT-18-142	531893	5636650		I3A		I3A leucocrate, massif et moyennement grenu. On y observe une veine plate de QZ décimétrique.			
TRO-PDT-18-143	531800	5636572	S649484	I3A		I3A leucocrate, à grain grossier, massif et homogène.		[LX] [GG] [MA] [HJ]	
TRO-PDT-18-144	531715	5636526		I3A		Aff en relief de 20m2 de I3A à grain grossier, massif et homogène.		[GG] [MA] [HJ]	
TRO-PDT-18-145	531692	5636594		I3A		Aff de I3A similaire au précédent (144)		[MA] [HJ]	
TRO-PDT-18-146	531712	5636617		I3A		I3A avec les mêmes caractéristiques que 144 et 145 à savoir un gabbro à grain grossier, massif et homogène.		[GG] [MA] [HJ]	

TRO-PDT-18-147	531776	5636683	W952439	I3A	Aff composé de I3A à grain moyen, massif et homogène avec une veine de QZ décimétrique plate qui est localement bleutée.	Vn de QZ bleuté (tr de PY) composite avec I3A	[GM] [MA] [HJ]	
TRO-PDT-18-148	531830	5636703		I3A	I3A à grain moyen, grossier à très grossier. C'est un gabbro varietexturé où la roche est d'apparenece massive sans MAG, ni SF		[GM] [GG] [GT] [HG]	
TRO-PDT-18-149	532116	5636872		I3A	I3A à grain moyen, massif.		[MA]	
TRO-PDT-18-153	532788	5635357		I3A	I3A à grain fin/moyen, massif et homogène contenant de la magnétite disséminée à 4-5% . La rx est recoupée par des dykes de I2J à grain grossier. Les dykes sont aussi magnétiques.		[GF] [GM] [MA] [HJ]	
TRO-PDT-18-154	531902	5636211	W952444	I3A	I3A à massif, homogène, finement grenu où on observe des traces de SF diss	I3A finement grenu avec SF diss	[GF] [MA] [HJ]	PY
TRO-PDT-18-155	531835	5636191		I3A	Aff de I3A finement grenu, similaire à 154		[MA] [HJ]	
TRO-PDT-18-156	531272	5636217		I3A	Aff couvert de mousse de 30-40m2 de I3A à grain grossier, massif.		[GG] [MA]	
TRO-PDT-18-157	530725	5631162		V2	Champ de bloc rocheux sub en place composé à 99% d'une rx leucocrate, à grain fin (probablement du V2) avec une altération de CA pervasive.		[LX] [GF]	
TRO-PDT-18-158	531094	5633846	S650180	I4I	Aff >400m2 de I4I à 99% généralement massif, à grain fin/moyen et magnétique (5-10%). On observe localement des SF diss en trace ainsi que des veinules centimétriques (3-10cm) de serpentinite d'orientation N180	I4I avec tr de SF finement diss	[GF] [GM] [MA]	
TRO-PDT-18-159	531295	5633951	S650181	V3B	Aff décapé sur 30m par 10m. On y observe plusieurs litho dont la principale est un V3B légèrement silcifié à grain fin. Des horizons interlités de V3B et de ce qui pourrait être du chert contiennent des SF diss jusqu'à 3%.	2-3% de CCP + PY dans un horizon de S10 ?	[GF] [HK]	SI, CA, CL
TRO-PDT-18-160	531205	5634017		I3K	Aff en relief composé de I3A à olivine qui est massif, à grain moyen et homogène avec trace de SF localement disséminé.		[MA] [G] [M] [HJ]	
TRO-PDT-18-161	531217	5634067		I3K	Aff en relief composé de I3A à olivine qui est massif, à grain moyen et homogène avec trace de SF localement disséminé.			

TRO-PDT-18-162	531131	5634155		I3A		Aff >200m2 composé à 99% de I3A à grain moyen et massif.		[GM] [M A]	
TRO-PDT-18-163	531297	5634129		I3A		I3A massif et à grain moyen		A]	
TRO-PDT-18-164	531568	5634106	S650182	V2J (PO)		Décapage montrant du V2J (PO) avec des phénocristaux de fp millimétriques moyennant 30-40% de la rx. La V2J est à grain fin et moyen avec des zones de cisaillement d'épaisseur décimétrique à centimétrique rouillée orientée généralement à N250.	V2J (PO) avec CCP + PO + PY diss à 4-5%	[GM] [GF ] [PO]	PY
TRO-PDT-18-165	531539	5634077		V2J (PO)		V2J (PO) à grain moyen et grain fin avec phénocristaux de fp		[GM] [GF ] [PO]	
TRO-PDT-18-166	531506	5633958		V2J (PO)		V2J (PO) à grain moyen et grain fin avec phénocristaux de fp		[GM] [GF ] [PO]	
TRO-PDT-18-167	531453	5633959		V2J (PO)		Aff en dos de baleine de 50-75m2 composé à 99% de V2J (PO) à grain fin et grain moyen avec trace de PY diss.		[GM] [GF ] [PO]	
TRO-PDT-18-168	531389	5633790	S650183	V2/V3		Décapage composé de V2J/V3 (PO) avec des textures locales de bréchification. On observe des veinules de QZ centimétriques (3-8cm) suivant généralement une orientation N220. Ces veinules sont rouillées et contiennent des SF (PY) diss à 5% et semi-massif jusqu'à 30-35%	Veine de QZ avec 10-15% de SF dans V3B	[PO] [GF ] [GM] [BQ]	PY
TRO-PDT-18-169	531389	5633790	S650184	V2/V4		Décapage composé de V2J/V3 (PO) avec des textures locales de bréchification. On observe des veinules de QZ centimétriques (3-8cm) suivant généralement une orientation N220. Ces veinules sont rouillées et contiennent des SF (PY) diss à 5% et semi-massif jusqu'à 30-35%	Veine de QZ avec SSM (35% de PY) dans V3B		
TRO-PDT-18-170	531461	5633794		V2/V3		V2J (PO) à grain moyen et grain fin avec phénocristaux de fp		[GM] [GF ] [PO]	
TRO-PDT-18-171	531496	5633836		V2J (PO)		Aff de V2J (PO) montrant localement des lattes presque centimétriques de fp.		[GG] [GM] [GF	
TRO-PDT-18-172	531505	5633656	S650185	V2J (PO)	I3E	Décapage de 200m2 de V2J (PO) à 70% et de I3E ophitique, à grain moyen/grossier à 30%. On observe encore les veinules de QZ centimétriques suivant une orientation à N220. Dans les corridors particulièrement déformés, la rx montre jusqu'à 5% de sulfures .	Shear zone dans V2 avec 5% de SF	[PO] [GF ] [GM] [PO]	



TRO-PDT-18-173	531516	5633607	S650186	I3E	Aff composé de I3E à grain moyen, grain grossier et massif. On observe de SF diss de CCP + PO à 0,5-1% dans le gabbro quartzifère (I3E) et une zone de cisaillement sur 1m composée de I3E très silicifié. Cette zone contient 3-5% de SF essentiellement de la CCP + PO sous forme disséminée et en amas centimétrique.	I3E shear zone avec veinules de QZ, 4% CPP	[GM] [GG] [MA]	SI, PY
TRO-PDT-18-174	531516	5633607	S650187	I3E	Aff composé de I3E à grain moyen, grain grossier et massif. On observe de SF diss de CCP + PO à 0,5-1% dans le gabbro quartzifère (I3E) et une zone de cisaillement sur 1m composée de I3E très silicifié. Cette zone contient 3-5% de SF essentiellement de la CCP + PO sous forme disséminée et en amas centimétrique.	I3E avec 5% SF, CPP en placage		
TRO-PDT-18-175	531459	5633356	S650188	I3E	Décapage de I3E à grain moyen, grain grossier et massif. Cette litho contient des niveaux métriques rouillés, silicifiés avec 10-15% de SF (PO, CCP, SP diss)	Vn de QZ SSM (PY, CCP, SP)	[GM] [GG] [MA]	
TRO-PDT-18-176	528023	5643696		V3B	Aff en fauchage de pente de 100m2 composé de V3B à grain fin, massif et homogène. La rx est recoupée par des veinelets de QZ		[GF] [MA] [HJ]	
TRO-PDT-18-177	527858	5643980		V3B	V3B laminé, à grain fin et homogène. Le litage est orienté à N232. On observe aussi localement des veinules de QZ boudinées		[LA] [GF] [HJ]	
TRO-PDT-18-178	527862	5644004	S649383	V3B	Aff de V3B (M16) laminé, schisteux à grain fin montrant une schistosité similaire à l'affleurement 177. On y observe une veine de QZ très légèrement rouillée ainsi qu'une zone métrique où le V3B est en SA plus leucocrate. La rx dans cette zone contient des SF diss en tr-0,5% de CCP + PY.	V3B (SC) avec tr-0,5% de CCP + PY	[GF] [SC] [LA]	
TRO-PDT-18-179	527862	5644004	S649384	V3B	Aff de V3B (M16) lamine, schisteux à grain fin montrant une schistosité similaire à l'affleurement 177. On y observe une veine de QZ très légèrement rouillée ainsi qu'une zone métrique où le V3B est en SA plus leucocrate. La rx dans cette zone contient des SF diss en tr-0,5% de CCP + PY.	Vn de QZ dans V3B (SC) avec tr de PY		
TRO-PDT-18-180	527885	5644158	S649385	V3B (M16)	Aff de V3B (M16) laminé et schisteux avec une orientation à N236 à pendage subvertical. On a une veine de QZ décimétrique de (15-40cm) localement rouillée suivant l'orientation de la schistosité	Vn de QZ dans V3B (M16) avec tr de PY	[LA] [SC] [GF]	
TRO-PDT-18-181	527525	5643913		V3B (M16)	Aff de V3B amphibolitisé, laminé, schisteux et à grain fin		[GF]	

TRO-PDT-18-182	527447	5643834		V3B (M16)		Aff de 25-30m2 de V3B (M16) similaire à 181		[GF]	
TRO-PDT-18-183	527442	5643797		I3A		Aff composé au NO de I3A à grain grossier, folié et au SE de I3A à grain moyen, massif.		[GM] [G G] [FO]	
TRO-PDT-18-184	527425	5643736		V3B		V3B à grain fin/moyen , schisteux		[GM]	
TRO-PDT-18-185	527251	5643638		V3B		V3B à grain fin/moyen , schisteux			
TRO-PDT-18-186	527265	5643651		V3B		Affleurement gigantesque en fauchage de pente de V3B à grain fin, laminé, schisteux recoupé par une veine de QZ blanche métrique.		[LA] [SC] [GF]	
TRO-PDT-18-187	526989	5643446		M16 (V3B)		Aff plat et couvert de mousse de 25m2 composé de M16 (V3B) schisteux, à grain fin, laminé, et homogène		[SC] [LA] [GF] [HJ]	
TRO-PDT-18-188	527092	5643463		V3B		Aff de 50m2 de V3B à grain fin et folié où on observe des tr de SF finement disséminés.		[GF] [FO]	
TRO-PDT-18-189	527385	5643593	S649386	V3B		Aff de V3B folié, laminé, à grain fin montrant une zone plus leucocrate du V3B en SA où la roche est légèrement silicifiée. Le contact entre le V3B noire verdâtre en SA et le V3B plus leucocrate est à N245	V3B (LA) avec tr de SF	[LA] [FO] [GF]	SI
TRO-PDT-18-190	527416	5643593	S649387	V3B		Affleurement plat et couvert de mousse de V3B. On y observe une veine plate légèrement fumée et oxydée au contact avec le V3B. La veine de QZ est décimétrique à +/- métrique	Vn de QZ plate fumée avec tr de SF dans V3B (LA) (SC)	[GF] [LA] [SC]	
TRO-PDT-18-191	527546	5643597	S649388	V3B		V3B laminé, schisteux, à grain fin localement silicifié. On observe des veines de QZ légèrement fumées et un niveau plus rouillé/leucocrate de V3B conducteur jusqu'à 3000 HFR. Ce niveau est décimétrique (25-35cm) et suit l'orientation de la schistosité.	Vn de QZ légèrement fumée avec tr de PY	[LA] [SC] [GF]	
TRO-PDT-18-192	527579	5643692	S649389	V3B		Aff decapé sur 2m par 3m où on observe a 50% une veine de QZ mesurant 1 à 1,2m orientée à N245/78 encaissée dans du V3B schiteux et laminé dont la schistosité est légèrement ondulante variant de N235 à N252. Au BeepMat, la veine de QZ a donné des teneurs de 9500 HFR. Un total de trois échantillons a été prélevé; un sur l'éponte, l'autre à quelques centimètres de l'éponte représentant un SM dans la veine de QZ et un autre au coeur de la veine de QZ,	Éponte de V3B laminé, schisteux au contact avec la veine de QZ sulfurée	[SC] [LA] [GF] [VN]	

TRO-PDT-18-193	527579	5643692	S649390	V3B	Aff decapé sur 2m par 3m où on observe à 50% une veine de QZ mesurant 1 à 1,2m orientée à N245/78 encaissée dans du V3B schisteux et laminé dont la schistosité est légèrement ondulante variant de N235 à N252. Au BeepMat, la veine de QZ a donné des teneurs de 9500 HFR. Un total de trois échantillons a été prélevé; un sur l'éponte, l'autre à quelques centimètres de l'éponte représentant un SM dans la veine de QZ et un autre au coeur de la veine de QZ,	Sulfure massif (70%) dans veine de QZ composé de PY, PO, CCP, BN, SP		
TRO-PDT-18-194	527579	5643692	S649391	V3B	Aff decapé sur 2m par 3m où on observe à 50% une veine de QZ mesurant 1 à 1,2m orientée à N245/78 encaissée dans du V3B schisteux et laminé dont la schistosité est légèrement ondulante variant de N235 à N252. Au BeepMat, la veine de QZ a donné des teneurs de 9500 HFR. Un total de trois échantillons a été prélevé; un sur l'éponte, l'autre à quelques centimètres de l'éponte représentant un SM dans la veine de QZ et un autre au coeur de la veine de QZ,	Vn de QZ avec 2% de SF (CCP, PO) en lamines millimétriques		
TRO-PDT-18-195	527623	5643691		V3B	Aff en fauchage de pente de V3B laminé et schisteux orienté à N237		[LA] [SC]	
TRO-PDT-18-196	527605	5643744		V3B	Aff en fauchage de pente de V3B laminé et schisteux orienté à N237		[LA] [SC]	
TRO-PDT-18-197	527609	5643780		V3B	Aff de V3B >150m2 couvert de mousse, schisteux, laminé, homogène et à grain fin orienté à 236/76		[HJ] [GF] [LA] [SC]	
TRO-PDT-18-198	527778	5643979	S649392	V3B	Aff couvert de mousse de 50m2 compos. à 99% de V3B schisteux et à grain fin, orienté N230. L'affleurement contient une veine de QZ fumée centimétrique (10-15cm) suivant la même direction que la schistosité	Vn de QZ fumée composite avec V3B montrant des tr de SF	[SC] [GF] [LA]	
TRO-PDT-18-199	527510	5643769		V3B	Aff de ce qui semble être du V3B folié à grain fin/moyen et qui contient des enclaves d'une rx plus leucocrate à grain moyen, possiblement un leucogabbro ?		[FO] [GF] [GM]	
TRO-PDT-18-200	527496	5643703		V3B	V3B schisteux, laminé et à grain fin avec des enclaves de leucogabbro qui suivent généralement l'orientation de la schistosité. On observe une veine de QZ de 25-30cm orienté N237 selon la même direction que la schistosité. La veine est légèrement fumée et orangé au contact avec le V3B.		[LA] [SC] [GF] [GM]	

TRO-PDT-18-201	527826	5641621	S649393	V3B	Aff sur une butte, éparpillé sur 150m de long composé de V3B homogène, à grain fin avec une légère altération en SI. On a une veine de QZ orienté à N158 de 40cm d'épaisseur.	Vn de QZ blanche dans V3B	[GF] [HJ]	SI
TRO-PDT-18-202	527390	5641423	S649394	V2 (TL)	Tuf intermédiaire à lapilli avec 2% de PY diss dans les veines/veinules de QZ démembrées.	Tuf intermédiaire à lapilli avec 2% de PY diss	[GF] [HK] [TL]	
TRO-PDT-18-203	525122	5606100		I3A	Aff en relief non loin de la route constitué à 99% de I3A à grain fin/moyen, massif, homogène avec une faible altération en SI.		[GF] [GM] [MA] [HJ]	SI
TRO-PDT-18-204	525100	5605996		V3B	Aff de V3B massif à grain très fin/fin de couleur noire verdâtre en cassure fraîche.		[GT] [GF] [MA]	
TRO-PDT-18-205	525096	5605956		I3A	I3A à grain moyen, massif et homogène			
TRO-PDT-18-206	524558	5604895	S649395	S3 + S6 + V3B	Aff assez grand de 125m2 compose en majorité de V3B à grain fin avec texture de coulée. La rx est foliée à N236 et l'affleurement montre une petite zone de cisaillement de 30-40cm rouillée où on observe des SF diss à 2% de PY + SP. L'affleurement montre aussi un niveau métrique de S3-S6 qui contient une petite zone rouillée de 50cm de largeur contenant des lamines de PO + CCP + SP à 1-2%.	V3B avec SF diss à 2% de CCP + PY + Sp	[GT] [GF] [CL] [HK]	
TRO-PDT-18-207	524558	5604895	S649396	S3 + S6 + V3B	Aff assez grand de 125m2 compose en majorité de V3B à grain fin avec texture de coulée. La rx est foliée à N236 et l'affleurement montre une petite zone de cisaillement de 30-40cm rouillée où on observe des SF diss à 2% de PY + SP. L'affleurement montre aussi un niveau métrique de S3-S6 qui contient une petite zone rouillée de 50cm de largeur contenant des lamines de PO + CCP + SP à 1-2%.	S3 avec 1% de lamines de SF		
TRO-PDT-18-208	524676	5604685		S3 + S6 + V3B	Aff très grand d'au moins 200m2 composé d'alternance de bandes sédimentaire quartzo-feldspathique de type S3 et de mudstone S6 graphiteux. L'affleurement possède beaucoup de zone rouillée et cette rouille est essentiellement localisée dans les bandes de mudstone graphiteux. On y observe un peu de CCP + PO diss ou sous forme de lamine à un maximum de 1%. L'affleurement est compliqué à décrire structuralement à cause de nombreux plis. La portion NE de l'aff est composé de V3B.		[GT] [GF] [HK] [SA]	

TRO-PDT-18-209	524676	5604685	S649397	S3 + S6 + V3B		Aff présentant un contexte de mise en place similaire à 208, à savoir un assemblage volcanosédimentaire avec une alternance de S6 et S3 et du V3B. Une grande partie de l'aff est rouillée. Le BeepMat a localement indiqué des valeurs de 17000 HFR.	S6+S3 où la min (PO, CCP) est localisée dans le S6 à 5-8% diss et lamine millimétrique	[GT] [GF] [HK]	
TRO-PDT-18-210	524622	5604698	S649398	S3 + S6		Aff très rouillé en surface composé d'une alternance de bandes de S3 avec des bandes de S6 graphiteux. On observe de la minéralisation à 1-2% de CCP + PO +SP dans le S6 graphiteux. La stratification est légèrement ondulante suivant une direction générale à 252N.	S6 graphiteux avec 1-2% de CCP+PO+ SP	[GT] [GF] [HK]	
TRO-PDT-18-211	524359	5604767		I3A		Aff de I3A à grain moyen, folié et homogène		] [HJ]	
TRO-PDT-18-212	524356	5604711		S6 + S3		Aff de S6 graphiteux interdigité avec S3			
TRO-PDT-18-213	524338	5604722		V3B	S6	Aff constitué à 90% de V3B avec des bandes nettes ou plissées de S6 graphiteux rouillées d'échelle décimétrique.		[GF] [FO]	
TRO-PDT-18-214	524296	5604739	S649399	V3B + Sédiment		Aff gigantesque >400m2 difficile à décrire à cause de l'hétérogénéité, des différentes lithos et de la structure. On peut y observer du V3B, du I3A, du S6 graphiteux présentant localement des amygdules ? et du S3. Les zones rouillées s'associent aux sédiments (essentiellement le S6 graphiteux).	SF semi massif (25-30% de PO + CCP + PY + SP) dans S6 graphiteux composite.	[HK] [GF] [GT]	
TRO-PDT-18-215	524273	5604681	S649400	V3B + S6		Aff de S6 + V3B relativement similaire au 214.	S6 graphiteux avec 5% de PY diss		
TRO-PDT-18-216	524632	5604560		V3B		Aff de 50m2 composé à 99% d'une roche mafique finement grenu montrant des textures volcaniques (coussins). La rx est amphibolitisée avec présence de CL et BO et une altération en CA pervasive.		[FO] [GF] [CO]	CA
TRO-PDT-18-217	524552	5604541		M16 (V3B)		M16 (V3B) à grain fin, homogène, sub affleurent avec tr de PY diss		[GF] [HJ]	

TRO-PDT-18-218	524532	5604451		I3A (M16)		Aff de 150m2, plat, composé de I3A [M16] à grain moyen et équigranulaire. On observe plusieurs veines de QZ blanches éparpillées au sein de l'aff		[GM] [EQ]	
TRO-PDT-18-219	524270	5604336	S650051	I3A		Aff de I3A d'environ 75m2 composé de I3A à grain moyen, folié. On note la présence de blocs anguleux ne semblant pas provenir de loin et qui sont composés de S6 graphiteux avec 0,5-1% de PO + PY diss	S3 + S6 avec 0,5-1% de SF diss	[GM] [FO]	
TRO-PDT-18-220	524213	5604670		S6 + S3		Affleurement, constituant la continuité de 215, composé à 99% d'une interdigitation de bandes de S6 et S3 avec la présence locale de SF en trace. La stratification est orienté N60.		[GT] [GF] [SA]	
TRO-PDT-18-221	524255	5604716		I3A		Aff de I3A à grain moyen légèrement folié		]	
TRO-PDT-18-222	524475	5604848	S650052	V3B	S6 + S3 + S10	Aff constitué d'un coulée de V3B à grain fin où on a des horizons sédimentaires S3, S6 et S10 orientés selon plusieurs directions et plissés localement. On observe aussi des veines de QZ démantbrées et très légèrement fumées. Un des horizons sédimentaire dont l'orientation est à N55 contient de la PY semi massive (20-25% de PY)	20% de PY dans un horizon sédimentaire, S6?	[CL] [GF] [GT]	
TRO-PDT-18-223	524837	5604733		M16 (V3B)		M16 (V3B) montrant en surface des textures/structures de fractures de refroidissement et en cassure fraîche une altération pervasive en CA.		[FA] [GM] [GF]	CA
TRO-PDT-18-224	524650	5613839		I3A		Aff au bord du chemin assez grand >250m2 constitué à 99% de I3A à grain moyen, massif et homogène. Les échantillons montrent localement des tr de PY		[GM] [MA] [HJ]	PY
TRO-PDT-18-225	526742	5614144	S650056	Sédiment		Plusieurs boulders subanguleux (5-6) métriques (2-3m3) dont certains ont donné jusqu'à 3000 HFR au BeepMat. La rx semble être un sédiment. On observe une légère silicification et carbonatation.	Sédiment contenant 20-25% de PY + 1% de CCP	[GF] [SA]	SI, CA
TRO-PDT-18-226	526742	5614144	S650057			Plusieurs boulders subanguleux (5-6) métriques (2-3m3) dont certains ont donné jusqu'à 3000 HFR au BeepMat. La rx semble être un sédiment. On observe une légère silicification et carbonatation.	Sédiment contenant 20% de PY diss		
TRO-PDT-18-227	526920	5613926		I3A		Aff très grand de I3A à grain moyen, massif et homogène avec tr de SF (PO + PY)		[GM] [MA] [HJ]	PY
TRO-PDT-18-228	527156	5613746		I3A		Aff où on a trouvé un échantillon prélevé dans une veine de QZ décimétrique orienté N320 (Nech: 564081). L'encaissant est un I3A à grain moyen, équigranulaire et massif. La roche est légèrement magnétique		[GM] [EQ] [MA] [HJ]	



TRO-PDT-18-229	527217	5613711		I3A		I3A à grain moyen, équigranulaire avec une veinule de QZ centimétrique (2cm) à 320N situé à l'est de l'affleurement.		[GM] [EQ] [MA] [HJ]	
TRO-PDT-18-230	526976	5614383		V3B		Aff de 100m2 constitué à 99% de V3B à grain fin, massif, homogène probablement d'une coulée massive		[CK] [GF] [MA]	
TRO-PDT-18-231	526785	5614654		I3A		I3A à grain fin/moyen localisé en bordure de chemin.		]	
TRO-PDT-18-232	536637	5647756	S650058	V3B		Boulder de 2-3m2 subanguleux de V3B aphanitique/grain très fin noir verdâtre en cassure fraîche. La rx montre 0,5-1% de PO + CPP diss.	V3B avec 0,5-1% de PO + CCP diss	[GT] [AP]	
TRO-PDT-18-233	536687	5647709		V2/V3		Aff situé sur le top de la coline constitué de roche volcanique V2/V3 à grain fin.		[GF]	
TRO-PDT-18-234	536699	5647684		I3A		Aff couvert de mousse de I3A massif et à grain fin/moyen. La rx est légèrement magnétique.		[GF] [GM] ]	
TRO-PDT-18-235	536735	5647666		V2		Aff long sur plus de 30m et localisé sur le flanc d'une montagne. On y trouve à 99% du V2 à grain fin et massive.		[GF] [MA] ]	
TRO-PDT-18-236	536740	5647589		I3A		Affleurement de I3A à grain moyen et folié		]	
TRO-PDT-18-237	536733	5647540	S650059	V3B		Aff en fauchage de pente de V3B à grain fin et homogène, noire verdâtre en cassure fraîche. On observe 1-2% de PO diss et en fine lamine. La schistosité est bien développée.	V3B avec MG à au moins 2% et 1-2% de PO diss et en lamine millimétrique	[GF] [HJ]	
TRO-PDT-18-238	536721	5647520		V2/V3	I3A	Aff sur flanc de montagne où on a une interdigitation de V2/V3 avec du I3A. Il s'agit d'une interdigitation de plusieurs injections décimétriques suivant l'orientation de la foliation/schistosité.		[GF] [GM] ] [FO] [SC]	
TRO-PDT-18-239	536699	5647513		V2/V3	I3A	Aff de V2 interdigité à I3A à 10%.		]	
TRO-PDT-18-240	536689	5647517		V3B		Aff de V3B à grain très fin/aphanitique avec tr de SF finement diss. On observe localement de la rouille et la roche est magnétique.		[GT] [AP]	
TRO-PDT-18-241	536634	5647534		V3B (M16)		V3B (M16) schisteux et à grès fin		[GF] [SC]	
TRO-PDT-18-242	509484	5628354		I2J	I1B	Zone subaffleurante composée de plusieurs blocs sub en place de I2J à grain moyen légèrement folié avec des injections de I1B.		[GM] [FO]	

TRO-PDT-18-243	509642	5628430		I2J	I1B	Point similaire au précédent, c'est à dire un champ de blocs de composition uniforme de I2J avec injection I1B (I1G)		[GM]	
TRO-PDT-18-244	509580	5628250		I2J	I1B	Boulder de I2J à grain moyen, équigranulaire similaire au blocs sub en place des affleurement 242 et 243		[GM] [EQ]	
TRO-PDT-18-245	509648	5628331		I2J	I1B	Boulder de I2J à grain moyen, folié recoupé par des injections de I1B rose à grain grossier/moyen		[GM] [FO]	
TRO-PDT-18-246	509766	5628491		I2J	I1B	Champ de boulder de composition intermédiaire (I2J) légèrement folié et recoupé par mes injections centimétrique de I1B (I1G)		[GM] [FO]	
TRO-PDT-18-247	509746	5628211		I2J	I1B	Boulder de I2J subanguleux très grossier (>12m3).		[EQ] [FO]	
TRO-PDT-18-248	537848	5622486	S649114	V3/V2	I3A	Aff gigantesque de 600m2 composé en majorité de volcanie mafique. L'aspect de la rx en surface est particulière dans la mesure où on observe une importante quantité de M16 (I3A) en relief positif arrondi et subanguleux qui baignent dans du V3/V2. On observe à d'autres endroit de l'aff du I3A sous forme de dyke. On a aussi des veines de QZ décimétriques avec tr de PY.	V3B dans petite zone de cisaillement centimétrique rouillée avec tr de SF	[GF] [GM]	
TRO-PDT-18-249	537848	5622486	S649115			Aff gigantesque de 600m2 composé en majorité de volcanie mafique. L'aspect de la rx en surface est particulière dans la mesure où on observe une importante quantité de M16 (I3A) en relief positif arrondi et subanguleux qui baignent dans du V3/V2. On observe à d'autres endroit de l'aff du I3A sous forme de dyke. On a aussi des veines de QZ décimétriques avec tr de PY.	Veine de QZ dans V3/V2		
TRO-PDT-18-250	537806	5622253	S649116		Tuf mafique	Aff de 100-125m2 composé de volcanoclastique mafique où les clasts dont plusieurs dimensions (centimétrique à décimétrique). Il s'agirait d'un tuf à lapilli et bloc recoupé par des veines de QZ décimétrique suivant généralement l'orientation de la schistosité qui est N110.	Composite de tuf mafique et vn de QZ avec tr de PY	[TY] [GM] [G] [GF]	
TRO-PDT-18-251	537880	5622283		V3B		V3B recoupé par quelques veinules de QZ		[GF]	
TRO-PDT-18-252	510436	5617934	S649117	I4I		Aff de 40-50m2 de I4I à 99%. On y observe une croûte d'altération centimétrique et une couleur ocrée typique des ultramafiques. La rx est très magnétique.	I4I avec tr de SF et MG à au moins 3%	[GF] [GM] [HJ]	
TRO-PDT-18-253	510389	5617760		I1B		Aff douteux au bord d'un cours d'eau de 20m2 composé à 99% de I1B très légèrement folié avec 5% de BO.		[GM] [FO]	

TRO-PDT-18-254	537703	5605620	S650072	I3A		Aff assez long sur 20-30m par 2-3m composé à 99% de I3A à grain moyen/fin, massif et de couleur beigâtre en surface altérée. L'affleurement montre localement des spots rouillés où la rx a des SF diss en tr-0,5% de PO.	I3A à grain fin avec 0,5% de PO diss	[GM] [GF] [MA]	
TRO-PDT-18-255	537758	5605597	S650073	I3A		Aff sur flanc de montagne de I3A à grain moyen, homogène et massif, qui semble relativement frais avec la présence de nombreux pyroxènes et très peu d'amphiboles.	WRC de I3A à grain moyen et massif	[GM] [MA]	
TRO-PDT-18-256	537785	5605600	S650074	I3A		Aff composé à 99% de I3A à grain moyen, grossier, massif et mélanocrate. On observe bien les px qui sont localement très grossier. L'aff montre une structure/texteure de bréchification du I3A marquée par une circulation tardive de fluide donnant un aspect coussiné au I3A. On observe dans les parties plus marquées par l'altération (leucocrate) des SF diss à 5-7%.	I3A à grain grossier avec 5-7% de PO diss et en fine lamine	[GM] [GG] [MA] [MX] [BG]	
TRO-PDT-18-257	537794	5605591		I3A		Aff de 5-10m2 de I3A à grain moyen, grossier et massif.		[GG]	
TRO-PDT-18-258	537819	5605601		I3A		I3A à grain moyen et grossier		G]	
TRO-PDT-18-259	537832	5605560		I3A		Aff de 25m2 de I3A à grain moyen et massif		A]	
TRO-PDT-18-260	537838	5605630		I3A		Aff similaire au 256 avec cette circulation de fluide qui vient bréchifié le I3A à grain moyen, grossier et massif		[GM] [GG]	
TRO-PDT-18-261	537861	5605670	S650075	I3A		Aff de 5m2 composé de I3A à grain moyen, grossier rouillé en surface altéré et bréchifié. On observe jusqu'à 2% de SF diss dans les échantillons.	I3A avec 1-2% de SF diss	[BG] [GM] [GG]	
TRO-PDT-18-262	538004	5605650	S649486	I3A		Aff en relief de 10m2 constitué à 99% de I3A à grain fin/moyen, massif et homogène. Ce I3A est plus classique avec une rx moyennement grenu, massive et homogène sans bréchification.	WRC de I3A à grain fin, grain moyen, massif	[MA] [GM] [HJ]	
TRO-PDT-18-263	537979	5605508		V3B		Aff en haute top de V3B à grain fin/moyen avec de multiples fractures de refroidissement		[FA] [GF] [GM]	
TRO-PDT-18-264	538122	5605543	S650076	Sédiment		Boulder de 40cm par 30cm de suflures semi-massif constitué de 40% de PY. La rx semble être un sédiment.	SSM composé de PY à 35-40%		
TRO-JB-18-002	514393	5597948	S649909	M4		Affleurement sous 1,5 ft de till, reading BM de 450 Hfr avant de creuser. M4 minéralisé (3% Py, 1% Po), oxydé, grains fins, foliation 3-4 orientée N250;sub90. Magnétisme faible a modéré. Pas de réaction é l'acide, silicifications modérées, présence de Biotite.	3PY, 1PO		

TRO-JB-18-003	514405	5597950	S649910	M4	I1C	Affleurement décapé de 4m <sup>2</sup> , avec M4 et I1C minéralisé en Py, Po et Cp ou Bo. Proche de l'échantillon S649152. La minéralisation se situe dans une zone de cisaillement à fort pendage et au contact entre le M4 et le I1C. Les sulfures sont semis-massifs.	PY, PO, CP, BO		
TRO-JB-18-004	514467	5597994		I1C	I1G, M4	Affleurement de 60m <sup>2</sup> avec I1C/I1G et M4. M4 semble encore être la première génération, apparence de xénolithes, recoupés par un granodiorite, lui-même recoupé par un pegmatite. Présence de rare Py cubique millimétrique dans la pegmatite.	trPY		
TRO-JB-18-005	515132	5598470		I1C	M4, I1G	Affleurement de 150m <sup>2</sup> avec des écailles de M4 métriques dans une matrice de granodiorite, eux-mêmes recoupés par une pegmatite de 10 à 40cm de puissance.			
TRO-JB-18-006	515256	5598597	S649354	M4	I1C	Bel affleurement d'environ 100m <sup>2</sup> , avec contact M4-I1c, une S2 orientée à N050/70, parallèle à la direction du contact. Le M4 est à 4-5% Py, très légèrement magnétique, et oxydé. Pas de carbonates, mais silicifications légère à modérée.	5PY		
TRO-JB-18-007	515385	5598664		I1C		Affleurement de granodiorite			
TRO-JB-18-008	515469	5598655	S649355	M4-M16	I1C	Affleurement de 200m <sup>2</sup> , zone de mélange ou contact ondulant entre I1C et M4, M4 contient encore 4-5% Py finement disséminée et en stringers insérés dans la foliation du M4. Pas de carbonates, silicifications modérée. Foliation ondulante.	5PY		
TRO-JB-18-009	516366	5598090		M3		Affleurement de bord de lac, 60-70m <sup>2</sup> , majoritairement leucocrate, siliceux et folié. Pas de magnétisme, pas de carbonates, à grains fins à très fins. La composition rappelle un orthogneiss très siliceux avec des filons millimétriques d'aplite très légèrement minéralisés (1-2% Py).	trPY		
TRO-JB-18-010	516413	5598116		M3		Même description, orthogneiss au bord du lac.			
TRO-JB-18-011	516417	5598255		M3		Affleurement 60m <sup>2</sup> , orthogneiss à foliation subhorizontale, légèrement magnétique, leucocrate avec des rares lits mélanocrates de 1-2mm d'épais. Pas de minéralisations.			

TRO-JB-18-012	515940	5598985		M4	I1C	Affleurement de 250m <sup>2</sup> , de M4 recoupe par du I1C. Le M4 ressemble à des gros xénolithes métriques à plurimétriques dans une masse de I1C, mais S2 reste très cohérente autour de N240/60. On a un bon 50-50 de lits mélanocrates et leucocrates millimétriques dans lesquels s'installent de rares stringers de Py. Egalement une texture en rubanement avec des veines de Qz boudinées et qui semblent sèches. Minéralisation en tr-1%Py. Non magnétique, Pas de carbonates, silicification modérée, oxydation modérée en surface d'altération	tr-1PY		
TRO-JB-18-012-1	515885	5598936		M4	I1C	Fin de l'affleurement précédent.	tr-1PY		
TRO-JB-18-013	507097	5618447			I1G	Affleurement de 15m x 3 de pegmatite contenant Qz, Fp, Bt, Ms. Pas de traces de spodumène ni Lépidotite, mais avec 30% de micas pluricentimétriques et hexagonaux vert pâle à foncé.			
TRO-JB-18-014	507081	5618468			V3B	Basalte, verdâtre, à grains fins à très fins, silicifications modérées, pas de magnétisme, pas de minéralisations, pas de structures.			
TRO-JB-18-015	507057	5618514			V3B	Ici on trouve le même basalte que sur TR18-JB-014, à la différence qu'il présente ici une foliation au 240/85.			
TRO-JB-18-016	507015	5618525			I1G	V3B	Affleurement massif de 50m de long x 20m de large environ avec une pegmatite encaissée dans un V3B à foliation subverticale au N235. La pegmatite est massive et affleure sur 75% de l'affleurement environ. Elle porte Qz, Fp, Micas (Biotite, Muscovite, lépidotite). Présence de spodumènes. CG, MA. Affleurement très intéressant à potentiel en Li/Rb. S649302 à SP. S649303 à LE.	SP-LE	
TRO-JB-18-016-1	507015	5618525			I1G	V3B	Affleurement massif de 50m de long x 20m de large environ avec une pegmatite encaissée dans un V3B à foliation subverticale au N235. La pegmatite est massive et affleure sur 75% de l'affleurement environ. Elle porte Qz, Fp, Micas (Biotite, Muscovite, lépidotite). Présence de spodumènes. CG, MA. Affleurement très intéressant à potentiel en Li/Rb. S649302 à SP. S649303 à LE.	SP-LE	
TRO-JB-18-017	507000	5618490			V3B	I1G	Le Basalte est injecté comme un dyke dans la pegmatite, suggérant une nature plutôt intrusive et est donc possiblement un gabbro très aphanitique. Echantillon pour tester les micas présents dans la pegmatite.		

TRO-JB-18-018	507108	5618575	V3B/I3A	Gros affleurement de 60m x 30. Basalte/Gabbro très aphanitique et silicifié. Pas de réaction à l'acide, foliation à N240/86. Présence de 2-3% PO qui donne un léger magnétisme	3PO		
TRO-JB-18-019	521362	5612821	V3B	affleurement de 50m2, basalte, verdâtre, à grains fins, faible magnétisme du à la présence de PO en traces. Pas de CB. Foliation faible subverticale au N290.	trPO		
TRO-JB-18-020	521853	5613114	I4I	Affleurement environ 30m2, reading BIM 5000 mag, Roche verte très magnétique, aphanitique, avec des grains millimétriques de serpentine et probablement chlorite-trémolite. Pas de structures, pas de CB, fortes minéralisations en magnétite. Croûte d'altération de 1cm environ, typique des roches ultramafiques. Pas de textures volcaniques identifiables.	MG		
TRO-JB-18-021	521765	5613264	V3B	Affleurement en place ou possiblement subaffleurant, roche verte à verte foncée, noire, grains très fins de plagios dans une matrice aphanitique, tr`s légère foliation, 1-2, orientée N111/79. Présence de moins de 1% d'yeux de Qz. Pas de magnétisme, pas de CB.			
TRO-JB-18-022	521793	5613546	I4I/I3A	Gros affleurement de 500m2 au moins, on voit une grande hétérogénéité dans la masse rocheuse ; Majoritairement aphanitique, mais on peut observer dans certaines parties des grains de pyroxènes sans plagioclases ce qui suggère une origine ultramafique mais on pourrait également être en présence d'un gabbro aphanitique. Pas de magnétisme, pas de CB.	MG		
TRO-JB-18-023	521685	5613548	I4I	Voir description précédente, on suit le même affleurement, ici il devient plus clair qu'il s'agit d'une périclote à PX.	MG		
TRO-JB-18-024	521586	5613597	V3B/I3A	Affleurement de 20m x 5m, texture aphanitique avec grains de plagioclases qui suggèrent une composition mafique plutôt qu'ultramafique. Présence de PX à texture spinifex. Pas de magnétisme ni CB.			



TRO-JB-18-025	521268	5613609		V3B	Bel affleurement de 20m x 3m. Il s'agit d'une lave mafique avec des textures polygonales de refroidissement centimétriques visibles en surface. Roche vert clair, aphanitique, aucuns minéraux clairement identifiables. Présence en traces d'un minéral rouge semblable à la SP. Non magnétique, pas de CB, légère silicification.	trSP?		
TRO-JB-18-026	521394	5613320		V3B	Affleurement de 5m x 4m, avec foliation 3-4, roche verte à vert pâle, à grains de plagioclases de 1-4mm de long, étirés dans le plan de foliation orienté N094/58. On est très probablement dans un V3B qui a été cisailé. Pas de magnétisme, pas de CB. Légère silicification.			
TRO-JB-18-027	521437	5613334		V3B	Affleurement de 10m x 4m, contact net entre un V3B à foliation 4 et ce même V3B massif. La foliation est orientée N097/69. Le contact est subparallèle à la foliation.			
TRO-JB-18-028	521485	5613354		I3A	Affleurement de 20m x 3m, roche intrusive, à grains moyens, plagioclases 40-Pyroxènes 60, magnétisme faible à modéré, pas de CB. Présence de sulfures disséminés en traces de CP et SP?	trCP, trSP		
TRO-JB-18-029	521515	5613319	S649356	V3B	Affleurement de 5m x 2m, on retrouve le V3B à foliation 4 décrit en 026 et 027, avec forte silicification, léger magnétisme. Le reading BM monte à 650 en Hfr. Forte oxydation de surface. Sulfures fins et disséminés en CP-PO. Foliation N086/60	trCP, trPO		
TRO-JB-18-030	521542	5613293		V3B	Affleurement de 10m x 6m, toujours dans le V3B à foliation 4, readings BM de 450 Hfr. Foliation orientée N085;61. Présence de conducteur et faible magnétisme du à la présence de environ 1% PO, traces de CP également. Roche verte foncée, silicifiée. Importante oxydation de surface, aphanitique et foliée.	1PO, trCP		
TRO-JB-18-031	521535	5613033		V3B	Affleurement au bord du lac, roche verte noirâtre, à grains fins, homogène. Pas de structures pas de magnétisme pas de CB ni silicification notable. Pas de minéralisations.			

TRO-JB-18-032	521691	5613034		I4I		Affleurement de péridotite, même description que 020. serpentinitisation modérée, silicifications et magnétisme forts. Présence de 1% de sulfures fins et disséminés. Matrice aphanitique. Possiblement volcanique en raison de textures de coulée qui peuvent rappeler un flow top. Reading BM 5000 mag.	1SF		
TRO-JB-18-033	522065	5612713		V3B		Basalte, vert noirâtre, aphanitique, non magnétique, silicifications modérées, pas de minéralisations ni structures.			
TRO-JB-18-034	522060	5612666		V3B		Même description que 033, mais avec une foliation 3 à N092/63.			
TRO-JB-18-035	522115	5612556		I3A		Affleurement de 3m x 5, Gabbro textbook, subophitique, à grains moyens (3-4mm très équigranulaire), massif et homogène. Pyroxènes fortement chloritisés (métamorphisme régional). Pas de magnétisme, ni CB. Veines centimétriques de Qz sèches, orientées autour du N138.			
TRO-JB-18-036	522331	5612660		V3B		Roche verte aphanitique ou à grains très fins, textures volcaniques de refroidissement polygonal en surface. Pas de magnétisme ni CB. Silicifications modérées. Pas de minéralisations. Légère oxydation de surface. Affleurement sur un cran de 50m x 30m.			
TRO-JB-18-037	523391	5613228		V3B		Basalte, non magnétique et non carbonaté, pas de minéralisations, pas de readings BM, foliation 4 au N088/70. Plagioclases de 3-5mm allongés dans la S2.			
TRO-JB-18-038	523450	5613083	S649378	S3		Boulder très minéralisé, sédimentaire (probablement wacke à grains très fins), siliceux, minéralisations 15%PY, 8%CP, tr BO. Non magnétique. Readings BM 3000Hfr et 2000Lfr avec ratio de 77%.	15PY, 8CP, trBO		
TRO-JB-18-039	523522	5612920		V3B		Affleurement de 3m x 2m, de basalte bleu gris, aphanitique et massif, non minéralisé, non magnétique, aucuns readings BM.			
TRO-JB-18-040	523213	5613098		V3B		Affleurement, Basalte vert foncé-bleu, pas de CB, pas de magnétisme, pas de minéralisations, pas de foliation. Aphanitique et avec légères silicifications.			

TRO-JB-18-041	523278	5613376	I4I		Affleurement de 30m x 6m, continu sur tout le bouton alentours. Roche vert clair, aphanitique avec présence de serpentine qui commence à s'altérer en amiante. Très magnétique, très silicifiée dans les réseaux de fractures. Pas de minéralisations visibles. Il s'agit très probablement plus d'un intrusif que d'une volcanite car aucunes textures volcaniques n'est identifiable. Croûte d'altération d'environ 1cm en surface.	MG		
TRO-JB-18-042	523191	5613433	I4I		Même I4I que précédemment, mais le magnétisme est faible ainsi que la serpentinisation. Roche massive.			
TRO-JB-18-043	523072	5613592	V3B		Basalte folié 4 au N105/70, à grains fins de plagioclase et matrice aphanitique. Pas de CB, pas de magnétisme, pas de minéralisations. Un petit spot de l'affleurement (5m x 5m) monte a 300 en mag sur le BM.			
TRO-JB-18-044	522855	5613486	I4I		Péridotite non magnétique, faible serpentinisation. Toute la butte est une butte de péridotites.			
TRO-JB-18-045	523071	5612968	V3B		Affleurement de 40m x 10m, basalte, bleu-gris, aphanitique et à grains fins (1-2mm), non magnétique, non carbonaté, pas de minéralisations. Foliation 3 au N102/68.			
TRO-JB-18-046	523195	5612915	V3B		Même basalte que précédemment (045), au N090/68. gros affleurement			
TRO-JB-18-047	523162	5612980	V3B		Basalte similaire à 045 et 046, pas de CB, pas de magnétisme, pas de reading BM, traces de sulfures disséminés, PO-CP.	trPO, trCP		
TRO-JB-18-048	520270	5607130	V3B		2 blocs métriques de V3B foliés qui réagissent au BM très légèrement, aphanitiques, non magnétiques, non carbonatés. Pas de silicifications et traces de CP-Py			
TRO-JB-18-049	520213	5606855	I4I		Bloc de 2m de péridotite, très magnétique et légèrement conducteur. Grains millimétriques de serpentine et aphanitique. Pas de carbonatation.			
TRO-JB-18-051	526833	5604872	V3B		Roche volcanique mafique, silicifiée, pas de carbonates, pas de magnétisme, pas de minéralisations. Bloc subaffleurant plurimétrique, vert-blanchâtre, à grains fins à très fins.			

TRO-JB-18-052	526767	5604907		V3B	Affleurement ou subaffleurement, de roche volcanique mafique à foliation 3-4. Vert clair, fortes silicifications, pas de magnétisme, pas de minéralisations bien qu'on voie une forte oxydation de surface (Bt ???) S2 à N195-79.			
TRO-JB-18-053	527034	5604843		I3A	Roche intrusive mafique similaire au gabbro de 18-050, avec 3-5% d'yeux de Quartz. Pas de minéralisations, pas de carbonates, pas de magnétisme.			
TRO-JB-18-054	509767	5620762		V3B	Gros affleurement de cap rocheux, 400m2, roche verte grise, aphanitique, semble d'origine volcanique. Légère croûte d'altération. Non magnétique, non carbonaté, légère silicification. Dureté moyenne. Basalte coussiné. Majoritairement massif mais on voit des bandes 20-30cm d'épaisseur mylonitiques vers le N095.			
TRO-JB-18-055	509805	5620942	S649357	V3B	Même Basalte, avec également des shear zones de 20-30cm d'épaisseur au N100. Présence d'une veine de Qz dans la foliation avec minéralisations en traces Cp Po aux épontes.	tr Cp, tr Po		
TRO-JB-18-055-1	509906	5620953	S649358	V3B	Reading BM Lfr 30, échantillon minéralisé très altéré, très oxydé, présence de Cp, Py et de sulfures altéré ressemblant à du Hg ?? Kicke au BM sur 2m x 15m environ et monte à Lfr 30, Hfr 4.	tr Cp, tr Py		
TRO-JB-18-055-2	509868	5620888	S649359	V3B	Veine de Qz dans un réseau de fractures conjuguées N340;50 - N090;80. Minéralisations faibles en Cp, Py.	tr CP, tr Py		
TRO-JB-18-055-3	509868	5620888	S649360	V3B	Veine de Qz dans un réseau de fractures conjuguées N340;50 - N090;80. Minéralisations faibles en Cp, Py.	tr CP, tr Py		
TRO-JB-18-056	510051	5620939	S649469	V3B	Affleurement de 20m x 4m. Roche verte bleue, aphanitique et à grains fins, dureté moyenne, non magnétique, non carbonaté. Présence localement d'amphiboles noires et 1-3mm. Pas de coussins visibles, mais textures de refroidissement polygonal. Silicifications modérées. Minéralisations en traces Cp, Po, Bo.	tr Cp, tr Po, tr Bo		

TRO-JB-18-056-1	510051	5620939	S649361	V3B	Affleurement de 20m x 4m. Roche verte bleue, aphanitique et à grains fins, dureté moyenne, non magnétique, non carbonaté. Présence localement d'amphiboles noires et 1-3mm. Pas de coussins visibles, mais textures de refroidissement polygonal. Silicifications modérées. Minéralisations en traces Cp, Po, Bo.	tr Cp, tr Po, tr Bo		
TRO-JB-18-057	510033	5621175	S649477	V3B	Basalte aphanitique vert, sans coussins, peu altéré (Silicifications faibles). Pas de magnétisme ni Carbonates, dureté moyenne			
TRO-JB-18-058	509887	5621348		I3A	Affleurement de 30m x 3m. Roche intrusive mélanocrate à grains moyens, texture pseudo ophitique avec des grains de Pyroxènes de 5-8mm de long dans une matrice de Plagioclases. Pas de Carbonates, magnétisme faible à très faible, dureté moyenne. Légère chloritisation.			
TRO-JB-18-059	509346	5621577	S649479	T2B ; V3B	Affleurement énorme à l'échelle de la colline, Roche verte aphanitique, non carbonatée, non magnétique. Présence de coussins étirés ou de blocs dans des plans de foliation très marqués et qui semblent être sédimentaires. Pas de minéralisations, silicifications modérées. Tuf ?. S2 N065;85.			
TRO-JB-18-059-1	509347	5621515		T2B ; V3B	Même affleurement			
TRO-JB-18-060	509331	5621420	S649480	V3B	Même roche mais semble ici être un basalte aphanitique avec de légères minéralisations en Py-Po. Echantillon pour lithologie.			
TRO-JB-18-061	510243	5621426	S649481	V3B	Basalte aphanitique à grains fins millimétriques, texture variolaire avec varioles submillimétriques de plagioclases et 10% amphiboles de 3-4mm de long. Echantillon pour litho. C'est un affleurement sur un début de flanc de colline sur une logne de swamp, mais il pourrait très probablement être relié à 056 et 057.			
TRO-JB-18-062	509806	5620507		V3B	Affleurement au bas d'un énorme cran. Roche verte aphanitique silicifications légères à modérées, non magnétique, non carbonaté, non minéralisé. S2 localement par bandes de 10-15cm d'épaisseur orientées au N078/75.			

TRO-JB-18-062-1	509750	5620505		V3B	Affleurement au bas d'un énorme cran. Roche verte aphanitique silicifications légères à modérées, non magnétique, non carbonaté, non minéralisé. S2 localement par bandes de 10-15cm d'épaisseur orientées au N078/75.			
TRO-JB-18-062-2	509729	5620513		V3B	Affleurement au bas d'un énorme cran. Roche verte aphanitique silicifications légères à modérées, non magnétique, non carbonaté, non minéralisé. S2 localement par bandes de 10-15cm d'épaisseur orientées au N078/75.			
TRO-JB-18-063	509590	5620654		V3B	Roche verte aphanitique très siliciifiée, légèrement magnétique. Pas de carbonates. Présence de coussins. Les minéralisations faibles sont encore une fois concentrées dans les brèches entre les coussins qui sont pseudo mylonitiques. Présence de Cp-Po en traces. Affleurement de 10m x 3m.	tr Cp, tr Po		
TRO-JB-18-064	509490	5621033		V3B	Même V3B sur un affleurement de 100m x 20m, pas de minéralisations, coussins métriques et brèches hyaloclastiques décimétriques orientées N-S et E-W. environ.			
TRO-JB-18-065	509416	5621219		I3A	Roche intrusive à grains moyens de Pyroxènes de 4-6mm de long chloritisés, et de plagioclases en matrice. Traversé par des veinules de Qzde 1-2cm d'épaisseur. Probablement une zone de contact entre ce I3A et un V3B aphanitique très siliceux et légèrement amphibolitisé. Pas de minéralisations notables.			
TRO-JB-18-066	509461	5621270	S649482	I3A	Gros affleurement de 100m x 40m environ, Rochen verte à grains fins, très siliciifiée, à amphiboles ? Px ? Ressemble à un basalte mais la croûte d'altération montre qu'on est peut-être dans un gabbro aphanitique ou alors dont la fabrique originale est trop altérée. Veines de Quartz sèches centimétriques dans un réseau de fractures N-S.			
TRO-JB-18-067	509496	5621232	S649362	I3A	Même affleurement qui confirme qu'il s'agit effectivement d'un gabbro à grains fins, minéralisé à 4-5% Py.	5 Py		



TRO-JB-18-068	509376	5621346	S649483	V3B	Roche verte aphanitique légèrement silicifiée, non magnétique, non carbonatée, légère oxydation mais pas de minéralisation. Pas de textures à l'affleurement. Foliation locale sur des bandes de 30cm, S2 N040 ; 90.			
TRO-JB-18-069	509306	5621322		I3A	Même Gabbro que 065, avec une S2 N040/90. Encore une texture pseudo ophitique des Px allongés.			
TRO-JB-18-070	509235	5621369		V3B	De nouveau un affleurement de basalte aphanitique, légèrement silicifié, pas de magnétisme ni de carbonates. Veines de quartz sèches autour de la foliation orientée au N040 subverticale.			
TRO-JB-18-071	509168	5621410		T1L	Roche présentant un litage important et une foliation qui a repris ce litage de manière très pénétrative. Présence de lapillis de 5 à 20cm, étirés dans le plan de foliation, et forte présence de clastes Qzo-feldspathiques subarrondis et localement granoclassés dans la stratification. Carbonatation faible. Rares minéralisations Cp-Py-Bo? mais très intéressantes car elles se présentent en stringers parallèles au plan de foliation, ce qui implique une minéralisation syn-cisaillement et donc ce niveau de tuf constituerait un excellent piège structural à de plus fortes minéralisations. S2 N060/85	tr Cp, tr Py, tr Bo		
TRO-JB-18-072	509225	5621388		T1L	Même style de tuf, avec la présence d'une amphibole ressemblant à de l'actinote. Encore une fois légères minéralisations en stringers Py-Cp-Sp. S2 N060/82 . Carbonatation faible	2 (Cp, Py, Sp)		
TRO-JB-18-073	509094	5621260	S649379	T1L	Toujours dans un sédiment volcanoclastique tuffacé à lapillis (5-20cm étirés) et qzo feldspathique à grains moyens. Présence d'amphiboles (10%) et de belles minéralisations localement jusqu'à 3% Cp-Py-Sp-Po. Magnétisme faible, forte S2, Carbonatation faible. S2 N052/80	3 (Cp, Py, Sp)		
TRO-JB-18-074	509071	5621233	S649380	T1BX	Toujours dans un sédiment volcanoclastique tuffacé mais cette fois ci on distingue plutôt des blocs (bombes volcaniques de 80cm de long environ) et des cristaux de Qz et plagioclases. Toujours belles minéralisation Po-Cp-Sp.	3 (Cp, Py, Sp)		

TRO-JB-18-075	509541	5620800	V3B		Basalte aphanitique de couleur verte. Non magnétique, non carbonaté, légères silicifications. Pas de minéralisations.			
TRO-JB-18-076	531921	5637586	V2J		Roche vert de gris, aphanitique, non magnétique, sans carbonates, silicifications modérées. Pas de S0 ni S2. Présence de minéralisations économiques en trace, tr Po-Bo-Cp 2-3%. Volcanite intermédiaire tuffacée.	3Po-Bo-Cp		
TRO-JB-18-077	531670	5637417	V2J		Roche vert de gris, aphanitique, non magnétique, sans carbonates, silicifications modérées. Pas de S0 ni S2. Présence de minéralisations économiques en trace, tr Po-Bo-Cp 2-3%. Volcanite intermédiaire tuffacée. foliation 241/68.			
TRO-JB-18-077-1	531676	5637392	V2J		Même V2J que précédemment, on a un filon couche de gabbro 258;79 et de 60cm d'épaisseur. Ce gabbro contient des pyroxènes millimétriques localement chloritisés dans une matrice aphanitique feldspatique. L'Andésite est à peu près la même que 076, minéralisations exclues et légèrement magnétique.			
TRO-JB-18-078	531577	5637361	V2J		Affleurement en cran et dos de baleine, on retrouve la même volcanite mafique à intermédiaire aphanitique à minéralisations en traces Py, Po. Présence de veinules de carbonates. S2 à 244/58	tr Py-Po		
TRO-JB-18-079	531436	5637332	V2J		Affleurement en dos de baleine 25 x 4m, on retrouve la même andésite, oxydation de surface relativement importante. S2 à 251/69. Pas de minéralisation notable. Pas de carbonates. Magnétisme faible à très faible.			
TRO-JB-18-079-1	531396	5637290	V2J		Andésite typique			
TRO-JB-18-080	531384	5637213	S5/S6		Affleurement de 4 x4 m, roche gris noir, à grains très fins, 5% de Qz roulés, ciment siliceux, Stratification-S2 au 235/79. Oxydation de surface légère à modérée, pas de magnétisme, pas de minéralisations visibles.			
TRO-JB-18-081	531353	5637036	V2J		Même V2J que précédemment, affleurement de 25m2. Magnétisme nul, pas de carbonates.			
TRO-JB-18-081-1	531381	5637015	V2J		Andésite typique			
TRO-JB-18-081-2	531275	5637002	V2J		Andésite typique			

TRO-JB-18-082	531221	5637097		TX		Affleurement de 4m2 décapé et devrait s'étendre sure toute la topo. Roche très hétérogène, gris bleu à vert, stratifiée, aphanitique, et silicifiée. Présence de clastes hétérogènes, possiblement des lapillis mais très étirés. S2 à 242/76. Tuf indéterminé, dureté faible.			
TRO-JB-18-083	531229	5637209		V2J		Affleurement de 35 x 40m2 dos de baleine, andésite similaire aux stations précédentes. S2 à 245/72. Léger magnétisme, pas de carbonates.			
TRO-JB-18-084	538772	5608478		V3B		Affleurement dos de baliene de 10m x 8. Roche noire, gris foncée, aphanitique. Pas de grains visibles. Silicification forte, carbonatation faible, non magnétique. Dureté moyenne à forte. Très probablement un basalte. Aucunes textures volcaniques.			
TRO-JB-18-085	538920	5607976	S649381	S6		Boulder de mudstone-S5, très minéralisé, BM20000. Roche noire très silicifiée à grains très fins, Po et Py-Cp en gros stringers très longs (photo) et ondulants. Boulder de 3m2 et subanguleux donc peu transporté.	40Po-5Py-2Cp		
TRO-JB-18-086	538916	5607991	S649363	S6-S9		Boulder de Sulfures semi-massifs, Po-Cp 2%, même lithologie que précédemment et situé à 20m de lui environ.	2Cp-Po		
TRO-JB-18-087	537154	5605477	S649364	QzV	M16	Veine de Quartz légèrement minéralisée en traces de pyrite, subverticale, au N008. Encaissée dans une M16 à grains fins et foliation ondulante.			
TRO-JB-18-088	537265	5605480	S649478	S6	V3B - I3A	Arneurement important avec 3 types de roches différentes. Au sud, une roche verte volcanique, aphanitique, mafique, non magnétique et non carbonaté. V3B Une roche noire intrusive amphibolitisé noire verdâtre, à grains fins à moyens, foliée au N037/75. Riche en amphiboles, magnétique localement. I3A. Entre ces 2 horizons, un horizon semblant sédimentaire, noire, silicifiée, non carbonatée, et sur 1m50 d'épaisseur environ. Cet horizon est minéralisé à 15-20% Py-Cp. Voir dessin.	20Py-Cp		

TRO-JB-18-088-1	537262	5605480		S6	V3B - I3A	Affleurement important avec 3 types de roches différentes. Au sud, une roche verte volcanique, aphanitique, mafique, non magnétique et non carbonaté. V3B Une roche noire intrusive amphibolitisée noire verdâtre, à grains fins à moyens, foliée au N037/75. Riche en amphiboles, magnétique localement. I3A. Entre ces 2 horizons, un horizon semblant sédimentaire, noire, silicifiée, non carbonatée, et sur 1m50 d'épaisseur environ. Cet horizon est minéralisé à 15-20% Py-Cp. Voir dessin.			
TRO-JB-18-089	537364	5605480	S649382	S9 ?		Blocs sortis par la silloneuse, très anguleux et semblant de même composition que l'horizon sédimentaire précédent, très silicifié, presque chertueux. Sulfure semi massif à massif, avec en majorité Py-Po, mais localement présence de 5% de minéraux économiques Sp-Cp-Bo.	90Po-Py-5Cp-trSp		
TRO-JB-18-090	537395	5605493	S649365	I3A		Affleurement de Gabbro avec 2% minéralisation environ, Présence de Cu ? On est à quelques mètres au Nord de l'horizon S9 minéralisé.	2 Po-Cp-Cu		
TRO-JB-18-090-1	537394	5605493	S649476	I3A		Affleurement de Gabbro avec 2% minéralisation environ, Présence de Cu ? On est à quelques mètres au Nord de l'horizon S9 minéralisé.	2 Po-Cp-Cu		
TRO-JB-18-091	532096	5636613		I3A	V3B	Gabbro à grains moyens très amphibolitisé au contact d'une volcanite mafique variolaire avec vésicules remplies de plagioclases et très silicifiée. Présence de shear band orientés N250/70. Pas de minéralisations, pas de photos ni échantillons.			
TRO-JB-18-092	532098	5636786	W952447	VnQz	I3A	Veine de Quartz de 20-30cm de puissance et plissée encaissée dans un gabbro amphibolitisé à grains fins. Pas de minéralisations significatives visibles, pas de tourmaline, pas de fucshite.			
TRO-JB-18-093	532158	5636808		I3A		Gabbro à grains fins et texture subophitique, carbonatation faible pervasive, minéralisations disséminées Py-Po, très magnétique. Explique l'anomalie magnétique présente sur la carte mag.			

TRO-JB-18-094	532220	5636719	V3B	Affleurement de 15 x 20m, V3B aphanitique, grains fins de plagioclase 5%, non carbonaté, silicifié, vert pâle à vert foncé. Présence de minéralisations en traces fines et disséminées. Présence d'une Shear zone de dimension métrique avec foliation fortement marquée orientée au N268/76 ou la carbonatation pervasive est forte et les minéralisations sont plus importantes avec 2-3% Py et tr Cp. Forte chloritisation également.	2Py - trCp		
TRO-JB-18-094-1	532164	5636718	V3B	Affleurement de 10 x 10m, V3B aphanitique, grains fins de plagioclase 5%, non carbonaté, silicifié, vert pâle à vert foncé. Présence de minéralisations en traces fines et disséminées. Massive, absence de shear et foliation.			
TRO-JB-18-095	532140	5636670	I3A	Affleurement de 15m2, de gabbro à grains fins à moyens, amphibolitisé avec grosses amphiboles 3-6mm oblongues. Légèrement magnétique, pas de minéralisations. Massif.			
TRO-JB-18-096	532092	5636643	V3B	Affleurement de 15 x 10m, V3B aphanitique, grains fins de plagioclase 5%, non carbonaté, silicifié, vert pâle à vert foncé. Présence de minéralisations en traces fines et disséminées. Massive, absence de shear et foliation.			
TRO-JB-18-097	532424	5636045	I3A	I3A aphanitique à fine grained, leucocrate et légèrement silicifié. On voit des veinules de Cb associées à de légères minéralisations de Py en traces. Amphibolitisation modérée. Non magnétique. Généralement massif mais devient aphanitique là où la foliation est exprimée. S2 est orientée N270/70. Roche de couleur verte clair leucocrate. Affleurement de bord de lac d'environ 30 x 5m.			
TRO-JB-18-098	532758	5635526	I3A	Roche verte fine to medium grained, massive et non magnétique, Amphibolitisation faible à modérée. Pas de carbonatation, pas de minéralisations, présence d'une bande de SZ centimétrique orientée au N024/38 dans laquelle on voit des faibles minéralisations en Py disséminée 1% environ. Pas de photos pas de sample.	1Py		

TRO-JB-18-099	532790	5635535	W952442	I3A	Affleurement de 5 x4m, de gabbro, medium to coarse grained, vert foncé et leucocrate, amphiboles 30-40% centimétriques jusqu'à 3cm de longueur. Texture subophitique. 5% de Qz bleus 3mm subautomorphes. Typique d'u Fe-tholeitic gabbro. Photos. Graphitique ??? Non magnétique, carbonatation en veinules modérée.			
TRO-JB-18-100	532811	5635507		I3A	Affleurement de 3x2m, fine grained gabbro avec très important magnétisme localement. Présence de carbonatation forte en veinule et faible pervasive. Légères silicifications. Petite veine de Qz blanche et sèche. Photos. Mag 3500-4000	Mt		
TRO-JB-18-101	532590	5635157		I3A	Affleurement de 5 x 4m, Roche verte foncée, I3A similaire à celui présent au TRO-JB-18-099. Magnétisme nul, medium to coarse grained, amphibolitisé et chloritisé. Faible carbonatation pervasive. Quartz bleus en proportions moindre, 1-2% maximum. Photos, pas de sample, pas de minéralisations.			
TRO-JB-18-102	532134	5636578		V3B	Basalte aphanitique vert clair à foncé, grains très fins de plagioclases, massif, silicifications faibles et carbonatation forte pervasive et en veinules. Textbook. Pas de sample, pas de minéralisations, pas de photos.			
TRO-JB-18-103	531931	5636216		T3C	Tuf mafique à cendres ?? Roche verte très silicifiée. Dureté importante, aphanitique, avec des cristaux très fins de nature et granulométrie très hétérogène. Carbonatation faible à modérée pervasive. Non magnétique, traces Pyrite	tr Py		
TRO-JB-18-104	531893	5636190		V1Tuf	Témoin ramassé, volcanite felsique tuffacée carbonatation pervasive très intense et grande quantité de silice avec grains de quartz arrondis millimétriques. Pas de minéralisation, pas de magnétisme.			
TRO-JB-18-105	530684	5631038	S650174	I4I	Boulder métrique arrondi. Beepmat sonne conducteur et mag en m^me temps, 8000 Hfr et 8000 Magnétique, la roche est verte très foncée, avec présence de reliques d'olivine qui sont serpentinisée. La serpentine est localement fibreuse. Chloritisation modérée. La péridotite est traversée par de fines veinules/veines centimétriques de magnétite massive (Photos).	Mt		



TRO-JB-18-106	530918	5631037	S650175	I4I	Annuellement 80 x 50m environ, le BEEPmat sonne partout en mag et en conducteur. Il s'agit de la même péridotite que sur le boulder trouvé au 18-105. la roche est verte très foncée, avec présence de reliques d'olivine qui sont serpentinisées. Présence également de Pyroxènes. La serpentine est localement fibreuse. Chloritisation modérée. La péridotite est traversée par de fines veinules/veines centimétriques de magnétite massive. Minéralisations en pentlandite disséminée (2%) et Po (2%). Possibilité de minéralisations en EGP.	2Pl, 2Po, Mt		
TRO-JB-18-106-1	530918	5631037	S650176	I4I	Annuellement 80 x 50m environ, le BEEPmat sonne partout en mag et en conducteur. Il s'agit de la même péridotite que sur le boulder trouvé au 18-105. la roche est verte très foncée, avec présence de reliques d'olivine qui sont serpentinisées. Présence également de Pyroxènes. La serpentine est localement fibreuse. Chloritisation modérée. La péridotite est traversée par de fines veinules/veines centimétriques de magnétite massive. Minéralisations en pentlandite disséminée (2%) et Po (2%). Possibilité de minéralisations en EGP.	2Pl, 2Po, Mt		
TRO-JB-18-106-2	530918	5631037	S650177	I4I	Annuellement 80 x 50m environ, le BEEPmat sonne partout en mag et en conducteur. Il s'agit de la même péridotite que sur le boulder trouvé au 18-105. la roche est verte très foncée, avec présence de reliques d'olivine qui sont serpentinisées. Présence également de Pyroxènes. La serpentine est localement fibreuse. Chloritisation modérée. La péridotite est traversée par de fines veinules/veines centimétriques de magnétite massive. Minéralisations en pentlandite disséminée (2%) et Po (2%). Possibilité de minéralisations en EGP.	2Pl, 2Po, Mt		

TRO-JB-18-107	531022	5631003		I4I	Le Beepmat sonne partout en mag et en conducteur. Il s'agit de la même péridotite que sur le boulder trouvé au 18-105. la roche est verte très foncée, avec présence de reliques d'olivine qui sont serpentinisée. Présence également de Pyroxènes. La serpentine est localement fibreuse. Chloritisation modérée. La péridotite est traversée par de fines veinules/veines centimétriques de magnétite massive. Minéralisations en pentlandite disséminée (2%) et Po (2%). Possibilité de minéralisations en EGP. affleurement sur tout le butonet celui plus au sud. Dimension de l'affleurement plurihectométrique.	2Pl, 2Po, Mt		
TRO-JB-18-108	531016	5630963		I4I	Le Beepmat sonne partout en mag et en conducteur. Il s'agit de la même péridotite que sur le boulder trouvé au 18-105. la roche est verte très foncée, avec présence de reliques d'olivine qui sont serpentinisée. Présence également de Pyroxènes. La serpentine est localement fibreuse. Chloritisation modérée. La péridotite est traversée par de fines veinules/veines centimétriques de magnétite massive. Minéralisations en pentlandite disséminée (2%) et Po (2%). Possibilité de minéralisations en EGP. affleurement sur tout le buton et celui plus au sud. Dimension de l'affleurement plurihectométrique.	2Pl, 2Po, Mt		
TRO-JB-18-109	530725	5630868	S650178	I4I	Affleurement de très mauvaise qualité, multiblocs mais sub en place. I4I, similaire aux affleurements 18-106 à 18-108, riche en veinules de magnétite et minéralisé avec Pe Po. Les veines-veinules de magnétite n'ont pas d'orientation préférentielle. Olivine a plus de 60% avec serpentinisations et possiblement du talc. Minéralisations faibles.	1Pl, 2Po, Mt		
TRO-JB-18-110	530733	5630912	S650179	I4I	Affleurement pluridecamétrique (75 x 25m) de péridotite encore très magnétique et conducteur (8000mag et 2000 Hfr). Même composition que 18-106 à 18-109, à savoir Olivine, pyroxènes, serpentine, chlorite et talc, traversé par un réseau de veines veinules centimétriques de magnétite, mais ici également en placages. Présence de sulfures disséminés de 2-3%. Croûte d'altération rosée.	1Pl, 2Po, Mt		

TRO-JB-18-111	530657	5630897		I3N	<p>Affleurement de 3 x 2m environ, Roche leucocrate avec 50% de cristaux de plagioclases en matrice, avec 20% de Pyroxènes et 20% d'olivines, Il s'agit probablement d'un troctolite suggéré par la proximité du gros intrusif de périclase au voisinage direct de cet affleurement. Equigranulaire avec grains de 1-2mm, pas de carbonates, pas de magnétisme. Pas d'altération particulière excepté la chlorite verte du métamorphisme régional. On passe le contact avec les péridotites sur une zone de swamp très plate et probablement peu épaisse car très arborée.</p>			
TRO-JB-18-112	530538	5631011		I3K	<p>Affleurement de 10 x 4m, assemblage equigranulaire de 1-2mm de plagioclases et pyroxènes avec moindrement 2-5% d'olivines. Le contact entre ces gabbros et troctolites présente au 18-111 est à explorer car c'est typiquement dans ces environnements qu'on trouve des minéralisations en reef. Malheureusement la roche est massive et aucune structure n'est identifiable. Pas de carbonates, pas de minéralisations, pas de magnétisme. Pas de sample, pas de photos.</p>			

TRO-JB-18-113	532157	5636711	S650067	QzV	V3B	<p>Veine de Quartz très minéralisée avec Py-Cp, similaire au showing Cu-Co au voisinage de cette veine. Encaissée dans un basalte vert clair à grains fins et varioles millimétriques de plagioclases. Cette veine se trouve au contact d'un basalte et d'un gabbro amphibolitisé à grains moyens. Elle est ramifiée en 3 à 4 veines de 10 à 40 cm de puissance, encore une fois montre de très belles minéralisations, et est orientée subverticalement au N060. Pas d'échantillon malheureusement car on n'avait pas de matériel, on était simplement partis ramener la chaloupe et nous avons décidé de repasser dans la zone au dernier moment, il serait important de revenir échantillonner cette veine. De retour, plusieurs mesures de directions et échantillonnages. La veine se trouve être très démembrées mais avec un trend moyen au N060. On imagine qu'il y a une grosse injection de Quartz minéralisé entre cette veine et le showing cu-co voisin qui est à peu près au N060 de celle ci. L'anomalie EM sous l'eau entre les 2 îles doit très probablement être due à cette injection de Quartz minéralisé. La veine est démembrée et ramifiée, et se situe dans un basalte entouré de gabbros. On peut supposer une mise en place de cette veine au contact du basalte et du gabbro, ou une zone de fracturation. Très belles minéralisations jusqu'à 15% Cp localement, avec sphalérite et oxydation de la Cp en malachite, signe de forte teneur en Cu.</p> <p>N052-65 N060-68 N062-50 N082-70</p>	15Cp - Py - Sp - Malachite.		
---------------	--------	---------	---------	-----	-----	--	-----------------------------------	--	--

TRO-JB-18-113-1	532157	5636711	S650068	QzV	V3B	<p>Veine de Quartz très minéralisée avec Py-Cp, similaire au showing Cu-Co au voisinage de cette veine. Encaissée dans un basalte vert clair à grains fins et varioles millimétriques de plagioclases. Cette veine se trouve au contact d'un basalte et d'un gabbro amphibolitisé à grains moyens. Elle est ramifiée en 3 à 4 veines de 10 à 40 cm de puissance, encore une fois montre de très belles minéralisations, et est orientée subverticalement au N060. Pas d'échantillon malheureusement car on n'avait pas de matériel, on était simplement partis ramener la chaloupe et nous avons décidé de repasser dans la zone au dernier moment, il serait important de revenir échantillonner cette veine. De retour, plusieurs mesures de directions et échantillonnages. La veine se trouve être très démembrées mais avec un trend moyen au N060. On imagine qu'il y a une grosse injection de Quartz minéralisé entre cette veine et le showing cu-co voisin qui est à peu près au N060 de celle ci. L'anomalie EM sous l'eau entre les 2 îles doit très probablement être due à cette injection de Quartz minéralisé. La veine est démembrée et ramifiée, et se situe dans un basalte entouré de gabbros. On peut supposer une mise en place de cette veine au contact du basalte et du gabbro, ou une zone de fracturation. Très belles minéralisations jusqu'à 15% Cp localement, avec sphalérite et oxydation de la Cp en malachite, signe de forte teneur en Cu.</p> <p>N052-65 N060-68 N062-50 N082-70</p>	15Cp - Py - Sp - Malachite.		
-----------------	--------	---------	---------	-----	-----	--	-----------------------------------	--	--

TRO-JB-18-113-2	532157	5636711	S650069	QzV	V3B	<p>Veine de Quartz très minéralisée avec Py-Cp, similaire au showing Cu-Co au voisinage de cette veine. Encaissée dans un basalte vert clair à grains fins et varioles millimétriques de plagioclases. Cette veine se trouve au contact d'un basalte et d'un gabbro amphibolitisé à grains moyens. Elle est ramifiée en 3 à 4 veines de 10 à 40 cm de puissance, encore une fois montre de très belles minéralisations, et est orientée subverticalement au N060. Pas d'échantillon malheureusement car on n'avait pas de matériel, on était simplement partis ramener la chaloupe et nous avons décidé de repasser dans la zone au dernier moment, il serait important de revenir échantillonner cette veine. De retour, plusieurs mesures de directions et échantillonnages. La veine se trouve être très démembrées mais avec un trend moyen au N060. On imagine qu'il y a une grosse injection de Quartz minéralisé entre cette veine et le showing cu-co voisin qui est à peu près au N060 de celle ci. L'anomalie EM sous l'eau entre les 2 îles doit très probablement être due à cette injection de Quartz minéralisé. La veine est démembrée et ramifiée, et se situe dans un basalte entouré de gabbros. On peut supposer une mise en place de cette veine au contact du basalte et du gabbro, ou une zone de fracturation. Très belles minéralisations jusqu'à 15% Cp localement, avec sphalérite et oxydation de la Cp en malachite, signe de forte teneur en Cu.</p> <p>N052-65 N060-68 N062-50 N082-70</p>	15Cp - Py - Sp - Malachite.		
-----------------	--------	---------	---------	-----	-----	--	-----------------------------------	--	--

TRO-JB-18-113-3	532157	5636711	S650070	QzV	V3B	<p>Veine de Quartz très minéralisée avec Py-Cp, similaire au showing Cu-Co au voisinage de cette veine. Encaissée dans un basalte vert clair à grains fins et varioles millimétriques de plagioclases. Cette veine se trouve au contact d'un basalte et d'un gabbro amphibolitisé à grains moyens. Elle est ramifiée en 3 à 4 veines de 10 à 40 cm de puissance, encore une fois montre de très belles minéralisations, et est orientée subverticalement au N060. Pas d'échantillon malheureusement car on n'avait pas de matériel, on était simplement partis ramener la chaloupe et nous avons décidé de repasser dans la zone au dernier moment, il serait important de revenir échantillonner cette veine. De retour, plusieurs mesures de directions et échantillonnages. La veine se trouve être très démembrées mais avec un trend moyen au N060. On imagine qu'il y a une grosse injection de Quartz minéralisé entre cette veine et le showing cu-co voisin qui est à peu près au N060 de celle ci. L'anomalie EM sous l'eau entre les 2 îles doit très probablement être due à cette injection de Quartz minéralisé. La veine est démembrée et ramifiée, et se situe dans un basalte entouré de gabbros. On peut supposer une mise en place de cette veine au contact du basalte et du gabbro, ou une zone de fracturation. Très belles minéralisations jusqu'à 15% Cp localement, avec sphalérite et oxydation de la Cp en malachite, signe de forte teneur en Cu.</p> <p>N052-65 N060-68 N062-50 N082-70</p>	15Cp - Py - Sp - Malachite.		
-----------------	--------	---------	---------	-----	-----	--	-----------------------------------	--	--



TRO-JB-18-113-4	532157	5636711	S650071	QzV	V3B	<p>Veine de Quartz très minéralisée avec Py-Cp, similaire au showing Cu-Co au voisinage de cette veine. Encaissée dans un basalte vert clair à grains fins et varioles millimétriques de plagioclases. Cette veine se trouve au contact d'un basalte et d'un gabbro amphibolitisé à grains moyens. Elle est ramifiée en 3 à 4 veines de 10 à 40 cm de puissance, encore une fois montre de très belles minéralisations, et est orientée subverticalement au N060. Pas d'échantillon malheureusement car on n'avait pas de matériel, on était simplement partis ramener la chaloupe et nous avons décidé de repasser dans la zone au dernier moment, il serait important de revenir échantillonner cette veine. De retour, plusieurs mesures de directions et échantillonnages. La veine se trouve être très démembrées mais avec un trend moyen au N060. On imagine qu'il y a une grosse injection de Quartz minéralisé entre cette veine et le showing cu-co voisin qui est à peu près au N060 de celle ci. L'anomalie EM sous l'eau entre les 2 îles doit très probablement être due à cette injection de Quartz minéralisé. La veine est démembrée et ramifiée, et se situe dans un basalte entouré de gabbros. On peut supposer une mise en place de cette veine au contact du basalte et du gabbro, ou une zone de fracturation. Très belles minéralisations jusqu'à 15% Cp localement, avec sphalérite et oxydation de la Cp en malachite, signe de forte teneur en Cu.</p> <p>N052-65 N060-68 N062-50 N082-70</p>	15Cp - Py - Sp - Malachite.		
TRO-JB-18-114	522745	5604160		V3B		<p>Roche verte aphanitique, foliée 4, lits millimétriques discriminés leuco et mélanocrates, plagioclases et min. raux mafique respectivement. Dureté et silicifications modérées, carbonatation modérée et forte sur les lits leucocrates. S2 N280-82</p>			

TRO-JB-18-115	522505	5604211	T3C	VnQz, SSM, T1X	<p>terrain, bien décapé, environ 1.5 x 1.5m, montrant 3 lithologies différentes montrant toutes des minéralisations hétérogènes mais intéressantes ; La majorité de l'affleurement consiste en un tuf felsique pouvant être confondu à un mudstone en raison de l'absence de grains et de sa couleur noire, ainsi que de la stratification régulière en lits de 5-10mm au N300-85. La roche est noire, fortement laminée foliation 5, avec minéralisations en stringers millimétriques de Py-Po-Cp-Bo situés dans les plans de foliation. Faible magnétisme, devient fort sur les stringers. Présence possible de lapillis, mais ils sont très étirés et sont difficile à identifier. Il s'agit au plus probable d'un assemblage volcano-sédimentaire mafique et tufacé.</p> <p>Au contact de ces tufs on voit une veine de Quartz très minéralisée en Py-Po et Cp-Sp, très magnétique et avec de la chlorite noire également.</p> <p>sous cette veine de Quartz, une roche très silicifiée, quasi chertreuse, identifiée comme un tuf felsique à cristaux et à cendres, montre des minéralisations disséminées en Py-Po et Cp. On observe 30% de grains de Quartz et des fortes silicifications. Présence de carbonates pervasifs. Pas de magnétisme hormis évidemment sur la Po. Roche très dure et minéralisée.</p>	Cp - Py - Bo - Po		
TRO-JB-18-116	522659	5604264	S3-S6	V3B	<p>Roche laminée à protolithe sédimentaire, probablement un mudstone ou greywacke à grains fins, avec 30% de grains de Quartz roulés, 10% de sulfures Py-Po, magnétite la ou il y a présence de Po. Pas de carbonatation.</p> <p>Greywacke avec minéralisations en stringers dans la S0-S2 orientée à N272/84. Au contact d'un basalte vert clair laminé ou bien un gabbro à grains très fins semblable à celui vu au 18-114, avec des lits leucocrates très silicifiés.</p>	10 (Py-Po)		

TRO-JB-18-117	522665	5604369	S650189	S3	T1XC	Anneurement de bord de lac de 8 x 2m environ, exhibant 2 lithologies différentes ; Une roche noire métallique molle avec sulfures en placages et majoritairement en stringers de Py-Po et Cp. Présence de graphite. Argilite ou mudstone graphiteux. Au contact d'une lave ou tuf felsique, montrant lui aussi de belles minéralisations en Py-Cp environ 10-15% associées à des veinules de Quartz de 1-3mm sans directions préférentielle. Minéralisations encore en stringers et plus rarement disséminées. Ce tuf est possiblement le même que celui présent au rainurage 18-115.	12 (Py-Po-Cp)		
TRO-JB-18-118	522641	5604353		V3B		Anneurement de 4 x 4m environ. Roche de couleur hétérogène, grise, noire, rouge ou verte localement. Laminations et lits millimétriques de couleur différentes. Légères silicifications et séricitisation avec minéralisations en Py-Po et présence de Sp importante. L'odeur d'œuf pourri dégagé est telle qu'elle pique le nez et on voit également des traces d'oxydation blanche typique de la sphalérite. Les minéralisations se trouvent en stringers dans la S0-S2, orientée à N231/34. La foliation semble dessiner un pli antiforme synclinal.	Po-Cp-Sp		
TRO-JB-18-119	522454	5604488	S650190	S3		Roche noire, sans grains, litage à N320/80 avec stringers Py-Po-Mt-Sp, près de 20% de minéralisations, la roche montre des lits fins de 5-8mm d'épais de mudstone, interdigités avec des lits légèrement plus épais (8-15mm) Quartzo-feldspathiques.	20 (Py-Po-Mt-Sp)		
TRO-JB-18-119-1	522454	5604488		S3		Roche noire, sans grains, litage à N320/80 avec stringers Py-Po-Mt-Sp, près de 20% de minéralisations, la roche montre des lits fins de 5-8mm d'épais de mudstone, interdigités avec des lits légèrement plus épais (8-15mm) Quartzo-feldspathiques.	20 (Py-Po-Mt-Sp)		
TRO-JB-18-120	522160	5604375		V3B		Roche verte laminée, lits localement rouge bordeaux, avec silicifications fortes et minéralisations faibles très locales (présence de Sphalérite ou de galène ?), présence de veinules de calcite. S0-S2 orientée à N278/85. Aphanitique to fine grained.	Po-tr Sp		

TRO-JB-18-121	522184	5604369	S650191	V3B	S6	<p>Roche verte laminee, lits localement rouge bordeaux, avec silicifications fortes et minéralisations faibles très locales (présence de Sphalérite ou de galène ?), présence de veinules de calcite. S0-S2 orientée à N278/85. Aphanitique to fine grained.</p> <p>Au contact orienté N108-61, d'un S6 graphiteux, similaire à ce qui a été observé à l'affleurement 18-119 avec traces de Pyrite disséminée.</p>	tr Py		
TRO-JB-18-122	522219	5604325		V3B		<p>Roche verte laminee, lits localement rouge bordeaux, avec silicifications fortes et minéralisations faibles très locales (présence de Sphalérite ou de galène ?), présence de veinules de calcite. S0-S2 orientée à N278/85. Aphanitique to fine grained.</p>	Po-tr Sp		
TRO-JB-18-123	522931	5604975		V1		<p>Affleurement de bord de lac de 30 x 10m, Roche blanche à reflets verdâtres, montrant une légère foliation 2 exprimée par l'alignement de grains aciculaires non identifiés sur un même plan. 65-70% de Silice avec des yeux de Quartz. Pas de minéralisations, pas de structures mesurables, pas de photos, pas d'échantillonnage.</p>			
TRO-JB-18-124	519046	5604479	S650053	V3B/M16	S3-S6	<p>Affleurement de 15 x 50m, steep, au bord d'un lac sur un cran de environ 30m de haut. Assemblage volcano-sédimentaire localement rouillé avec veines de Quartz localement et un niveau de tuf felsique de 50-60cm de puissance inséré dans la S2. La roche est très laminee avec souvent une discrimination mélando et leucocrate en lits de 2-10mm d'épaisseur environ. Amphibolitisation modérée à forte. On voit un V3B/M16 interdigité avec des S3/S6. Pas de carbonatation, magnétisme faible. Minéralisation en général fines et disséminées à environ 2-5% Po +- Cp. Localement on a des horizons très rouillés dans le V3B-M16 avec 20-25% Po et 2% Cp environ. S2 ondulante autour de N280/62 et N244-70</p>	Po - Cp		

TRO-JB-18-125	518983	5604563	V3B	Affleurement de 35m x 10m environ au bord de la route, roche verte à noire et blanche, laminée et localement oxydée par lits. S2 très pénétrative orientée à N240/79. Il semble qu'on ne voit plus d'intervalles sédimentaires, mais seulement du basalte très silicifié et amphibolitisé. Pas de carbonates, faible magnétisme très local (Po ?). Pas vraiment de minéralisations visibles.			
TRO-JB-18-126	518952	5604601	V3B	Rocne verte a noire et blanche, laminee et localement oxydée par lits. S2 très pénétrative orientée à N064/68. Il semble qu'on ne voit plus d'intervalles sédimentaires, mais seulement du basalte très silicifié et amphibolitisé. Pas de carbonates, faible magnétisme très local (Po ?). Pas vraiment de minéralisations visibles. Présence de Quartz boudiné dans certains plans de foliation. Ces veines de Quartz sont blanches opaques et semblent sèches. Pas de sample.	trPo		
TRO-JB-18-127	518305	5604476	V3B	Affleurement de 100m x 40m, de V3B lamine avec foliation orientée au N081/58. Légère amphibolitisation de grains fins 2mm maximum, 1% de veines de Quartz de 1 à 15cm de puissance, légèrement fumées localement mais qui paraissent encore une fois non minéralisées. Minéralisations sont absentes même si on voit de l'oxydation de surface par patchs très localement. Pas de magnétisme ni carbonatation. Pas de sample, ni photos.			
TRO-JB-18-128	518175	5604416	V3B	Affleurement de 15 x 10m, probablement la continuité de 18-127, à savoir un basalte aphanitique à grains fins avec silicifications modérées et légère amphibolitisation. On retrouve une veine de Quartz de 15-20cm de puissance subparallèle à la foliation et légèrement ondulante. S2 est orientée à N066/52. Pas de minéralisations significatives, pas de carbonatations, pas de sample, ni photos.			

TRO-JB-18-129	518121	5604383		V3B	I1	Continuité de l'affleurement 18-128, lithologie similaire, à savoir un basalte aphanitique à grains fins et laminé. La foliation est cependant ici moins marquée, fo3 ici environ. L'affleurement mesure environ 8m x 8m, et est en forme de dos d'éléphant. La foliation est orientée au N067/72. Présence d'un dyke felsique de 25cm de puissance qui recoupe la foliation selon N172-85. Pas de minéralisations significatives, pas d'oxydation de surface, pas de carbonatation.			
TRO-JB-18-130	518051	5604355	S650054	V3B		Continuité de la même lithologie que 18-129, à savoir un V3B à grains fins, silicifié et amphibolitisé avec laminations. Fo3 au N082/73. Affleurement de 8m x 6m en dos d'éléphant. Pas de minéralisations, léger magnétisme et pas de carbonates. La foliation est ondulante à l'échelle de l'affleurement, on la mesure également à N068-70.			
TRO-JB-18-131	517896	5604325		V3B		Continuité de l'affleurement 18-130, à savoir toujours un basalte amphibolite à grains moyens, amphiboles 3-5mm, et laminé avec une fo3 orientée au N082/75. Toujours pas de carbonates, léger magnétisme, Minéralisations locales en Py-Cp finement disséminées, 5-10% associées également à de la Bo et Sp, 1% au maximum.	8(Py-Cp) 1(Bo-Sp)		
TRO-JB-18-132	517831	5604294		V3B		Affleurement de 3 x 3m, en dos d'éléphant, continuité encore du V3B visible dans toute la zone, à grains fins et ici seulement légèrement amphibolitisé, laminé par une fo3 pénétrative orientée au N052/62. Très léger magnétisme, minéralisations en traces très fines et disséminées.	tr Po		
TRO-JB-18-133	517750	5604228	S650055	V3B		Affleurement de 10 x 5m, plat, continuité encore du basalte, ici à grains fins, silicifié plus ou moins, avec une amphibolitisation modérée à forte. Laminations et foliation 3-4, on observe localement une ségrégation en lits centimétriques blancs, plus silicifiés, et noirs, plus amphibolitisés. Minéralisations très fines en stringers et-ou disséminées en Py-Po et Cp-Bo. Localement 1-2% de sulfures. Foliation orientée à N070/84.	2(Py-Po-Cp-Bo)		

TRO-JB-18-134	517650	5604068		V3B	Affleurement de 12 x 8m en dos d'éléphant sur le top d'un buton. Encore le même basalte qu'on retrouve depuis 8 affleurements, à savoir un V3B-M16, les amphiboles sont de grains moyens, et le protolite basaltiques est à grains très fins voire aphanitique. A l'échelle de l'affleurement on a des lits plus ou moins silicifiés et d'autres plus ou moins amphibolitisés. Pas de minéralisations, Pas d'oxydation de surface. Pas de carbonates. Pas de magnétisme. Pas de photos. Pas de sample. Foliation au N060/70				
TRO-JB-18-135	509133	5627707		I2J	Champ glaciaire de blocs felsiques submétriques. (kettle ?). Les blocs semblent tous de nature similaire, soit une diorite 30%Qz 30%Bt 30% Fp. La biotite est alignée dans la foliation. Les blocs sont petits, subarrondis mais de même nature ce qui suggère un transport limité. Pas de minéralisations.				
TRO-JB-18-136	509551	5627506		I2J	I1B	Affleurement de 10 x 3m, hors grid mais c'est le seul dans la zone. Roche blanche en surface d'altération, pas de textures de surface, roche verte en cassure fraîche, intrusive intermédiaire, à grains fins. Biotite en lits foliation 2 centimétriques à N036/82. Présence de 2 intrusions granitiques dans la foliation. intrusions de 5 à 10cm de puissance, localement boudinées.			
TRO-JB-18-137	509475	5627473		I2J	I1B	Gros affleurement de 60 x 3m, Roche verte, intrusive intermédiaire, laminée, gneissique, avec lits à Bt-Gt-Qz, et lits blancs dioritiques. Traces de sulfures, Py-Po. Présence d'une intrusion granitique de 30cm de puissance dans la foliation. Faible épidotisation. Biotite et grenat importants. Pas de magnétisme, pas de carbonates. Orientation au N040/80.			
TRO-JB-18-139	538029	5622583		V3B		Affleurement de 12 x 2m, cap rocheux à décaper. Roche verte aphanitique, variolaires, à varioles de Fp submillimétriques (moins de 10%) donc de composition plutôt mafique. Pas de textures de surface. Pas de minéralisations, pas de magnétisme, pas de carbonates.			
TRO-JB-18-140	538079	5622624		V3B		Affleurement de 2m x 1.5m, de roche verte aphanitique à grains très fins de plagioclases (20%). Volcanite mafique avec fines traces de Py disséminées. Massif, pas de magnétisme, pas de carbonates.	trPy		



TRO-JB-18-141	538166	5622781		I3A		Affleurement de 3 x 2 m. Roche verte, very fine grained, intrusif mafique, avec pyroxènes amphibolitisés dans une matrice de plagioclases. Pyrite en traces. Pas de magnétisme, massif, aucunes textures de surface.	trPy		
TRO-JB-18-142	538200	5622708	S650064	V3B		Affleurement de 4 x 2m, sonne au beepmat 3000Hfr. Basalte vert aphanitique à grains très fins de plagioclases. Foliation bien marquée, minéralisations en stringers 20% Py-Po. Orienté au N124/84. Zone rouillée de 20-30cm de puissance dans un shear zone. Magnétisme faible. Pas de carbonates.	20Py-Po		
TRO-JB-18-143	510986	5618831		I3A		Affleurement sur le top d'une montagne, une centaine de mètres carrés en plusieurs fenêtres. Roche noire, massive, à grains fins à moyens, les pyroxènes sont frais, pas amphibolitisés, et la chloritisation est très faible. Présence d'une shear zone orientée N090 de 5-10cm de puissance. Pas de minéralisations, pas de magnétisme, pas de carbonates.			
TRO-JB-18-144	510214	5618082	S650065	I4I		Affleurement de 8 x 2m environ, en dos d'elephant, intrusif ultramafique à grains fins à moyens, présence d'olivine très légèrement serpentinisée et de Pyroxènes légèrement amphibolitisés. Magnétisme très fort, présence de magnétite 3-5%. Traces à 2% de Po-Py disséminée finement. Croûte d'altération ocre à rougeâtre. BM4000 Mag environ. Pas de carbonates	5Mt, 2% Po-Py		
TRO-JB-18-145	509943	5618080		V3B		Affleurement déjà travaillé : Flag K499768-2013-MN. Roche blanche à brunâtre, très silicifiée, grains de Quartz et placage de biotite en altération. Pas de minéralisations visibles mais forte présence d'oxydation et présence d'un shear zone de 20cm de puissance environ orienté au N280/80. Pas de magnétisme ni carbonates. Foliation et laminations au N280 également.	trPy		
TRO-JB-18-146	509793	5618149		T3L		Affleurement de 6 x 2m, petit cran de 2m, roche laminée verte, aspect tuffacé avec lapillis centimétriques étirés. Composition mafique, altéré, silicifié. Aphanitiques et à grains fins roulés. Non magnétique, pas de carbonates. Pas de minéralisation. S2 N286/86.			

TRO-JB-18-148	509327	5618329		V3B		Affleurement bas de cran à décaper sous des troncs. Roche noireâtre, verte, aphanitique, légère carbonatation en veinules, pas de magnétisme, massif, pas de minéralisations.			
TRO-JB-18-150	536507	5647605		V3B		Roche volcanique, mafique à intermédiaire, laminée, hétérogénéité de couleur, vert, rougeâtre, blanchâtre. Très silicifié et amphibolitisé dans les lits verts. Tuffacé. Présence de sulfures, py en traces disséminées. S2 à N258/80. Lits centimétriques foliation marquée. Pas de magnétisme, pas de carbonates.	trPy		
TRO-JB-18-151	536568	5647602	S650060	V3B		Affleurement décapé de 3 x 2m de V3B lamine-rubane, similaire à 18-150. Sonne à 1500Hfr sur un spot et à 1200Hfr à 25 de là. Dans les 2 cas, on trouve des shear bands de 20-40cm de puissance fortement oxydés. Après décapage le premier spot indique 5000Hfr à l'endroit échantillonné. Présence de stringers 10-15%Po-Py et disséminées, magnétisme modéré, pas de carbonates. Foliation orientée N242/80. légèrement ondulante.	10-15Po-Py		
TRO-JB-18-152	536568	5647602	S650061	V3B		Affleurement décapé de 3 x 2m de V3B lamine-rubane, similaire à 18-150. Sonne à 1500Hfr sur un spot et à 1200Hfr à 25 de là. Dans les 2 cas, on trouve des shear bands de 20-40cm de puissance fortement oxydés. Après décapage le premier spot indique 5000Hfr à l'endroit échantillonné. Présence de stringers 10-15%Po-Py et disséminées, magnétisme modéré, pas de carbonates. Foliation orientée N242/80. légèrement ondulante.	10-15Po-Py		
TRO-JB-18-153	536588	5647586		V3B	I3A	Zone de contact entre un gabbro fine grained amphibolitisé non mag non minéralisé, et un basalte à foliation modérément marquée, et parallèle au contact, N244/80.			
TRO-JB-18-154	536624	5647597		I3A		Roche verte clair, vert foncé, aphanitique à fine grained, avec amphibolitisation, 20-30% amphiboles de 2-3mm. Pas de minéralisations visibles. Silicifications modérées. Lits submillimétriques quartzo-feldspathiques et lits mafiques mélanocrates et en feuillets. Traces Po. Pas de carbonates. Pas de magnétisme.	trPo		

TRO-JB-18-155	536617	5647546		I3A	Roche verte aphanitique à fine grained légère amphibolitisation, laminé foliation 3, au N214-28. Silicification forte, présence d'yeux de Quartz, I3E ? Pas de magnétisme, pas de BM, pas de carbonates, pas de sample.			
TRO-JB-18-156	536644	5647512	S650062	I3A	Gabbro à grains fins, amphibolitisé, laminé, vert. BM répond à 900Hfr sur des laminations oxydées avec minéralisations en Py-Cp en fins stringers, 3-5%. Shear orienté N247-66	3-5 Py-trCp		
TRO-JB-18-157	536633	5647442		I3A	Affleurement de 4 x 2m, I3A amphibolitisé, vert, à grains fins, et amphiboles de 4-6mm de long. Foliation minérale et discrimination leuco-mélanocrates. Pas de carbonates. Silicifications locales fortes, pas de magnétisme, pas de minéralisations. N250-55			
TRO-JB-18-158	536696	5647371		V3B	Affleurement de 2 x 2m, V3B aphanitique vert, aucuns grains, pas de carbonates, pas de magnétisme, pas de minéralisations. Laminé en textures de surface. N242-72			
TRO-JB-18-159	536814	5647304	S650063	V3B	Basalte aphanitique vert massif mais avec légère foliation minérales et faibles minéralisations en stringers Po très magnétiques. 2-3% Sf. Affleurement caché sous de la mousse, 5 x 2m, fenêtre de 1 x 1m.			
TRO-JB-18-160	536773	5647199		V1B	Affleurement de 2 x 3m en bas de la swamp de l'autre coté de la vallée courte. Roche blanche, silicifiée et siliceuse, probablement une rhyolite V1B ou une volcanite cherteuse. Roche aphanitique, avec traces de pyrite, pas de magnétisme, pas de carbonatations, et quelques veines-veinules de Qz jusqu'à 1cm de puissance.			
TRO-JB-18-161	536693	5647265		V3B	Affleurement de 3 x 2m, en relief, de V3B vert aphanitique, légèrement silicifié, faiblement à modérément magnétique, du probablement à la présence de très fins stringers de Po, densité 3-5%. Les seuls grains visibles. Traversé par une veine de Quartz au N080-70 de 20cm de puissance.	1Po		
TRO-JB-18-162	536573	5647371		V3B	Affleurement de roche verte volcanique mafique, légères silicifications, massif mais très légère S2 peu marquée en altération de surface. Pas de carbonates, Pas de magnétisme. Traces de Po fine et disséminée. Pas de sample.	trPo		

TRO-JB-18-163	536512	5647490		I3A	Affleurement de 3 x 3m, laminé. Roche verte grise, intrusif à grains très fins, silicifications modérées, 1%-traces Po-Cp, oxydation de surface modérée, carbonatation pervasive faible. Magnétisme moyen.	1Po-trCp		
TRO-JB-18-164	540563	5609850		I4I	Boulder de 2-3m <sup>3</sup> environ, sonne très magnétique, ainsi que 2 blocs similaires environnants. Croute d'altération très rougeâtre, olivines serpentinisées et 60% Px. Altération en trémolite. Pas de textures. Fine grained. Très magnétique. Pas de carbonatations.			
TRO-JB-18-165	540167	5609906		I3A	Affleurement de 4m x 1m, sub affleurant possiblement au mieux, Pas de réponses au BM, intrusif mafique, à grains fins, non magnétique, pas de Carbonates, massif, pas de minéralisations.			
TRO-JB-18-166	539957	5609791		V3B	Affleurement, roche volcanique vert gris, aphanitique à grains fins, légères silicifications et Quartz-eyes. Laminée. Forte carbonatation pervasive et en veinules, Présence de faibles minéralisations en traces Po-Py (très faible magnétisme). Pas d'oxydation de surface. N264-80	trPo-Py		
TRO-JB-18-167	540112	5609609		I3A	Affleurement bloqueux, mais en place, roche noirâtre, verdâtre, avec une foliation minérale mélano-leucocrate, et à grains moyens. Pas de carbonates, pas de magnétisme, pas de minéralisations. Seule particularité est le rubanement. S2 au N084/80			
TRO-JB-18-171	538669	5605979		I3A	Affleurement difficile à trouver sur le top d'une montagne, le top affleure plutôt bien mais le flanc ouest est un champ de blocs, qui mène à une swamp. Fenêtre de 1 x 2m, roche verte foncée, Intrusive mafique, à grains moyens. Légère amphibolitisation, léger magnétisme et légères minéralisations, 2% environ de Py-Po disséminées 1-2mm environ. Cp traces. Massif. Pas de carbonates.	2Py-Po, trCp		
TRO-JB-18-172	538752	5606010		S6	Affleurement déjà decapé par Marc et Nathalie en 2013. 3 x 5m, échantillon historique R016960. Mudstone noir sans grains, graphiteux, avec 5-10% de Po-Py +- Cp, en stringers et disséminations en traces. Forte oxydation de surface générale. Fort magnétisme. Shear zones et foliations dans le S3. Au contact avec des horizons de 20-30cm d'épaisseur d'un autre sédiment très quartzique, arkose ? Altération ? N240-80	5-10Po-Py, trCp		

TRO-JB-18-172-1	538752	5606010	S6	S2 ?	Affleurement déjà décapé par Marc et Nathalie en 2013. 3 x 5m, échantillon historique R016960. Mudstone noir sans grains, graphiteux, avec 5-10% de Po-Py +- Cp, en stringers et disséminations en traces. Forte oxydation de surface générale. Fort magnétisme. Shear zones et foliations dans le S3. Au contact avec des horizons de 20-30cm d'épaisseur d'un autre sédiment très quartzique, arkose ? Altération ? N240-80	5-10Po-Py, trCp		
TRO-JB-18-173	538681	5605912	S6		Affleurement encore sur le top de la montagne, 2m x 1, dos d'éléphant décapé. BM6000 (2013). S6, Mudstone noir, sans grains et graphitique, avec 2-3% Po en stringers. Magnétisme modéré. S2 au N240/80. Forte oxydation de surface et présence d'oxydation blanche Zn. Carbonatation faible pervasive.	2-3Po-Py		
TRO-JB-18-174	538639	5605872	S6		Affleurement de 10 x 8m, non décapé, forte oxydation de surface, S6 sans grains, graphiteux, cisailé et minéralisé. Léger magnétisme, 1-2% Po-Py. S2 au N245/80. Revenir avec un BM ?	1-2Po-Py		
TRO-JB-18-175	538614	5605850	S6		Tranchée rainurage de 20m de long et 1m de large, Travaux de 2013. S2 au N240/80			

**Appendix III : Laboratories procedures**

## Sample preparation

Sample preparation is designed to produce a representative, homogenous sub-sample from the original raw sample. Many variations on the methods and packages are available, and sample preparation schemes can be customized to suit any particular project requirement.

### Sample Submission

When acquired, the samples are given a barcode and logged into the proprietary global laboratory information management system of ALS. ALS encourage clients to barcode samples prior to sending them to our laboratories, the system will accommodate all major barcode formats

### Sample Storage

Materials submitted for analysis are retained free of charge at ALS laboratories for a limited time, starting from the day that the final Certificate of Analysis is issued. Reasonable monthly charges will apply to samples archived for longer periods in the facilities. ALS sample storage facilities provide a secure and organized environment protected from the elements, and all archive locations are included in the laboratory tracking system

### Individual Sample Preparation Procedures

The following procedures can be used either separately or combined in a package in order to meet specific needs regarding sample size and composition. Most of these procedures are charged at a rate that is based on sample weight

#### **Drying**

<b>CODE</b>	<b>DESCRIPTION</b>	<b>APPLICATION</b>
DRY-21	Drying of excessively wet samples in drying ovens	Default drying procedure for most rock chip and drill samples
DRY-22	Drying of excessively wet samples in drying ovens that are controlled to a maximum temperature of 60°C	Most soil and sediment samples that are analyzed for volatile elements
DRY-23	Air-drying of samples	Selective Leach procedures and others

#### **Crushing**

<b>CODE</b>	<b>DESCRIPTION</b>	<b>APPLICATION</b>
CRU-21	Coarse crushing of rock chip and drill samples to 70% passing 6mm	Used as a preliminary step before crushing of larger sample sizes No QC is performed for this method If QC is required request CRU-21q
CRU-31	Fine crushing of rock chip and drill samples to 70% passing 2mm	Standard preparation procedure for samples where a representative split will be



		pulverized
CRU-36	Fine crushing of rock chip and drill samples to 85% passing 2mm	Option for when a finer grind is desired
CRU-32	Fine crushing of rock chip and drill samples to 90% passing 2mm	Option for when a finer grind is desired

### **Splitting**

<b>CODE</b>	<b>DESCRIPTION</b>	<b>APPLICATION</b>
SPL-21	Split sample using a riffle splitter	Standard splitting procedure
SPL-22	Split sample using a rotary splitter	Rotary splitting procedure
SPL-22Y	Split sample using a Boyd crusher/ rotary splitter combination	
SPL-34	Split a received pulp sample for various uses	Pulp splitting procedure

### **Pulverizing**

<b>CODE</b>	<b>DESCRIPTION</b>	<b>APPLICATION</b>
PUL-31	Pulverize a split or total sample up to 250g to 85% passing 75 microns	Default procedure for samples that are finely crushed and split to 250g or less
PUL-32	Pulverize a 1,000g split to 85% passing 75 microns	Large sample size to mitigate nugget effect
PUL-32a	Pulverize a 1,000g split to 90% passing 75 microns	
PUL-21	Pulverize entire sample to 85% passing 75 microns	Appropriate for samples up to 3kg
PUL-23	Riffle split sample to maximum of 3kg and pulverize split to 85% passing 75 microns. Retain and bag unpulverized reject	Appropriate for RC drill chip samples not requiring crushing
PUL-24	Riffle split sample to maximum of 3kg and pulverize split to 85% passing 75 microns. Dispose of unpulverized reject	
PUL-51	Pulverize concentrate sample to 85% passing 75 microns	Cost includes careful cleaning of the pulverizing bowl after grinding

## **Analysing methods**

### **Gold by Fire Assay**

An optimal fire assay flux recipe and rigorous quality control program easily handle problem materials including chromite, base metal sulfides and oxides, selenides, and tellurides. Choice of crushing fineness, splitting technique and pulp size can all affect the analytical outcome of fire assay gold methods.

### **Silver**

Trace level and low-grade silver samples may be analyzed by acid digestion for maximum sensitivity and precision. Multi-element packages including Ag are listed in the Targeted Exploration section. Because silver can suffer from nugget effect, occasional duplicate analysis may help detect sampling error at these low levels at higher grades, fire assay with larger nominal weights may be preferable.

### **Platinum Group Elements**

Platinum, palladium, rhodium and gold may be determined by standard lead oxide collection fire assay and ICP-MS or ICP-AES finish. For the full list of platinum group elements, nickel sulfide collection fire assay must be used for a quantitative analysis.

### **Litho geochemistry**

Analyses related to litho geochemistry, alteration minerals, and trace element mobility are important tools for understanding ore-forming geological environments. Managing and interpreting large datasets generated by litho geochemical techniques, while traditionally challenging, have been greatly simplified by powerful software tools now available to geologists and geochemists. No single analytical method is able to encompass the full range of elements required for effective litho geochemical investigation.

### **Whole Rock Analysis**

Both x-ray fluorescence (XRF) and ICP-AES instrument finishes can be used effectively for the major rock-forming elements following a fusion. These methods are not suitable for samples with base or precious metals mineralization. Specific commodities such as iron ore, bauxite, and base metal sulfides should be analyzed with packages designed for those sample types.

### **Trace Elements by Li Borate Fusion**

A lithium borate fusion prior to acid dissolution and ICP-MS analysis provides the most quantitative analytical approach for a broad suite of trace elements. Options for adding the whole rock elements from an ICP-AES analysis on the same fusion, or base metals from a separate four acid digestion, are available.

### **Complete Characterization Packages**

By combining a number of methods into one cost effective package, a complete sample characterization is obtained. These packages combine whole rock analysis, trace elements by fusion, aqua regia digestion for the volatile trace elements, carbon and sulfur by combustion

analysis, and several detection limit options for the base metals. Other method combinations are available for complete characterization

### **Base Metals**

Procedures for the evaluation of ores and high grade materials are optimized for accuracy, precision and recovery of the target element. No single digestion or analytical method is suitable for all cases, and ALS provides a wide variety of procedures so the most appropriate method can be selected. Choices include acid digestions with ICP-AES finish; fusion and XRF determination for resistive elements and bulk commodities; specialized solvent digestions for uncommon ores; and classical volumetric methods for very high grade base metals.

### **Total Copper**

Aqua regia is an effective solvent for copper oxides and sulfides, but copper occurring with other commodities like molybdenum can be analyzed by four acid digestion for consistency across data sets

<b>CODE</b>	<b>ANALYTES &amp; RANGES (%)</b>		<b>DESCRIPTION</b>
Cu-ICP41	Trace Cu	1-10,000 ppm	Aqua regia digestion and ICP or AAS finish.  0.5g sample
Cu-ICP61	Trace Cu	1-10,000 ppm	Four acid digestion and ICP or AAS finish.  0.25g sample
Cu-OG46	Cu Assay	0.001-50	Aqua regia digestion and ICP or AAS finish.  0.4g sample
Cu-OG62	Cu Assay	0.001-50	Four acid digestion and ICP or AAS finish.  0.4g sample
Cu-SCR21	Native Cu	0.01-100	Screen 1kg sample to 100 microns, duplicate assay on 0 25g of undersize fraction and assay of entire oversize fraction by four acid digestion and AAS finish.
Cu-VOL61 Cu-CON02	Cu Concentrate	0.01-100	HNO3-HCl-HF-H2SO4 acid digestion followed by titration Cu-CON02 done in duplicate

### Uncommon Metals

These elements have many high-tech applications in electronics, engineering and pharmaceuticals. They require specialized digestions and instrument methods for precise and accurate measurement

CODE	ANALYTE RANGE (ppm)		DESCRIPTION
Be-ICP81	Be	0.01%-100%	Sodium peroxide fusion and ICP-AES finish.  0.2g sample
B-MS82L	B	5-10,000	NaOH fusion and ICP-MS finish for super trace B.  0.5g sample
ME-ICP82b	B, Li	0.02%-100% 0.01%-10%	Na <sub>2</sub> O fusion and ICP-AES finish. B and/or Li may be reported.  0.2g sample
Ge-MS66	Ge	1-500	HNO <sub>3</sub> -HF digestion with orthophosphoric acid leach and ICP-MS finish.  0.5g sample

### Base Metal Concentrates By XRF

Samples are analyzed by XRF following a lithium borate fusion with the addition of strong oxidizing agents to decompose sulfide concentrates. Other elements are available to report on request LOI may be optionally added to this method, but it is not used to normalize results

ODE	ANALYTES & RANGES (%)					
ME-XRF15c	Al <sub>2</sub> O <sub>3</sub>	0.01-100	MgO	0.01-40	Sn	0.01-79
	As	0.01-10	Mn	0.01-30	Ta	0.01-41
	Ba	0.01-50	Mo	0.01-60	TiO <sub>2</sub>	0.01-50

0.25g sample	Bi	0.01-5	Nb	0.01-35	V	0.01-5 6
	CaO	0.01-40	Ni	0.01-50	WO3	0.01-100
	Co	0.01-7	P	0.01-10	Zn	0.01-50
	Cr	0.01-10	Pb	0.01-32	Zr	0.01-20
	Cu	0.01-50	S	0.01-40	Total	0.01-110
	Fe	0.01-75	Sb	0.01-80		
	K2O	0.01-6 3	SiO2	0.01-100		

### **High-grade multi-element analysis**

This is a four acid multi-element procedure specifically designed for major, minor and trace elements in high-grade samples and concentrates. Aqua regia/ICP-MS and oxidizing fusion/XRF options are also available.

CODE	ANALYTES & RANGES (ppm)					
ME- MS61c  0.4g sample	Ag	0.1-1,000	Fe	0.02%-100%	Ni	2-100,000
	Al	0.02%-100%	Ga	0.5-5,000	Th	2-5,000
	As	2-100,000	Ge	0.5-5,000	P	100-100,000
	Ba	50-100,000	Hf	1-5,000	Ti	0.01%-100%
	Be	0.5-10,000	In	0.05-2,500	Pb	5-100,000
	Bi	0.1-100,000	K	0.02%-100%	Tl	0.2-5,000
	Ca	0.05%-100%	La	5-5,000	Rb	1-5,000
	Cd	0.2-5,000	Li	2-5,000	U	1-10,000
	Ce	0.1-5,000	Mg	0.02%-100%	Re	0.02-500
	Co	1-100,000	Mn	10-100,000	V	5-100,000
	Cr	10-100,000	Mo	0.5-100,000	S	0.05%-10%
	Cs	0.5-5,000	Na	0.02%-100%	W	1-100,000
	Cu	2-100,000	Nb	1-5,000	Sb	0.5-10,000
					Y	1-5,000
					Sc	1-10,000
					Zn	20-100,000
					Se	10-10,000
					Zr	5-5,000
					Sn	2-5,000
				Sr	2-100,000	
				Ta	0.5-1,000	
				Te	0.5-5,000	

**Appendix IV : Au + base metals results (Au-AA23 + ME-ICP41)**

NoAffleurement	NoSample	UTME	UTMN	Au_ ppm	Ag_p pm	Co_p pm	Cu_p pm	Ni_ ppm	Zn_ ppm	Litho1	Lithologie
TRO-PDT-18-006	S649351	515471	5599865	0.01	-0.2	-1	1	1	-2	I1B (I1G)	Aff composé de 50% de I1B (I1G) à grain moyen/grossier/pegmatitique, massif et heterogranulaire, de M16 (V3B) à grain fin/moyen, schisteux, laminé à 40%, et de veine de qz faiblement fumé.
TRO-PDT-18-011	S649352	515364	5599369	-0	-0.2	1	1	1	3	M16 (V3B)	Aff constitué majoritairement de M16 (V3B) à grain fin, laminé, schisteux et folié et de 25% de I1C + I1G
TRO-PDT-18-012	S649353	515306	5599314	0.02	-0.2	9	108	14	20	M16 (V3B)	Aff gigantesque composé de M16 à grain fin majoritairement et de I1C en partie.
TRO-PDT-18-014	S649151	514420	5597957	0.01	5.5	107	855	252	5	M4 (S1)	Aff plat et rouillé sur 1m2 observable dans un trou. Les SF observées sont essentiellement la PY (75%), la CCP (3-4%), la PO (2-3%) et la magnétite (15-20%). L'encaissant semblerait être du M4 (S1)
TRO-PDT-18-024	S649366	514469	5598004	-0	-0.2	1	2	1	4	I1B/I1C	Aff composé d'une interdigitation de niveau de M4 (S1) métrique avec du I1B/I1C. Les contacts sont moyennement orientés à 070 et à faible pendage. On a une veine de QZ, d'environ 30cm d'épaisseur et d'orientation N070, légèrement fumés avec tr de PY.
TRO-PDT-18-030	S649367	508195	5621863	-0	-0.2	1	1	1	-2	I3A	I3A à grain grossier, généralement massif, localement folié avec des veines de quartz pluricentimétriques démembrées
TRO-PDT-18-031	S649373	508098	5621790	0.02	-0.2	25	155	93	17	I3A	I3A généralement folié avec tr à 2% de PO finement diss dans la roche. Un des échantillons montre de la PO en amas sur 4-5% de la rx
TRO-PDT-18-040	S649368	521980	5612529	0.02	1	188	2350	1385	38	V3B	Aff composé de V3B à grain fin, légèrement folié, où on observe un niveau rouillé sur 50cm d'épaisseur. Les échantillons prélevés sur cette zone sont des sulfures semi-massifs contenant jusqu'à 5-7% de ccp, 25% de po et de la magnétite.
TRO-PDT-18-041	S649369	521980	5612529	0.01	0.2	18	204	111	20	V3B	Aff composé de V3B à grain fin, légèrement folié, où on observe un niveau rouillé sur 50cm d'épaisseur. Les échantillons prélevés sur cette zone sont des sulfures semi-massifs contenant jusqu'à 5-7% de ccp, 25% de po et de la magnétite.



TRO-PDT-18-055	S649370	521980	5612529	0.04	3.1	536	7680	4030	60	V3B	Aff composé de V3B à grain fin, légèrement folié, où on observe un niveau rouillé sur 50cm d'épaisseur. Les échantillons prélevés sur cette zone sont des sulfures semi-massifs contenant jusqu'à 5-7% de ccp, 25% de po et de la magnétite.
TRO-PDT-18-058	S649371	510453	5622406	-0	-0.2	19	87	39	30	V3B	Aff de 20m2, non loin de l'aff 057 qui est composé de de V3B à grain fin avec des sf diss et en amas à 2-3%
TRO-PDT-18-074	S649372	508750	5620646	0.02	0.7	139	344	248	4260	S6	Aff de 20m2 compose a 99% de rx sedimentaire. On y observe dans la partie SE, ce qui semble être de l'argilite à grain fin/très fin et schisteux avec 1-2% de min sous forme de lamine millimétrique suivant la direction de la schistosité. La partie NW est composée de siltstone de couleur beige grisâtre.
TRO-PDT-18-079	S649374	508824	5620785	0.01	0.7	14	126	40	150	S6	Aff composé à 99% de S6, probablement du shale. La rx est à grain très fin, aphanititque de couleur beigâtre en SA et noir grisâtre en SF
TRO-PDT-18-098	S649375	527246	5641291	-0	-0.2	29	94	94	40	S6	Aff bord de route où on observe un horizon de S6 encaissé dans du M16. Le S6 a donné jusqu'à 3000 en valeur de HFR, on y observe des lamines de PO + CCP millimétriques suivant l'orientation de la stratification.
TRO-PDT-18-138	S649376	518251	5604094	0.01	0.6	37	341	69	879	S6	Aff bord de route où on observe un horizon de S6 encaissé dans du M16. Le S6 a donné jusqu'à 3000 en valeur de HFR, on y observe des lamines de PO + CCP millimétriques suivant l'orientation de la stratification.
TRO-PDT-18-139	S649377	518251	5604094	0.02	0.2	31	206	60	797	S6	Aff composé de I3A à grain moyen, massif et homogène avec une veine de QZ décimétrique plate qui est localement bleutée.
TRO-PDT-18-147	952439	531776	5636683	-0	-0.2	3	9	6	4	I3A	I3A à massif, homogène, finement grenu où on observe des traces de SF diss
TRO-PDT-18-154	952444	531902	5636211	-0	-0.2	7	6	20	51	I3A	

TRO-PDT-18-158	S650180	531094	5633846	-0	-0.2	80	1	854	17	I4I	Aff >400m2 de I4I à 99% généralement massif, à grain fin/moyen et magnétique (5-10%). On observe localement des SF diss en trace ainsi que des veinules centimétriques (3-10cm) de serpentine d'orientation N180
TRO-PDT-18-159	S650181	531295	5633951	-0	0.2	17	123	34	135	V3B	Aff décapé sur 30m par 10m. On y observe plusieurs litho dont la principale est un V3B légèrement silicifié à grain fin. Des horizons interlités de V3B et de ce qui pourrait être du chert contiennent des SF diss jusqu'à 3%.
TRO-PDT-18-164	S650182	531568	5634106	0.01	-0.2	16	103	33	110	V2J [PO]	Décapage montrant du V2J (PO) avec des phénocristaux de tp millimétriques moyennant 30-40% de la rx. La V2J est à grain fin et moyen avec des zones de cisaillement d'épaisseur décimétrique à centimétrique rouillée orientée généralement à N250.
TRO-PDT-18-168	S650183	531389	5633790	0.02	0.5	68	131	44	63	V2/V3	Décapage composé de V2J/V3 (PO) avec des textures locales de bréchification. On observe des veinules de QZ centimétriques (3-8cm) suivant généralement une orientation N220. Ces veinules sont rouillées et contiennent des SF (PY) diss à 5% et semi-massif jusqu'à 30-35%
TRO-PDT-18-169	S650184	531389	5633790	0.03	1.2	377	245	129	14	V2/V4	Décapage composé de V2J/V3 (PO) avec des textures locales de bréchification. On observe des veinules de QZ centimétriques (3-8cm) suivant généralement une orientation N220. Ces veinules sont rouillées et contiennent des SF (PY) diss à 5% et semi-massif jusqu'à 30-35%
TRO-PDT-18-172	S650185	531505	5633656	0.11	4.4	175	960	33	135	V2J [PO]	Décapage de 200m2 de V2J (PO) à 70% et de I3E ophitique, à grain moyen/grossier à 30%. On observe encore les veinules de QZ centimétriques suivant une orientation à N220. Dans les corridors particulièrement déformés, la rx montre jusqu'à 5% de sulfures .
TRO-PDT-18-173	S650186	531516	5633607	0.02	0.8	8	494	16	22	I3E	Aff compose de I3E a grain moyen, grain grossier et massif. On observe de SF diss de CCP + PO à 0,5-1% dans le gabbro quartzifère (I3E) et une zone de cisaillement sur 1m composée de I3E très silicifié. Cette zone contient 3-5% de SF essentiellement de la CCP + PO sous forme disséminée et en amas centimétrique.

TRO-PDT-18-174	S650187	531516	5633607	0.01	-0.2	8	60	1	44	I3E	Aff compose de I3E a grain moyen, grain grossier et massif. On observe de SF diss de CCP + PO à 0,5-1% dans le gabbro quartzifère (I3E) et une zone de cisaillement sur 1m composée de I3E très silicifié. Cette zone contient 3-5% de SF essentiellement de la CCP + PO sous forme disséminée et en amas centimétrique.
TRO-PDT-18-175	S650188	531459	5633356	0.05	0.7	122	1890	-1	18	I3E	Décapage de I3E à grain moyen, grain grossier et massif. Cette litho contient des niveaux métriques rouillés, silicifiés avec 10-15% de SF (PO, CCP, SP diss)
TRO-PDT-18-178	S649383	527862	5644004	0.01	-0.2	26	124	32	304	V3B	Aff de V3B (M16) laminé, schisteux à grain fin montrant une schistosité similaire à l'affleurement 177. On y observe une veine de QZ très légèrement rouillée ainsi qu'une zone métrique où le V3B est en SA plus leucocrate. La rx dans cette zone contient des SF diss en tr-0,5% de CCP + PY.
TRO-PDT-18-179	S649384	527862	5644004	-0	-0.2	1	3	2	5	V3B	Aff de V3B (M16) laminé, schisteux à grain fin montrant une schistosité similaire à l'affleurement 177. On y observe une veine de QZ très légèrement rouillée ainsi qu'une zone métrique où le V3B est en SA plus leucocrate. La rx dans cette zone contient des SF diss en tr-0,5% de CCP + PY.
TRO-PDT-18-180	S649385	527885	5644158	-0	-0.2	-1	2	1	2	V3B (M16)	Aff de V3B (M16) laminé et schisteux avec une orientation à N236 à pendage subvertical. On a une veine de QZ décimétrique de (15-40cm) localement rouillée suivant l'orientation de la schistosité
TRO-PDT-18-189	S649386	527385	5643593	0.02	-0.2	26	104	43	42	V3B	Aff de V3B folié, laminé, à grain fin montrant une zone plus leucocrate du V3B en SA où la roche est légèrement silicifiée. Le contact entre le V3B noire verdâtre en SA et le V3B plus leucocrate est à N245
TRO-PDT-18-190	S649387	527416	5643593	-0	-0.2	-1	1	1	-2	V3B	Affleurement plat et couvert de mousse de V3B. On y observe une veine plate légèrement fumée et oxydée au contact avec le V3B. La veine de QZ est décimétrique à +/- métrique
TRO-PDT-18-191	S649388	527546	5643597	0.01	-0.2	3	3	11	10	V3B	V3B laminé, schisteux, à grain fin localement silicifié. On observe des veines de QZ légèrement fumées et un niveau plus rouillé/leucocrate de V3B conducteur jusqu'à 3000 HFR. Ce niveau est décimétrique (25-35cm) et suit l'orientation de la schistosité.

TRO-PDT-18-192	S649389	527579	5643692	0.02	0.5	44	464	149	327	V3B	Aff décapé sur 2m par 3m où on observe à 50% une veine de QZ mesurant 1 à 1,2m orientée à N245/78 encaissée dans du V3B schiteux et laminé dont la schistosité est légèrement ondulante variant de N235 à N252. Au BeepMat, la veine de QZ a donné des teneurs de 9500 HFR. Un total de trois échantillons a été prélevé; un sur l'éponte, l'autre à quelques centimètres de l'éponte représentant un SM dans la veine de QZ et un autre au coeur de la veine de QZ,
TRO-PDT-18-193	S649390	527579	5643692	0.4	0.7	141	442	451	3000	V3B	Aff décapé sur 2m par 3m où on observe à 50% une veine de QZ mesurant 1 à 1,2m orientée à N245/78 encaissée dans du V3B schiteux et laminé dont la schistosité est légèrement ondulante variant de N235 à N252. Au BeepMat, la veine de QZ a donné des teneurs de 9500 HFR. Un total de trois échantillons a été prélevé; un sur l'éponte, l'autre à quelques centimètres de l'éponte représentant un SM dans la veine de QZ et un autre au coeur de la veine de QZ,
TRO-PDT-18-194	S649391	527579	5643692	0.02	0.3	8	369	26	154	V3B	Aff décapé sur 2m par 3m où on observe à 50% une veine de QZ mesurant 1 à 1,2m orientée à N245/78 encaissée dans du V3B schiteux et laminé dont la schistosité est légèrement ondulante variant de N235 à N252. Au BeepMat, la veine de QZ a donné des teneurs de 9500 HFR. Un total de trois échantillons a été prélevé; un sur l'éponte, l'autre à quelques centimètres de l'éponte représentant un SM dans la veine de QZ et un autre au coeur de la veine de QZ,
TRO-PDT-18-198	S649392	527778	5643979	0.01	-0.2	4	14	12	6	V3B	Aff couvert de mousse de 50m <sup>2</sup> compos. à 99% de V3B schiteux et à grain fin, orienté N230. L'affleurement contient une veine de QZ fumée centimétrique (10-15cm) suivant la même direction que la schistosité
TRO-PDT-18-201	S649393	527826	5641621	-0	-0.2	1	2	1	-2	V3B	Aff sur une butte, éparpillé sur 150m de long composé de V3B homogène, à grain fin avec une légère altération en Sl. On a une veine de QZ orienté à N158 de 40cm d'épaisseur.
TRO-PDT-18-202	S649394	527390	5641423	0.02	-0.2	2	16	2	66	V2 (TL)	Tuf intermédiaire à lapilli avec 2% de PY diss dans les veines/veinules de QZ démembrées.

TRO-PDT-18-206	S649395	524558	5604895	0.01	-0.2	50	473	69	113	S3 + S6 + V3B	Aff assez grand de 125m2 composé en majorité de V3B à grain fin avec texture de coulée. La rx est foliée à N236 et l'affleurement montre une petite zone de cisaillement de 30-40cm rouillée où on observe des SF diss à 2% de PY + SP. L'affleurement montre aussi un niveau métrique de S3-S6 qui contient une petite zone rouillée de 50cm de largeur contenant des lamines de PO + CCP + SP à 1-2%.
TRO-PDT-18-207	S649396	524558	5604895	0.02	0.4	57	432	84	487	S3 + S6 + V3B	Aff assez grand de 125m2 composé en majorité de V3B à grain fin avec texture de coulée. La rx est foliée à N236 et l'affleurement montre une petite zone de cisaillement de 30-40cm rouillée où on observe des SF diss à 2% de PY + SP. L'affleurement montre aussi un niveau métrique de S3-S6 qui contient une petite zone rouillée de 50cm de largeur contenant des lamines de PO + CCP + SP à 1-2%.
TRO-PDT-18-209	S649397	524676	5604685	0.07	1.1	110	433	188	3120	S3 + S6 + V3B	Aff présentant un contexte de mise en place similaire à 208, à savoir un assemblage volcanosédimentaire avec une alternance de S6 et S3 et du V3B. Une grande partie de l'aff est rouillée. Le BeepMat a localement indiqué des valeurs de 17000 HFR.
TRO-PDT-18-210	S649398	524622	5604698	0.02	0.5	37	222	69	202	S3 + S6	Aff très rouille en surface composé d'une alternance de bandes de S3 avec des bandes de S6 graphiteux. On observe de la minéralisation à 1-2% de CCP + PO +SP dans le S6 graphiteux. La stratification est légèrement ondulante suivant une direction générale à 252N.
TRO-PDT-18-214	S649399	524296	5604739	0.08	0.9	204	714	408	2580	V3B + Sédiment	Aff gigantesque >400m2 difficile à décire à cause de l'hétérogénéité, des différentes lthos et de la structure. On peut y observer du V3B, du I3A, du S6 graphiteux présentant localement des amygdules ? et du S3. Les zones rouillées s'associent aux sédiments (essentiellement le S6 graphiteux).
TRO-PDT-18-215	S649400	524273	5604681	0.03	1.4	135	1020	124	2520	V3B + S6	Aff gigantesque >400m2 difficile à décire à cause de l'hétérogénéité, des différentes lthos et de la structure. On peut y observer du V3B, du I3A, du S6 graphiteux présentant localement des amygdules ? et du S3. Les zones rouillées s'associent aux sédiments (essentiellement le S6 graphiteux).

TRO-PDT-18-219	S650051	524270	5604336	0.01	-0.2	13	160	17	297	I3A	Aff de I3A d'environ 75m2 composé de I3A à grain moyen, folié. On note la présence de blocs anguleux ne semblant pas provenir de loin et qui sont composés de S6 graphiteux avec 0,5-1% de PO + PY diss
TRO-PDT-18-222	S650052	524475	5604848	0.01	0.9	139	77	270	10	V3B	Aff constitué d'un coulée de V3B à grain fin où on a des horizons sédimentaires S3, S6 et S10 orientés selon plusieurs directions et plissés localement. On observe aussi des veines de QZ démantées et très légèrement fumées. Un des horizons sédimentaire dont l'orientation est à N55 contient de la PY semi massive (20-25% de PY)
TRO-PDT-18-225	S650056	526742	5614144	0.02	0.4	35	78	47	187	Sédiment	Plusieurs boulders subanguleux (5-6) métriques (2-3m3) dont certains ont donné jusqu'à 3000 HFR au BeepMat. La rx semble être un sédiment. On observe une légère silicification et carbonatation.
TRO-PDT-18-226	S650057	526742	5614144	0.02	0.5	39	82	49	166		Plusieurs boulders subanguleux (5-6) métriques (2-3m3) dont certains ont donné jusqu'à 3000 HFR au BeepMat. La rx semble être un sédiment. On observe une légère silicification et carbonatation.
TRO-PDT-18-232	S650058	536637	5647756	0.01	-0.2	24	106	51	59	V3B	Boulder de 2-3m2 subanguleux de V3B aphanitique/grain très fin noir verdâtre en cassure fraîche. La rx montre 0,5-1% de PO + CPP diss.
TRO-PDT-18-237	S650059	536733	5647540	0.05	-0.2	37	68	123	54	V3B	Aff en fauchage de pente de V3B à grain fin et homogène, noire verdâtre en cassure fraîche. On observe 1-2% de PO diss et en fine lamine. La schistosité est bien développée.
TRO-PDT-18-248	S649114	537848	5622486	0.01	-0.2	43	305	22	19	V3/V2	Aff gigantesque de 600m2 composé en majorité de volcanie mafique. L'aspect de la rx en surface est particulière dans la mesure où on observe une importante quantité de M16 (I3A) en relief positif arrondi et subanguleux qui baignent dans du V3/V2. On observe à d'autres endroit de l'aff du I3A sous forme de dyke. On a aussi des veines de QZ décimétriques avec tr de PY.

TRO-PDT-18-249	S649115	537848	5622486	-0	-0.2	2	2	5	5		Aff gigantesque de 600m2 composé en majorité de volcanie mafique. L'aspect de la rx en surface est particulière dans la mesure où on observe une importante quantité de M16 (I3A) en relief positif arrondi et subanguleux qui baignent dans du V3/V2. On observe à d'autres endroit de l'aff du I3A sous forme de dyke. On a aussi des veines de QZ décimétriques avec tr de PY.
TRO-PDT-18-250	S649116	537806	5622253	0.03	-0.2	9	10	23	30	Tuf mafique	Aff de 100-125m2 composé de volcanoclastique ,afique où les clasts dont plusieurs dimensions (centimétrique à décimétrique). Il s'agirait d'un tuf à lapilli et bloc recoupé par des veines de QZ décimétrique suivant généralement l'orientation de la schistosité qui est N110.
TRO-PDT-18-252	S649117	510436	5617934	0.04	-0.2	90	170	499	34	I4I	Aff de 40-50m2 de I4I à 99%. On y observe une croûte d'altération centimétrique et une couleur ocrée typique des ultramafiques. La rx est très magnétique.
TRO-PDT-18-254	S650072	537703	5605620	-0	-0.2	38	83	44	79	I3A	Aff assez long sur 20-30m par 2-3m composé à 99% de I3A à grain moyen/fin, massif et de couleur beigâtre en surface altérée. L'affleurement montre localement des spots rouillés où la rx a des SF diss en tr-0,5% de PO.
TRO-PDT-18-255	S650073	537758	5605597	-0	-0.2	17	34	31	28	I3A	Aff sur flanc de montagne de I3A à grain moyen, homogène et massif, qui semble relativement frais avec la présence de nombreux pyroxènes et très peu d'amphiboles.
TRO-PDT-18-256	S650074	537785	5605600	0.03	0.2	41	337	23	79	I3A	Aff composé à 99% de I3A à grain moyen, grossier, massif et mélanocrate. On observe bien les px qui sont localement très grossier. L'aff montre une structure/texteure de bréchification du I3A marquée par une circulation tardive de fluide donnant un aspect coussiné au I3A. On observe dans les parties plus marquées par l'altération (leucocrate) des SF diss à 5-7%.
TRO-PDT-18-261	S650075	537861	5605670	0.01	-0.2	18	163	13	61	I3A	Aff de 5m2 composé de I3A à grain moyen, grossier rouillé en surface altéré et bréchifié. On observe jusqu'à 2% de SF diss dans les échantillons.
TRO-PDT-18-264	S650076	538122	5605543	0.05	2.5	142	1160	354	113	Sédiment	Boulder de 40cm par 30cm de suflures semi-massif constitué de 40% de PY. La rx semble être un sédiment.
TRO-18-PRO-001	S649152	514406	5597952	0.01	3.6	41	412	92	114		AFF semi massif avec 40% pyrite blanche tres silicifier avec quartz vert épidote 0,5m profondeur BM 750

TRO-18-PRO-002	S649153	525407	5606565	0.11	0.8	20	2490	29	45		AFF bazalt silicifier avec trace pyrite blanche disséminé magnetic
TRO-18-PRO-003	S649154	525624	5606194	0.03	0.9	153	734	377	2080		AFF modestone avec chalcopryrite et pyrite semi massif
TRO-18-PRO-004	S649155	526288	5605722	0.02	0.7	55	319	132	2530		AFF bazalt silicifier avec trace de chalcopryrite+ pyrite disséminé légèrement magnetic
TRO-18-PRO-005	S649156	531072	5599015	0.01	0.7	113	1120	130	39		bolder 1mX1m BM 31 000 sulfure massif pyrrotite 60% pyrite 20% chalcopryrite 1% tres magnetic
TRO-18-PRO-006	S649157	510208	5622013	0.01	-0.2	16	52	24	33		AFF gabbro avec veine de quartz 1cm large non magnetic BM 400
TRO-18-PRO-007	S649158	510241	5622128	0.02	0.2	52	385	85	202		AFF modestone avec trace de chalcopryrite et pyrite disséminé non magnetic
TRO-18-PRO-008	S649159	545085	5611856	0.14	-0.2	5	55	10	11		AFF veine de quartz fumé avec trace de pyrite disséminé 5cm de largeur
TRO-18-PRO-009	S649160	545085	5611856	0.02	0.3	170	1240	255	83		éponte de la veine granodiorite a grain grossier avec trace de chalcopryrite et pyrite disséminé
TRO-18-PRO-010	S649161	545813	5612975	0.02	0.8	98	1155	122	91		AFF bazalt vert foncé grin fin avec trace pyrite cubique blanche et jaune non magnetic
TRO-18-PRO-011	S649162	545813	5612975	0.01	0.3	52	433	102	71		AFF modestone noir grin tres fin avec lamelle de pyrite blanche disséminé
TRO-18-PRO-012	S649163	539588	5608932	0.01	-0.2	12	82	10	105		AFF bazalt noir grin fin légèrement schisteux silicifier avec trace de pyrite blanche disséminé BM 580
TRO-18-PRO-013	S649164	537264	5605454	0.01	0.4	20	590	42	365		AFF schisteux trace d altération en surface trace de pyrothide, chalcopryrite,pyrite BM 3,100 1m X 15m long
TRO-18-PRO-014	S649165	537416	5605504	0.02	0.3	9	210	15	75		BM 600 1m large X 15m de long
TRO-18-PRO-015	S649166	537416	5605504	0.01	-0.2	20	111	25	86		éponte de S649164 coté east bazalt gris foncé tres silicifier grin moyen aucune trace de pyrite non magnetic
TRO-18-PRO-016	S649167	537416	5605504	-0	-0.2	23	113	18	102		éponte du coté ouest bazalt noir grin fin tres silicifier tres magnetic avec pyrothide et pyrite cubique trace de chalcopryrite
TRO-18-PRO-017	S649168	537274	5605441	-0	-0.2	1	3	3	6		veine de quartz 6 a 8 pouce de large au contact bazalt vert silicifier trace de pyrite disséminé tres peu
TRO-18-PRO-018	S649169	537274	5605441	0.02	0.3	23	413	31	168		décapage veine de quartz 3 pied large pyrite 4% cubique et chalcopryrite 1% 2 a 4 pouces de ferrocroute sur le dessus
TRO-18-PRO-019	S649170	537416	5605504	0.01	0.3	21	229	28	204		contact de la veine bazalt legerment schisteux silicifier trace de pyrite et pyrothide disséminé moyen magnetic BM 600



TRO-18-PRO-020	S649171	538790	5608229	0.02	0.4	38	38	26	66	Bolder bazalt semi massif silicifier noir grin fin au contact d un amphibolique grin moyen a grossier noir BM 4800
TRO-18-PRO-021	S649172	538920	5607974	0.01	0.2	77	52	23	345	Bolder bazalt tres tres silicifier trace de pyrite blanche 30% gris pale a grin fin
TRO-18-PRO-022	S649173	532061	5600713	0.01	0.3	50	130	40	269	Bolder ,BM 16 000 1,3mX2mX1m
TRO-18-PRO-023	S649174	531012	5599267	0.02	0.3	17	333	140	470	bolder BM 6500 0,3m X1mX0,4
TRO-18-PRO-024	S649175	530900	5599467	-0	-0.2	9	30	13	20	AFF bazalt a serpentine vert pale a grin moyen trace pyrite blanche magnetic léger
TRO-18-PRO-025	S649176	531257	5599279	0.02	0.3	57	489	42	4460	Bolder anguleux 1mX0,3mX2m
TRO-18-PRO-026	S649177	520189	5608681	-0	-0.2	14	116	14	29	AFF bazalt gris pale silicifier pyrite disséminé magnetic léger
TRO-18-PRO-027	S649178	520350	5608915	-0	-0.2	15	18	8	26	AFF gabbro gris foncé a grain moyen pyrite disséminé tres magnetic
TRO-18-PRO-028	S649179	524817	5605116	0.05	2	49	847	226	62	Bolder BM 10 000 anguleux semi massif 0,3mX0,2mX0,4m
TRO-18-PRO-029	S649180	524769	5605096	0.03	1.3	76	587	150	632	Bolder BM 3,300 1ped profond cuivre natif
TRO-18-PRO-030	S649181	524763	5605092	0.02	1.1	37	339	63	324	Bolder BM 6,200 3ped de profond anguleux semi massif
TRO-18-PRO-031	S649182	522643	5604357	0.03	1.3	200	741	159	1220	Bolder BM 4,800 tres gros anguleux
TRO-18-PRO-032	S649183	522604	5604363	0.02	0.4	25	249	61	482	Bolder semi massif bazalt noir 0,2mX0,3mX0,3m
TRO-18-PRO-033	S649184	522616	5604310	0.07	1.1	140	451	193	77	Bolder bazalt schisteux noir 0,4mX0,15mX0,3m
TRO-18-PRO-034	S649185	522374	5604229	0.01	0.4	62	345	74	1470	Bolder BM 260 bazalt schisteux gris tres magnetic
TRO-18-PRO-035	S649186	522506	5604215	0.03	2.2	133	3020	429	3590	BM 1700 15m de circonférence bazalt noir grin fin schisteux avec pyrite, bornite, chalcopryrite, pyrothide magnétique moyen
TRO-18-PRO-036	S649187	522659	5604261	0.02	0.8	72	216	92	71	AFF tuff gris grin moyen avec pyrite blanche tres altéré
TRO-18-PRO-037	S649188	522665	5604370	-0	-0.2	61	3	151	43	AFF graphite noir schisteux grin fin magnetic léger
TRO-18-PRO-038	S649189	522455	5604489	0.01	0.4	47	280	81	1030	AFF? Modestone noir grin tres fin silicifier pyrite blanche disséminé et cubique
TRO-18-PRO-039	S649190	523415	5604845	0.01	0.7	107	219	103	118	Bolder 0,2mX0,3mX0,2m bazalt vert grin fin 10%pyrite cubique et pyrothide magnetic léger
TRO-18-PRO-040	S649191	523325	5604560	0.15	0.8	137	537	319	1210	Bolder BM 2,500 0,5mX0,3mX1,5m modestone noir grin tres fin schisteux 30% pyrite blanche magnetic moyen
TRO-18-PRO-041	S649192	523716	5603523	0.05	0.2	50	594	604	28	Bolder BM 600 circonférence de 1 mètres sulfure massif avec pyrite pyrothide et chalcopryrite 70%
TRO-18-PRO-042	S649193	523716	5603523	0	0.5	69	547	153	2950	Channel sample: modestone noir tres tres fin chalcopryrite, pyrite, pyrothide, magnetic léger a moyen
TRO-18-PRO-043	S649194	523716	5603523	0	1	131	###	403	3520	modestone noir idem a S649193
TRO-18-PRO-044	S649195	523716	5603523	0	0.4	67	581	114	1370	modestone noir grin tres fin pyrite, pyrothide, chalcopryrite, dans les strie

TRO-18-PRO-045	S649196	523716	5603523	0	0.7	141	858	191	60	Contact bazalt avec veine de quartz de 4 pouces avec chalcopryrite, pyrite, pyrothide semi massif
TRO-18-PRO-046	S649197	523716	5603523	0	0.2	58	238	111	66	bazalt gris grin moyen pyrite pyrothide et trace de chalcopryrite dans les veinnule
TRO-18-PRO-047	S649198	523716	5603523	0	0.2	81	437	148	53	contact avec modestone pyrite,pyrothide et chalcopryrite magnetic léger a moyen
TRO-18-PRO-048	S649199	523978	5604591	0.01	0.4	43	246	71	668	AFF? BM 550 modestone schisteux noir grin fin avec pyrite disséminé dans la foliation et chalcopryrite 6m large X 15m
TRO-18-PRO-049	S649200	524274	5604506	0.03	1.2	96	847	177	2680	Bolder BM 1,800 modstone ,pyrite disséminé a 5% et chalcopryrite, sphalérite
TRO-18-PRO-050	S650001	523928	5604134	0.04	1.4	113	675	234	104	Bolder BM 9,600 modestone 1,5mX2m pyrite 30% pyrothide 20% chalcopryrite 2% tres rouillé en surface
TRO-18-PRO-051	S650002	525150	5604124	0.05	2.1	52	2540	57	2130	AFF BM 2,700 2m X20m long chalcopryrite au contact d une veinnule de quartz bazalt gris grin fin
TRO-18-PRO-052	S650003	522180	5604359	0.01	1.1	77	683	195	3230	AFF modestone graphiteux noir grin fin pyrite blanche dans les stries laminé un peu de chalcopryrite magnetic léger
TRO-18-PRO-053	S650004	522159	5604354	0.02	0.6	42	541	213	69	AFF veine de quartz 15 pouce de large pyrite blanche 30% et pyrothide 5% trace de chalcopryrite magnetic moyen
TRO-18-PRO-054	S650005	522150	5604329	-0	0.3	31	99	61	226	AFF BM 288 bazalt laminé noir grin fin , trace de pyrite blanche disséminé dans les stries , non magnetic
TRO-18-PRO-055	S650006	522150	5604329	0.02	1	39	554	122	324	AFF BM 550 bazalt laminé noir grin fin avec pyrite cubique et disséminé magnetic moyen
TRO-18-PRO-056	S650007	545768	5602993	0.24	1	93	782	197	710	AFF BM 360 1 mètre de profond bazalt cloritisé et silicifier 10% pyrite blanche et 1% pyrothide trace de chalcopryrite
TRO-18-PRO-057	S650008	546493	5602723	0.42	0.3	19	288	32	95	SUB AFF foliation horizontale quartz fumé avec pyrite blanche 12% et trace de pyrothide tres peu magnetic
TRO-18-PRO-058	S650009	523152	5606126	0.06	0.2	31	47	39	51	Bolder bazalt silicifier 3mX2mX2m pyrite et pyrothide
TRO-18-PRO-059	S650010	523190	5606114	0.04	0.2	17	35	32	56	Bolder bazalt silicifier 2mX3mX4m
TRO-18-PRO-060	S650011	523190	5606114	0.06	0.5	93	447	185	92	épointe de veine quartz rainure coté sud entre S649195 et S649196
TRO-18-PRO-061	S650012	546893	5602726	0.04	0.3	20	262	34	25	AFF BM 2,000 bazalt vert foncé laminé avec un peu de pyrite disséminé silicifier
TRO-18-PRO-062	S650013	546914	5602692	0.04	0.8	140	867	193	993	AFF BM 85 bazalt noir grin fin laminé et schisteux avec trace de pyrite blanche et chalcopryrite non magnetic
TRO-18-PRO-063	S650014	543628	5603068	0.12	0.8	87	336	164	112	sub AFF BM 80 Bazalt vert foret avec pyrite cubique et pyrothide 5% a 10% tres silicifier 25m long X 4m large

TRO-18-PRO-064	S650015	524461	5602446	0.01	0.6	50	662	50	107		Bolder BM 55 gabbro noir grin moyen pyrite blanche et chalcopryrite dans le laminé non magnetic 0,5mX1mX1m
TRO-18-PRO-065	S650016	524277	5602836	0.02	0.2	50	618	73	15		Bolder ,0,7mx0,5mX0,3m anguleux BM 450 Bazalt noir grin fin ,pyrite dans les stratif trace chalcopryrite
TRO-18-PRO-066	S650017	524331	5602912	0.01	0.3	67	739	88	35		Bolder 0,8mX0,4mX0,5m anguleux gabbro noir grin moyen avec trace pyrite, chalcopryrite, laminé légèrement schisteux
TRO-18-PRO-211		514488	5598639								Amphibolite , riche en bt, Epidote 5% , Foliation 330 deg , Ségrégation (Texture gneissique) des minéraux mafiques, amph, Qtz des plg, Non mag; contact variable 320 deg Az avec granodiorite. Veine de 30 cm large 250 Az . Échantillon de la veines. (#952423)
	952423			-0	-0.2	1	14	1	2		
TRO-18-PRO-215		514673	5597920								Gros aff haut topo. de Granodiorite G-F à G-M heterogranulaire. Non-mag . Zone a gros Plg . Veine de 2 m de long par 1 m de large échantillonné .
	952424			-0	-0.2	-1	1	1	-2		
TRO-18-PRO-217		526572	5640344								Mafique , V3B, Vert Clair en surf. Alt ., vert foncée sur cassure fraî. Schisto de 60 deg. verti. Non-Mag , G-M . Aff de bordure de route, Forte dureté. Veinule 3 cm de large x 2m de long boudiné. Smoky Qtz un peu rouillé. Tr. Pyrotite. Bande de 2mm de plg dans schisto à intervalle de 1 cm environ.
	952425			-0	-0.2	4	17	6	7		
TRO-18-PRO-218		526794	5640987								Tuff volcanique felsique , + de 50 % de Qtz. Schisto E-W verti . (1200 mag avec BeepMap) Aff moyennement Mag . Lit de mag dans l'aff. Présence de veinule milli. Calcite 1% . Alt. de surface Beige à Brun. Léger plissement dans schisto localement . Dureté élevé.
	952426			-0	-0.2	10	4	8	61		
TRO-18-PRO-219		526792	5641071								Tuff Volcanique, Schisto E-W (-400mag BeepMap ), Mag faible dans l'ensemble cependant présence de lit milli. de Magnétite. Matrice Beige rougeâtre , molle en surface. Bedding de Tuff + Felsique 2 à 5 cm de large le long de la schisto. 1% Pyrotite. Veinule de Épidote 1 cm x 2 m. Aff semblable 218. Sample composite d'une veinule de 2 cm x 3 m de long . 1% Pyrotite.
	952427			0.01	0.2	8	37	1	60		
TRO-18-PRO-226		515475	5620862								Basalte bleuté - gris en surf., légèrement silicifié . G-M. Non-mag., Massif homogène G-F. Sample de boulder rouillé anguleux à côté de l'aff. VMS massif . 30 cm dia. 1% Cpy , (5% Pyrotite. )
	952428			0.03	0.9	51	27	75	49		

TRO-18-PRO-230	952429	515342	5620557	-0	-0.2	32	67	83	112	Tuff felsique 80-90% 'Qtz, Faible a moyenne schisto 60 deg. Entre le point 230 et 229a contact entre basalte de l aff 229 mais plus chloritisé et très mou, non-mag. --Tuff beige claire, légèrement lithée. Beige foncée en surface , minuscule lapilli gris. Non-mag
TRO-18-PRO-231	952430	515378	5620537	0.01	-0.2	37	208	82	46	Basalte V3B, Légèrement chloritisé . Schisto forte E-W verti. lit mince de 10 cm de réponse au BeepMap. (-3500 mag) 2 sample 952429 et 952430 zone de rouille mag, 1 %Pyrotite,
TRO-18-PRO-235	952431	516074	5621590	0.01	-0.2	15	24	49	69	Tuff mafique , forte schisto E-W. 20% sont des bandes de minéraux mafique vert foncé et le reste sont des tuffs felsique très riche en en Qtz , vert gris clair sur cass. Fraî. Une zone de mag. de 1.5 m de large le long de la schisto . -1200 mag au BeepMap. Dans la photo 232 le crayon pointe le début de la zone mag côté EST, 1% Pyrotite dans l'ensemble et 5 % localement.( Zone de 5% pyrotite échantillonné . Moy Mag. #952431 )
TRO-18-PRO-237	952432	539904	5605731	0.01	0.6	13	117	36	80	Basalte silicifié , sur le bord du lac , 2% Pyrotite finement diss., Zone rouillé (300 HFR, 76% RT BeppMap ) Schisto Forte SW-NE(ech. basalte 2 Pyrhotite diss. #952432) et (#952433, trace d'alt Sphalérite à 5 m de l'autre sample, Basalte silicifié semi-massif. Zone rouillé coordonné GPS *-539887 E - 5605740 N ).
TRO-18-PRO-237-1	952433	539905	5605731	0.01	0.8	31	309	96	108	Basalte silicifié , sur le bord du lac , 2% Pyrotite finement diss., Zone rouillé (300 HFR, 76% RT BeppMap ) Schisto Forte SW-NE(ech. basalte 2 Pyrhotite diss. #952432) et (#952433, trace d'alt Sphalérite à 5 m de l'autre sample, Basalte silicifié semi-massif. Zone rouillé coordonné GPS *-539887 E - 5605740 N ).
TRO-18-PRO-238	952434	539745	5605686	0.01	0.7	34	122	78	197	Basalt G-F silicifié, Présence d'altération de Sphalérite " Blanc ". Ech. #952434 à environ 150 m à partirdu bord du lac et du 1 er échantillon (#952432)
TRO-18-PRO-242	952435	516622	5600944	0.01	1.5	54	1690	60	68	Boulder anguleux de basalte G-F. échantillonné sur le bord de la route. 15% Pyrhotite, 2 % Cpy, trace de sphal ? ; 2000 HFR , 1000 LFR au BeepMap. #952435

TRO-18-PRO-243	952436	531548	5636290	0.1	0.9	481	4560	152	38	Aff 15x10 sur bord du lac, "Mafique" Gabbro GF à GM , Vert foncé sur cassure fraîche , non-mag sauf sur minéralisation de la veine et l'éponte car Po; Grosse veine plisé en 'S' 30 cm de large sur 5m de long. Minéralisation mis en place par veine hydrothermale contenant Cpy , Py , Po. 30% Cpy , 20% Py et présence de Bornite 3 %. (1700 HFR au BeepMat)Zonation autour de la veine qui est plus schisteuse ayant des amas Py, Cpy et disséminé aussi, la minéralisation est dans les plis de la veine. Trace d'ancien travaux.
TRO-18-PRO-243-1	952437	531549	5636290	0.02	0.3	150	1330	37	79	Aff 15x10 sur bord du lac, "Mafique" Gabbro GF à GM , Vert foncé sur cassure fraîche , non-mag sauf sur minéralisation de la veine et l'éponte car Po; Grosse veine plisé en 'S' 30 cm de large sur 5m de long. Minéralisation mis en place par veine hydrothermale contenant Cpy , Py , Po. 30% Cpy , 20% Py et présence de Bornite 3 %. (1700 HFR au BeepMat)Zonation autour de la veine qui est plus schisteuse ayant des amas Py, Cpy et disséminé aussi, la minéralisation est dans les plis de la veine. Trace d'ancien travaux.
TRO-18-PRO-243-2	952438	531548	5636291	0.01	-0.2	44	159	16	87	Aff 15x10 sur bord du lac, "Mafique" Gabbro GF à GM , Vert foncé sur cassure fraîche , non-mag sauf sur minéralisation de la veine et l'éponte car Po; Grosse veine plisé en 'S' 30 cm de large sur 5m de long. Minéralisation mis en place par veine hydrothermale contenant Cpy , Py , Po. 30% Cpy , 20% Py et présence de Bornite 3 %. (1700 HFR au BeepMat)Zonation autour de la veine qui est plus schisteuse ayant des amas Py, Cpy et disséminé aussi, la minéralisation est dans les plis de la veine. Trace d'ancien travaux.
TRO-18-PRO-247	952445	528565	5644449	-0	-0.2	3	13	7	11	Gabbro , un peu + schistosé que 246 mais légère 240 az., Px GF-GM. Vert foncé en surface + clair légèrement en cass. fraîche. Présence de 3% veinule dont une d'environ 5cm de large légèrement rouillé, 2% tourmaline en baguette. Gabbro très Fo au contact des veinules et plus chloritisé . Non-mag. /échantillon 952445 veinule + éponte tr. Py

TRO-18-PRO-251	952446	528204	5644358	-0	-0.2	7	2	30	15		Metabasalte ultra laminé 60 deg Az, fine bande interdigité de Plg et mafique. Chloritisé, amphibolitisé et 2% Bt. Présence d'une veine 30 cm x 3m de long suivant schisto . Veine localement rouillé. Dureté faible à cause de la Cl. Faible mag, Tr Py . Veine et éponte échantilloné# 952446
TRO-18-PRO-259	952448	526428	5603808	0.02	0.7	43	357	134	1050		(4000 HFR BM) Aff. côté West de la rivière. Argilite graphiteuse lithé E-W sub-verticale. Bedding d'environ 0.5 cm à 1 cm . Quelque veinule de Qtz le long de la schisto 1 cm de large continu sur l'aff. 3%Py, 2% Cpy, en stringer. Échan No.952448. arg. Graph. Dureté élevé a cause silicification. 1 photo.
TRO-18-PRO-262	952449	524946	5604373	0.01	-0.2	1	3	5	3		Gabbro homogène silicifier par endroit, très peu fracturé GF à GM , 5% Bt, légèrement Chloritisé et amphibolitisé aussi . Présence d'une veine N-S de 2-3 cm de large continu sur aff . Strike N-S sub-vertical. Gabbro presque massif légère Fo1 E-W. Echan. 952449. Veine et éponte échan. Non-mag, non-Carb.
TRO-18-PRO-264	952450	524820	5605328	0.08	3.7	125	817	237	106		Basalte et chert contact. Contact direction général E-W, zone rouillé. Minéralisation dans la bande de chert et arg. graphiteuse beaucoup plus forte que dans le basalte. 30000 hfr au BM. Alt blanche de sphalérite . Aff plat donc très difficile à échantillonné. Chert blanc et gris en surface . plisé en 90 deg en forme de "T" Qtz rich , pas de lapilli . Vert gris nacré sur cass fraîche , Py , sphalérite ont été observé. Cpy dans minéralisation. Basalte silicifier homogène , Bt 2% , légère schisto 240 deg Az. Tr Py. Bande d'argilite graphiteuse interdigité avec chert. Voir photo.
TRO-18-PRO-265	S649110	524831	5605344	0.05	1.7	139	1180	163	121		15 m au nord de aff 264 environ . Contact N-S entre basalte et shale silicifié graphiteux a l'est et basalte a l'Ouest. Échan de d'argilite graphiteuse 8% Py et 2-3% Cpy . Qualite de l'aff médiocre, bcp de bouette. Pas de photo 10 000 HFR au BM.
TRO-18-PRO-271	S649111	521276	5603628	0.02	0.4	25	102	47	108		Boulder très anguleux dans un champ de bloc 15-20 % Py . Sédiment lithé Qtzeux . Siltstone riche en Qtz, très rouillé.

TRO-18-PRO-280	S649112	535402	5646347	0.01	-0.2	15	44	38	48		V3B , Basalte coussiné bien foncé vert noir sur cass. fraîche , coussin déformé étiré . Plan de schisto 240 Az / 45 deg dip . Bordure de coussin dureté faible 2cm. Bordure très carbonatisée. Très faible mag . Py diss 1 à 2 % . Échantillon 649112 composite Qtz veins et éponte + basalte. Plusieurs morceaux de veine trouvé sur aff en dessous de la mousse mais pas trouvé la source car trop de mousse.
TRO-18-PRO-286	S649113	527849	5641754	-0	-0.2	3	5	3	44		Tuff intermédiaire à mafique, riche en silice , felsique. Lithé avec bande de 0.3 cm à 1.5 cm . Beige et bleuté localement. Leucocrate à mélanocrate sur cass. fraîche. Pas de bloc , non-mag, veine saccadé, boudiné dans tuff suivant la schisto 240 deg. 1-2% diss et amas. Dureté élevé.( Échan.No. 649113 Veine et Tuff )
TRO-18-PRO-293	S649118	539555	5607013	0.02	-0.2	6	41	15	40		Gabbro, massif sauf très schisté au niveau d'un shear zone 1.5 m de part et d'autre du shear zone . Zone de cisaillement très rouillé, ségrégation mineral Px et Plg en lamination intense. Bande à riche en Cl et Amph. Bande de Qtz de 2 cm de large qui passe dans le shear zone entraînant de la silicification. Aff dans le milieu du grid. (Échan. No 649118 de la zone de cisaillement dans le gabbro ) 1-2 % Py-Po. Un flag était déjà sur place avec le numéro R016956 marqué dessus.
TRO-18-PRO-296	S649119	539682	5606718	-0	-0.2	3	4	8	7		
TRO-18-PRO-299	S649120	539463	5605562	0.02	-0.2	16	65	41	1130		Contact entre un gabbro et un argilite 60 deg Az. Il y avait un flag rose pour indiqué une ancienne réponse au BM. ( Échantillon d'éponte gabbro et argilite ) Qualité médiocre.
TRO-18-PRO-300	S649121	539357	5605491	0.01	-0.2	13	169	25	311		Même continuité de la bande de sed. Qualité de l'affleurement médiocre. Parel que aff. 299
TRO-JB-18-002	S649909	514393	5597948	0.01	1.9	25	141	59	74	M4	Affleurement sous 1,5 ft de till, reading BM de 450 Htr avant de creuser. M4 minéralisé (3% Py, 1% Po), oxydé, grains fins, foliation 3-4 orientée N250;sub90. Magnétisme faible a modéré. Pas de réaction é l'acide, silicifications modérées, présence de Biotite.
TRO-JB-18-003	S649910	514405	5597950	0.01	5.4	65	557	121	232	M4	Affleurement décapé de 4m2, avec M4 et I1C minéralisé en Py, Po et Cp ou Bo. Proche de l'échantillon S649152. La minéralisation se situe dans une zone de cisaillement à fort pendage et au contact entre le M4 et le I1C. Les sulfures sont semis-massifs.

TRO-JB-18-006	S649354	515256	5598597	0.01	0.4	37	354	28	87	M4	Bel affleurement d'environ 100m2, avec contact M4-I1c, une S2 orientée à N050/70, parallèle à la direction du contact. Le M4 est à 4-5% Py, très légèrement magnétique, et oxydé. Pas de carbonates, mais silicifications légère à modérée.
TRO-JB-18-008	S649355	515469	5598655	0.01	-0.2	22	50	10	36	M4-M16	Affleurement de 200m2, zone de mélange ou contact ondulant entre I1C et M4, M4 contient encore 4-5% Py finement disséminée et en stringers insérés dans la foliation du M4. Pas de carbonates, silicifications modérée. Foliation ondulante.
TRO-JB-18-029	S649356	521515	5613319	0.03	-0.2	38	190	58	66	V3B	Affleurement de 5m x 2m, on retrouve le V3B à foliation 4 décrit en 026 et 027, avec forte silicification, léger magnétisme. Le reading BM monte à 650 en Hfr. Forte oxydation de surface. Sulfures fins et disséminés en CP-PO. Foliation N086/60
TRO-JB-18-038	S649378	523450	5613083	0.02	2.2	76	1070	165	1480	S3	Boulder très minéralisé, sédimentaire (probablement wacke à grains très fins), siliceux, minéralisations 15%PY, 8%CP, tr BO. Non magnétique. Readings BM 3000Hfr et 2000Lfr avec ratio de 77%.
TRO-JB-18-055	S649357	509805	5620942	0.02	0.2	18	393	26	24	V3B	Même Basalte, avec également des shear zones de 20-30cm d'épaisseur au N100. Présence d'une veine de Qz dans la foliation avec minéralisations en traces Cp Po aux épontes.
TRO-JB-18-055-1	S649358	509906	5620953	0.04	9.1	22	2560	26	168	V3B	Reading BM Lfr 30, échantillon minéralisé très altéré, très oxydé, présence de Cp, Py et de sulfures altéré ressemblant à du Hg ?? Kicke au BM sur 2m x 15m environ et monte à Lfr 30, Hfr 4.
TRO-JB-18-055-2	S649359	509868	5620888	0.02	0.2	7	196	16	13	V3B	Veine de Qz dans un réseau de fractures conjuguées N340;50-N090;80. Minéralisations faibles en Cp, Py.
TRO-JB-18-055-3	S649360	509868	5620888	0.01	0.3	54	552	95	93	V3B	Veine de Qz dans un réseau de fractures conjuguées N340;50-N090;80. Minéralisations faibles en Cp, Py.
TRO-JB-18-056-1	S649361	510051	5620939	0.01	0.4	42	700	57	23	V3B	Affleurement de 20m x 4m. Roche verte bleue, aphanitique et à grains fins, dureté moyenne, non magnétique, non carbonaté. Présence localement d'amphiboles noires et 1-3mm. Pas de coussins visibles, mais textures de refroidissement polygonal. Silicifications modérées. Minéralisations en traces Cp, Po, Bo.



TRO-JB-18-067	S649362	509496	5621232	0.04	0.2	38	594	15	32	I3A	Même affleurement qui confirme qu'il s'agit effectivement d'un gabbro à grains fins, minéralisé à 4-5% Py.
TRO-JB-18-073	S649379	509094	5621260	0.01	0.2	17	314	39	41	T1L	Toujours dans un sédiment volcanoclastique tuffacé à lapillis (5-20cm étirés) et qzo feldspathique à grains moyens. Présence d'amphiboles (10%) et de belles minéralisations localement jusqu'à 3% Cp-Py-Sp-Po. Magnétisme faible, forte S2, Carbonatation faible. S2 N052/80
TRO-JB-18-074	S649380	509071	5621233	0.01	-0.2	15	249	27	35	T1BX	Toujours dans un sédiment volcanoclastique tuffacé mais cette fois ci on distingue plutôt des blocs (bombes volcaniques de 80cm de long environ) et des cristaux de Qz et plagioclases. Toujours belles minéralisation Po-Cp-Sp.
TRO-JB-18-085	S649381	538920	5607976	0.01	0.5	16	126	48	363	S6	Boulder de mudstone-S5, très minéralisé, BM20000. Roche noire très silicifiée à grains très fins, Po et Py-Cp en gros stringers très longs (photo) et ondulants. Boulder de 3m2 et subanguleux donc peu transporté.
TRO-JB-18-086	S649363	538916	5607991	-0	0.5	40	52	28	141	S6-S9	Boulder de Sulfures semi-massifs, Po-Cp 2%, même lithologie que précédemment et situé à 20m de lui environ.
TRO-JB-18-087	S649364	537154	5605477	-0	-0.2	4	65	3	13	QzV	Veine de Quartz légèrement minéralisée en traces de pyrite, subverticale, au N008. Encaissée dans une M16 à grains fins et foliation ondulante.
TRO-JB-18-089	S649382	537364	5605480	0.02	-0.2	54	53	17	692	S9 ?	Blocs sortis par la silloneuse, très anguleux et semblant de même composition que l'horizon sédimentaire précédent, très silicifié, presque cherteux. Sulfure semi massif à massif, avec en majorité Py-Po, mais localement présence de 5% de minéraux économiques Sp-Cp-Bo.
TRO-JB-18-090	S649365	537395	5605493	0.01	-0.2	20	267	20	43	I3A	Affleurement de Gabbro avec 2% minéralisation environ, Présence de Cu ? On est à quelques mètres au Nord de l'horizon S9 minéralisé.
TRO-JB-18-092	952447	532098	5636786	-0	-0.2	20	1	97	23	VnQz	Veine de Quartz de 20-30cm de puissance et plissée encaissée dans un gabbro amphibolitisé à grains fins. Pas de minéralisations significatives visibles, pas de tourmaline, pas de fuchsite.

TRO-JB-18-099	952442	532790	5635535	-0	-0.2	35	124	71	90	13A	Affleurement de 5 x4m, de gabbro, medium to coarse grained, vert foncé et leucocrate, amphiboles 30-40% centimétriques jusqu'à 3cm de longueur. Texture subophitique. 5% de Qz bleus 3mm subautomorphes. Typique d'u Fe-tholeitic gabbro. Photos. Graphitique ??? Non magnétique, carbonatation en veinules modérée.
TRO-JB-18-105	S650174	530684	5631038	-0	-0.2	89	2	1310	8	14I	Boulder métrique arrondi. Beepmat sonne conducteur et mag en m^me temps, 8000 Hfr et 8000 Magnétique, la roche est verte très foncée, avec présence de reliques d'olivine qui sont serpentinisée. La serpentine est localement fibreuse. Chloritisation modérée. La péridotite est traversée par de fines veinules/veines centimétriques de magnétite massive (Photos).
TRO-JB-18-106	S650175	530918	5631037	0.01	-0.2	95	1	790	8	14I	Affleurement de 5 x 50m environ, le Beepmat sonne partout en mag et en conducteur. Il s'agit de la même péridotite que sur le boulder trouvé au 18-105. la roche est verte très foncée, avec présence de reliques d'olivine qui sont serpentinisée. Présence également de Pyroxènes. La serpentine est localement fibreuse. Chloritisation modérée. La péridotite est traversée par de fines veinules/veines centimétriques de magnétite massive. Minéralisations en pentlandite disséminée (2%) et Po (2%). Possibilité de minéralisations en EGP.
TRO-JB-18-106-1	S650176	530918	5631037	0.01	-0.2	81	9	955	36	14I	Affleurement de 5 x 50m environ, le Beepmat sonne partout en mag et en conducteur. Il s'agit de la même péridotite que sur le boulder trouvé au 18-105. la roche est verte très foncée, avec présence de reliques d'olivine qui sont serpentinisée. Présence également de Pyroxènes. La serpentine est localement fibreuse. Chloritisation modérée. La péridotite est traversée par de fines veinules/veines centimétriques de magnétite massive. Minéralisations en pentlandite disséminée (2%) et Po (2%). Possibilité de minéralisations en EGP.

TRO-JB-18-106-2	S650177	530918	5631037	0.01	0.4	201	3	1745	10	I4I	<p>Affleurement 80 x 50m environ, le Decpinau sonne partout en mag et en conducteur. Il s'agit de la même péridotite que sur le boulder trouvé au 18-105. la roche est verte très foncée, avec présence de reliques d'olivine qui sont serpentinisées.</p> <p>Présence également de Pyroxènes. La serpentine est localement fibreuse. Chloritisation modérée. La péridotite est traversée par de fines veinules/veines centimétriques de magnétite massive. Minéralisations en pentlandite disséminée (2%) et Po (2%). Possibilité de minéralisations en EGP.</p>
TRO-JB-18-109	S650178	530725	5630868	-0	-0.2	108	-1	998	9	I4I	<p>Affleurement de très mauvaise qualité, multiblocs mais sub en place. I4I, similaire aux affleurements 18-106 à 18-108, riche en veinules de magnétite et minéralisé avec Pe Po. Les veines-veinules de magnétite n'ont pas d'orientation préférentielle. Olivine a plus de 60% avec serpentinisations et possiblement du talc. Minéralisations faibles.</p>
TRO-JB-18-110	S650179	530733	5630912	-0	-0.2	109	2	858	7	I4I	<p>Affleurement pluridécimétrique (75 x 25m) de péridotite encore très magnétique et conducteur (8000mag et 2000 Hfr). Même composition que 18-106 à 18-109, à savoir Olivine, pyroxènes, serpentine, chlorite et talc, traversé par un réseau de veines veinules centimétriques de magnétite, mais ici également en placages. Présence de sulfures disséminés de 2-3%. Croûte d'altération rosée.</p>

TRO-JB-18-113	S650067	532157	5636711	0.22	3.3	70	8210	110	62	QzV	<p>Veine de Quartz très minéralisée avec Py-Cp, similaire au showing Cu-Co au voisinage de cette veine. Encaissée dans un basalte vert clair à grains fins et varioles millimétriques de plagioclases. Cette veine se trouve au contact d'un basalte et d'un gabbro amphibolitisé à grains moyens. Elle est ramifiée en 3 à 4 veines de 10 à 40 cm de puissance, encore une fois montre de très belles minéralisations, et est orientée subverticalement au N060. Pas d'échantillon malheureusement car on n'avait pas de matériel, on était simplement partis ramener la chaloupe et nous avons décidé de repasser dans la zone au dernier moment, il serait important de revenir échantillonner cette veine.</p> <p>De retour, plusieurs mesures de directions et échantillonnages. La veine se trouve être très démembrées mais avec un trend moyen au N060. On imagine qu'il y a une grosse injection de Quartz minéralisé entre cette veine et le showing cu-co voisin qui est à peu près au N060 de celle ci. L'anomalie EM sous l'eau entre les 2 îles doit très probablement être due à cette injection de Quartz minéralisé. La veine est démembrée et ramifiée, et se situe dans un basalte entouré de gabbros. On peut supposer une mise en place de cette veine au contact du basalte et du gabbro, ou une zone de fracturation. Très belles minéralisations jusqu'à 15% Cp localement, avec sphalérite et oxydation de la Cp en malachite, signe de forte teneur en Cu.</p> <p>N052-65 N060-68 N062-50 N082-70</p>
---------------	---------	--------	---------	------	-----	----	------	-----	----	-----	---

TRO-JB-18-113-1	S650068	532158	5636711	0.24	4.6	73	9930	138	73	QzV	<p>Veine de Quartz très minéralisée avec Py-Cp, similaire au showing Cu-Co au voisinage de cette veine. Encaissée dans un basalte vert clair à grains fins et varioles millimétriques de plagioclases. Cette veine se trouve au contact d'un basalte et d'un gabbro amphibolitisé à grains moyens. Elle est ramifiée en 3 à 4 veines de 10 à 40 cm de puissance, encore une fois montre de très belles minéralisations, et est orientée subverticalement au N060. Pas d'échantillon malheureusement car on n'avait pas de matériel, on était simplement partis ramener la chaloupe et nous avons décidé de repasser dans la zone au dernier moment, il serait important de revenir échantillonner cette veine.</p> <p>De retour, plusieurs mesures de directions et échantillonnages. La veine se trouve être très démembrées mais avec un trend moyen au N060. On imagine qu'il y a une grosse injection de Quartz minéralisé entre cette veine et le showing cu-co voisin qui est à peu près au N060 de celle ci. L'anomalie EM sous l'eau entre les 2 îles doit très probablement être due à cette injection de Quartz minéralisé. La veine est démembrée et ramifiée, et se situe dans un basalte entouré de gabbros. On peut supposer une mise en place de cette veine au contact du basalte et du gabbro, ou une zone de fracturation. Très belles minéralisations jusqu'à 15% Cp localement, avec sphalérite et oxydation de la Cp en malachite, signe de forte teneur en Cu.</p> <p>N052-65 N060-68 N062-50 N082-70</p>
-----------------	---------	--------	---------	------	-----	----	------	-----	----	-----	---

TRO-JB-18-113-2	S650069	532159	5636711	0.01	0.2	14	404	15	12	QzV	<p>Veine de Quartz très minéralisée avec Py-Cp, similaire au showing Cu-Co au voisinage de cette veine. Encaissée dans un basalte vert clair à grains fins et varioles millimétriques de plagioclases. Cette veine se trouve au contact d'un basalte et d'un gabbro amphibolitisé à grains moyens. Elle est ramifiée en 3 à 4 veines de 10 à 40 cm de puissance, encore une fois montre de très belles minéralisations, et est orientée subverticalement au N060. Pas d'échantillon malheureusement car on n'avait pas de matériel, on était simplement partis ramener la chaloupe et nous avons décidé de repasser dans la zone au dernier moment, il serait important de revenir échantillonner cette veine.</p> <p>De retour, plusieurs mesures de directions et échantillonnages. La veine se trouve être très démembrées mais avec un trend moyen au N060. On imagine qu'il y a une grosse injection de Quartz minéralisé entre cette veine et le showing cu-co voisin qui est à peu près au N060 de celle ci. L'anomalie EM sous l'eau entre les 2 îles doit très probablement être due à cette injection de Quartz minéralisé. La veine est démembrée et ramifiée, et se situe dans un basalte entouré de gabbros. On peut supposer une mise en place de cette veine au contact du basalte et du gabbro, ou une zone de fracturation. Très belles minéralisations jusqu'à 15% Cp localement, avec sphalérite et oxydation de la Cp en malachite, signe de forte teneur en Cu.</p> <p>N052-65 N060-68 N062-50 N082-70</p>
-----------------	---------	--------	---------	------	-----	----	-----	----	----	-----	---

TRO-JB-18-113-3	S650070	532157	5636712	0.16	2.5	26	4160	38	23	QzV	<p>Veine de Quartz très minéralisée avec Py-Cp, similaire au showing Cu-Co au voisinage de cette veine. Encaissée dans un basalte vert clair à grains fins et varioles millimétriques de plagioclases. Cette veine se trouve au contact d'un basalte et d'un gabbro amphibolitisé à grains moyens. Elle est ramifiée en 3 à 4 veines de 10 à 40 cm de puissance, encore une fois montre de très belles minéralisations, et est orientée subverticalement au N060. Pas d'échantillon malheureusement car on n'avait pas de matériel, on était simplement partis ramener la chaloupe et nous avons décidé de repasser dans la zone au dernier moment, il serait important de revenir échantillonner cette veine.</p> <p>De retour, plusieurs mesures de directions et échantillonnages. La veine se trouve être très démembrées mais avec un trend moyen au N060. On imagine qu'il y a une grosse injection de Quartz minéralisé entre cette veine et le showing cu-co voisin qui est à peu près au N060 de celle ci. L'anomalie EM sous l'eau entre les 2 îles doit très probablement être due à cette injection de Quartz minéralisé. La veine est démembrée et ramifiée, et se situe dans un basalte entouré de gabbros. On peut supposer une mise en place de cette veine au contact du basalte et du gabbro, ou une zone de fracturation. Très belles minéralisations jusqu'à 15% Cp localement, avec sphalérite et oxydation de la Cp en malachite, signe de forte teneur en Cu.</p> <p>N052-65 N060-68 N062-50 N082-70</p>
-----------------	---------	--------	---------	------	-----	----	------	----	----	-----	---

TRO-JB-18-113-4	S650071	532157	5636713	-0	-0.2	1	2	3	3	QzV	<p>Veine de Quartz très minéralisée avec Py-Cp, similaire au showing Cu-Co au voisinage de cette veine. Encaissée dans un basalte vert clair à grains fins et varioles millimétriques de plagioclases. Cette veine se trouve au contact d'un basalte et d'un gabbro amphibolitisé à grains moyens. Elle est ramifiée en 3 à 4 veines de 10 à 40 cm de puissance, encore une fois montre de très belles minéralisations, et est orientée subverticalement au N060. Pas d'échantillon malheureusement car on n'avait pas de matériel, on était simplement partis ramener la chaloupe et nous avons décider de repasser dans la zone au dernier moment, il serait important de revenir échantillonner cette veine.</p> <p>De retour, plusieurs mesures de directions et échantillonnages. La veine se trouve être très démembrées mais avec un trend moyen au N060. On imagine qu'il y a une grosse injection de Quartz minéralisé entre cette veine et le showing cu-co voisin qui est à peu près au N060 de celle ci. L'anomalie EM sous l'eau entre les 2 îles doit très probablement être due à cette injection de Quartz minéralisé. La veine est démembrée et ramifiée, et se situe dans un basalte entouré de gabbros. On peut supposer une mise en place de cette veine au contact du basalte et du gabbro, ou une zone de fracturation. Très belles minéralisations jusqu'à 15% Cp localement, avec sphalérite et oxydation de la Cp en malachite, signe de forte teneur en Cu.</p> <p>N052-65 N060-68 N062-50 N082-70</p>
-----------------	---------	--------	---------	----	------	---	---	---	---	-----	--



TRO-JB-18-117	S650189	522665	5604369	0.02	1.2	227	1220	141	381	S3	Affleurement de bord de lac de 8 x 2m environ, exhibant 2 lithologies différentes ; Une roche noire métallique molle avec sulfures en placages et majoritairement en stringers de Py-Po et Cp. Présence de graphite. Argilite ou mudstone graphiteux. Au contact d'une lave ou tuf felsique, montrant lui aussi de belles minéralisations en Py-Cp environ 10-15% associées à des veinules de Quartz de 1-3mm sans directions préférentielle. Minéralisations encore en stringers et plus rarement disséminées. Ce tuf est possiblement le même que celui présent au rainurage 18-115.
TRO-JB-18-119	S650190	522454	5604488	0.01	0.3	46	144	66	784	S3	Roche noire, sans grains, litage à N320/80 avec stringers Py-Po-Mt-Sp, près de 20% de minéralisations, la roche montre des lits fins de 5-8mm d'épais de mudstone, interdigités avec des lits légèrement plus épais (8-15mm) Quartzo-feldspathiques.
TRO-JB-18-121	S650191	522184	5604369	0.01	-0.2	28	216	54	1000	V3B	Roche verte laminee, lits localement rouge bordeaux, avec silicifications fortes et minéralisations faibles très locales (présence de Sphalérite ou de galène ?), présence de veinules de calcite. S0-S2 orientée à N278/85. Aphanitique to fine grained. Au contact orienté N108-61, d'un S6 graphiteux, similaire à ce qui a été observé à l'affleurement 18-119 avec traces de Pyrite disséminée.
TRO-JB-18-124	S650053	519046	5604479	0.04	1.2	82	645	154	281	V3B/M16	Affleurement de 15 x 30m, steep, au bord d'un lac sur un cran de environ 30m de haut. Assemblage volcano-sédimentaire localement rouillé avec veines de Quartz localement et un niveau de tuf felsique de 50-60cm de puissance inséré dans la S2. La roche est très laminée avec souvent une discrimination mélano et leucocrate en lits de 2-10mm d'épaisseur environ. Amphibolitisation modérée à forte. On voit un V3B/M16 interdigité avec des S3/S6. Pas de carbonatation, magnétisme faible. Minéralisation en général fines et disséminées à environ 2-5% Po +- Cp. Localement on a des horizons très rouillés dans le V3B-M16 avec 20-25% Po et 2% Cp environ. S2 ondulante autour de N280/62 et N244-70

TRO-JB-18-130	S650054	518051	5604355	0.01	0.3	44	641	77	50	V3B	Continuité de la même lithologie que 18-129, à savoir un V3B à grains fins, silicifié et amphibolitisé avec laminations. Fo3 au N082/73. Affleurement de 8m x 6m en dos d'éléphant. Pas de minéralisations, léger magnétisme et pas de carbonates. La foliation est ondulante à l'échelle de l'affleurement, on la mesure également à N068-70.
TRO-JB-18-133	S650055	517750	5604228	0.01	-0.2	16	403	34	42	V3B	Affleurement de 10 x 5m, plat, continuité encore du basalte, ici à grains fins, silicifié plus ou moins, avec une amphibolitisation modérée à forte. Laminations et foliation 3-4, on observe localement une ségrégation en lits centimétriques blancs, plus silicifiés, et noirs, plus amphibolitisés. Minéralisations très fines en stringers et-ou disséminées en Py-Po et Cp-Bo. Localement 1-2% de sulfures. Foliation orientée à N070/84.
TRO-JB-18-142	S650064	538242	5622708	0.01	0.4	356	460	133	30	V3B	Affleurement de 4 x 2m, sonne au beepmat 3000Hfr. Basalte vert aphanitique à grains très fins de plagioclases. Foliation bien marquée, minéralisations en stringers 20% Py-Po. Orienté au N124/84. Zone rouillée de 20-30cm de puissance dans un shear zone. Magnétisme faible. Pas de carbonates.
TRO-JB-18-144	S650065	510214	5618082	-0	-0.2	66	15	489	56	I4I	Affleurement de 8 x 2m environ, en dos d'éléphant, intrusif ultramafique à grains fins à moyens, présence d'olivine très légèrement serpentinisée et de Pyroxènes légèrement amphibolitisés. Magnétisme très fort, présence de magnétite 3-5%. Traces à 2% de Po-Py disséminée finement. Croûte d'altération ocre à rougeâtre. BM4000 Mag environ. Pas de carbonates
TRO-JB-18-151	S650060	536568	5647602	0.01	0.4	41	385	89	2840	V3B	Affleurement de 5 x 2m de V3B laminaire-rubane, similaire à 18-150. Sonne à 1500Hfr sur un spot et à 1200Hfr à 25 de là. Dans les 2 cas, on trouve des shear bands de 20-40cm de puissance fortement oxydés. Après décapage le premier spot indique 5000Hfr à l'endroit échantillonné. Présence de stringers 10-15%Po-Py et disséminées, magnétisme modéré, pas de carbonates. Foliation orientée N242/80. légèrement ondulante.

TRO-JB-18-152	S650061	536568	5647602	1.67	0.9	30	297	80	178	V3B	<p>Affleurement decape de 5 x 2m de V3B lamine-rubane, similaire à 18-150. Sonne à 1500Hfr sur un spot et à 1200Hfr à 25 de là. Dans les 2 cas, on trouve des shear bands de 20-40cm de puissance fortement oxydés. Après décapage le premier spot indique 5000Hfr à l'endroit échantillonné.</p> <p>Présence de stringers 10-15%Po-Py et disséminées, magnétisme modéré, pas de carbonates. Foliation orientée N242/80. légèrement ondulante.</p>
TRO-JB-18-156	S650062	536644	5647512	0.01	-0.2	36	77	136	257	I3A	<p>Gabbro à grains fins, amphibolitisé, laminé, vert. BM répond à 900Hfr sur des laminations oxydées avec minéralisations en Py-Cp en fins stringers, 3-5%. Shear orienté N247-66</p>
TRO-JB-18-159	S650063	536814	5647304	-0	-0.2	79	125	110	169	V3B	<p>Basalte aphanitique vert massif mais avec légère foliation minérales et faibles minéralisations en stringers Po très magnétiques. 2-3% Sf. Affleurement caché sous de la mousse, 5 x 2m, fenêtre de 1 x 1m.</p>

**Appendix V : Lithium results (Li-OG63)**

NoOutcrop	NoSample	Zone	UTME	UTMN	Li_%	Projet	Litho1	Lithologie	Litho2	Mineralization	Comments	Compagny
TRO-JB-18-013	S649301	18	507097	5618447	0,023	TROILUS	I1G	Affleurement de 15m x 3 de pegmatite contenant Qz, Fp, Bt, Ms. Pas de traces de spodumène ni Lépidotite, mais avec 30% de micas pluricentimétriques et hexagonaux vert pâle à foncé.				Beaufield Ressources
TRO-JB-18-016	S649302	18	507015	5618525	0,478	TROILUS	I1G	Affleurement massif de 50m de long x 20m de large environ avec une pegmatite encaissée dans un V3B à foliation subverticale au N235. La pegmatite est massive et affleure sur 75% de l'affleurement environ. Elle porte Qz, Fp, Micas (Biotite, Muscovite, lépidotite). Présence de spodumènes. CG, MA. Affleurement très intéressant à potentiel en Li/Rb. S649302 à SP. S649303 à LE.	V3B	SP-LE		Beaufield Ressources
TRO-JB-18-016-1	S649303	18	507015	5618525	0,351	TROILUS	I1G	Affleurement massif de 50m de long x 20m de large environ avec une pegmatite encaissée dans un V3B à foliation subverticale au N235. La pegmatite est massive et affleure sur 75% de l'affleurement environ. Elle porte Qz, Fp, Micas (Biotite, Muscovite, lépidotite). Présence de spodumènes. CG, MA. Affleurement très intéressant à potentiel en Li/Rb. S649302 à SP. S649303 à LE.	V3B	SP-LE		Beaufield Ressources
TRO-JB-18-017	S649304	18	507000	5618490	0,017	TROILUS	V3B	Le Basalte est injecté comme un dyke dans la pegmatite, suggérant une nature plutôt intrusive et est donc possiblement un gabbro très aphanitique. Echantillon pour tester les micas présents dans la pegmatite.	I1G			Beaufield Ressources

**Appendix VI : Geochemistry results (ME-XRF26)**

Affleurement	Sample	UTME	UTMN	Al2O3_ %	BaO_ %	CaO_ %	Cr2O3_ %	Fe2O3_ %	K2O_ %	MgO_ %	MnO_ %	Na2O_ %	P2O5_ %	SO3_ %	SiO2_ %	SrO_ %	TiO2_ %	Total_ %	LOI 1000_ %	Litho	Lithologie
TRO-PDT-18-059	S649463	510453	5622406	13.86	0.01	8.96	0.02	13.66	0.17	7.17	0.2	2.53	0.1	0.37	50.27	0.02	1.14	99.01	0.39	V3B	Aff de 20m2, non loin de l'aff 057 qui est composé de de V3B à grain fin avec des sf diss et en amas à 2-3%
TRO-PDT-18-063	S649464	510483	5622108	13.86	0.02	10.2	0.01	15.61	0.22	4.99	0.24	1.64	0.11	1.2	50.69	0.02	1.36	101	0.62	V3B	Aff réalisé sous la forte pluie. Il semble s'agir d'un V3B noir verdâtre à grain fin/aphanitique.
TRO-PDT-18-068	S649465	509766	5620520	13.58	0.02	11.1	0.03	12.27	0.28	7.02	0.18	1.88	0.07	0.15	51.67	0.02	0.93	99.92	0.59	V3B	Aff éparpillé sur 75-100m2 en fauchage de pente composée de V3B à grain fin, coussiné et localement massif
TRO-PDT-18-071	S649466	509555	5620606	13.3	0.02	10.7	0.02	14.26	0.21	6.5	0.21	1.94	0.09	0.03	50.8	0.02	1.07	99.71	0.39	V3B	Aff >200m2 de V3B à grain fin, homogène, massif, coussiné avec une très légère silicification
TRO-PDT-18-072	S649467	508906	5620434	10.96	0.01	14.8	0.03	11.86	0.13	6.83	0.2	0.22	0.06	0.02	52.43	0.01	0.83	99.6	1.09	V3B	Aff de 20-30m2 en relief composé de V3B à grain fin, homogène et massif. La rx est de couleur vert foncé en cassure fraîche.
TRO-PDT-18-074-1	S649468	508750	5620647	12.72	0.04	1.36	-0.01	6.24	1.78	2.59	0.06	3.29	0.2	-0	69.09	0.01	0.38	99.06	1.27	S6A	Siltstone au contact NE avec le S6 minéralisé
TRO-JB-18-056	S649469	510051	5620939	13.66	0.01	11.2	0.06	12.44	0.16	9.03	0.22	1.62	0.03	0.02	49.09	0.01	0.61	99.53	1.23	V3B	Affleurement de 20m x 4m. Roche verte bleue, aphanitique et à grains fins, dureté moyenne, non magnétique, non carbonaté. Présence localement d'amphiboles noires et 1-3mm. Pas de coussins visibles, mais textures de refroidissement polygonal. Silicifications modérées. Minéralisations en traces Cp, Po, Bo.
TRO-PDT-18-074-2	S649470	508750	5620648	13.88	0.03	9.35	0.01	13.92	0.42	5.36	0.24	0.66	0.11	3.27	51.99	0.02	1.38	103	2.18	V3B	V3B au contact SO du S6 minéralisé
TRO-PDT-18-082	S649471	508889	5620992	13.54	0.02	10.05	0.02	12.72	0.33	6.55	0.21	3.11	0.07	0.01	51.07	0.02	0.97	99.37	0.55	V3B	V3B à grain fin, homogène vert noirâtre
TRO-PDT-18-086	S649472	510944	5620164	13.91	0.02	8.46	0.01	13.36	0.69	6.43	0.18	2.67	0.1	0.22	51.67	0.02	1.13	100.1	1.06	V3B	Ech de V3B dans la portion NW de Toriny pour analyse litho
TRO-PDT-18-087	S649473	511032	5620119	14.08	0.01	11.1	0.05	12.08	0.23	8.86	0.17	0.74	0.03	0.09	50.06	0.01	0.59	99.17	0.96	V3B	Ech de V3B dans la portion SES de Tortiny pour analyse litho
TRO-PDT-18-089	S649474	526810	5641339	14.94	0.01	7.65	0.08	7.39	0.07	11.15	0.14	3.59	0.01	0.03	51.06	0.01	0.2	99.63	3.2	I3A	Aff de I3A en relief de 15m2 similaire à 088. Il s'agit d'une rx massive, avec un corridor de déformation décimétrique où la roche est très foliée.
TRO-PDT-18-103	S649475	530533	5637064	14.21	0.01	8.69	0.03	14	0.12	5.93	0.2	2.35	0.12	0.52	49.5	0.01	1.44	99.97	2.67	V2J (TU)	Aff de 100-150m2 en relief composé de V2J (TU) à 99%.
TRO-JB-18-090-1	S649476	537394	5605493	14.35	0.02	8.19	0.02	14.78	0.16	4.64	0.19	3.27	0.14	0.42	50.59	0.02	1.67	99.28	0.66	I3A	Affleurement de Gabbro avec 2% minéralisation environ, Présence de Cu ? On est à quelques mètres au Nord de l'horizon S9 minéralisé.

TRO-JB-18-057	S649477	510033	5621175	12.82	0.01	10.95	0.1	12.79	0.09	10.5	0.2	1.58	0.03	0.06	49.22	0.01	0.55	99.96	0.91	V3B	Basalte aphanitique vert, sans coussins, peu altéré (Silicifications faibles). Pas de magnétisme ni Carbonates, dureté moyenne
TRO-JB-18-088	S649478	537265	5605480	13.86	0.02	6.74	0.03	15.16	0.11	6.28	0.27	3.74	0.14	0.16	51.53	0.03	1.62	99.92	0.08	S6	Affleurement important avec 3 types de roches différentes. Au sud, une roche verte volcanique, aphanitique, mafique, non magnétique et non carbonaté. V3B Une roche noire intrusive amphibolitisée noire verdâtre, à grains fins à moyens, foliée au N037/75. Riche en amphiboles, magnétique localement. I3A. Entre ces 2 horizons, un horizon semblant sédimentaire, noire, silicifiée, non carbonatée, et sur 1m50 d'épaisseur environ. Cet horizon est minéralisé à 15-20% Py-Cp. Voir dessin.
TRO-JB-18-059	S649479	509346	5621577	13.64	0.02	11.3	0.02	13.26	0.23	6.13	0.21	1.16	0.08	0.01	51.61	0.02	1.02	99.83	0.99	T2B ; V3B	Affleurement énorme à l'échelle de la colline, Roche verte aphanitique, non carbonatée, non magnétique. Présence de coussins étirés ou de blocs dans des plans de foliation très marqués et qui semblent être sédimentaires. Pas de minéralisations, silicifications modérées. Tuf ?. S2 N065;85.
TRO-JB-18-060	S649480	509331	5621420	13.78	0.02	9.83	0.02	12.91	0.18	7.02	0.18	2.73	0.08	0.25	50.6	0.02	1	99.27	0.52	V3B	Même roche mais semble ici être un basalte aphanitique avec de légères minéralisations en Py-Po. Echantillon pour lithologie.
TRO-JB-18-061	S649481	510243	5621426	14.26	0.01	11.7	0.01	12.1	0.23	8.64	0.21	1.44	0.03	0.1	49.49	0.01	0.54	99.75	0.85	V3B	Basalte aphanitique à grains fins millimétriques, texture variolaire avec varioles submillimétriques de plagioclases et 10% amphiboles de 3-4mm de long. Echantillon pour litho. C'est un affleurement sur un début de flanc de colline sur une logne de swamp, mais il pourrait très probablement être relié à 056 et 057.

TRO-JB-18-066	S649482	509461	5621270	11.93	0.02	12.85	0.05	10.42	0.29	11.6	0.19	1.01	0.02	0.01	49.7	0.01	0.4	99.98	1.36	I3A	Gros affleurement de 100m x 40m environ, Rochen verte à grains fins, très silicifiée, à amphiboles ? Px ? Ressemble à un basalte mais la croûte d'altération montre qu'on est peut-être dans un gabbro aphanitique ou alors dont la fabrique originale est trop altérée. Veines de Quartz sèches centimétriques dans un réseau de fractures N-S.
TRO-JB-18-068	S649483	509376	5621346	12.28	0.02	8.77	0.01	15.94	0.23	6.42	0.23	1.84	0.1	0.18	51.61	0.02	1.23	99.73	0.71	V3B	Roche verte aphanitique légèrement silicifiée, non magnétique, non carbonatée, légère oxydation mais pas de minéralisation. Pas de textures à l'affleurement. Foliation locale sur des bandes de 30cm, S2 N040 ; 90.
TRO-PDT-18-143	S649484	531800	5636572	16.62	0.01	11.55	0.11	9.34	0.06	10.3	0.15	1.6	0.03	0.03	45.72	0.02	0.45	99.51	3.4	I3A	I3A leucocrate, à grain grossier, massif et homogène.
TRO-PDT-18-262	S649486	538004	5605650	13.98	0.02	7.11	0.01	14.22	0.22	4.66	0.19	3.8	0.13	0.67	52.81	0.02	1.62	100.1	0.5	I3A	Aff en relief de 10m2 constituée à 99% de I3A à grain fin/moyen, massif et homogène. Ce I3A est plus classique avec une rx moyennement grenu, massive et homogène sans bréchification.



**Appendix VII : Analyses certificates**



ALS Canada Ltd.  
 2103 Dollarton Hwy  
 North Vancouver BC V7H 0A7  
 Phone: +1 (604) 984 0221 Fax: +1 (604) 984 0218  
 www.alsglobal.com/geochemistry

To: **BEAUFIELD RESOURCES INC.**  
**3208 RICHMOND ROAD**  
**OTTAWA ON K2H 5B6**

Page: 1  
 Total # Pages: 3 (A - C)  
 Plus Appendix Pages  
 Finalized Date: 24-JUL-2018  
 Account: RESBEA

**CERTIFICATE VO18152364**

Project: URBAN ROULEAU 2018

This report is for 71 Rock samples submitted to our lab in Val d'Or, QC, Canada on 13-JUL-2018.

The following have access to data associated with this certificate:

MATHIEU STEPHENS		
------------------	--	--

SAMPLE PREPARATION	
ALS CODE	DESCRIPTION
WEI-21	Received Sample Weight
LOG-22	Sample login - Rcd w/o BarCode
CRU-QC	Crushing QC Test
PUL-QC	Pulverizing QC Test
CRU-31	Fine crushing - 70% <2mm
SPL-21	Split sample - riffle splitter
PUL-31	Pulverize split to 85% <75 um
LOG-24	Pulp Login - Rcd w/o Barcode

ANALYTICAL PROCEDURES		
ALS CODE	DESCRIPTION	INSTRUMENT
Au-GRA22	Au 50 g FA-GRAV finish	WST-SIM
Au-AA23	Au 30g FA-AA finish	AAS
ME-ICP41	35 Element Aqua Regia ICP-AES	ICP-AES

This is the Final Report and supersedes any preliminary report with this certificate number. Results apply to samples as submitted. All pages of this report have been checked and approved for release.

\*\*\*\*\* See Appendix Page for comments regarding this certificate \*\*\*\*\*

Signature:   
 Colin Ramshaw, Vancouver Laboratory Manager



ALS Canada Ltd.  
 2103 Dollarton Hwy  
 North Vancouver BC V7H 0A7  
 Phone: +1 (604) 984 0221 Fax: +1 (604) 984 0218  
 www.alsglobal.com/geochemistry

To: BEAUFIELD RESOURCES INC.  
 3208 RICHMOND ROAD  
 OTTAWA ON K2H 5B6

Page: 2 - A  
 Total # Pages: 3 (A - C)  
 Plus Appendix Pages  
 Finalized Date: 24-JUL-2018  
 Account: RESBEA

Project: URBAN ROULEAU 2018

**CERTIFICATE OF ANALYSIS VO18152364**

Sample Description	Method Analyte Units LOD	WEI-21	Au-AA23	Au-GRA22	ME-ICP41	ME-ICP41	ME-ICP41	ME-ICP41	ME-ICP41	ME-ICP41	ME-ICP41	ME-ICP41	ME-ICP41	ME-ICP41	ME-ICP41	
		Recvd Wt. kg	Au ppm	Au ppm	Ag ppm	Al %	As ppm	B ppm	Ba ppm	Be ppm	Bi ppm	Ca %	Cd ppm	Co ppm	Cr ppm	Cu ppm
		0.02	0.005	0.05	0.2	0.01	2	10	10	0.5	2	0.01	0.5	1	1	1
W952402		1.00	<0.005		<0.2	4.11	5	<10	50	<0.5	<2	3.57	<0.5	33	29	72
W952403		0.78	<0.005		<0.2	1.61	2	<10	30	<0.5	<2	0.03	<0.5	21	46	19
W952404		0.39	<0.005		<0.2	1.04	4	<10	70	<0.5	<2	0.23	<0.5	16	88	6
W952405		1.12	<0.005		<0.2	1.21	<2	<10	40	<0.5	<2	3.42	<0.5	26	134	55
W952406		1.19	<0.005		<0.2	0.47	4	<10	30	<0.5	<2	0.53	<0.5	7	22	4
W952407		1.19	<0.005		<0.2	2.03	<2	<10	80	<0.5	<2	4.74	<0.5	28	70	63
W952408		0.77	<0.005		<0.2	0.13	<2	<10	<10	<0.5	<2	0.05	<0.5	1	16	7
W952409		0.56	<0.005		<0.2	3.75	3	<10	40	<0.5	<2	4.41	<0.5	36	54	31
W952410		0.68	<0.005		<0.2	3.40	5	<10	30	<0.5	<2	3.51	<0.5	29	87	61
W952411		1.04	<0.005		<0.2	4.03	3	10	<10	<0.5	<2	2.72	<0.5	46	26	87
W952412		0.88	<0.005		<0.2	2.77	14	<10	30	<0.5	<2	2.97	<0.5	39	352	54
W952413		1.58	<0.005		<0.2	0.12	<2	<10	<10	<0.5	<2	4.20	<0.5	2	16	122
W952414		0.32	<0.005		<0.2	0.38	<2	<10	20	<0.5	<2	0.08	<0.5	3	13	4
W952415		0.51	0.009		<0.2	0.81	2	<10	30	<0.5	<2	0.41	<0.5	7	18	5
W952416		1.36	<0.005		<0.2	2.77	9	<10	<10	<0.5	2	3.54	<0.5	34	357	64
W952417		0.29	<0.005		<0.2	0.83	<2	<10	30	<0.5	<2	0.33	<0.5	6	18	9
W952418		0.87	<0.005		<0.2	1.24	<2	<10	10	<0.5	<2	0.86	<0.5	12	29	33
W952419		0.44	<0.005		<0.2	1.45	6	<10	30	<0.5	<2	0.80	<0.5	12	23	47
W952420		0.46	<0.005		<0.2	3.43	12	<10	20	<0.5	<2	0.79	<0.5	29	88	68
W952421		0.72	<0.005		<0.2	4.10	2	<10	410	<0.5	3	0.86	<0.5	43	17	18
W952422		0.07	6.43	6.58	1.4	2.84	57	10	40	<0.5	<2	2.91	<0.5	29	391	124
S649201		1.13	<0.005		<0.2	3.05	2	<10	50	<0.5	<2	1.24	<0.5	29	9	54
S649202		1.29	<0.005		<0.2	1.29	<2	<10	40	<0.5	<2	0.33	<0.5	22	11	15
S649203		1.67	<0.005		<0.2	0.93	<2	<10	30	<0.5	<2	0.48	<0.5	10	16	27
S649204		1.31	<0.005		<0.2	3.07	25	<10	50	<0.5	<2	1.31	<0.5	47	46	91
S649205		1.35	<0.005		<0.2	0.22	3	<10	10	<0.5	<2	0.07	<0.5	1	14	8
S649206		1.32	<0.005		<0.2	0.45	2	<10	10	<0.5	<2	0.02	<0.5	3	20	2
S649207		1.39	<0.005		<0.2	2.85	3	<10	30	<0.5	<2	0.03	<0.5	5	26	42
S649208		0.93	<0.005		<0.2	0.31	<2	<10	<10	<0.5	<2	0.19	<0.5	3	11	8
S649209		1.20	0.006		0.7	2.75	2	<10	10	<0.5	<2	<0.01	1.7	4	35	110
S649210		0.85	<0.005		<0.2	1.05	8	<10	10	<0.5	<2	0.17	<0.5	11	183	4
S649211		0.75	<0.005		<0.2	4.63	<2	<10	30	<0.5	<2	3.12	<0.5	31	118	29
S649212		0.69	<0.005		<0.2	0.28	<2	<10	<10	<0.5	<2	0.10	<0.5	4	14	8
S649213		0.59	<0.005		<0.2	0.09	<2	<10	10	<0.5	<2	0.02	<0.5	1	10	2
S649214		1.28	<0.005		<0.2	5.05	<2	10	20	<0.5	<2	2.48	<0.5	19	59	36
S649215		0.38	<0.005		<0.2	0.03	<2	<10	20	<0.5	<2	>25.0	<0.5	<1	1	<1
S649216		0.47	<0.005		<0.2	0.19	<2	<10	<10	<0.5	<2	0.28	<0.5	2	13	4
S649217		0.97	<0.005		<0.2	4.17	5	<10	20	<0.5	<2	5.40	<0.5	29	142	59
S649218		1.15	0.006		<0.2	3.92	2	<10	20	<0.5	<2	5.16	<0.5	31	26	77
S649219		0.86	<0.005		<0.2	0.44	3	<10	70	<0.5	<2	0.40	<0.5	3	6	3



ALS Canada Ltd.  
 2103 Dollarton Hwy  
 North Vancouver BC V7H 0A7  
 Phone: +1 (604) 984 0221 Fax: +1 (604) 984 0218  
 www.alsglobal.com/geochemistry

To: BEAUFIELD RESOURCES INC.  
 3208 RICHMOND ROAD  
 OTTAWA ON K2H 5B6

Page: 2 - B  
 Total # Pages: 3 (A - C)  
 Plus Appendix Pages  
 Finalized Date: 24-JUL-2018  
 Account: RESBEA

Project: URBAN ROULEAU 2018

**CERTIFICATE OF ANALYSIS VO18152364**

Sample Description	Method	ME-ICP41	ME-ICP41	ME-ICP41	ME-ICP41	ME-ICP41	ME-ICP41	ME-ICP41	ME-ICP41	ME-ICP41	ME-ICP41	ME-ICP41	ME-ICP41	ME-ICP41	ME-ICP41	
	Analyte	Fe	Ga	Hg	K	La	Mg	Mn	Mo	Na	Ni	P	Pb	S	Sb	Sc
Units		%	ppm	ppm	%	ppm	%	ppm	ppm	%	ppm	ppm	ppm	%	ppm	ppm
LOD		0.01	10	1	0.01	10	0.01	5	1	0.01	1	10	2	0.01	2	1
W952402		8.20	10	<1	0.09	10	2.64	905	<1	0.01	44	830	4	0.52	3	9
W952403		3.35	<10	<1	0.06	<10	1.15	576	<1	0.03	34	140	<2	0.02	<2	4
W952404		1.42	<10	<1	0.06	<10	0.68	219	<1	0.02	84	100	<2	0.01	<2	2
W952405		3.59	<10	<1	0.06	10	1.45	1175	<1	0.06	129	410	<2	0.01	3	5
W952406		0.76	<10	<1	0.04	<10	0.25	183	<1	<0.01	20	100	<2	0.01	<2	1
W952407		3.84	<10	<1	0.29	<10	1.58	966	<1	0.04	75	610	<2	0.15	<2	3
W952408		0.53	<10	<1	0.01	<10	0.08	143	<1	<0.01	3	20	<2	<0.01	<2	<1
W952409		5.99	10	<1	0.10	10	2.68	1775	<1	0.01	47	380	<2	<0.01	2	7
W952410		5.98	10	<1	0.10	10	2.02	1315	<1	0.02	43	920	<2	0.07	<2	8
W952411		10.25	10	<1	<0.01	<10	2.51	1255	<1	0.01	29	1800	<2	0.11	3	24
W952412		5.77	10	<1	0.11	<10	1.60	1425	<1	0.04	206	770	<2	<0.01	<2	4
W952413		0.58	<10	<1	<0.01	<10	0.08	442	<1	<0.01	6	120	<2	0.05	2	1
W952414		0.73	<10	<1	0.05	<10	0.29	107	<1	0.01	10	70	<2	<0.01	<2	<1
W952415		1.30	<10	<1	0.07	<10	0.39	260	<1	<0.01	18	100	2	0.02	2	2
W952416		3.41	<10	<1	<0.01	10	3.39	582	<1	0.02	148	450	<2	0.22	<2	5
W952417		1.46	<10	<1	0.07	<10	0.38	248	<1	0.01	8	120	5	0.01	<2	1
W952418		2.20	<10	<1	0.02	<10	0.89	435	<1	0.02	23	410	<2	0.07	3	2
W952419		6.21	<10	<1	0.05	<10	0.76	600	7	0.02	47	420	3	0.52	<2	3
W952420		10.85	10	<1	0.02	<10	2.36	1355	<1	0.01	85	500	<2	1.43	2	3
W952421		7.52	10	<1	2.21	10	3.35	962	1	0.03	54	1550	<2	0.18	4	3
W952422		4.07	10	<1	0.18	<10	2.96	564	5	0.05	144	290	30	0.72	5	8
S649201		5.88	10	<1	0.15	10	1.72	966	1	0.01	40	1470	2	0.01	<2	4
S649202		4.10	<10	<1	0.10	10	0.75	445	<1	0.02	22	880	<2	0.26	<2	2
S649203		2.12	<10	<1	0.06	<10	0.51	277	<1	0.02	15	620	<2	<0.01	<2	2
S649204		5.86	10	1	0.10	<10	2.08	878	<1	0.01	127	610	<2	0.28	3	4
S649205		0.52	<10	<1	0.07	<10	0.11	100	<1	<0.01	2	80	2	<0.01	<2	<1
S649206		0.95	<10	<1	0.05	<10	0.34	98	<1	<0.01	6	50	<2	<0.01	<2	1
S649207		6.28	10	<1	0.15	10	2.87	180	1	<0.01	11	550	3	0.12	3	2
S649208		0.88	<10	<1	0.01	<10	0.19	225	<1	<0.01	4	330	4	0.01	<2	1
S649209		8.75	10	<1	0.06	10	1.84	866	17	0.01	78	100	6	3.79	3	3
S649210		1.88	<10	<1	0.02	<10	0.81	297	<1	0.01	85	160	<2	0.02	<2	5
S649211		10.00	10	<1	0.04	10	2.48	2900	<1	0.01	117	750	2	0.01	4	12
S649212		0.96	<10	<1	0.02	<10	0.17	161	<1	<0.01	4	90	<2	0.03	<2	1
S649213		0.39	<10	<1	0.02	<10	0.02	57	<1	0.01	1	10	<2	<0.01	<2	<1
S649214		14.55	10	1	0.02	10	2.27	5740	<1	0.02	63	440	3	0.01	4	10
S649215		0.12	<10	1	0.01	<10	1.19	122	<1	0.01	<1	80	<2	0.01	4	<1
S649216		0.66	<10	<1	<0.01	<10	0.11	178	<1	0.01	3	60	<2	0.01	<2	<1
S649217		8.09	10	<1	0.03	<10	2.36	2460	<1	0.02	94	470	<2	0.16	4	9
S649218		6.70	10	<1	0.06	10	2.86	1600	<1	0.02	36	490	<2	0.03	2	9
S649219		0.74	<10	<1	0.18	10	0.08	334	<1	0.01	5	520	7	0.01	<2	1



ALS Canada Ltd.  
 2103 Dollarton Hwy  
 North Vancouver BC V7H 0A7  
 Phone: +1 (604) 984 0221 Fax: +1 (604) 984 0218  
 www.alsglobal.com/geochemistry

To: BEAUFIELD RESOURCES INC.  
 3208 RICHMOND ROAD  
 OTTAWA ON K2H 5B6

Page: 2 - C  
 Total # Pages: 3 (A - C)  
 Plus Appendix Pages  
 Finalized Date: 24-JUL-2018  
 Account: RESBEA

Project: URBAN ROULEAU 2018

**CERTIFICATE OF ANALYSIS VO18152364**

Sample Description	Method Analyte Units LOD	ME-ICP41	ME-ICP41	ME-ICP41	ME-ICP41	ME-ICP41	ME-ICP41	ME-ICP41	ME-ICP41
		Sr ppm 1	Th ppm 20	Ti % 0.01	Ti ppm 10	U ppm 10	V ppm 1	W ppm 10	Zn ppm 2
W952402		99	<20	0.02	<10	<10	108	<10	280
W952403		7	<20	<0.01	<10	<10	37	<10	39
W952404		10	<20	<0.01	<10	<10	24	<10	24
W952405		42	<20	<0.01	<10	<10	27	<10	40
W952406		50	<20	0.04	<10	<10	15	<10	11
W952407		49	<20	0.24	<10	<10	67	<10	112
W952408		1	<20	<0.01	<10	<10	3	<10	3
W952409		60	<20	<0.01	<10	<10	66	<10	71
W952410		79	<20	<0.01	<10	<10	79	<10	84
W952411		97	<20	0.01	<10	<10	179	<10	126
W952412		57	<20	0.35	<10	<10	90	<10	101
W952413		62	<20	<0.01	<10	<10	3	<10	4
W952414		5	<20	0.01	<10	<10	5	<10	13
W952415		15	<20	0.08	<10	<10	28	<10	19
W952416		53	<20	0.11	<10	<10	74	<10	31
W952417		20	<20	0.15	<10	<10	31	<10	22
W952418		44	<20	0.20	<10	<10	39	<10	48
W952419		109	<20	0.30	<10	<10	48	<10	42
W952420		47	<20	0.26	<10	<10	70	<10	86
W952421		45	<20	0.47	<10	<10	140	<10	135
W952422		43	<20	0.19	<10	<10	97	10	66
S649201		91	<20	0.31	<10	<10	60	<10	103
S649202		15	<20	0.18	<10	<10	37	<10	64
S649203		41	<20	0.20	<10	<10	30	<10	36
S649204		27	<20	0.19	<10	<10	72	<10	108
S649205		3	<20	<0.01	<10	<10	6	<10	6
S649206		2	<20	<0.01	<10	<10	10	<10	13
S649207		3	<20	0.01	<10	<10	32	<10	128
S649208		5	<20	0.02	<10	<10	7	<10	10
S649209		3	<20	<0.01	<10	<10	20	<10	703
S649210		4	<20	<0.01	<10	<10	45	<10	29
S649211		220	<20	0.04	<10	<10	108	<10	72
S649212		5	<20	0.01	<10	<10	8	<10	10
S649213		2	<20	<0.01	<10	<10	4	<10	2
S649214		83	<20	0.02	<10	<10	83	<10	71
S649215		89	<20	<0.01	<10	<10	<1	<10	<2
S649216		6	<20	<0.01	<10	<10	6	<10	5
S649217		63	<20	0.01	<10	<10	83	<10	69
S649218		71	<20	0.02	<10	<10	109	<10	94
S649219		66	<20	0.03	<10	<10	12	<10	10



ALS Canada Ltd.  
 2103 Dollarton Hwy  
 North Vancouver BC V7H 0A7  
 Phone: +1 (604) 984 0221 Fax: +1 (604) 984 0218  
 www.alsglobal.com/geochemistry

To: BEAUFIELD RESOURCES INC.  
 3208 RICHMOND ROAD  
 OTTAWA ON K2H 5B6

Page: 3 - A  
 Total # Pages: 3 (A - C)  
 Plus Appendix Pages  
 Finalized Date: 24-JUL-2018  
 Account: RESBEA

Project: URBAN ROULEAU 2018

**CERTIFICATE OF ANALYSIS VO18152364**

Sample Description	Method Analyte Units LOD	WEI-21	Au-AA23	Au-GRA22	ME-ICP41	ME-ICP41	ME-ICP41	ME-ICP41	ME-ICP41	ME-ICP41	ME-ICP41	ME-ICP41	ME-ICP41	ME-ICP41	ME-ICP41	ME-ICP41
		Recvd Wt. kg	Au ppm	Au ppm	Ag ppm	Al %	As ppm	B ppm	Ba ppm	Be ppm	Bi ppm	Ca %	Cd ppm	Co ppm	Cr ppm	Cu ppm
		0.02	0.005	0.05	0.2	0.01	2	10	10	0.5	2	0.01	0.5	1	1	1
S649220		0.84	<0.005		<0.2	0.06	2	<10	<10	<0.5	<2	0.05	<0.5	<1	16	1
S649221		0.82	<0.005		<0.2	1.96	3	<10	90	<0.5	<2	1.88	<0.5	20	29	18
S649222		0.77	<0.005		<0.2	0.06	<2	<10	10	<0.5	<2	0.03	<0.5	<1	11	7
S649223		1.33	0.005		<0.2	0.24	2	<10	20	<0.5	<2	0.91	<0.5	3	13	8
S649224		0.33	<0.005		<0.2	0.13	<2	<10	10	<0.5	<2	0.03	<0.5	1	9	2
S649225		0.36	<0.005		0.4	0.18	6	<10	30	<0.5	<2	0.13	<0.5	1	11	25
S649226		1.11	<0.005		<0.2	1.99	4	<10	110	<0.5	<2	4.02	<0.5	20	21	54
S649227		0.58	<0.005		<0.2	0.06	<2	<10	10	<0.5	<2	0.04	<0.5	<1	11	3
S649228		1.11	<0.005		<0.2	1.18	15	<10	90	<0.5	<2	4.99	<0.5	26	25	74
S649229		0.94	<0.005		<0.2	0.09	3	<10	10	<0.5	<2	0.05	<0.5	1	21	6
S649230		1.27	<0.005		<0.2	3.07	<2	<10	50	<0.5	<2	4.79	<0.5	25	53	70
S649231		1.75	<0.005		<0.2	0.13	4	<10	20	<0.5	<2	3.57	<0.5	1	12	19
S649232		1.18	<0.005		<0.2	1.93	4	<10	30	<0.5	<2	1.48	<0.5	19	3	27
S649233		1.01	<0.005		<0.2	0.78	<2	<10	10	<0.5	<2	0.07	<0.5	8	39	3
S649234		1.02	<0.005		<0.2	0.54	2	<10	20	<0.5	<2	1.26	<0.5	5	21	6
S649235		1.39	<0.005		<0.2	2.06	2	<10	10	<0.5	<2	1.34	<0.5	25	2	8
S649236		1.95	<0.005		<0.2	3.75	3	<10	630	<0.5	<2	1.39	<0.5	48	2	506
S649237		1.37	<0.005		<0.2	3.01	<2	<10	20	<0.5	<2	4.13	<0.5	31	95	63
S649238		0.07	2.99		0.6	3.02	29	20	30	<0.5	<2	2.63	<0.5	30	218	145
S649451		2.36	<0.005		<0.2	1.20	23	<10	10	<0.5	<2	1.07	<0.5	37	267	79
S649452		2.35	<0.005		<0.2	2.68	<2	<10	40	<0.5	<2	4.63	<0.5	34	33	60
S649453		1.47	<0.005		<0.2	3.00	2	<10	20	<0.5	<2	5.19	0.5	26	49	41
S649454		0.95	<0.005		<0.2	2.62	<2	<10	20	<0.5	<2	1.53	<0.5	33	23	22
S649455		1.16	<0.005		<0.2	2.72	2	<10	10	<0.5	<2	3.47	<0.5	27	25	30
S649456		1.60	<0.005		<0.2	2.48	3	<10	20	<0.5	<2	4.33	<0.5	25	52	45
S649457		2.14	<0.005		<0.2	0.82	2	<10	40	<0.5	<2	2.32	<0.5	11	21	19
S649458		2.02	<0.005		<0.2	2.15	4	<10	100	<0.5	<2	4.01	<0.5	19	50	67
S649459		0.84	<0.005		<0.2	2.12	3	<10	50	<0.5	<2	2.79	<0.5	16	36	43
S649460		2.08	<0.005		<0.2	1.81	4	<10	20	<0.5	<2	0.91	<0.5	19	34	23
S649461		2.74	<0.005		<0.2	2.18	<2	<10	20	<0.5	<2	2.56	<0.5	26	109	74
S649462		2.26	<0.005		<0.2	2.69	<2	<10	10	<0.5	<2	2.51	<0.5	29	87	58



ALS Canada Ltd.  
 2103 Dollarton Hwy  
 North Vancouver BC V7H 0A7  
 Phone: +1 (604) 984 0221 Fax: +1 (604) 984 0218  
 www.alsglobal.com/geochemistry

To: BEAUFIELD RESOURCES INC.  
 3208 RICHMOND ROAD  
 OTTAWA ON K2H 5B6

Page: 3 - B  
 Total # Pages: 3 (A - C)  
 Plus Appendix Pages  
 Finalized Date: 24-JUL-2018  
 Account: RESBEA

Project: URBAN ROULEAU 2018

**CERTIFICATE OF ANALYSIS VO18152364**

Sample Description	Method Analyte Units LOD	ME-ICP41	ME-ICP41	ME-ICP41	ME-ICP41	ME-ICP41	ME-ICP41	ME-ICP41	ME-ICP41	ME-ICP41	ME-ICP41	ME-ICP41	ME-ICP41	ME-ICP41	ME-ICP41	
		Fe %	Ga ppm	Hg ppm	K %	La ppm	Mg %	Mn ppm	Mo ppm	Na %	Ni ppm	P ppm	Pb ppm	S %	Sb ppm	Sc ppm
S649220		0.33	<10	<1	0.01	<10	0.02	62	<1	<0.01	1	10	<2	<0.01	<2	<1
S649221		3.05	10	<1	0.23	50	1.52	399	1	0.02	38	2390	7	0.01	<2	2
S649222		0.54	<10	<1	0.03	<10	0.02	64	<1	<0.01	3	130	<2	<0.01	<2	<1
S649223		0.98	<10	<1	0.08	<10	0.14	200	1	0.01	12	870	<2	0.01	2	<1
S649224		0.40	<10	<1	0.02	<10	0.07	44	<1	0.01	4	30	<2	<0.01	<2	<1
S649225		0.81	<10	<1	0.07	<10	0.09	100	<1	0.01	2	460	21	0.05	<2	<1
S649226		5.15	10	<1	0.28	50	1.34	1365	1	0.02	30	2290	6	0.08	<2	3
S649227		0.35	<10	<1	0.01	<10	0.03	74	<1	<0.01	1	40	2	0.01	<2	<1
S649228		5.46	<10	<1	0.21	50	0.60	1825	1	0.02	44	2010	29	0.32	2	2
S649229		0.69	<10	<1	0.02	<10	0.03	133	<1	0.01	2	150	5	<0.01	2	<1
S649230		6.62	10	<1	0.12	40	1.79	1740	1	0.02	41	1580	7	0.03	<2	3
S649231		0.74	<10	<1	0.06	10	0.06	517	<1	<0.01	3	190	13	0.03	<2	<1
S649232		5.63	10	<1	0.07	30	1.00	870	<1	0.03	8	2570	2	0.01	<2	4
S649233		1.45	<10	<1	0.02	<10	0.54	182	<1	0.01	23	160	<2	0.01	<2	2
S649234		0.95	<10	<1	0.08	<10	0.23	387	<1	0.02	15	270	<2	0.02	<2	1
S649235		7.40	10	1	0.01	20	1.36	618	<1	0.04	3	1550	<2	0.01	3	12
S649236		9.17	10	<1	2.02	10	2.83	902	<1	0.01	78	730	<2	0.06	<2	6
S649237		5.90	10	<1	0.03	10	2.30	1020	<1	0.03	64	1130	<2	0.01	2	11
S649238		4.91	10	<1	0.10	<10	2.39	611	3	0.06	99	360	22	0.44	<2	7
S649451		1.89	<10	<1	0.02	<10	1.02	348	<1	0.03	233	280	<2	0.15	3	3
S649452		4.51	10	<1	0.08	10	1.63	994	<1	0.03	79	920	<2	0.01	2	6
S649453		6.40	10	<1	0.04	10	1.43	1580	<1	0.04	79	970	<2	0.03	2	9
S649454		5.13	10	<1	0.06	<10	1.10	678	<1	0.04	46	900	<2	0.01	<2	2
S649455		4.90	10	1	0.05	<10	1.36	977	<1	0.04	40	860	<2	0.01	2	2
S649456		4.29	10	<1	0.09	<10	1.47	1365	<1	0.02	53	370	<2	0.01	<2	4
S649457		2.14	<10	<1	0.12	10	1.31	492	<1	0.03	42	410	2	0.04	2	1
S649458		4.73	10	1	0.20	50	1.54	972	1	0.03	29	2280	7	0.03	3	4
S649459		3.96	10	<1	0.12	40	1.29	977	1	0.03	28	1620	7	0.01	<2	5
S649460		2.58	<10	<1	0.04	<10	1.78	437	<1	0.03	62	350	<2	0.01	2	3
S649461		3.23	<10	<1	0.10	<10	1.76	711	<1	0.02	62	720	<2	0.06	2	2
S649462		4.09	<10	<1	0.02	<10	2.16	710	<1	0.02	51	490	<2	0.01	2	3



ALS Canada Ltd.  
 2103 Dollarton Hwy  
 North Vancouver BC V7H 0A7  
 Phone: +1 (604) 984 0221 Fax: +1 (604) 984 0218  
 www.alsglobal.com/geochemistry

To: BEAUFIELD RESOURCES INC.  
 3208 RICHMOND ROAD  
 OTTAWA ON K2H 5B6

Page: 3 - C  
 Total # Pages: 3 (A - C)  
 Plus Appendix Pages  
 Finalized Date: 24-JUL-2018  
 Account: RESBEA

Project: URBAN ROULEAU 2018

**CERTIFICATE OF ANALYSIS VO18152364**

Sample Description	Method Analyte Units LOD	ME-ICP41	ME-ICP41	ME-ICP41	ME-ICP41	ME-ICP41	ME-ICP41	ME-ICP41	
		Sr	Th	Ti	Tl	U	V	W	Zn
		ppm	ppm	%	ppm	ppm	ppm	ppm	ppm
		1	20	0.01	10	10	1	10	2
S649220		3	<20	<0.01	<10	<10	2	<10	<2
S649221		204	<20	0.03	<10	<10	31	<10	100
S649222		2	<20	<0.01	<10	<10	1	<10	8
S649223		68	<20	<0.01	<10	<10	3	<10	11
S649224		2	<20	<0.01	<10	<10	2	<10	17
S649225		19	<20	0.02	<10	<10	5	<10	8
S649226		479	<20	0.05	<10	<10	38	<10	100
S649227		4	<20	<0.01	<10	<10	1	<10	3
S649228		553	<20	0.04	<10	<10	35	<10	63
S649229		9	<20	0.01	<10	<10	4	<10	4
S649230		522	<20	0.04	<10	<10	50	<10	116
S649231		278	<20	<0.01	<10	<10	3	<10	8
S649232		49	<20	0.04	<10	<10	41	<10	116
S649233		4	<20	<0.01	<10	<10	24	<10	18
S649234		41	<20	<0.01	<10	<10	12	<10	17
S649235		48	<20	0.07	<10	<10	133	<10	64
S649236		39	<20	0.40	<10	<10	413	<10	88
S649237		60	<20	<0.01	<10	<10	82	<10	90
S649238		30	<20	0.25	<10	<10	122	<10	70
S649451		13	<20	0.20	<10	<10	39	<10	33
S649452		54	<20	<0.01	<10	<10	65	<10	83
S649453		57	<20	0.01	<10	<10	78	<10	71
S649454		33	<20	0.03	<10	<10	51	<10	112
S649455		54	<20	0.02	<10	<10	55	<10	97
S649456		47	<20	<0.01	<10	<10	51	<10	50
S649457		132	<20	<0.01	<10	<10	8	<10	57
S649458		474	<20	0.04	<10	<10	47	<10	96
S649459		391	<20	0.05	<10	<10	36	<10	85
S649460		30	<20	0.13	<10	<10	46	<10	27
S649461		53	<20	0.21	<10	<10	41	<10	56
S649462		49	<20	0.17	<10	<10	55	<10	64





ALS Canada Ltd.  
2103 Dollarton Hwy  
North Vancouver BC V7H 0A7  
Phone: +1 (604) 984 0221 Fax: +1 (604) 984 0218  
www.alsglobal.com/geochemistry

To: BEAUFIELD RESOURCES INC.  
3208 RICHMOND ROAD  
OTTAWA ON K2H 5B6

Page: Appendix 1  
Total # Appendix Pages: 1  
Finalized Date: 24-JUL-2018  
Account: RESBEA

Project: URBAN ROULEAU 2018

**CERTIFICATE OF ANALYSIS VO18152364**

**CERTIFICATE COMMENTS**

**LABORATORY ADDRESSES**

Applies to Method:	Processed at ALS Thunder Bay located at 645 Norah Crescent, Thunder Bay, ON, Canada		
	CRU-31	CRU-QC	LOG-22
	PUL-31	PUL-QC	SPL-21
			LOG-24
			WEI-21
Applies to Method:	Processed at ALS Vancouver located at 2103 Dollarton Hwy, North Vancouver, BC, Canada.		
	Au-AA23	Au-GRA22	ME-ICP41



ALS Canada Ltd.  
 2103 Dollarton Hwy  
 North Vancouver BC V7H 0A7  
 Phone: +1 (604) 984 0221 Fax: +1 (604) 984 0218  
 www.alsglobal.com/geochemistry

To: BEAUFIELD RESOURCES INC.  
 3208 RICHMOND ROAD  
 OTTAWA ON K2H 5B6

Page: 1  
 Total # Pages: 2 (A - C)  
 Plus Appendix Pages  
 Finalized Date: 3-AUG-2018  
 Account: RESBEA

**CERTIFICATE VO18171137**

Project: TROILUS 2018

This report is for 6 Rock samples submitted to our lab in Val d'Or, QC, Canada on 17-JUL-2018.

The following have access to data associated with this certificate:

LENA STEPANIAN	MATHIEU STEPHENS
----------------	------------------

SAMPLE PREPARATION	
ALS CODE	DESCRIPTION
WEI-21	Received Sample Weight
LOG-22	Sample login - Rcd w/o BarCode
CRU-QC	Crushing QC Test
PUL-QC	Pulverizing QC Test
CRU-31	Fine crushing - 70% <2mm
SPL-21	Split sample - riffle splitter
PUL-31	Pulverize split to 85% <75 um

ANALYTICAL PROCEDURES		
ALS CODE	DESCRIPTION	INSTRUMENT
Au-AA23	Au 30g FA-AA finish	AAS
ME-ICP41	35 Element Aqua Regia ICP-AES	ICP-AES

This is the Final Report and supersedes any preliminary report with this certificate number. Results apply to samples as submitted. All pages of this report have been checked and approved for release.

\*\*\*\*\* See Appendix Page for comments regarding this certificate \*\*\*\*\*

Signature: *Nacera Amara*  
 Nacera Amara, Laboratory Manager, Val d'Or



ALS Canada Ltd.  
 2103 Dollarton Hwy  
 North Vancouver BC V7H 0A7  
 Phone: +1 (604) 984 0221 Fax: +1 (604) 984 0218  
 www.alsglobal.com/geochemistry

To: BEAUFIELD RESOURCES INC.  
 3208 RICHMOND ROAD  
 OTTAWA ON K2H 5B6

Page: 2 - A  
 Total # Pages: 2 (A - C)  
 Plus Appendix Pages  
 Finalized Date: 3-AUG-2018  
 Account: RESBEA

Project: TROILUS 2018

**CERTIFICATE OF ANALYSIS VO18171137**

Sample Description	Method Analyte Units LOD	WEI-21 Recvd Wt. kg	Au-AA23 Au ppm	ME-ICP41 Ag ppm	ME-ICP41 Al %	ME-ICP41 As ppm	ME-ICP41 B ppm	ME-ICP41 Ba ppm	ME-ICP41 Be ppm	ME-ICP41 Bi ppm	ME-ICP41 Ca %	ME-ICP41 Cd ppm	ME-ICP41 Co ppm	ME-ICP41 Cr ppm	ME-ICP41 Cu ppm	ME-ICP41 Fe %
		0.02	0.005	0.2	0.01	2	10	10	0.5	2	0.01	0.5	1	1	1	0.01
S649151		1.56	0.010	5.5	0.12	6	20	<10	<0.5	<2	0.08	<0.5	107	1	855	>50
S649152		0.90	0.010	3.6	0.53	<2	10	10	0.5	<2	0.51	0.9	41	17	412	17.95
S649909		1.10	0.005	1.9	0.58	2	<10	10	<0.5	<2	0.59	0.5	25	21	141	5.34
S649910		2.04	0.007	5.4	0.54	2	10	30	0.6	<2	0.41	1.4	65	19	557	23.9
W952423		0.82	<0.005	<0.2	0.02	2	<10	<10	<0.5	<2	0.02	<0.5	1	15	14	0.44
W952424		1.11	<0.005	<0.2	0.01	<2	<10	<10	<0.5	<2	0.01	<0.5	<1	15	1	0.29



ALS Canada Ltd.  
 2103 Dollarton Hwy  
 North Vancouver BC V7H 0A7  
 Phone: +1 (604) 984 0221 Fax: +1 (604) 984 0218  
 www.alsglobal.com/geochemistry

To: BEAUFIELD RESOURCES INC.  
 3208 RICHMOND ROAD  
 OTTAWA ON K2H 5B6

Page: 2 - B  
 Total # Pages: 2 (A - C)  
 Plus Appendix Pages  
 Finalized Date: 3-AUG-2018  
 Account: RESBEA

Project: TROILUS 2018

**CERTIFICATE OF ANALYSIS VO18171137**

Sample Description	Method Analyte Units LOD	ME-ICP41	ME-ICP41	ME-ICP41	ME-ICP41	ME-ICP41	ME-ICP41	ME-ICP41	ME-ICP41	ME-ICP41	ME-ICP41	ME-ICP41	ME-ICP41	ME-ICP41	ME-ICP41	
		Ga ppm 10	Hg ppm 1	K % 0.01	La ppm 10	Mg % 0.01	Mn ppm 5	Mo ppm 1	Na % 0.01	Ni ppm 1	P ppm 10	Pb ppm 2	S % 0.01	Sb ppm 2	Sc ppm 1	Sr ppm 1
S649151		<10	<1	0.01	<10	0.04	35	6	0.01	252	30	<2	>10.0	<2	<1	1
S649152		<10	<1	0.04	10	0.10	107	8	0.06	92	260	4	7.41	<2	1	17
S649909		<10	<1	0.08	<10	0.19	81	1	0.01	59	160	2	3.55	<2	2	15
S649910		<10	<1	0.08	10	0.23	129	5	0.04	121	400	34	9.70	<2	2	18
W952423		<10	<1	<0.01	<10	0.01	40	<1	0.01	1	10	<2	0.05	<2	<1	1
W952424		<10	<1	<0.01	<10	<0.01	28	<1	<0.01	1	<10	<2	0.02	<2	<1	1

\*\*\*\*\* See Appendix Page for comments regarding this certificate \*\*\*\*\*



ALS Canada Ltd.  
 2103 Dollarton Hwy  
 North Vancouver BC V7H 0A7  
 Phone: +1 (604) 984 0221 Fax: +1 (604) 984 0218  
 www.alsglobal.com/geochemistry

To: BEAUFIELD RESOURCES INC.  
 3208 RICHMOND ROAD  
 OTTAWA ON K2H 5B6

Page: 2 - C  
 Total # Pages: 2 (A - C)  
 Plus Appendix Pages  
 Finalized Date: 3-AUG-2018  
 Account: RESBEA

Project: TROILUS 2018

**CERTIFICATE OF ANALYSIS VO18171137**

Sample Description	Method Analyte Units LOD	ME-ICP41	ME-ICP41	ME-ICP41	ME-ICP41	ME-ICP41	ME-ICP41	ME-ICP41
		Th	Ti	Tl	U	V	W	Zn
		ppm	%	ppm	ppm	ppm	ppm	ppm
		20	0.01	10	10	1	10	2
S649151		<20	<0.01	<10	<10	9	<10	5
S649152		<20	0.10	<10	<10	16	<10	114
S649909		<20	0.05	<10	<10	14	<10	74
S649910		<20	0.08	<10	<10	15	<10	232
W952423		<20	<0.01	<10	<10	1	<10	2
W952424		<20	<0.01	<10	<10	<1	<10	<2



ALS Canada Ltd.  
2103 Dollarton Hwy  
North Vancouver BC V7H 0A7  
Phone: +1 (604) 984 0221 Fax: +1 (604) 984 0218  
www.alsglobal.com/geochemistry

To: BEAUFIELD RESOURCES INC.  
3208 RICHMOND ROAD  
OTTAWA ON K2H 5B6

Page: Appendix 1  
Total # Appendix Pages: 1  
Finalized Date: 3-AUG-2018  
Account: RESBEA

Project: TROILUS 2018

**CERTIFICATE OF ANALYSIS VO18171137**

### CERTIFICATE COMMENTS

#### LABORATORY ADDRESSES

Applies to Method:	Processed at ALS Val d'Or located at 1324 Rue Turcotte, Val d'Or, QC, Canada.		
	Au-AA23	CRU-31	CRU-QC
	PUL-31	PUL-QC	SPL-21
			LOG-22
			WEI-21
Applies to Method:	Processed at ALS Vancouver located at 2103 Dollarton Hwy, North Vancouver, BC, Canada.		
	ME-ICP41		

:

: 1

:

:

:

:

--

--	--

--	--

--	--





ALS Canada Ltd.  
2103 Dollarton Hwy  
North Vancouver BC V7H 0A7  
Phone: +1 (604) 984 0221 Fax: +1 (604) 984 0218  
www.alsglobal.com/geochemistry

To: BEAUFIELD RESOURCES INC.  
950 - 1801 MCGILL COLLEGE AVENUE  
MONTREAL QC H3A 2N4

Page: 1  
Total # Pages: 2 (A - C)  
Plus Appendix Pages  
Finalized Date: 31-AUG-2018  
Account: RESBEA

**CERTIFICATE VO18204928**

Project: TROILUS SUMMER 2018

This report is for 26 Rock samples submitted to our lab in Val d'Or, QC, Canada on 20-AUG-2018.

The following have access to data associated with this certificate:

LENA STEPANIAN

MATHIEU STEPHENS

**SAMPLE PREPARATION**

ALS CODE	DESCRIPTION
WEI-21	Received Sample Weight
LOG-22	Sample login - Rcd w/o BarCode
CRU-QC	Crushing QC Test
PUL-QC	Pulverizing QC Test
CRU-31	Fine crushing - 70% <2mm
SPL-21	Split sample - riffle splitter
PUL-31	Pulverize split to 85% <75 um

**ANALYTICAL PROCEDURES**

ALS CODE	DESCRIPTION	INSTRUMENT
Au-AA23	Au 30g FA-AA finish	AAS
ME-ICP41	35 Element Aqua Regia ICP-AES	ICP-AES

This is the Final Report and supersedes any preliminary report with this certificate number. Results apply to samples as submitted. All pages of this report have been checked and approved for release.

\*\*\*\*\* See Appendix Page for comments regarding this certificate \*\*\*\*\*

Signature: *Nacera Amara*  
Nacera Amara, Laboratory Manager, Val d'Or



ALS Canada Ltd.  
 2103 Dollarton Hwy  
 North Vancouver BC V7H 0A7  
 Phone: +1 (604) 984 0221 Fax: +1 (604) 984 0218  
 www.alsglobal.com/geochemistry

To: BEAUFIELD RESOURCES INC.  
 950 - 1801 MCGILL COLLEGE AVENUE  
 MONTRÉAL QC H3A 2N4

Page: 2 - A  
 Total # Pages: 2 (A - C)  
 Plus Appendix Pages  
 Finalized Date: 31 - AUG - 2018  
 Account: RESBEA

Project: TROILUS SUMMER 2018

**CERTIFICATE OF ANALYSIS VO18204928**

Sample Description	Method Analyte Units LOD	WEI-21 Recvd Wt. kg	Au-AA23 Au ppm	ME-ICP41 Ag ppm	ME-ICP41 Al %	ME-ICP41 As ppm	ME-ICP41 B ppm	ME-ICP41 Ba ppm	ME-ICP41 Be ppm	ME-ICP41 Bi ppm	ME-ICP41 Ca %	ME-ICP41 Cd ppm	ME-ICP41 Co ppm	ME-ICP41 Cr ppm	ME-ICP41 Cu ppm	ME-ICP41 Fe %
		0.02	0.005	0.2	0.01	2	10	10	0.5	2	0.01	0.5	1	1	1	0.01
S649110		1.02	0.050	1.7	1.79	292	<10	10	<0.5	<2	0.61	<0.5	139	22	1180	7.90
S649193		1.32	0.013	0.5	2.22	42	<10	10	<0.5	<2	0.96	5.9	69	8	547	5.58
S649194		1.22	0.031	1.0	1.60	244	<10	10	<0.5	4	0.54	7.8	131	41	1490	7.91
S649195		1.88	0.021	0.4	1.27	112	<10	20	<0.5	<2	0.32	3.0	67	11	581	4.14
S649196		0.98	0.011	0.7	0.81	155	30	<10	<0.5	<2	0.22	<0.5	141	20	858	9.09
S649197		2.46	0.011	0.2	2.81	240	10	30	<0.5	<2	0.80	<0.5	58	121	238	4.93
S649198		2.45	0.016	0.2	1.82	211	10	20	<0.5	<2	0.39	<0.5	81	25	437	5.75
S649389		1.17	0.023	0.5	3.76	4	<10	20	<0.5	2	0.52	0.6	44	164	464	11.25
S649390		1.89	0.403	0.7	0.05	5	<10	<10	<0.5	7	0.19	10.2	141	2	442	28.3
S649391		1.36	0.019	0.3	0.02	3	<10	<10	<0.5	<2	0.09	0.7	8	5	369	3.53
S649397		2.22	0.072	1.1	0.70	7	<10	50	<0.5	2	0.23	7.8	110	23	433	4.86
S649399		1.22	0.083	0.9	0.55	7	<10	10	<0.5	5	0.06	0.8	204	15	714	19.40
S649400		1.03	0.033	1.4	0.75	5	10	10	<0.5	<2	0.24	4.8	135	11	1020	10.90
S650182		0.81	0.005	<0.2	2.58	2	<10	80	<0.5	<2	0.31	<0.5	16	60	103	3.63
S650183		0.53	0.020	0.5	2.04	19	<10	10	<0.5	3	0.30	<0.5	68	57	131	8.56
S650184		0.54	0.027	1.2	0.43	28	<10	<10	<0.5	7	0.04	<0.5	377	10	245	24.0
S650185		1.05	0.112	4.4	3.45	99	<10	50	<0.5	5	0.32	<0.5	175	3	960	14.10
S650186		0.89	0.018	0.8	0.58	12	<10	40	<0.5	<2	0.14	<0.5	8	7	494	3.60
S650187		1.15	0.005	<0.2	2.17	7	<10	10	<0.5	2	0.87	<0.5	8	4	60	7.24
S650188		1.46	0.047	0.7	0.70	1235	<10	50	<0.5	2	0.46	<0.5	122	3	1890	9.00
S650189	Not Recvd															
W952436		1.12	0.095	0.9	1.67	9	<10	30	<0.5	2	2.35	0.9	481	5	4560	16.80
W952437		1.45	0.021	0.3	5.02	6	<10	10	<0.5	7	1.46	<0.5	150	2	1330	19.90
W952438		0.89	0.006	<0.2	5.22	2	<10	10	<0.5	5	2.49	<0.5	44	2	159	13.70
W952448		1.01	0.019	0.7	1.62	4	<10	20	<0.5	<2	0.70	2.7	43	70	357	5.58
W952450		1.36	0.082	3.7	0.88	65	<10	10	<0.5	2	0.18	<0.5	125	29	817	14.75



ALS Canada Ltd.  
 2103 Dollarton Hwy  
 North Vancouver BC V7H 0A7  
 Phone: +1 (604) 984 0221 Fax: +1 (604) 984 0218  
 www.alsglobal.com/geochemistry

To: BEAUFIELD RESOURCES INC.  
 950 - 1801 MCGILL COLLEGE AVENUE  
 MONTRÉAL QC H3A 2N4

Page: 2 - B  
 Total # Pages: 2 (A - C)  
 Plus Appendix Pages  
 Finalized Date: 31-AUG-2018  
 Account: RESBEA

Project: TROILUS SUMMER 2018

**CERTIFICATE OF ANALYSIS VO18204928**

Sample Description	Method Analyte Units LOD	ME-ICP41	ME-ICP41	ME-ICP41	ME-ICP41	ME-ICP41	ME-ICP41	ME-ICP41	ME-ICP41	ME-ICP41	ME-ICP41	ME-ICP41	ME-ICP41	ME-ICP41	ME-ICP41	
		Ga ppm	Hg ppm	K %	La ppm	Mg %	Mn ppm	Mo ppm	Na %	Ni ppm	P ppm	Pb ppm	S %	Sb ppm	Sc ppm	Sr ppm
		10	1	0.01	10	0.01	5	1	0.01	1	10	2	0.01	2	1	1
S649110		10	<1	0.05	20	1.37	557	4	0.05	163	360	24	3.91	2	5	32
S649193		10	<1	0.10	10	0.63	242	2	0.24	153	310	13	3.84	2	1	140
S649194		<10	<1	0.10	10	0.73	326	2	0.13	403	400	14	5.85	2	1	68
S649195		<10	<1	0.08	10	0.84	301	2	0.09	114	330	7	2.80	<2	1	35
S649196		<10	<1	0.01	<10	0.87	309	<1	0.01	191	140	20	9.61	4	1	5
S649197		10	<1	0.10	20	2.47	674	1	0.08	111	680	6	2.69	<2	4	75
S649198		10	<1	0.07	10	1.54	516	2	0.08	148	330	3	3.45	<2	4	31
S649389		10	<1	0.04	<10	2.92	1120	1	0.05	149	250	9	4.48	2	12	11
S649390		<10	<1	<0.01	<10	0.06	74	1	0.01	451	270	3	>10.0	<2	1	<1
S649391		<10	<1	<0.01	<10	0.04	54	2	<0.01	26	140	2	1.65	<2	<1	1
S649397		<10	<1	0.13	10	0.55	275	4	0.03	188	270	31	4.78	3	3	17
S649399		<10	<1	0.05	10	0.22	230	2	0.03	408	230	17	>10.0	<2	2	2
S649400		<10	<1	0.06	10	0.54	163	2	0.03	124	400	30	7.12	3	3	21
S650182		10	<1	0.08	10	2.56	945	<1	0.03	33	610	5	0.39	<2	3	9
S650183		10	<1	0.01	10	1.35	789	27	0.04	44	490	4	3.09	<2	2	21
S650184		<10	<1	<0.01	<10	0.26	128	<1	0.01	129	50	<2	>10.0	<2	1	3
S650185		10	<1	0.13	10	1.98	651	1	0.03	33	440	6	5.92	<2	36	9
S650186		<10	<1	0.15	10	0.19	169	1	0.01	16	430	14	1.72	<2	1	4
S650187		10	<1	0.03	10	0.43	736	<1	0.04	1	720	5	0.12	<2	5	25
S650188		<10	<1	0.17	10	0.13	251	1	0.03	<1	960	<2	4.94	<2	5	6
S650189		<10	<1	0.05	<10	0.80	787	<1	0.02	152	110	3	>10.0	2	14	10
W952436		<10	<1	0.05	10	2.14	1320	<1	0.01	37	300	<2	3.09	2	39	7
W952437		10	<1	0.03	<10	2.72	1510	<1	0.02	16	370	<2	0.07	3	48	11
W952438		10	1	0.10	10	1.09	487	2	0.14	134	420	39	2.56	<2	6	54
W952450		<10	<1	0.02	<10	0.81	462	2	0.03	237	190	32	9.14	3	3	7



ALS Canada Ltd.  
 2103 Dollarton Hwy  
 North Vancouver BC V7H 0A7  
 Phone: +1 (604) 984 0221 Fax: +1 (604) 984 0218  
 www.alsglobal.com/geochemistry

To: BEAUFIELD RESOURCES INC.  
 950 - 1801 MCGILL COLLEGE AVENUE  
 MONTRÉAL QC H3A 2N4

Page: 2 - C  
 Total # Pages: 2 (A - C)  
 Plus Appendix Pages  
 Finalized Date: 31-AUG-2018  
 Account: RESBEA

Project: TROILUS SUMMER 2018

**CERTIFICATE OF ANALYSIS VO18204928**

Sample Description	Method Analyte Units LOD	ME-ICP41	ME-ICP41	ME-ICP41	ME-ICP41	ME-ICP41	ME-ICP41	
		Th	Ti	Ti	U	V	W	Zn
		ppm	%	ppm	ppm	ppm	ppm	ppm
		20	0.01	10	10	1	10	2
S649110		<20	0.08	<10	<10	32	<10	121
S649193		<20	0.01	<10	<10	7	<10	2950
S649194		<20	0.02	<10	<10	10	<10	3520
S649195		<20	0.02	<10	<10	6	<10	1370
S649196		<20	0.02	<10	<10	13	<10	60
S649197		<20	0.10	<10	<10	57	<10	66
S649198		<20	0.06	<10	<10	27	<10	53
S649389		<20	0.10	<10	<10	160	<10	327
S649390		<20	<0.01	10	<10	6	<10	3000
S649391		<20	<0.01	<10	<10	2	<10	154
S649397		<20	0.05	<10	<10	13	<10	3120
S649399		<20	0.02	10	<10	10	<10	2580
S649400		<20	0.07	<10	<10	15	<10	2520
S650182		<20	0.12	<10	<10	33	<10	110
S650183		<20	0.08	<10	<10	46	<10	63
S650184		<20	0.02	10	<10	14	<10	14
S650185		<20	0.08	<10	<10	360	<10	135
S650186		<20	0.02	<10	<10	7	<10	22
S650187		<20	0.07	<10	<10	4	<10	44
S650188		<20	0.03	<10	<10	2	<10	18
S650189		<20	0.09	<10	<10	116	<10	38
W952436		<20	0.19	<10	<10	319	<10	79
W952437		<20	0.41	<10	<10	407	<10	87
W952438		<20	0.10	<10	<10	46	<10	1050
W952448		<20	0.10	<10	<10	46	<10	1050
W952450		<20	0.04	<10	<10	24	<10	106



ALS Canada Ltd.  
2103 Dollarton Hwy  
North Vancouver BC V7H 0A7  
Phone: +1 (604) 984 0221 Fax: +1 (604) 984 0218  
www.alsglobal.com/geochemistry

To: BEAUFIELD RESOURCES INC.  
950 - 1801 MCGILL COLLEGE AVENUE  
MONTREAL QC H3A 2N4

Page: Appendix 1  
Total # Appendix Pages: 1  
Finalized Date: 31-AUG-2018  
Account: RESBEA

Project: TROILUS SUMMER 2018

**CERTIFICATE OF ANALYSIS VO18204928**

**CERTIFICATE COMMENTS**

**LABORATORY ADDRESSES**

Applies to Method:	Processed at ALS Val d'Or located at 1324 Rue Turcotte, Val d'Or, QC, Canada.		
	Au-AA23	CRU-31	CRU-QC
	PUL-31	PUL-QC	SPL-21
			LOG-22
			WEI-21
Applies to Method:	Processed at ALS Vancouver located at 2103 Dollarton Hwy, North Vancouver, BC, Canada.		
	ME-ICP41		



ALS Canada Ltd.  
 2103 Dollarton Hwy  
 North Vancouver BC V7H 0A7  
 Phone: +1 (604) 984 0221 Fax: +1 (604) 984 0218  
 www.alsglobal.com/geochemistry

To: **BEAUFIELD RESOURCES INC.**  
**950 - 1801 MCGILL COLLEGE AVENUE**  
**MONTREAL QC H3A 2N4**

Page: 1  
 Total # Pages: 2 (A)  
 Plus Appendix Pages  
 Finalized Date: 20-SEP-2018  
 Account: RESBEA

**CERTIFICATE VO18211230**

Project: TROILUS SUMMER 2018

This report is for 4 Rock samples submitted to our lab in Val d'Or, QC, Canada on 24-AUG-2018.

The following have access to data associated with this certificate:

LENA STEPANIAN	MATHIEU STEPHENS
----------------	------------------

SAMPLE PREPARATION	
ALS CODE	DESCRIPTION
WEI-21	Received Sample Weight
LOG-22	Sample login - Rcd w/o BarCode
CRU-QC	Crushing QC Test
CRU-31	Fine crushing - 70% <2mm
SPL-21	Split sample - riffle splitter
PUL-31	Pulverize split to 85% <75 um

ANALYTICAL PROCEDURES		
ALS CODE	DESCRIPTION	
Li-OG63	Ore grade Li - 4ACID	
ME-OG62o	Ore Grade open beaker -ICPAES	ICP-AES

This is the Final Report and supersedes any preliminary report with this certificate number. Results apply to samples as submitted. All pages of this report have been checked and approved for release.

\*\*\*\*\* See Appendix Page for comments regarding this certificate \*\*\*\*\*

Signature:   
 Colin Ramshaw, Vancouver Laboratory Manager



ALS Canada Ltd.  
2103 Dollarton Hwy  
North Vancouver BC V7H 0A7  
Phone: +1 (604) 984 0221 Fax: +1 (604) 984 0218  
www.alsglobal.com/geochemistry

To: BEAUFIELD RESOURCES INC.  
950 - 1801 MCGILL COLLEGE AVENUE  
MONTREAL QC H3A 2N4

Page: 2 - A  
Total # Pages: 2 (A)  
Plus Appendix Pages  
Finalized Date: 20-SEP-2018  
Account: RESBEA

Project: TROILUS SUMMER 2018

**CERTIFICATE OF ANALYSIS VO18211230**

Sample Description	Method Analyte Units LOD	WEI-21 Recvd Wt. kg 0.02	LI-OG63 Li % 0.005
S649301		1.98	0.023
S649302		1.40	0.478
S649303		1.18	0.351
S649304		1.32	0.017

\*\*\*\*\* See Appendix Page for comments regarding this certificate \*\*\*\*\*



ALS Canada Ltd.  
2103 Dollarton Hwy  
North Vancouver BC V7H 0A7  
Phone: +1 (604) 984 0221 Fax: +1 (604) 984 0218  
www.alsglobal.com/geochemistry

To: BEAUFIELD RESOURCES INC.  
950 - 1801 MCGILL COLLEGE AVENUE  
MONTREAL QC H3A 2N4

Page: Appendix 1  
Total # Appendix Pages: 1  
Finalized Date: 20-SEP-2018  
Account: RESBEA

Project: TROILUS SUMMER 2018

**CERTIFICATE OF ANALYSIS VO18211230**

**CERTIFICATE COMMENTS**

**LABORATORY ADDRESSES**

Applies to Method:	Processed at ALS Val d'Or located at 1324 Rue Turcotte, Val d'Or, QC, Canada.		
	CRU-31	CRU-QC	LOG-22
	SPL-21	WEI-21	PUL-31
Applies to Method:	Processed at ALS Vancouver located at 2103 Dollarton Hwy, North Vancouver, BC, Canada.		
	Li-OG63	ME-OG62o	





ALS Canada Ltd.  
 2103 Dollarton Hwy  
 North Vancouver BC V7H 0A7  
 Phone: +1 (604) 984 0221 Fax: +1 (604) 984 0218  
 www.alsglobal.com/geochemistry

To: **BEAUFIELD RESOURCES INC.**  
**950 - 1801 MCGILL COLLEGE AVENUE**  
**MONTREAL QC H3A 2N4**

Page: 1  
 Total # Pages: 3 (A - C)  
 Plus Appendix Pages  
 Finalized Date: 21-SEP-2018  
 Account: RESBEA

**CERTIFICATE VO18211247**

Project: TROILUS SUMMER 2018

This report is for 46 Rock samples submitted to our lab in Val d'Or, QC, Canada on 24-AUG-2018.

The following have access to data associated with this certificate:

LENA STEPANIAN	MATHIEU STEPHENS
----------------	------------------

SAMPLE PREPARATION	
ALS CODE	DESCRIPTION
WEI-21	Received Sample Weight
LOG-22	Sample login - Rcd w/o BarCode
CRU-QC	Crushing QC Test
PUL-QC	Pulverizing QC Test
CRU-31	Fine crushing - 70% <2mm
SPL-21	Split sample - riffle splitter
PUL-31	Pulverize split to 85% <75 um

ANALYTICAL PROCEDURES		
ALS CODE	DESCRIPTION	INSTRUMENT
Au-AA23	Au 30g FA-AA finish	AAS
ME-ICP41	35 Element Aqua Regia ICP-AES	ICP-AES

This is the Final Report and supersedes any preliminary report with this certificate number. Results apply to samples as submitted. All pages of this report have been checked and approved for release.

\*\*\*\*\* See Appendix Page for comments regarding this certificate \*\*\*\*\*

Signature: *Nacera Amara*  
 Nacera Amara, Laboratory Manager, Val d'Or



ALS Canada Ltd.  
 2103 Dollarton Hwy  
 North Vancouver BC V7H 0A7  
 Phone: +1 (604) 984 0221 Fax: +1 (604) 984 0218  
 www.alsglobal.com/geochemistry

To: BEAUFIELD RESOURCES INC.  
 950 - 1801 MCGILL COLLEGE AVENUE  
 MONTRÉAL QC H3A 2N4

Page: 2 - A  
 Total # Pages: 3 (A - C)  
 Plus Appendix Pages  
 Finalized Date: 21-SEP-2018  
 Account: RESBEA

Project: TROILUS SUMMER 2018

**CERTIFICATE OF ANALYSIS VO18211247**

Sample Description	Method Analyte Units LOD	WEI-21	Au-AA23	ME-ICP41	ME-ICP41	ME-ICP41	ME-ICP41	ME-ICP41	ME-ICP41	ME-ICP41	ME-ICP41	ME-ICP41	ME-ICP41	ME-ICP41	ME-ICP41	
		Recvd Wt. kg	Au ppm	Ag ppm	Al %	As ppm	B ppm	Ba ppm	Be ppm	Bi ppm	Ca %	Cd ppm	Co ppm	Cr ppm	Cu ppm	Fe %
		0.02	0.005	0.2	0.01	2	10	10	0.5	2	0.01	0.5	1	1	1	0.01
S649151		Not Recvd														
S649351		1.53	0.006	<0.2	0.01	<2	<10	<10	<0.5	<2	0.01	<0.5	<1	23	1	0.31
S649352		1.28	<0.005	<0.2	0.12	<2	<10	<10	<0.5	<2	0.06	<0.5	1	18	1	0.29
S649353		3.26	0.015	<0.2	0.96	<2	20	10	<0.5	<2	1.03	<0.5	9	32	108	1.82
S649354		1.60	0.013	0.4	2.46	<2	50	30	<0.5	<2	1.61	<0.5	37	17	354	5.48
S649355		2.17	0.008	<0.2	1.08	<2	<10	10	<0.5	<2	0.75	<0.5	22	4	50	3.67
S649356		1.30	0.027	<0.2	1.93	2	<10	180	<0.5	2	2.19	<0.5	38	62	190	3.75
S649357		1.62	0.016	0.2	1.50	<2	<10	10	<0.5	<2	1.57	<0.5	18	80	393	4.20
S649358		1.34	0.041	9.1	3.56	<2	<10	10	<0.5	14	0.45	<0.5	22	56	2560	7.95
S649359		1.14	0.020	0.2	0.81	<2	<10	10	<0.5	<2	0.61	<0.5	7	36	196	1.00
S649360		1.41	0.008	0.3	1.17	<2	<10	10	<0.5	<2	1.10	<0.5	54	77	552	10.95
S649361		1.25	0.013	0.4	1.35	<2	<10	10	<0.5	<2	1.29	<0.5	42	62	700	6.98
S649362		1.27	0.037	0.2	1.40	<2	<10	10	<0.5	<2	1.51	<0.5	38	10	594	4.76
S649363		2.01	<0.005	0.5	0.53	287	<10	20	<0.5	<2	0.23	<0.5	40	2	52	24.2
S649364		0.59	<0.005	<0.2	0.42	<2	<10	10	<0.5	<2	0.20	<0.5	4	18	65	1.37
S649365		2.12	0.006	<0.2	1.12	<2	<10	20	<0.5	<2	1.63	<0.5	20	39	267	3.11
S649366		1.68	<0.005	<0.2	0.08	<2	<10	10	<0.5	<2	0.04	<0.5	1	17	2	0.42
S649367		0.74	<0.005	<0.2	0.05	<2	<10	<10	<0.5	<2	0.03	<0.5	1	12	1	0.41
S649368		1.17	0.018	1.0	1.19	<2	<10	70	<0.5	<2	0.40	0.5	188	106	2350	6.33
S649369		1.76	0.008	0.2	1.17	2	<10	20	<0.5	<2	0.64	<0.5	18	196	204	1.74
S649370		0.59	0.038	3.1	0.76	<2	<10	30	<0.5	3	0.37	<0.5	536	93	7680	16.80
S649371		0.88	<0.005	<0.2	0.85	<2	<10	10	<0.5	<2	0.79	<0.5	19	34	87	2.16
S649372		0.97	0.016	0.7	0.92	<2	<10	20	<0.5	2	0.40	9.6	139	35	344	7.58
S649373		1.85	0.024	<0.2	4.55	<2	<10	10	<0.5	3	2.99	<0.5	25	34	155	1.41
S649374		1.17	0.006	0.7	1.16	<2	<10	30	<0.5	<2	0.38	<0.5	14	12	126	1.77
S649375		2.56	<0.005	<0.2	1.95	2	<10	10	<0.5	<2	1.20	<0.5	29	270	94	3.27
S649376		1.12	0.008	0.6	2.12	6	<10	90	<0.5	<2	0.84	1.9	37	43	341	3.39
S649377		1.41	0.015	0.2	1.80	4	<10	110	<0.5	<2	0.65	2.3	31	43	206	2.81
S649378		1.34	0.015	2.2	1.08	2	<10	30	<0.5	<2	0.36	3.1	76	22	1070	12.35
S649379		1.73	0.007	0.2	1.73	<2	<10	30	<0.5	<2	0.97	<0.5	17	99	314	4.04
S649380		1.73	0.008	<0.2	2.03	<2	<10	80	<0.5	<2	1.30	<0.5	15	82	249	3.84
S649381		1.56	0.008	0.5	0.97	4	<10	30	<0.5	<2	0.59	0.8	16	4	126	15.35
S649382		1.95	0.018	<0.2	0.52	25	<10	20	<0.5	<2	0.16	0.5	54	10	53	17.40
W952423		Not Recvd														
W952424		Not Recvd														
W952425		0.91	<0.005	<0.2	0.34	<2	<10	<10	<0.5	<2	0.61	<0.5	4	16	17	0.72
W952426		1.05	<0.005	<0.2	2.32	<2	<10	440	<0.5	<2	0.89	<0.5	10	4	4	4.89
W952427		1.03	0.013	0.2	1.46	<2	<10	180	<0.5	<2	0.70	<0.5	8	5	37	3.57
W952428		2.55	0.025	0.9	0.90	34	<10	10	<0.5	<2	0.12	<0.5	51	8	27	30.7
W952429		0.74	<0.005	<0.2	3.17	<2	<10	20	<0.5	2	3.23	<0.5	32	142	67	9.29



ALS Canada Ltd.  
 2103 Dollarton Hwy  
 North Vancouver BC V7H 0A7  
 Phone: +1 (604) 984 0221 Fax: +1 (604) 984 0218  
 www.alsglobal.com/geochemistry

To: BEAUFIELD RESOURCES INC.  
 950 - 1801 MCGILL COLLEGE AVENUE  
 MONTRÉAL QC H3A 2N4

Page: 2 - B  
 Total # Pages: 3 (A - C)  
 Plus Appendix Pages  
 Finalized Date: 21-SEP-2018  
 Account: RESBEA

Project: TROILUS SUMMER 2018

**CERTIFICATE OF ANALYSIS VO18211247**

Sample Description	Method Analyte Units LOD	ME-ICP41	ME-ICP41	ME-ICP41	ME-ICP41	ME-ICP41	ME-ICP41	ME-ICP41	ME-ICP41	ME-ICP41	ME-ICP41	ME-ICP41	ME-ICP41	ME-ICP41	ME-ICP41	
		Ga	Hg	K	La	Mg	Mn	Mo	Na	Ni	P	Pb	S	Sb	Sc	Sr
		ppm	ppm	%	ppm	%	ppm	ppm	%	ppm	ppm	ppm	%	ppm	ppm	ppm
		10	1	0.01	10	0.01	5	1	0.01	1	10	2	0.01	2	1	1
S649151		<10	<1	<0.01	<10	0.01	33	<1	0.01	1	<10	<2	<0.01	<2	<1	1
S649351		<10	<1	0.02	<10	0.02	32	<1	0.04	1	20	2	<0.01	<2	<1	6
S649352		<10	<1	0.09	<10	0.57	247	1	0.08	14	330	2	0.05	<2	5	16
S649353		10	<1	0.20	10	1.18	781	18	0.15	28	360	5	0.44	<2	15	20
S649354																
S649355		10	<1	0.02	<10	0.41	248	1	0.09	10	830	<2	0.66	<2	11	6
S649356		10	<1	0.18	<10	0.63	566	<1	0.18	58	320	4	0.71	<2	9	33
S649357		<10	<1	0.05	<10	1.02	484	<1	0.16	26	140	<2	0.26	<2	14	4
S649358		10	<1	0.05	<10	2.93	822	14	0.04	26	170	6	0.39	<2	8	6
S649359		<10	<1	0.03	<10	0.32	148	<1	0.08	16	50	<2	0.04	<2	2	8
S649360		<10	<1	0.03	<10	0.76	495	<1	0.13	95	90	<2	0.62	<2	7	2
S649361		<10	<1	0.03	<10	0.96	606	1	0.14	57	120	<2	1.30	<2	8	2
S649362		10	<1	0.06	<10	0.68	488	<1	0.21	15	390	<2	0.78	<2	15	5
S649363		<10	<1	0.10	10	0.15	143	1	0.05	28	940	11	>10.0	<2	1	12
S649364		<10	<1	0.03	<10	0.24	109	<1	0.02	3	510	<2	0.04	<2	2	3
S649365		<10	<1	0.06	10	0.71	378	<1	0.14	20	580	<2	0.28	<2	9	13
S649366		<10	<1	0.02	<10	0.03	51	<1	0.02	1	10	<2	<0.01	<2	<1	3
S649367		<10	<1	<0.01	<10	0.03	48	<1	0.01	1	10	<2	<0.01	<2	<1	1
S649368		<10	1	0.45	<10	1.09	189	<1	0.06	1385	380	<2	2.95	<2	3	8
S649369		<10	<1	0.05	<10	1.12	207	1	0.07	111	160	<2	0.15	<2	4	13
S649370		<10	<1	0.15	10	0.58	133	1	0.05	4030	330	<2	>10.0	<2	2	4
S649371		<10	<1	0.07	10	0.70	201	<1	0.11	39	330	<2	0.26	<2	5	9
S649372		<10	<1	0.15	30	0.44	292	3	0.07	248	630	25	4.77	<2	5	7
S649373		10	<1	0.03	<10	0.30	80	1	0.45	93	100	2	0.63	<2	1	61
S649374		<10	<1	0.17	10	0.53	285	2	0.08	40	190	22	0.53	<2	1	15
S649375		<10	<1	0.03	<10	1.35	670	<1	0.08	94	150	<2	0.11	<2	6	10
S649376		10	<1	0.52	10	0.63	388	1	0.20	69	600	31	0.88	<2	8	33
S649377		10	<1	0.59	10	0.57	302	1	0.19	60	550	4	0.68	<2	8	24
S649378		<10	<1	0.08	<10	0.56	184	3	0.09	165	310	98	7.22	<2	2	13
S649379		10	<1	0.08	<10	1.46	407	<1	0.10	39	270	<2	0.40	<2	6	8
S649380		<10	<1	0.18	<10	1.51	407	<1	0.14	27	250	<2	0.25	<2	6	18
S649381		<10	<1	0.12	10	0.36	448	1	0.11	48	1250	8	7.72	<2	2	24
S649382		<10	<1	0.12	<10	0.27	166	1	0.06	17	210	6	>10.0	<2	2	5
W952423																
W952424																
W952425		<10	<1	<0.01	<10	0.13	100	<1	0.01	6	20	<2	0.02	<2	1	1
W952426		10	1	1.39	30	0.75	703	1	0.10	8	2120	2	0.06	2	8	40
W952427		10	<1	0.51	20	1.00	264	<1	0.08	1	1840	2	0.32	<2	4	55
W952428		<10	1	0.03	<10	0.55	292	<1	0.01	75	80	3	>10.0	<2	1	13
W952429		10	1	0.01	<10	2.77	1590	<1	0.03	83	120	3	0.13	<2	11	34



ALS Canada Ltd.  
 2103 Dollarton Hwy  
 North Vancouver BC V7H 0A7  
 Phone: +1 (604) 984 0221 Fax: +1 (604) 984 0218  
 www.alsglobal.com/geochemistry

To: BEAUFIELD RESOURCES INC.  
 950 - 1801 MCGILL COLLEGE AVENUE  
 MONTRÉAL QC H3A 2N4

Page: 2 - C  
 Total # Pages: 3 (A - C)  
 Plus Appendix Pages  
 Finalized Date: 21-SEP-2018  
 Account: RESBEA

Project: TROILUS SUMMER 2018

**CERTIFICATE OF ANALYSIS VO18211247**

Sample Description	Method Analyte Units LOD	ME-ICP41	ME-ICP41	ME-ICP41	ME-ICP41	ME-ICP41	ME-ICP41	
		Th	Ti	Ti	U	V	W	Zn
		ppm	%	ppm	ppm	ppm	ppm	ppm
		20	0.01	10	10	1	10	2
S649151		<20	<0.01	<10	<10	<1	<10	<2
S649351		<20	0.01	<10	<10	1	<10	3
S649352		<20	0.16	<10	<10	49	<10	20
S649353		<20	0.23	<10	<10	143	<10	87
S649354		<20	0.12	<10	<10	50	<10	36
S649355		<20	0.19	<10	<10	112	<10	66
S649356		<20	0.08	<10	<10	80	<10	24
S649357		<20	0.09	<10	<10	144	<10	168
S649358		<20	0.04	<10	<10	16	<10	13
S649359		<20	0.05	<10	<10	42	<10	93
S649360		<20	0.07	<10	<10	51	<10	23
S649361		<20	0.15	<10	<10	162	<10	32
S649362		<20	0.01	<10	<10	3	<10	141
S649363		<20	0.04	<10	<10	38	<10	13
S649364		<20	0.15	<10	<10	93	<10	43
S649365		<20	0.01	<10	<10	3	<10	4
S649366		<20	<0.01	<10	<10	1	<10	<2
S649367		<20	0.11	<10	<10	39	<10	38
S649368		<20	0.06	<10	<10	25	<10	20
S649369		<20	0.05	10	<10	24	<10	60
S649370		<20	0.11	<10	<10	46	<10	30
S649371		<20	0.10	<10	<10	23	<10	4260
S649372		<20	0.03	<10	<10	8	<10	17
S649373		<20	0.04	<10	<10	5	<10	150
S649374		<20	0.17	<10	<10	64	<10	40
S649375		<20	0.13	<10	<10	56	<10	879
S649376		<20	0.16	<10	<10	59	<10	797
S649377		<20	0.05	<10	<10	13	<10	1480
S649378		<20	0.17	<10	<10	51	<10	41
S649379		<20	0.17	<10	<10	52	<10	35
S649380		<20	0.01	<10	<10	4	<10	363
S649381		<20	0.06	<10	<10	9	<10	692
S649382		<20	0.01	<10	<10	10	<10	7
W952423		<20	0.23	<10	<10	57	<10	61
W952424		<20	0.15	<10	<10	46	<10	60
W952425		<20	0.02	<10	<10	10	<10	49
W952426		<20	0.03	<10	<10	131	<10	112
W952427		<20		<10	<10		<10	
W952428		<20		<10	<10		<10	
W952429		<20		<10	<10		<10	



ALS Canada Ltd.  
 2103 Dollarton Hwy  
 North Vancouver BC V7H 0A7  
 Phone: +1 (604) 984 0221 Fax: +1 (604) 984 0218  
 www.alsglobal.com/geochemistry

To: BEAUFIELD RESOURCES INC.  
 950 - 1801 MCGILL COLLEGE AVENUE  
 MONTRÉAL QC H3A 2N4

Page: 3 - A  
 Total # Pages: 3 (A - C)  
 Plus Appendix Pages  
 Finalized Date: 21-SEP-2018  
 Account: RESBEA

Project: TROILUS SUMMER 2018

**CERTIFICATE OF ANALYSIS VO18211247**

Sample Description	Method Analyte Units LOD	WEI-21 Recvd Wt. kg	Au-AA23 Au ppm	ME-ICP41 Ag ppm	ME-ICP41 Al %	ME-ICP41 As ppm	ME-ICP41 B ppm	ME-ICP41 Ba ppm	ME-ICP41 Be ppm	ME-ICP41 Bi ppm	ME-ICP41 Ca %	ME-ICP41 Cd ppm	ME-ICP41 Co ppm	ME-ICP41 Cr ppm	ME-ICP41 Cu ppm	ME-ICP41 Fe %
		0.02	0.005	0.2	0.01	2	10	10	0.5	2	0.01	0.5	1	1	1	0.01
W952430		1.59	0.009	<0.2	2.48	<2	<10	20	<0.5	<2	1.72	<0.5	37	157	208	7.85
W952431		1.74	0.008	<0.2	1.69	<2	<10	340	<0.5	<2	0.71	<0.5	15	98	24	3.76
W952432		1.99	0.008	0.6	1.23	<2	<10	30	<0.5	<2	0.65	<0.5	13	139	117	4.07
W952433		1.10	0.011	0.8	0.62	<2	<10	20	<0.5	4	0.29	<0.5	31	45	309	20.5
W952434		1.46	0.012	0.7	1.59	<2	<10	30	<0.5	2	0.61	0.5	34	160	122	6.46
W952435		1.44	0.011	1.5	1.44	<2	<10	20	<0.5	<2	1.87	<0.5	54	22	1690	10.35



ALS Canada Ltd.  
 2103 Dollarton Hwy  
 North Vancouver BC V7H 0A7  
 Phone: +1 (604) 984 0221 Fax: +1 (604) 984 0218  
 www.alsglobal.com/geochemistry

To: BEAUFIELD RESOURCES INC.  
 950 - 1801 MCGILL COLLEGE AVENUE  
 MONTRÉAL QC H3A 2N4

Page: 3 - B  
 Total # Pages: 3 (A - C)  
 Plus Appendix Pages  
 Finalized Date: 21-SEP-2018  
 Account: RESBEA

Project: TROILUS SUMMER 2018

**CERTIFICATE OF ANALYSIS VO18211247**

Sample Description	Method Analyte Units LOD	ME-ICP41	ME-ICP41	ME-ICP41	ME-ICP41	ME-ICP41	ME-ICP41	ME-ICP41	ME-ICP41	ME-ICP41	ME-ICP41	ME-ICP41	ME-ICP41	ME-ICP41	ME-ICP41	
		Ga ppm 10	Hg ppm 1	K % 0.01	La ppm 10	Mg % 0.01	Mn ppm 5	Mo ppm 1	Na % 0.01	Ni ppm 1	P ppm 10	Pb ppm 2	S % 0.01	Sb ppm 2	Sc ppm 1	Sr ppm 1
W952430		10	<1	0.07	<10	1.74	826	<1	0.13	82	100	<2	0.44	<2	13	9
W952431		10	<1	0.92	20	0.65	437	<1	0.10	49	650	<2	0.01	<2	7	37
W952432		<10	<1	0.10	<10	0.74	285	<1	0.05	36	230	4	1.48	<2	6	8
W952433		<10	1	0.06	<10	0.32	183	1	0.02	96	210	<2	9.01	<2	2	6
W952434		<10	<1	0.10	<10	1.03	400	<1	0.06	78	310	<2	2.68	<2	9	9
W952435		<10	<1	0.25	<10	0.88	1075	<1	0.22	60	280	2	4.59	<2	7	17



ALS Canada Ltd.  
 2103 Dollarton Hwy  
 North Vancouver BC V7H 0A7  
 Phone: +1 (604) 984 0221 Fax: +1 (604) 984 0218  
 www.alsglobal.com/geochemistry

To: BEAUFIELD RESOURCES INC.  
 950 - 1801 MCGILL COLLEGE AVENUE  
 MONTRÉAL QC H3A 2N4

Page: 3 - C  
 Total # Pages: 3 (A - C)  
 Plus Appendix Pages  
 Finalized Date: 21-SEP-2018  
 Account: RESBEA

Project: TROILUS SUMMER 2018

<b>CERTIFICATE OF ANALYSIS VO18211247</b>
---

Sample Description	Method	ME-ICP41	ME-ICP41	ME-ICP41	ME-ICP41	ME-ICP41	ME-ICP41	ME-ICP41
	Analyte	Th	Ti	Ti	U	V	W	Zn
	Units	ppm	%	ppm	ppm	ppm	ppm	ppm
LOD	20	0.01	10	10	1	10	2	
W952430		<20	0.07	<10	<10	119	<10	46
W952431		<20	0.17	<10	<10	79	<10	69
W952432		<20	0.20	<10	<10	85	<10	80
W952433		<20	0.08	<10	<10	28	<10	108
W952434		<20	0.15	<10	<10	96	<10	197
W952435		<20	0.09	<10	<10	52	<10	68



ALS Canada Ltd.  
2103 Dollarton Hwy  
North Vancouver BC V7H 0A7  
Phone: +1 (604) 984 0221 Fax: +1 (604) 984 0218  
www.alsglobal.com/geochemistry

To: BEAUFIELD RESOURCES INC.  
950 - 1801 MCGILL COLLEGE AVENUE  
MONTREAL QC H3A 2N4

Page: Appendix 1  
Total # Appendix Pages: 1  
Finalized Date: 21-SEP-2018  
Account: RESBEA

Project: TROILUS SUMMER 2018

**CERTIFICATE OF ANALYSIS VO18211247**

**CERTIFICATE COMMENTS**

**LABORATORY ADDRESSES**

Applies to Method:	Processed at ALS Val d'Or located at 1324 Rue Turcotte, Val d'Or, QC, Canada.			
	Au-AA23	CRU-31	CRU-QC	LOG-22
	PUL-31	PUL-QC	SPL-21	WEI-21
Applies to Method:	Processed at ALS Vancouver located at 2103 Dollarton Hwy, North Vancouver, BC, Canada.			
	ME-ICP41			





ALS Canada Ltd.  
 2103 Dollarton Hwy  
 North Vancouver BC V7H 0A7  
 Phone: +1 (604) 984 0221 Fax: +1 (604) 984 0218  
 www.alsglobal.com/geochemistry

To: **BEAUFIELD RESOURCES INC.**  
**950 - 1801 MCGILL COLLEGE AVENUE**  
**MONTREAL QC H3A 2N4**

Page: 1  
 Total # Pages: 2 (A - B)  
 Plus Appendix Pages  
 Finalized Date: 18-SEP-2018  
 Account: RESBEA

**CERTIFICATE VO18211250**

Project: TROILUS SUMMER 2018

This report is for 21 Rock samples submitted to our lab in Val d'Or, QC, Canada on 24-AUG-2018.

The following have access to data associated with this certificate:

LENA STEPANIAN	MATHIEU STEPHENS
----------------	------------------

SAMPLE PREPARATION	
ALS CODE	DESCRIPTION
WEI-21	Received Sample Weight
LOG-22	Sample login - Rcd w/o BarCode
CRU-QC	Crushing QC Test
PUL-QC	Pulverizing QC Test
CRU-31	Fine crushing - 70% <2mm
SPL-21	Split sample - riffle splitter
PUL-31	Pulverize split to 85% <75 um

ANALYTICAL PROCEDURES		
ALS CODE	DESCRIPTION	INSTRUMENT
ME-XRF26	Whole Rock By Fusion/XRF	XRF
OA-GRA05x	LOI for XRF	WST-SEQ

This is the Final Report and supersedes any preliminary report with this certificate number. Results apply to samples as submitted. All pages of this report have been checked and approved for release.

\*\*\*\*\* See Appendix Page for comments regarding this certificate \*\*\*\*\*

Signature:   
 Colin Ramshaw, Vancouver Laboratory Manager



ALS Canada Ltd.  
 2103 Dollarton Hwy  
 North Vancouver BC V7H 0A7  
 Phone: +1 (604) 984 0221 Fax: +1 (604) 984 0218  
 www.alsglobal.com/geochemistry

To: BEAUFIELD RESOURCES INC.  
 950 - 1801 MCGILL COLLEGE AVENUE  
 MONTRÉAL QC H3A 2N4

Page: 2 - A  
 Total # Pages: 2 (A - B)  
 Plus Appendix Pages  
 Finalized Date: 18-SEP-2018  
 Account: RESBEA

Project: TROILUS SUMMER 2018

**CERTIFICATE OF ANALYSIS VO18211250**

Sample Description	Method Analyte Units LOD	WEI-21	ME-XRF26	ME-XRF26	ME-XRF26	ME-XRF26	ME-XRF26	ME-XRF26	ME-XRF26	ME-XRF26	ME-XRF26	ME-XRF26	ME-XRF26	ME-XRF26	ME-XRF26	
		Recvd Wt. kg	Al2O3 %	BaO %	CaO %	Cr2O3 %	Fe2O3 %	K2O %	MgO %	MnO %	Na2O %	P2O5 %	SO3 %	SiO2 %	SrO %	TiO2 %
		0.02	0.01	0.01	0.01	0.01	0.01	0.01	0.01	0.01	0.01	0.01	0.01	0.01	0.01	
S649463		2.00	13.86	0.01	8.96	0.02	13.66	0.17	7.17	0.20	2.53	0.10	0.37	50.27	0.02	1.14
S649464		2.01	13.86	0.02	10.20	0.01	15.61	0.22	4.99	0.24	1.64	0.11	1.20	50.69	0.02	1.36
S649465		2.25	13.58	0.02	11.10	0.03	12.27	0.28	7.02	0.18	1.88	0.07	0.15	51.67	0.02	0.93
S649466		1.28	13.30	0.02	10.70	0.02	14.26	0.21	6.50	0.21	1.94	0.09	0.03	50.80	0.02	1.07
S649467		1.85	10.96	0.01	14.80	0.03	11.86	0.13	6.83	0.20	0.22	0.06	0.02	52.43	0.01	0.83
S649469		1.97	13.66	0.01	11.20	0.06	12.44	0.16	9.03	0.22	1.62	0.03	0.02	49.09	0.01	0.61
S649471		1.53	13.54	0.02	10.05	0.02	12.72	0.33	6.55	0.21	3.11	0.07	0.01	51.07	0.02	0.97
S649472		1.84	13.91	0.02	8.46	0.01	13.36	0.69	6.43	0.18	2.67	0.10	0.22	51.67	0.02	1.13
S649473		1.64	14.08	0.01	11.10	0.05	12.08	0.23	8.86	0.17	0.74	0.03	0.09	50.06	0.01	0.59
S649474		1.27	14.94	0.01	7.65	0.08	7.39	0.07	11.15	0.14	3.59	0.01	0.03	51.06	0.01	0.20
S649475		2.74	14.21	0.01	8.69	0.03	14.00	0.12	5.93	0.20	2.35	0.12	0.52	49.50	0.01	1.44
S649477		0.72	12.82	0.01	10.95	0.10	12.79	0.09	10.50	0.20	1.58	0.03	0.06	49.22	0.01	0.55
S649479		0.68	13.64	0.02	11.30	0.02	13.26	0.23	6.13	0.21	1.16	0.08	0.01	51.61	0.02	1.02
S649480		1.40	13.78	0.02	9.83	0.02	12.91	0.18	7.02	0.18	2.73	0.08	0.25	50.60	0.02	1.00
S649481		1.20	14.26	0.01	11.70	0.01	12.10	0.23	8.64	0.21	1.44	0.03	0.10	49.49	0.01	0.54
S649482		0.68	11.93	0.02	12.85	0.05	10.42	0.29	11.60	0.19	1.01	0.02	0.01	49.70	0.01	0.40
S649483		0.90	12.28	0.02	8.77	0.01	15.94	0.23	6.42	0.23	1.84	0.10	0.18	51.61	0.02	1.23
S649468		1.43	12.72	0.04	1.36	<0.01	6.24	1.78	2.59	0.06	3.29	0.20	<0.01	69.09	0.01	0.38
S649470		1.03	13.88	0.03	9.35	0.01	13.92	0.42	5.36	0.24	0.66	0.11	3.27	51.99	0.02	1.38
S649476		2.84	14.35	0.02	8.19	0.02	14.78	0.16	4.64	0.19	3.27	0.14	0.42	50.59	0.02	1.67
S649478		0.93	13.86	0.02	6.74	0.03	15.16	0.11	6.28	0.27	3.74	0.14	0.16	51.53	0.03	1.62



ALS Canada Ltd.  
 2103 Dollarton Hwy  
 North Vancouver BC V7H 0A7  
 Phone: +1 (604) 984 0221 Fax: +1 (604) 984 0218  
 www.alsglobal.com/geochemistry

To: BEAUFIELD RESOURCES INC.  
 950 - 1801 MCGILL COLLEGE AVENUE  
 MONTRÉAL QC H3A 2N4

Page: 2 - B  
 Total # Pages: 2 (A - B)  
 Plus Appendix Pages  
 Finalized Date: 18-SEP-2018  
 Account: RESBEA

Project: TROILUS SUMMER 2018

<b>CERTIFICATE OF ANALYSIS VO18211250</b>
---

Sample Description	Method Analyte Units LOD	ME-XRF26 Total % 0.01	OA-GRA05x LOI 1000 % 0.01
S649463		99.01	0.39
S649464		100.95	0.62
S649465		99.92	0.59
S649466		99.71	0.39
S649467		99.60	1.09
S649469		99.53	1.23
S649471		99.37	0.55
S649472		100.10	1.06
S649473		99.17	0.96
S649474		99.63	3.20
S649475		99.97	2.67
S649477		99.96	0.91
S649479		99.83	0.99
S649480		99.27	0.52
S649481		99.75	0.85
S649482		99.98	1.36
S649483		99.73	0.71
S649468		99.06	1.27
S649470		103.00	2.18
S649476		99.28	0.66
S649478		99.92	0.08



ALS Canada Ltd.  
2103 Dollarton Hwy  
North Vancouver BC V7H 0A7  
Phone: +1 (604) 984 0221 Fax: +1 (604) 984 0218  
www.alsglobal.com/geochemistry

To: BEAUFIELD RESOURCES INC.  
950 - 1801 MCGILL COLLEGE AVENUE  
MONTREAL QC H3A 2N4

Page: Appendix 1  
Total # Appendix Pages: 1  
Finalized Date: 18-SEP-2018  
Account: RESBEA

Project: TROILUS SUMMER 2018

**CERTIFICATE OF ANALYSIS VO18211250**

**CERTIFICATE COMMENTS**

**LABORATORY ADDRESSES**

Applies to Method:	Processed at ALS Val d'Or located at 1324 Rue Turcotte, Val d'Or, QC, Canada.		
	CRU-31	CRU-QC	LOG-22
	PUL-QC	SPL-21	WEI-21
			PUL-31
Applies to Method:	Processed at ALS Vancouver located at 2103 Dollarton Hwy, North Vancouver, BC, Canada.		
	ME-XRF26	OA-GRA05x	



ALS Canada Ltd.  
2103 Dollarton Hwy  
North Vancouver BC V7H 0A7  
Phone: +1 (604) 984 0221 Fax: +1 (604) 984 0218  
www.alsglobal.com/geochemistry

To: **BEAUFIELD RESOURCES INC.**  
**950 - 1801 MCGILL COLLEGE AVENUE**  
**MONTREAL QC H3A 2N4**

Page: 1  
Total # Pages: 2 (A - B)  
Plus Appendix Pages  
Finalized Date: 25-SEP-2018  
Account: RESBEA

**CERTIFICATE VO18227574**

Project: TROILUS SUMMER 2018

This report is for 2 Rock samples submitted to our lab in Val d'Or, QC, Canada on 30-AUG-2018.

The following have access to data associated with this certificate:

LENA STEPANIAN

MATHIEU STEPHENS

**SAMPLE PREPARATION**

ALS CODE	DESCRIPTION
WEI-21	Received Sample Weight
LOG-22	Sample login - Rcd w/o BarCode
CRU-QC	Crushing QC Test
PUL-QC	Pulverizing QC Test
CRU-31	Fine crushing - 70% <2mm
SPL-21	Split sample - riffle splitter
PUL-31	Pulverize split to 85% <75 um

**ANALYTICAL PROCEDURES**

ALS CODE	DESCRIPTION	INSTRUMENT
ME-XRF26	Whole Rock By Fusion/XRF	XRF
OA-GRA05x	LOI for XRF	WST-SEQ

This is the Final Report and supersedes any preliminary report with this certificate number. Results apply to samples as submitted. All pages of this report have been checked and approved for release.

\*\*\*\*\* See Appendix Page for comments regarding this certificate \*\*\*\*\*

Signature:

Colin Ramshaw, Vancouver Laboratory Manager



ALS Canada Ltd.  
 2103 Dollarton Hwy  
 North Vancouver BC V7H 0A7  
 Phone: +1 (604) 984 0221 Fax: +1 (604) 984 0218  
 www.alsglobal.com/geochemistry

To: BEAUFIELD RESOURCES INC.  
 950 - 1801 MCGILL COLLEGE AVENUE  
 MONTRÉAL QC H3A 2N4

Page: 2 - A  
 Total # Pages: 2 (A - B)  
 Plus Appendix Pages  
 Finalized Date: 25-SEP-2018  
 Account: RESBEA

Project: TROILUS SUMMER 2018

<b>CERTIFICATE OF ANALYSIS VO18227574</b>
---

Sample Description	Method	Analyte	Units	LOD	WEI-21	ME-XRF26	ME-XRF26	ME-XRF26	ME-XRF26	ME-XRF26	ME-XRF26	ME-XRF26	ME-XRF26	ME-XRF26	ME-XRF26	ME-XRF26				
					Recvd Wt.	Al2O3	BaO	CaO	Cr2O3	Fe2O3	K2O	MgO	MnO	Na2O	P2O5	SO3	SiO2	SrO	TiO2	
					kg	%	%	%	%	%	%	%	%	%	%	%	%	%	%	%
					0.02	0.01	0.01	0.01	0.01	0.01	0.01	0.01	0.01	0.01	0.01	0.01	0.01	0.01	0.01	0.01
S649484					2.30	16.62	0.01	11.55	0.11	9.34	0.06	10.30	0.15	1.60	0.03	0.03	45.72	0.02	0.45	
S649486					1.48	13.98	0.02	7.11	0.01	14.22	0.22	4.66	0.19	3.80	0.13	0.67	52.81	0.02	1.62	

\*\*\*\*\* See Appendix Page for comments regarding this certificate \*\*\*\*\*



ALS Canada Ltd.  
2103 Dollarton Hwy  
North Vancouver BC V7H 0A7  
Phone: +1 (604) 984 0221 Fax: +1 (604) 984 0218  
www.alsglobal.com/geochemistry

To: BEAUFIELD RESOURCES INC.  
950 - 1801 MCGILL COLLEGE AVENUE  
MONTREAL QC H3A 2N4

Page: 2 - B  
Total # Pages: 2 (A - B)  
Plus Appendix Pages  
Finalized Date: 25-SEP-2018  
Account: RESBEA

Project: TROILUS SUMMER 2018

**CERTIFICATE OF ANALYSIS VO18227574**

Sample Description	Method Analyte Units LOD	ME-XRF26	OA-GRA05x
		Total %	LOI 1000 %
S649484		99.51	3.40
S649486		100.10	0.50

\*\*\*\*\* See Appendix Page for comments regarding this certificate \*\*\*\*\*



ALS Canada Ltd.  
2103 Dollarton Hwy  
North Vancouver BC V7H 0A7  
Phone: +1 (604) 984 0221 Fax: +1 (604) 984 0218  
www.alsglobal.com/geochemistry

To: BEAUFIELD RESOURCES INC.  
950 - 1801 MCGILL COLLEGE AVENUE  
MONTREAL QC H3A 2N4

Page: Appendix 1  
Total # Appendix Pages: 1  
Finalized Date: 25-SEP-2018  
Account: RESBEA

Project: TROILUS SUMMER 2018

**CERTIFICATE OF ANALYSIS VO18227574**

### CERTIFICATE COMMENTS

#### LABORATORY ADDRESSES

Applies to Method:	Processed at ALS Val d'Or located at 1324 Rue Turcotte, Val d'Or, QC, Canada.		
	CRU-31	CRU-QC	LOG-22
	PUL-QC	SPL-21	WEI-21
			PUL-31
Applies to Method:	Processed at ALS Vancouver located at 2103 Dollarton Hwy, North Vancouver, BC, Canada.		
	ME-XRF26	OA-GRA05x	





ALS Canada Ltd.  
 2103 Dollarton Hwy  
 North Vancouver BC V7H 0A7  
 Phone: +1 (604) 984 0221 Fax: +1 (604) 984 0218  
 www.alsglobal.com/geochemistry

To: BEAUFIELD RESOURCES INC.  
 950 - 1801 MCGILL COLLEGE AVENUE  
 MONTRÉAL QC H3A 2N4

Page: 1  
 Total # Pages: 3 (A - C)  
 Plus Appendix Pages  
 Finalized Date: 3-OCT-2018  
 Account: RESBEA

**CERTIFICATE VO18227579**

Project: TROILUS SUMMER 2018

This report is for 57 Rock samples submitted to our lab in Val d'Or, QC, Canada on 30-AUG-2018.

The following have access to data associated with this certificate:

LENA STEPANIAN	MATHIEU STEPHENS
----------------	------------------

SAMPLE PREPARATION	
ALS CODE	DESCRIPTION
WEI-21	Received Sample Weight
LOG-22	Sample login - Rcd w/o BarCode
CRU-QC	Crushing QC Test
PUL-QC	Pulverizing QC Test
CRU-31	Fine crushing - 70% <2mm
SPL-21	Split sample - riffle splitter
PUL-31	Pulverize split to 85% <75 um

ANALYTICAL PROCEDURES		
ALS CODE	DESCRIPTION	INSTRUMENT
Au-AA23	Au 30g FA-AA finish	AAS
ME-ICP41	35 Element Aqua Regia ICP-AES	ICP-AES

This is the Final Report and supersedes any preliminary report with this certificate number. Results apply to samples as submitted. All pages of this report have been checked and approved for release.

\*\*\*\*\* See Appendix Page for comments regarding this certificate \*\*\*\*\*

Signature: *Nacera Amara*  
 Nacera Amara, Laboratory Manager, Val d'Or



ALS Canada Ltd.  
 2103 Dollarton Hwy  
 North Vancouver BC V7H 0A7  
 Phone: +1 (604) 984 0221 Fax: +1 (604) 984 0218  
 www.alsglobal.com/geochemistry

To: BEAUFIELD RESOURCES INC.  
 950 - 1801 MCGILL COLLEGE AVENUE  
 MONTRÉAL QC H3A 2N4

Page: 2 - A  
 Total # Pages: 3 (A - C)  
 Plus Appendix Pages  
 Finalized Date: 3-OCT-2018  
 Account: RESBEA

Project: TROILUS SUMMER 2018

**CERTIFICATE OF ANALYSIS VO18227579**

Sample Description	Method	WEI-21	Au-AA23	ME-ICP41	ME-ICP41	ME-ICP41	ME-ICP41	ME-ICP41	ME-ICP41	ME-ICP41	ME-ICP41	ME-ICP41	ME-ICP41	ME-ICP41	ME-ICP41	ME-ICP41
	Analyte	Recvd Wt.	Au	Ag	Al	As	B	Ba	Be	Bi	Ca	Cd	Co	Cr	Cu	Fe
Units		kg	ppm	ppm	%	ppm	ppm	ppm	ppm	ppm	%	ppm	ppm	ppm	ppm	%
LOD		0.02	0.005	0.2	0.01	2	10	10	0.5	2	0.01	0.5	1	1	1	0.01
S649116		1.54	0.027	<0.2	1.06	<2	<10	40	<0.5	<2	0.78	<0.5	9	82	10	1.95
S649117		1.03	0.039	<0.2	1.70	<2	10	10	<0.5	<2	0.10	<0.5	90	942	170	4.90
S649118		1.28	0.022	<0.2	1.33	<2	<10	30	<0.5	<2	0.96	<0.5	6	11	41	3.26
S649119		0.83	<0.005	<0.2	0.42	<2	<10	<10	<0.5	<2	0.26	<0.5	3	45	4	0.77
S649120		2.24	0.016	<0.2	1.80	50	10	70	<0.5	<2	0.92	1.0	16	19	65	2.01
S649121		1.27	0.009	<0.2	1.18	201	10	30	<0.5	<2	0.49	2.9	13	35	169	2.92
S649383		1.16	0.007	<0.2	1.76	9	<10	40	<0.5	<2	0.96	0.8	26	40	124	4.43
S649384		0.74	<0.005	<0.2	0.11	<2	<10	<10	<0.5	<2	0.07	<0.5	1	12	3	0.50
S649385		0.90	<0.005	<0.2	0.04	<2	<10	<10	<0.5	<2	0.01	<0.5	<1	11	2	0.37
S649386		1.04	0.023	<0.2	1.83	7	<10	20	<0.5	<2	1.16	<0.5	26	120	104	3.64
S649387		1.06	<0.005	<0.2	0.01	<2	<10	<10	<0.5	<2	0.01	<0.5	<1	10	1	0.33
S649388		1.21	0.012	<0.2	0.34	<2	<10	10	<0.5	<2	0.09	<0.5	3	32	3	0.72
S649392		1.16	0.009	<0.2	0.37	<2	<10	<10	<0.5	<2	0.38	<0.5	4	44	14	0.66
S649393		1.15	<0.005	<0.2	0.01	<2	<10	<10	<0.5	<2	0.02	<0.5	1	15	2	0.37
S649394		1.34	0.017	<0.2	0.33	<2	<10	10	<0.5	<2	1.53	<0.5	2	13	16	0.45
S649395		1.84	0.010	<0.2	2.26	<2	<10	10	<0.5	3	0.54	<0.5	50	12	473	12.55
S649396		1.26	0.023	0.4	1.15	56	<10	20	<0.5	<2	0.73	1.4	57	35	432	4.76
S650051		1.60	0.008	<0.2	2.99	8	10	30	<0.5	<2	1.30	0.8	13	16	160	2.35
S650052		0.88	0.006	0.9	0.28	126	500	<10	<0.5	4	0.48	<0.5	139	4	77	21.6
S650054		1.39	0.006	0.3	1.40	<2	10	10	<0.5	<2	1.45	<0.5	44	70	641	5.21
S650055		0.97	0.005	<0.2	1.24	<2	<10	<10	<0.5	<2	0.90	<0.5	16	69	403	6.79
S650056		2.38	0.016	0.4	1.25	93	<10	20	<0.5	2	3.14	0.9	35	8	78	17.50
S650057		1.54	0.024	0.5	0.95	132	<10	20	<0.5	<2	2.46	0.6	39	6	82	24.4
S650058		2.12	0.006	<0.2	3.24	2	<10	120	<0.5	<2	2.66	<0.5	24	79	106	4.18
S650059		2.15	0.045	<0.2	1.22	479	<10	<10	<0.5	2	0.82	<0.5	37	270	68	13.80
S650060		0.86	0.009	0.4	2.74	2	<10	10	<0.5	7	0.38	13.3	41	60	385	12.70
S650061		1.86	1.665	0.9	0.92	4	<10	<10	<0.5	4	0.51	0.7	30	40	297	11.90
S650062		1.49	0.005	<0.2	3.79	74	<10	40	<0.5	<2	2.14	0.6	36	141	77	4.67
S650063		0.96	<0.005	<0.2	4.85	<2	<10	80	<0.5	<2	1.97	<0.5	79	164	125	6.92
S650065		0.72	<0.005	<0.2	1.66	<2	20	<10	<0.5	<2	0.08	<0.5	66	1450	15	6.83
S650066		1.69	<0.005	<0.2	0.75	<2	<10	<10	<0.5	<2	0.05	<0.5	132	618	9	8.91
S650071		1.29	<0.005	<0.2	0.05	<2	<10	<10	<0.5	<2	2.42	<0.5	1	12	2	0.37
S650072		1.20	<0.005	<0.2	1.80	<2	<10	20	<0.5	<2	1.20	<0.5	38	60	83	4.77
S650073		2.11	<0.005	<0.2	1.45	<2	<10	210	<0.5	<2	2.00	<0.5	17	147	34	2.28
S650074		1.40	0.025	0.2	2.58	<2	<10	60	<0.5	<2	1.75	0.5	41	23	337	7.46
S650075		1.71	0.008	<0.2	2.39	<2	<10	150	<0.5	3	1.15	<0.5	18	25	163	5.38
S650076		1.59	0.052	2.5	1.53	107	<10	30	<0.5	3	0.91	<0.5	142	6	1160	31.5
S650174		1.82	<0.005	<0.2	0.40	<2	40	<10	<0.5	<2	0.01	<0.5	89	2460	2	14.35
S650175		1.39	0.005	<0.2	0.50	2	40	<10	<0.5	<2	0.03	<0.5	95	859	1	6.14
S650176		1.30	0.006	<0.2	1.15	6	50	<10	<0.5	<2	0.34	<0.5	81	1220	9	6.36



ALS Canada Ltd.  
 2103 Dollarton Hwy  
 North Vancouver BC V7H 0A7  
 Phone: +1 (604) 984 0221 Fax: +1 (604) 984 0218  
 www.alsglobal.com/geochemistry

To: BEAUFIELD RESOURCES INC.  
 950 - 1801 MCGILL COLLEGE AVENUE  
 MONTRÉAL QC H3A 2N4

Page: 2 - B  
 Total # Pages: 3 (A - C)  
 Plus Appendix Pages  
 Finalized Date: 3-OCT-2018  
 Account: RESBEA

Project: TROILUS SUMMER 2018

**CERTIFICATE OF ANALYSIS VO18227579**

Sample Description	Method Analyte Units LOD	ME-ICP41	ME-ICP41	ME-ICP41	ME-ICP41	ME-ICP41	ME-ICP41	ME-ICP41	ME-ICP41	ME-ICP41	ME-ICP41	ME-ICP41	ME-ICP41	ME-ICP41	ME-ICP41	
		Ga	Hg	K	La	Mg	Mn	Mo	Na	Ni	P	Pb	S	Sb	Sc	Sr
		ppm	ppm	%	ppm	%	ppm	ppm	%	ppm	ppm	ppm	%	ppm	ppm	ppm
		10	1	0.01	10	0.01	5	1	0.01	1	10	2	0.01	2	1	1
S649116		<10	<1	0.16	<10	0.83	302	<1	0.02	23	100	<2	0.02	<2	5	9
S649117		<10	<1	0.01	<10	4.13	213	1	0.01	499	200	3	1.26	<2	4	3
S649118		<10	<1	0.04	10	0.51	336	1	0.14	15	470	3	0.21	<2	4	19
S649119		<10	<1	0.01	<10	0.33	113	<1	0.01	8	30	<2	<0.01	<2	1	1
S649120		<10	<1	0.16	10	0.48	308	3	0.08	41	510	11	0.73	<2	5	57
S649121		10	<1	0.11	10	0.60	268	2	0.03	25	450	7	0.97	<2	6	25
S649383		10	<1	0.12	10	0.65	541	1	0.08	32	540	4	0.54	<2	8	20
S649384		<10	<1	<0.01	<10	0.06	76	<1	0.01	2	20	<2	0.01	<2	<1	1
S649385		<10	<1	0.01	<10	0.02	41	<1	0.01	1	<10	<2	<0.01	<2	<1	1
S649386		10	<1	0.05	<10	1.41	525	1	0.10	43	300	<2	0.14	3	9	10
S649387		<10	<1	<0.01	<10	<0.01	36	<1	0.01	1	<10	<2	<0.01	<2	<1	<1
S649388		<10	<1	0.03	<10	0.20	144	<1	0.01	11	40	<2	0.01	<2	1	3
S649392		<10	<1	<0.01	<10	0.19	106	<1	0.01	12	160	<2	0.01	<2	1	1
S649393		<10	<1	<0.01	<10	0.01	43	<1	0.01	1	<10	<2	<0.01	<2	<1	1
S649394		<10	<1	0.04	20	0.06	136	<1	0.06	2	540	3	0.05	<2	1	41
S649395		10	<1	0.03	10	1.44	907	1	0.01	69	160	4	2.16	<2	1	8
S649396		<10	<1	0.10	10	0.46	537	1	0.07	84	290	6	1.73	<2	4	22
S650051		10	<1	0.06	20	1.08	575	1	0.30	17	500	11	0.70	<2	6	160
S650052		<10	<1	<0.01	<10	0.09	233	3	0.01	270	30	4	>10.0	<2	<1	1
S650054		<10	<1	0.05	<10	0.94	559	1	0.13	77	150	<2	1.90	<2	11	5
S650055		<10	<1	0.03	<10	0.77	608	1	0.07	34	250	2	0.85	<2	14	4
S650056		<10	<1	0.17	10	0.49	392	1	0.16	47	320	16	>10.0	<2	1	33
S650057		<10	<1	0.11	10	0.50	327	1	0.09	49	280	18	>10.0	<2	1	19
S650058		10	<1	0.21	<10	0.79	711	<1	0.28	51	470	<2	0.23	<2	10	93
S650059		<10	<1	0.03	<10	0.71	832	<1	0.06	123	150	2	0.54	<2	12	2
S650060		20	<1	0.04	<10	1.65	1195	4	0.04	89	170	3	2.49	<2	8	4
S650061		<10	<1	0.01	<10	0.52	463	2	0.03	80	180	2	2.22	<2	6	4
S650062		10	<1	0.04	<10	0.91	639	<1	0.12	136	160	2	0.40	3	12	41
S650063		20	<1	0.65	<10	0.89	401	<1	0.33	110	470	<2	0.47	<2	18	79
S650065		<10	<1	<0.01	<10	7.76	513	<1	<0.01	489	110	<2	0.04	<2	5	<1
S650066		<10	1	0.03	<10	17.00	1135	<1	<0.01	1200	40	<2	0.02	<2	4	<1
S650071		<10	<1	<0.01	<10	0.07	236	<1	<0.01	3	10	2	0.01	<2	1	18
S650072		10	<1	0.08	10	1.09	698	1	0.13	44	560	<2	0.63	<2	11	7
S650073		10	<1	0.39	<10	0.90	555	<1	0.14	31	320	<2	0.01	<2	9	27
S650074		10	<1	0.26	10	1.00	759	<1	0.19	23	580	<2	1.02	<2	11	13
S650075		10	<1	0.48	<10	1.08	555	1	0.13	13	540	<2	0.32	<2	11	10
S650076		<10	1	0.17	10	0.36	333	<1	0.09	354	450	42	>10.0	<2	2	21
S650174		<10	<1	<0.01	<10	9.91	470	<1	<0.01	1310	50	<2	0.06	<2	5	<1
S650175		<10	<1	0.01	<10	11.35	354	<1	<0.01	790	50	<2	0.03	<2	6	<1
S650176		<10	<1	0.01	<10	15.70	1030	<1	<0.01	955	20	<2	0.16	<2	9	2



ALS Canada Ltd.  
 2103 Dollarton Hwy  
 North Vancouver BC V7H 0A7  
 Phone: +1 (604) 984 0221 Fax: +1 (604) 984 0218  
 www.alsglobal.com/geochemistry

To: BEAUFIELD RESOURCES INC.  
 950 - 1801 MCGILL COLLEGE AVENUE  
 MONTRÉAL QC H3A 2N4

Page: 2 - C  
 Total # Pages: 3 (A - C)  
 Plus Appendix Pages  
 Finalized Date: 3-OCT-2018  
 Account: RESBEA

Project: TROILUS SUMMER 2018

**CERTIFICATE OF ANALYSIS VO18227579**

Sample Description	Method Analyte Units LOD	ME-ICP41	ME-ICP41	ME-ICP41	ME-ICP41	ME-ICP41	ME-ICP41	
		Th	Ti	Ti	U	V	W	Zn
		ppm	%	ppm	ppm	ppm	ppm	ppm
		20	0.01	10	10	1	10	2
S649116		<20	0.06	<10	<10	44	<10	30
S649117		<20	0.02	<10	<10	52	<10	34
S649118		<20	0.11	<10	<10	45	<10	40
S649119		<20	0.01	<10	<10	14	<10	7
S649120		<20	0.06	<10	<10	20	<10	1130
S649121		<20	0.07	<10	<10	37	<10	311
S649383		<20	0.27	<10	<10	175	<10	304
S649384		<20	0.02	<10	<10	5	<10	5
S649385		<20	<0.01	<10	<10	2	<10	2
S649386		<20	0.29	<10	<10	102	<10	42
S649387		<20	<0.01	<10	<10	1	<10	<2
S649388		<20	0.04	<10	<10	15	<10	10
S649392		<20	0.01	<10	<10	8	<10	6
S649393		<20	<0.01	<10	<10	1	<10	<2
S649394		<20	0.05	<10	<10	4	<10	66
S649395		<20	0.01	<10	<10	28	<10	113
S649396		<20	0.04	<10	<10	30	<10	487
S650051		<20	0.04	<10	<10	32	<10	297
S650052		<20	0.03	<10	<10	4	<10	10
S650054		<20	0.08	<10	<10	62	<10	50
S650055		<20	0.08	<10	<10	103	<10	42
S650056		<20	0.04	<10	<10	12	<10	187
S650057		<20	0.03	<10	<10	9	<10	166
S650058		<20	0.26	<10	<10	138	<10	59
S650059		<20	0.03	<10	<10	208	<10	54
S650060		<20	0.08	<10	<10	75	<10	2840
S650061		<20	0.06	<10	<10	46	<10	178
S650062		<20	0.07	<10	<10	84	<10	257
S650063		<20	0.24	<10	<10	318	<10	169
S650065		<20	0.02	<10	<10	71	<10	56
S650066		<20	0.01	<10	<10	14	<10	39
S650071		<20	<0.01	<10	<10	3	<10	3
S650072		<20	0.22	<10	<10	124	<10	79
S650073		<20	0.19	<10	<10	86	<10	28
S650074		<20	0.22	<10	<10	153	<10	79
S650075		<20	0.22	<10	<10	161	<10	61
S650076		<20	0.03	10	<10	11	<10	113
S650174		<20	0.02	<10	<10	38	<10	8
S650175		<20	0.02	<10	<10	24	<10	8
S650176		<20	0.01	<10	<10	33	<10	36



ALS Canada Ltd.  
 2103 Dollarton Hwy  
 North Vancouver BC V7H 0A7  
 Phone: +1 (604) 984 0221 Fax: +1 (604) 984 0218  
 www.alsglobal.com/geochemistry

To: BEAUFIELD RESOURCES INC.  
 950 - 1801 MCGILL COLLEGE AVENUE  
 MONTRÉAL QC H3A 2N4

Page: 3 - A  
 Total # Pages: 3 (A - C)  
 Plus Appendix Pages  
 Finalized Date: 3-OCT-2018  
 Account: RESBEA

Project: TROILUS SUMMER 2018

**CERTIFICATE OF ANALYSIS VO18227579**

Sample Description	Method Analyte Units LOD	WEI-21 Recvd Wt. kg	Au-AA23 Au ppm	ME-ICP41 Ag ppm	ME-ICP41 Al %	ME-ICP41 As ppm	ME-ICP41 B ppm	ME-ICP41 Ba ppm	ME-ICP41 Be ppm	ME-ICP41 Bi ppm	ME-ICP41 Ca %	ME-ICP41 Cd ppm	ME-ICP41 Co ppm	ME-ICP41 Cr ppm	ME-ICP41 Cu ppm	ME-ICP41 Fe %
		0.02	0.005	0.2	0.01	2	10	10	0.5	2	0.01	0.5	1	1	1	0.01
S650177		1.15	0.005	0.4	0.02	4	<10	<10	<0.5	7	0.05	<0.5	201	96	3	>50
S650178		1.18	<0.005	<0.2	0.52	2	40	<10	<0.5	3	0.03	<0.5	108	658	<1	10.80
S650179		1.74	<0.005	<0.2	0.12	4	10	<10	<0.5	6	0.30	<0.5	109	66	2	>50
S650180		1.40	<0.005	<0.2	1.83	7	20	<10	<0.5	<2	0.07	<0.5	80	828	1	7.55
S650181		1.25	<0.005	0.2	2.29	<2	<10	30	<0.5	<2	0.63	<0.5	17	48	123	3.93
S650189		1.95	0.023	1.2	1.11	2	<10	10	<0.5	<2	0.14	1.0	227	24	1220	4.64
S650190		1.07	0.005	0.3	1.28	2	10	20	<0.5	<2	0.91	1.8	46	21	144	4.04
S650191		1.34	0.013	<0.2	0.86	3	<10	20	<0.5	<2	0.17	3.4	28	15	216	2.11
W952439		0.61	<0.005	<0.2	0.30	<2	<10	<10	<0.5	<2	0.23	<0.5	3	20	9	0.77
W952441		1.35	0.023	0.3	2.09	2	<10	10	<0.5	<2	0.89	<0.5	18	61	98	2.96
W952442		1.67	<0.005	<0.2	3.79	15	<10	<10	<0.5	<2	1.34	<0.5	35	115	124	5.93
W952443		2.28	<0.005	<0.2	2.90	10	<10	80	<0.5	2	1.46	<0.5	45	2	17	8.18
W952444		1.59	<0.005	<0.2	2.08	<2	<10	40	<0.5	<2	0.64	<0.5	7	19	6	4.00
W952445		1.05	<0.005	<0.2	0.48	<2	<10	<10	<0.5	<2	0.78	<0.5	3	20	13	0.92
W952446		1.76	<0.005	<0.2	0.54	<2	<10	<10	<0.5	<2	1.43	<0.5	7	35	2	0.99
W952447		1.27	<0.005	<0.2	2.06	<2	<10	<10	<0.5	<2	0.40	<0.5	20	203	1	2.56
W952449		0.64	0.005	<0.2	0.16	<2	<10	<10	<0.5	<2	0.08	<0.5	1	23	3	0.49



ALS Canada Ltd.  
 2103 Dollarton Hwy  
 North Vancouver BC V7H 0A7  
 Phone: +1 (604) 984 0221 Fax: +1 (604) 984 0218  
 www.alsglobal.com/geochemistry

To: BEAUFIELD RESOURCES INC.  
 950 - 1801 MCGILL COLLEGE AVENUE  
 MONTRÉAL QC H3A 2N4

Page: 3 - B  
 Total # Pages: 3 (A - C)  
 Plus Appendix Pages  
 Finalized Date: 3-OCT-2018  
 Account: RESBEA

Project: TROILUS SUMMER 2018

**CERTIFICATE OF ANALYSIS VO18227579**

Sample Description	Method Analyte Units LOD	ME-ICP41	ME-ICP41	ME-ICP41	ME-ICP41	ME-ICP41	ME-ICP41	ME-ICP41	ME-ICP41	ME-ICP41	ME-ICP41	ME-ICP41	ME-ICP41	ME-ICP41	ME-ICP41	
		Ga ppm	Hg ppm	K %	La ppm	Mg %	Mn ppm	Mo ppm	Na %	Ni ppm	P ppm	Pb ppm	S %	Sb ppm	Sc ppm	Sr ppm
		10	1	0.01	10	0.01	5	1	0.01	1	10	2	0.01	2	1	
S650177		<10	<1	<0.01	<10	0.38	818	<1	0.01	1745	20	4	0.01	<2	2	<1
S650178		<10	<1	<0.01	<10	10.00	407	<1	<0.01	998	50	2	0.03	<2	6	<1
S650179		<10	<1	<0.01	<10	2.44	383	<1	<0.01	858	20	<2	0.01	<2	2	<1
S650180		<10	<1	0.01	<10	10.90	603	<1	<0.01	854	50	2	0.02	<2	10	1
S650181		10	<1	0.06	10	2.03	2240	1	0.04	34	640	7	0.48	<2	3	21
S650189		10	<1	0.02	30	0.77	193	2	0.05	141	170	27	2.53	<2	5	4
S650190		<10	<1	0.12	20	0.64	346	2	0.08	66	600	21	2.46	<2	3	35
S650191		<10	<1	0.20	10	0.47	268	3	0.03	54	430	10	0.56	<2	2	5
W952439		<10	<1	<0.01	<10	0.15	86	<1	0.01	6	30	<2	0.01	<2	1	4
W952441		10	<1	0.03	10	1.74	443	<1	0.04	33	610	10	0.22	<2	3	45
W952442		10	<1	0.02	<10	3.41	939	<1	0.02	71	130	<2	0.04	<2	3	7
W952443		10	<1	0.30	<10	1.32	1030	<1	0.09	2	230	<2	0.10	<2	13	10
W952444		10	<1	0.15	10	0.94	672	<1	0.03	20	620	2	0.03	<2	1	14
W952445		<10	<1	0.01	<10	0.23	205	<1	0.02	7	340	2	0.02	<2	2	6
W952446		<10	<1	0.02	<10	0.43	251	<1	0.02	30	120	<2	0.01	<2	1	11
W952447		<10	<1	<0.01	<10	2.35	391	<1	0.01	97	40	<2	0.01	<2	3	1
W952449		<10	<1	0.01	<10	0.15	61	<1	<0.01	5	10	<2	0.01	<2	<1	<1

\*\*\*\*\* See Appendix Page for comments regarding this certificate \*\*\*\*\*



ALS Canada Ltd.  
 2103 Dollarton Hwy  
 North Vancouver BC V7H 0A7  
 Phone: +1 (604) 984 0221 Fax: +1 (604) 984 0218  
 www.alsglobal.com/geochemistry

To: BEAUFIELD RESOURCES INC.  
 950 - 1801 MCGILL COLLEGE AVENUE  
 MONTRÉAL QC H3A 2N4

Page: 3 - C  
 Total # Pages: 3 (A - C)  
 Plus Appendix Pages  
 Finalized Date: 3-OCT-2018  
 Account: RESBEA

Project: TROILUS SUMMER 2018

**CERTIFICATE OF ANALYSIS VO18227579**

Sample Description	Method Analyte Units LOD	ME-ICP41	ME-ICP41	ME-ICP41	ME-ICP41	ME-ICP41	ME-ICP41	
		Th	Ti	Ti	U	V	W	Zn
		ppm	%	ppm	ppm	ppm	ppm	ppm
		20	0.01	10	10	1	10	2
S650177		<20	0.07	10	<10	40	<10	10
S650178		<20	0.02	<10	<10	25	<10	9
S650179		<20	0.01	10	<10	10	<10	7
S650180		<20	0.02	<10	<10	55	<10	17
S650181		<20	0.11	<10	<10	42	<10	135
S650189		<20	0.08	<10	<10	26	<10	381
S650190		<20	0.06	<10	<10	21	<10	784
S650191		<20	0.08	<10	<10	13	<10	1000
W952439		<20	0.04	<10	<10	15	<10	4
W952441		<20	0.16	<10	<10	43	<10	70
W952442		<20	0.13	<10	<10	79	<10	90
W952443		<20	0.51	<10	<10	176	<10	88
W952444		<20	0.07	<10	<10	17	<10	51
W952445		<20	0.04	<10	<10	27	<10	11
W952446		<20	0.03	<10	<10	18	<10	15
W952447		<20	0.04	<10	<10	47	<10	23
W952449		<20	0.01	<10	<10	4	<10	3



ALS Canada Ltd.  
2103 Dollarton Hwy  
North Vancouver BC V7H 0A7  
Phone: +1 (604) 984 0221 Fax: +1 (604) 984 0218  
www.alsglobal.com/geochemistry

To: BEAUFIELD RESOURCES INC.  
950 - 1801 MCGILL COLLEGE AVENUE  
MONTREAL QC H3A 2N4

Page: Appendix 1  
Total # Appendix Pages: 1  
Finalized Date: 3-OCT-2018  
Account: RESBEA

Project: TROILUS SUMMER 2018

**CERTIFICATE OF ANALYSIS VO18227579**

**CERTIFICATE COMMENTS**

**LABORATORY ADDRESSES**

Applies to Method:	Processed at ALS Val d'Or located at 1324 Rue Turcotte, Val d'Or, QC, Canada.		
	Au-AA23	CRU-31	CRU-QC
	PUL-31	PUL-QC	SPL-21
			LOG-22
			WEI-21
Applies to Method:	Processed at ALS Vancouver located at 2103 Dollarton Hwy, North Vancouver, BC, Canada.		
	ME-ICP41		





ALS Canada Ltd.  
 2103 Dollarton Hwy  
 North Vancouver BC V7H 0A7  
 Phone: +1 (604) 984 0221 Fax: +1 (604) 984 0218  
 www.alsglobal.com/geochemistry

To: **BEAUFIELD RESOURCES INC.**  
**950 - 1801 MCGILL COLLEGE AVENUE**  
**MONTREAL QC H3A 2N4**

Page: 1  
 Total # Pages: 2 (A - C)  
 Plus Appendix Pages  
 Finalized Date: 25-SEP-2018  
 Account: RESBEA

**CERTIFICATE VO18227583**

Project: TROILUS SUMMER 2018

This report is for 6 Rock samples submitted to our lab in Val d'Or, QC, Canada on 30-AUG-2018.

The following have access to data associated with this certificate:

LENA STEPANIAN	MATHIEU STEPHENS
----------------	------------------

SAMPLE PREPARATION	
ALS CODE	DESCRIPTION
WEI-21	Received Sample Weight
LOG-22	Sample login - Rcd w/o BarCode
CRU-QC	Crushing QC Test
PUL-QC	Pulverizing QC Test
CRU-31	Fine crushing - 70% <2mm
SPL-21	Split sample - riffle splitter
PUL-31	Pulverize split to 85% <75 um

ANALYTICAL PROCEDURES		
ALS CODE	DESCRIPTION	INSTRUMENT
ME-OG46	Ore Grade Elements - AquaRegia	ICP-AES
Cu-OG46	Ore Grade Cu - Aqua Regia	
Au-AA23	Au 30g FA-AA finish	AAS
ME-ICP41	35 Element Aqua Regia ICP-AES	ICP-AES

This is the Final Report and supersedes any preliminary report with this certificate number. Results apply to samples as submitted. All pages of this report have been checked and approved for release.

\*\*\*\*\* See Appendix Page for comments regarding this certificate \*\*\*\*\*

Signature: *Nacera Amara*  
 Nacera Amara, Laboratory Manager, Val d'Or



ALS Canada Ltd.  
 2103 Dollarton Hwy  
 North Vancouver BC V7H 0A7  
 Phone: +1 (604) 984 0221 Fax: +1 (604) 984 0218  
 www.alsglobal.com/geochemistry

To: BEAUFIELD RESOURCES INC.  
 950 - 1801 MCGILL COLLEGE AVENUE  
 MONTRÉAL QC H3A 2N4

Page: 2 - A  
 Total # Pages: 2 (A - C)  
 Plus Appendix Pages  
 Finalized Date: 25-SEP-2018  
 Account: RESBEA

Project: TROILUS SUMMER 2018

**CERTIFICATE OF ANALYSIS VO18227583**

Sample Description	Method Analyte Units LOD	WEI-21 Recvd Wt. kg	Au-AA23 Au ppm	ME-ICP41 Ag ppm	ME-ICP41 Al %	ME-ICP41 As ppm	ME-ICP41 B ppm	ME-ICP41 Ba ppm	ME-ICP41 Be ppm	ME-ICP41 Bi ppm	ME-ICP41 Ca %	ME-ICP41 Cd ppm	ME-ICP41 Co ppm	ME-ICP41 Cr ppm	ME-ICP41 Cu ppm	ME-ICP41 Fe %
		0.02	0.005	0.2	0.01	2	10	10	0.5	2	0.01	0.5	1	1	1	0.01
S650053		1.92	0.039	1.2	0.61	8	<10	30	<0.5	<2	0.30	0.7	82	7	645	10.10
S650064		0.97	0.013	0.4	0.98	<2	<10	10	<0.5	<2	0.58	0.5	356	15	460	11.80
S650067		1.68	0.216	3.3	3.41	<2	<10	<10	<0.5	<2	3.13	0.9	70	108	8210	6.78
S650068		2.43	0.235	4.6	4.15	2	<10	<10	<0.5	<2	3.38	1.0	73	82	>10000	8.01
S650069		1.74	0.005	0.2	0.60	<2	<10	<10	<0.5	<2	0.61	<0.5	14	44	404	1.20
S650070		1.62	0.156	2.5	0.86	2	<10	10	<0.5	<2	1.23	0.7	26	33	4160	2.40



ALS Canada Ltd.  
 2103 Dollarton Hwy  
 North Vancouver BC V7H 0A7  
 Phone: +1 (604) 984 0221 Fax: +1 (604) 984 0218  
 www.alsglobal.com/geochemistry

To: BEAUFIELD RESOURCES INC.  
 950 - 1801 MCGILL COLLEGE AVENUE  
 MONTRÉAL QC H3A 2N4

Page: 2 - B  
 Total # Pages: 2 (A - C)  
 Plus Appendix Pages  
 Finalized Date: 25-SEP-2018  
 Account: RESBEA

Project: TROILUS SUMMER 2018

**CERTIFICATE OF ANALYSIS VO18227583**

Sample Description	Method Analyte Units LOD	ME-ICP41	ME-ICP41	ME-ICP41	ME-ICP41	ME-ICP41	ME-ICP41	ME-ICP41	ME-ICP41	ME-ICP41	ME-ICP41	ME-ICP41	ME-ICP41	ME-ICP41	ME-ICP41	
		Ga ppm 10	Hg ppm 1	K % 0.01	La ppm 10	Mg % 0.01	Mn ppm 5	Mo ppm 1	Na % 0.01	Ni ppm 1	P ppm 10	Pb ppm 2	S % 0.01	Sb ppm 2	Sc ppm 1	Sr ppm 1
S650053		<10	1	0.10	10	0.12	97	2	0.03	154	420	23	6.97	3	1	17
S650064		<10	1	0.03	<10	0.57	299	2	0.05	133	340	<2	5.30	<2	5	4
S650067		10	<1	<0.01	<10	3.22	728	<1	0.01	110	140	<2	0.80	2	17	22
S650068		10	<1	<0.01	<10	3.94	798	<1	<0.01	138	120	<2	0.93	6	15	20
S650069		<10	<1	<0.01	<10	0.53	166	<1	0.01	15	40	<2	0.05	<2	5	7
S650070		<10	<1	<0.01	<10	0.81	281	<1	0.01	38	70	<2	0.52	<2	4	7



ALS Canada Ltd.  
 2103 Dollarton Hwy  
 North Vancouver BC V7H 0A7  
 Phone: +1 (604) 984 0221 Fax: +1 (604) 984 0218  
 www.alsglobal.com/geochemistry

To: BEAUFIELD RESOURCES INC.  
 950 - 1801 MCGILL COLLEGE AVENUE  
 MONTRÉAL QC H3A 2N4

Page: 2 - C  
 Total # Pages: 2 (A - C)  
 Plus Appendix Pages  
 Finalized Date: 25-SEP-2018  
 Account: RESBEA

Project: TROILUS SUMMER 2018

**CERTIFICATE OF ANALYSIS VO18227583**

Sample Description	Method Analyte Units LOD	ME-ICP41	ME-ICP41	ME-ICP41	ME-ICP41	ME-ICP41	ME-ICP41	ME-ICP41	Cu-OG46
		Th	Ti	Tl	U	V	W	Zn	Cu
		ppm	%	ppm	ppm	ppm	ppm	ppm	%
		20	0.01	10	10	1	10	2	0.001
S650053		<20	0.03	<10	<10	8	<10	281	
S650064		<20	0.13	<10	<10	60	<10	30	
S650067		<20	0.13	<10	<10	135	<10	62	
S650068		<20	0.08	<10	<10	140	<10	73	0.993
S650069		<20	0.05	<10	<10	35	<10	12	
S650070		<20	0.03	<10	<10	33	<10	23	



ALS Canada Ltd.  
2103 Dollarton Hwy  
North Vancouver BC V7H 0A7  
Phone: +1 (604) 984 0221 Fax: +1 (604) 984 0218  
www.alsglobal.com/geochemistry

To: BEAUFIELD RESOURCES INC.  
950 - 1801 MCGILL COLLEGE AVENUE  
MONTREAL QC H3A 2N4

Page: Appendix 1  
Total # Appendix Pages: 1  
Finalized Date: 25-SEP-2018  
Account: RESBEA

Project: TROILUS SUMMER 2018

**CERTIFICATE OF ANALYSIS VO18227583**

**CERTIFICATE COMMENTS**

**LABORATORY ADDRESSES**

Applies to Method:	Processed at ALS Val d'Or located at 1324 Rue Turcotte, Val d'Or, QC, Canada.			
	Au-AA23	CRU-31	CRU-QC	LOG-22
	PUL-31	PUL-QC	SPL-21	WEI-21
Applies to Method:	Processed at ALS Vancouver located at 2103 Dollarton Hwy, North Vancouver, BC, Canada.			
	Cu-OG46	ME-ICP41	ME-OG46	



ALS Canada Ltd.  
 2103 Dollarton Hwy  
 North Vancouver BC V7H 0A7  
 Phone: +1 (604) 984 0221 Fax: +1 (604) 984 0218  
 www.alsglobal.com/geochemistry

To: **BEAUFIELD RESOURCES INC.**  
**950 - 1801 MCGILL COLLEGE AVENUE**  
**MONTREAL QC H3A 2N4**

Page: 1  
 Total # Pages: 2 (A - C)  
 Plus Appendix Pages  
 Finalized Date: 14-OCT-2018  
 Account: RESBEA

**CERTIFICATE VO18236780**

Project: Troilus Summer 2018

This report is for 6 Rock samples submitted to our lab in Val d'Or, QC, Canada on 3-OCT-2018.

The following have access to data associated with this certificate:

LENA STEPANIAN	MATHIEU STEPHENS
----------------	------------------

SAMPLE PREPARATION	
ALS CODE	DESCRIPTION
WEI-21	Received Sample Weight
LOG-22	Sample login - Rcd w/o BarCode
CRU-QC	Crushing QC Test
PUL-QC	Pulverizing QC Test
CRU-31	Fine crushing - 70% <2mm
SPL-21	Split sample - riffle splitter
PUL-31	Pulverize split to 85% <75 um

ANALYTICAL PROCEDURES		
ALS CODE	DESCRIPTION	INSTRUMENT
Au-AA23	Au 30g FA-AA finish	AAS
ME-ICP41	35 Element Aqua Regia ICP-AES	ICP-AES

This is the Final Report and supersedes any preliminary report with this certificate number. Results apply to samples as submitted. All pages of this report have been checked and approved for release.

\*\*\*\*\* See Appendix Page for comments regarding this certificate \*\*\*\*\*

Signature: *Nacera Amara*  
 Nacera Amara, Laboratory Manager, Val d'Or



ALS Canada Ltd.  
 2103 Dollarton Hwy  
 North Vancouver BC V7H 0A7  
 Phone: +1 (604) 984 0221 Fax: +1 (604) 984 0218  
 www.alsglobal.com/geochemistry

To: BEAUFIELD RESOURCES INC.  
 950 - 1801 MCGILL COLLEGE AVENUE  
 MONTRÉAL QC H3A 2N4

Page: 2 - A  
 Total # Pages: 2 (A - C)  
 Plus Appendix Pages  
 Finalized Date: 14-OCT-2018  
 Account: RESBEA

Project: Troilus Summer 2018

**CERTIFICATE OF ANALYSIS VO18236780**

Sample Description	Method Analyte Units LOD	WEI-21 Recvd Wt. kg	Au-AA23 Au ppm	ME-ICP41 Ag ppm	ME-ICP41 Al %	ME-ICP41 As ppm	ME-ICP41 B ppm	ME-ICP41 Ba ppm	ME-ICP41 Be ppm	ME-ICP41 Bi ppm	ME-ICP41 Ca %	ME-ICP41 Cd ppm	ME-ICP41 Co ppm	ME-ICP41 Cr ppm	ME-ICP41 Cu ppm	ME-ICP41 Fe %
		0.02	0.005	0.2	0.01	2	10	10	0.5	2	0.01	0.5	1	1	1	0.01
S649111		1.95	0.019	0.4	0.76	13	<10	30	<0.5	<2	0.12	<0.5	25	21	102	10.30
S649112		1.29	0.005	<0.2	1.49	<2	<10	70	<0.5	<2	0.44	<0.5	15	69	44	3.51
S649113		1.12	<0.005	<0.2	0.58	<2	<10	20	<0.5	<2	0.56	<0.5	3	9	5	1.42
S649114		1.13	0.005	<0.2	1.05	<2	<10	120	<0.5	<2	0.46	<0.5	43	72	305	2.97
S649115		1.12	<0.005	<0.2	0.18	<2	<10	<10	<0.5	<2	0.04	<0.5	2	39	2	0.53
S649398		0.85	0.023	0.5	0.61	7	<10	10	<0.5	<2	0.17	0.6	37	18	222	5.92



ALS Canada Ltd.  
 2103 Dollarton Hwy  
 North Vancouver BC V7H 0A7  
 Phone: +1 (604) 984 0221 Fax: +1 (604) 984 0218  
 www.alsglobal.com/geochemistry

To: BEAUFIELD RESOURCES INC.  
 950 - 1801 MCGILL COLLEGE AVENUE  
 MONTRÉAL QC H3A 2N4

Page: 2 - B  
 Total # Pages: 2 (A - C)  
 Plus Appendix Pages  
 Finalized Date: 14-OCT-2018  
 Account: RESBEA

Project: Troilus Summer 2018

**CERTIFICATE OF ANALYSIS VO18236780**

Sample Description	Method	ME-ICP41	ME-ICP41	ME-ICP41	ME-ICP41	ME-ICP41	ME-ICP41	ME-ICP41	ME-ICP41	ME-ICP41	ME-ICP41	ME-ICP41	ME-ICP41	ME-ICP41	ME-ICP41	
	Analyte	Ga	Hg	K	La	Mg	Mn	Mo	Na	Ni	P	Pb	S	Sb	Sc	Sr
Units		ppm	ppm	%	ppm	%	ppm	ppm	%	ppm	ppm	ppm	%	ppm	ppm	ppm
LOD		10	1	0.01	10	0.01	5	1	0.01	1	10	2	0.01	2	1	1
S649111		<10	<1	0.09	10	0.56	322	2	0.03	47	330	6	8.75	<2	1	6
S649112		10	<1	0.15	<10	0.99	331	<1	0.04	38	200	<2	0.25	<2	5	4
S649113		<10	<1	0.07	10	0.23	310	<1	0.02	3	640	<2	0.09	<2	1	14
S649114		<10	<1	0.36	<10	0.65	197	<1	0.06	22	420	<2	0.60	<2	4	10
S649115		<10	<1	<0.01	<10	0.14	69	<1	0.01	5	80	<2	<0.01	<2	<1	2
S649398		<10	<1	0.03	<10	0.38	231	3	0.04	69	210	17	2.17	<2	2	17

\*\*\*\*\* See Appendix Page for comments regarding this certificate \*\*\*\*\*





ALS Canada Ltd.  
 2103 Dollarton Hwy  
 North Vancouver BC V7H 0A7  
 Phone: +1 (604) 984 0221 Fax: +1 (604) 984 0218  
 www.alsglobal.com/geochemistry

To: BEAUFIELD RESOURCES INC.  
 950 - 1801 MCGILL COLLEGE AVENUE  
 MONTRÉAL QC H3A 2N4

Page: 2 - C  
 Total # Pages: 2 (A - C)  
 Plus Appendix Pages  
 Finalized Date: 14-OCT-2018  
 Account: RESBEA

Project: Troilus Summer 2018

CERTIFICATE OF ANALYSIS VO18236780
------------------------------------

Sample Description	Method	ME-ICP41	ME-ICP41	ME-ICP41	ME-ICP41	ME-ICP41	ME-ICP41	ME-ICP41
	Analyte	Th	Ti	Ti	U	V	W	Zn
	Units	ppm	%	ppm	ppm	ppm	ppm	ppm
LOD	20	0.01	10	10	1	10	2	
S649111		<20	0.06	<10	<10	18	<10	108
S649112		<20	0.09	<10	<10	98	<10	48
S649113		<20	0.05	<10	<10	5	<10	44
S649114		<20	0.13	<10	<10	54	<10	19
S649115		<20	0.01	<10	<10	5	<10	5
S649398		<20	0.01	<10	<10	12	<10	202



ALS Canada Ltd.  
2103 Dollarton Hwy  
North Vancouver BC V7H 0A7  
Phone: +1 (604) 984 0221 Fax: +1 (604) 984 0218  
www.alsglobal.com/geochemistry

To: BEAUFIELD RESOURCES INC.  
950 - 1801 MCGILL COLLEGE AVENUE  
MONTREAL QC H3A 2N4

Page: Appendix 1  
Total # Appendix Pages: 1  
Finalized Date: 14-OCT-2018  
Account: RESBEA

Project: Troilus Summer 2018

**CERTIFICATE OF ANALYSIS VO18236780**

**CERTIFICATE COMMENTS**

**LABORATORY ADDRESSES**

Applies to Method:	Processed at ALS Val d'Or located at 1324 Rue Turcotte, Val d'Or, QC, Canada.		
	Au-AA23	CRU-31	CRU-QC
	PUL-31	PUL-QC	SPL-21
			LOG-22
			WEI-21
Applies to Method:	Processed at ALS Vancouver located at 2103 Dollarton Hwy, North Vancouver, BC, Canada.		
	ME-ICP41		



ALS Canada Ltd.  
 2103 Dollarton Hwy  
 North Vancouver BC V7H 0A7  
 Phone: +1 (604) 984 0221 Fax: +1 (604) 984 0218  
 www.alsglobal.com/geochemistry

To: **BEAUFIELD RESOURCES INC.**  
**950 - 1801 MCGILL COLLEGE AVENUE**  
**MONTREAL QC H3A 2N4**

Page: 1  
 Total # Pages: 2 (A - C)  
 Plus Appendix Pages  
 Finalized Date: 7-OCT-2018  
 Account: RESBEA

**CERTIFICATE VO18236786**

Project: TROILUS SUMMER 2018

This report is for 17 Rock samples submitted to our lab in Val d'Or, QC, Canada on 25-SEP-2018.

The following have access to data associated with this certificate:

LENA STEPANIAN	MATHIEU STEPHENS
----------------	------------------

SAMPLE PREPARATION	
ALS CODE	DESCRIPTION
WEI-21	Received Sample Weight
LOG-22	Sample login - Rcd w/o BarCode
CRU-31	Fine crushing - 70% <2mm
SPL-21	Split sample - riffle splitter
PUL-31	Pulverize split to 85% <75 um

ANALYTICAL PROCEDURES		
ALS CODE	DESCRIPTION	INSTRUMENT
Au-AA23	Au 30g FA-AA finish	AAS
ME-ICP41	35 Element Aqua Regia ICP-AES	ICP-AES

This is the Final Report and supersedes any preliminary report with this certificate number. Results apply to samples as submitted. All pages of this report have been checked and approved for release.

\*\*\*\*\* See Appendix Page for comments regarding this certificate \*\*\*\*\*

Signature: *Nacera Amara*  
 Nacera Amara, Laboratory Manager, Val d'Or



ALS Canada Ltd.  
 2103 Dollarton Hwy  
 North Vancouver BC V7H 0A7  
 Phone: +1 (604) 984 0221 Fax: +1 (604) 984 0218  
 www.alsglobal.com/geochemistry

To: BEAUFIELD RESOURCES INC.  
 950 - 1801 MCGILL COLLEGE AVENUE  
 MONTRÉAL QC H3A 2N4

Page: 2 - A  
 Total # Pages: 2 (A - C)  
 Plus Appendix Pages  
 Finalized Date: 7-OCT-2018  
 Account: RESBEA

Project: TROILUS SUMMER 2018

**CERTIFICATE OF ANALYSIS VO18236786**

Sample Description	Method Analyte Units LOD	WEI-21 Recvd Wt. kg	Au-AA23 Au ppm	ME-ICP41 Ag ppm	ME-ICP41 Al %	ME-ICP41 As ppm	ME-ICP41 B ppm	ME-ICP41 Ba ppm	ME-ICP41 Be ppm	ME-ICP41 Bi ppm	ME-ICP41 Ca %	ME-ICP41 Cd ppm	ME-ICP41 Co ppm	ME-ICP41 Cr ppm	ME-ICP41 Cu ppm	ME-ICP41 Fe %
		0.02	0.005	0.2	0.01	2	10	10	0.5	2	0.01	0.5	1	1	1	0.01
S650001		0.88	0.044	1.4	2.18	143	<10	10	<0.5	<2	0.47	<0.5	113	155	675	13.80
S650002		0.72	0.054	2.1	1.81	<2	<10	60	<0.5	3	0.23	4.9	52	22	2540	6.85
S650003		0.98	0.009	1.1	1.24	17	<10	20	<0.5	<2	0.14	7.9	77	35	683	5.89
S650004		1.20	0.016	0.6	0.79	<2	10	20	<0.5	2	0.28	<0.5	42	11	541	24.2
S650005		1.22	<0.005	0.3	0.66	3	10	20	<0.5	<2	0.48	0.6	31	36	99	3.18
S650006		1.19	0.015	1.0	0.59	5	10	20	<0.5	2	0.27	0.7	39	19	554	11.55
S650007		0.41	0.237	1.0	0.01	<2	<10	<10	<0.5	3	0.49	1.5	93	1	782	11.65
S650008		2.11	0.422	0.3	0.16	<2	<10	<10	<0.5	2	1.30	<0.5	19	11	288	3.17
S650009		1.54	0.059	0.2	0.70	<2	10	10	<0.5	2	0.39	<0.5	31	43	47	8.94
S650010		3.08	0.038	0.2	0.61	<2	<10	30	<0.5	2	0.59	<0.5	17	39	35	5.04
S650011		0.82	0.062	0.5	1.56	103	20	30	<0.5	2	0.35	<0.5	93	18	447	7.33
S650012		0.62	0.038	0.3	1.30	<2	20	30	<0.5	2	0.66	<0.5	20	61	262	4.43
S650013		1.10	0.038	0.8	0.88	524	<10	30	<0.5	3	0.43	4.4	140	44	867	3.18
S650014		2.13	0.121	0.8	0.02	<2	<10	<10	<0.5	4	0.31	<0.5	87	3	336	10.55
S650015		1.54	0.012	0.6	3.42	<2	<10	320	<0.5	2	0.47	<0.5	50	78	662	7.24
S650016		1.21	0.019	0.2	1.88	<2	<10	50	<0.5	2	0.66	<0.5	50	67	618	6.67
S650017		0.92	0.014	0.3	2.42	<2	<10	10	<0.5	<2	0.80	<0.5	67	126	739	13.15



ALS Canada Ltd.  
 2103 Dollarton Hwy  
 North Vancouver BC V7H 0A7  
 Phone: +1 (604) 984 0221 Fax: +1 (604) 984 0218  
 www.alsglobal.com/geochemistry

To: BEAUFIELD RESOURCES INC.  
 950 - 1801 MCGILL COLLEGE AVENUE  
 MONTRÉAL QC H3A 2N4

Page: 2 - B  
 Total # Pages: 2 (A - C)  
 Plus Appendix Pages  
 Finalized Date: 7-OCT-2018  
 Account: RESBEA

Project: TROILUS SUMMER 2018

**CERTIFICATE OF ANALYSIS VO18236786**

Sample Description	Method Analyte Units LOD	ME-ICP41	ME-ICP41	ME-ICP41	ME-ICP41	ME-ICP41	ME-ICP41	ME-ICP41	ME-ICP41	ME-ICP41	ME-ICP41	ME-ICP41	ME-ICP41	ME-ICP41	ME-ICP41	
		Ga ppm	Hg ppm	K %	La ppm	Mg %	Mn ppm	Mo ppm	Na %	Ni ppm	P ppm	Pb ppm	S %	Sb ppm	Sc ppm	Sr ppm
		10	1	0.01	10	0.01	5	1	0.01	1	10	2	0.01	2	1	1
S650001		10	<1	0.02	<10	1.75	972	4	0.04	234	180	20	7.78	<2	18	14
S650002		10	<1	0.96	10	1.04	419	1	0.06	57	540	39	2.94	<2	4	8
S650003		<10	1	0.16	30	0.59	231	4	0.01	195	1270	14	2.59	<2	3	6
S650004		<10	<1	0.07	10	0.54	265	1	0.01	213	590	6	9.64	<2	1	10
S650005		<10	<1	0.09	20	0.41	128	1	0.05	61	570	18	2.26	<2	3	39
S650006		<10	<1	0.07	10	0.37	194	1	0.04	122	510	18	8.90	<2	1	10
S650007		<10	1	<0.01	<10	0.11	381	1	<0.01	197	740	3	6.01	<2	<1	6
S650008		<10	<1	0.01	<10	0.22	121	1	0.01	32	260	<2	2.05	<2	<1	20
S650009		<10	<1	0.08	<10	0.63	198	1	0.03	39	360	6	5.06	<2	3	7
S650010		<10	<1	0.15	10	0.53	228	<1	0.05	32	430	4	2.77	<2	3	10
S650011		10	<1	0.10	10	1.14	422	3	0.06	185	290	6	4.28	<2	2	26
S650012		<10	<1	0.17	<10	0.70	187	1	0.05	34	200	2	0.85	<2	7	15
S650013		10	<1	0.10	<10	0.49	148	3	0.04	193	140	11	2.04	<2	2	11
S650014		<10	<1	<0.01	10	0.14	201	8	<0.01	164	140	<2	5.88	<2	<1	5
S650015		10	<1	1.99	10	2.32	707	1	0.06	50	710	2	0.69	<2	8	9
S650016		10	<1	0.50	10	0.79	93	1	0.18	73	620	2	2.99	<2	5	24
S650017		10	<1	0.15	50	1.51	259	2	0.04	88	2170	3	3.01	<2	4	7



ALS Canada Ltd.  
 2103 Dollarton Hwy  
 North Vancouver BC V7H 0A7  
 Phone: +1 (604) 984 0221 Fax: +1 (604) 984 0218  
 www.alsglobal.com/geochemistry

To: BEAUFIELD RESOURCES INC.  
 950 - 1801 MCGILL COLLEGE AVENUE  
 MONTRÉAL QC H3A 2N4

Page: 2 - C  
 Total # Pages: 2 (A - C)  
 Plus Appendix Pages  
 Finalized Date: 7-OCT-2018  
 Account: RESBEA

Project: TROILUS SUMMER 2018

**CERTIFICATE OF ANALYSIS VO18236786**

Sample Description	Method Analyte Units LOD	ME-ICP41	ME-ICP41	ME-ICP41	ME-ICP41	ME-ICP41	ME-ICP41	
		Th	Ti	Ti	U	V	W	Zn
		ppm	%	ppm	ppm	ppm	ppm	ppm
		20	0.01	10	10	1	10	2
S650001		<20	0.07	<10	<10	125	<10	104
S650002		<20	0.14	<10	<10	39	<10	2130
S650003		<20	0.09	<10	<10	20	<10	3230
S650004		<20	0.03	<10	<10	15	<10	69
S650005		<20	0.08	<10	<10	18	<10	226
S650006		<20	0.04	<10	<10	17	<10	324
S650007		<20	<0.01	<10	<10	1	<10	710
S650008		<20	0.01	<10	<10	5	<10	95
S650009		<20	0.08	<10	<10	33	<10	51
S650010		<20	0.06	<10	<10	29	<10	56
S650011		<20	0.04	<10	<10	12	<10	92
S650012		<20	0.21	<10	<10	76	<10	25
S650013		<20	0.12	<10	<10	29	<10	993
S650014		<20	<0.01	<10	<10	1	<10	112
S650015		<20	0.39	<10	<10	152	<10	107
S650016		<20	0.12	<10	<10	87	<10	15
S650017		<20	0.10	<10	<10	61	<10	35



ALS Canada Ltd.  
2103 Dollarton Hwy  
North Vancouver BC V7H 0A7  
Phone: +1 (604) 984 0221 Fax: +1 (604) 984 0218  
www.alsglobal.com/geochemistry

To: BEAUFIELD RESOURCES INC.  
950 - 1801 MCGILL COLLEGE AVENUE  
MONTREAL QC H3A 2N4

Page: Appendix 1  
Total # Appendix Pages: 1  
Finalized Date: 7-OCT-2018  
Account: RESBEA

Project: TROILUS SUMMER 2018

**CERTIFICATE OF ANALYSIS VO18236786**

**CERTIFICATE COMMENTS**

**LABORATORY ADDRESSES**

Applies to Method:	Processed at ALS Val d'Or located at 1324 Rue Turcotte, Val d'Or, QC, Canada.		
	Au-AA23	CRU-31	LOG-22
	SPL-21	WEI-21	PUL-31
Applies to Method:	Processed at ALS Vancouver located at 2103 Dollarton Hwy, North Vancouver, BC, Canada.		
	ME-ICP41		



ALS Canada Ltd.  
 2103 Dollarton Hwy  
 North Vancouver BC V7H 0A7  
 Phone: +1 (604) 984 0221 Fax: +1 (604) 984 0218  
 www.alsglobal.com/geochemistry

To: BEAUFIELD RESOURCES INC.  
 950 - 1801 MCGILL COLLEGE AVENUE  
 MONTRÉAL QC H3A 2N4

Page: 1  
 Total # Pages: 2 (A - C)  
 Plus Appendix Pages  
 Finalized Date: 14-OCT-2018  
 Account: RESBEA

**CERTIFICATE VO18241902**

Project: TROILUS SUMMER 2018

This report is for 16 Rock samples submitted to our lab in Val d'Or, QC, Canada on 25-SEP-2018.

The following have access to data associated with this certificate:

LENA STEPANIAN	MATHIEU STEPHENS
----------------	------------------

SAMPLE PREPARATION	
ALS CODE	DESCRIPTION
WEI-21	Received Sample Weight
LOG-22	Sample login - Rcd w/o BarCode
CRU-QC	Crushing QC Test
PUL-QC	Pulverizing QC Test
CRU-31	Fine crushing - 70% <2mm
SPL-21	Split sample - riffle splitter
PUL-31	Pulverize split to 85% <75 um

ANALYTICAL PROCEDURES		
ALS CODE	DESCRIPTION	INSTRUMENT
Au-AA23	Au 30g FA-AA finish	AAS
ME-ICP41	35 Element Aqua Regia ICP-AES	ICP-AES

This is the Final Report and supersedes any preliminary report with this certificate number. Results apply to samples as submitted. All pages of this report have been checked and approved for release.

\*\*\*\*\* See Appendix Page for comments regarding this certificate \*\*\*\*\*

Signature: *Nacera Amara*  
 Nacera Amara, Laboratory Manager, Val d'Or





ALS Canada Ltd.  
 2103 Dollarton Hwy  
 North Vancouver BC V7H 0A7  
 Phone: +1 (604) 984 0221 Fax: +1 (604) 984 0218  
 www.alsglobal.com/geochemistry

To: BEAUFIELD RESOURCES INC.  
 950 - 1801 MCGILL COLLEGE AVENUE  
 MONTRÉAL QC H3A 2N4

Page: 2 - A  
 Total # Pages: 2 (A - C)  
 Plus Appendix Pages  
 Finalized Date: 14-OCT-2018  
 Account: RESBEA

Project: TROILUS SUMMER 2018

**CERTIFICATE OF ANALYSIS VO18241902**

Sample Description	Method Analyte Units LOD	WEI-21 Recvd Wt. kg	Au-AA23 Au ppm	ME-ICP41 Ag ppm	ME-ICP41 Al %	ME-ICP41 As ppm	ME-ICP41 B ppm	ME-ICP41 Ba ppm	ME-ICP41 Be ppm	ME-ICP41 Bi ppm	ME-ICP41 Ca %	ME-ICP41 Cd ppm	ME-ICP41 Co ppm	ME-ICP41 Cr ppm	ME-ICP41 Cu ppm	ME-ICP41 Fe %
		0.02	0.005	0.2	0.01	2	10	10	0.5	2	0.01	0.5	1	1	1	0.01
S649179		1.53	0.048	2.0	0.69	<2	<10	10	<0.5	<2	0.42	<0.5	49	10	847	16.45
S649180		0.88	0.029	1.3	1.78	<2	<10	20	<0.5	<2	0.76	1.8	76	20	587	11.95
S649181		1.82	0.022	1.1	0.90	9	<10	10	<0.5	2	0.20	0.7	37	8	339	7.09
S649182		1.45	0.027	1.3	2.56	4	<10	20	<0.5	<2	1.13	3.5	200	16	741	11.30
S649183		1.45	0.018	0.4	1.33	6	10	20	<0.5	<2	0.52	0.9	25	15	249	7.72
S649184		2.09	0.069	1.1	1.33	562	<10	10	<0.5	<2	0.54	<0.5	140	34	451	7.53
S649185		0.77	0.013	0.4	1.02	2	<10	40	<0.5	2	0.35	3.2	62	16	345	5.35
S649186		0.89	0.025	2.2	1.55	159	10	10	<0.5	<2	0.46	8.0	133	48	3020	10.95
S649187		1.72	0.015	0.8	1.39	6	20	20	<0.5	<2	0.24	<0.5	72	30	216	11.15
S649188		1.57	<0.005	<0.2	2.58	<2	<10	30	<0.5	<2	0.35	<0.5	61	19	3	4.16
S649189		1.06	0.010	0.4	0.95	2	10	20	<0.5	<2	0.75	2.1	47	16	280	6.61
S649190		1.23	0.008	0.7	0.58	46	10	10	<0.5	<2	0.25	<0.5	107	11	219	21.7
S649191		1.59	0.154	0.8	1.96	9	<10	10	<0.5	<2	0.25	2.1	137	24	537	17.50
S649192		1.48	0.053	0.2	3.08	40	<10	30	<0.5	<2	1.60	<0.5	50	177	594	22.0
S649199		0.73	0.011	0.4	0.91	<2	<10	30	<0.5	<2	0.50	1.5	43	6	246	5.01
S649200		0.94	0.030	1.2	1.11	2	<10	10	<0.5	<2	0.47	5.7	96	14	847	4.56



ALS Canada Ltd.  
 2103 Dollarton Hwy  
 North Vancouver BC V7H 0A7  
 Phone: +1 (604) 984 0221 Fax: +1 (604) 984 0218  
 www.alsglobal.com/geochemistry

To: BEAUFIELD RESOURCES INC.  
 950 - 1801 MCGILL COLLEGE AVENUE  
 MONTRÉAL QC H3A 2N4

Page: 2 - B  
 Total # Pages: 2 (A - C)  
 Plus Appendix Pages  
 Finalized Date: 14-OCT-2018  
 Account: RESBEA

Project: TROILUS SUMMER 2018

**CERTIFICATE OF ANALYSIS VO18241902**

Sample Description	Method Analyte Units LOD	ME-ICP41	ME-ICP41	ME-ICP41	ME-ICP41	ME-ICP41	ME-ICP41	ME-ICP41	ME-ICP41	ME-ICP41	ME-ICP41	ME-ICP41	ME-ICP41	ME-ICP41	ME-ICP41	
		Ga ppm	Hg ppm	K %	La ppm	Mg %	Mn ppm	Mo ppm	Na %	Ni ppm	P ppm	Pb ppm	S %	Sb ppm	Sc ppm	Sr ppm
		10	1	0.01	10	0.01	5	1	0.01	1	10	2	0.01	2	1	1
S649179		<10	<1	0.06	<10	0.49	359	3	0.02	226	240	7	>10.0	<2	3	10
S649180		<10	<1	0.06	10	0.72	284	2	0.11	150	210	13	9.61	<2	2	34
S649181		<10	<1	0.11	10	0.80	318	2	0.04	63	330	31	2.80	<2	1	12
S649182		10	<1	0.03	10	1.14	398	2	0.11	159	320	14	>10.0	<2	5	44
S649183		<10	<1	0.10	20	1.03	346	2	0.04	61	600	11	5.73	<2	2	25
S649184		10	<1	0.07	10	1.16	196	6	0.10	193	500	11	6.24	<2	4	27
S649185		<10	<1	0.26	10	0.55	438	2	0.07	74	440	13	3.17	<2	3	19
S649186		10	<1	0.10	10	0.84	346	2	0.10	429	370	16	7.36	<2	2	49
S649187		10	<1	0.06	<10	1.14	258	2	0.04	92	370	9	>10.0	<2	2	11
S649188		10	<1	0.18	20	2.32	457	2	0.02	151	520	2	0.02	<2	3	5
S649189		<10	1	0.12	20	0.33	222	2	0.06	81	520	21	4.11	<2	2	36
S649190		<10	<1	0.06	10	0.17	87	1	0.06	103	300	17	>10.0	<2	2	17
S649191		10	<1	0.04	10	1.42	958	3	0.07	319	160	27	>10.0	<2	8	11
S649192		10	<1	0.18	<10	0.48	156	1	0.34	604	50	3	9.98	<2	4	26
S649199		<10	<1	0.15	20	0.20	106	2	0.10	71	630	10	2.76	<2	1	55
S649200		<10	<1	0.07	10	0.26	208	3	0.11	177	200	21	3.55	<2	1	30



ALS Canada Ltd.  
 2103 Dollarton Hwy  
 North Vancouver BC V7H 0A7  
 Phone: +1 (604) 984 0221 Fax: +1 (604) 984 0218  
 www.alsglobal.com/geochemistry

To: BEAUFIELD RESOURCES INC.  
 950 - 1801 MCGILL COLLEGE AVENUE  
 MONTRÉAL QC H3A 2N4

Page: 2 - C  
 Total # Pages: 2 (A - C)  
 Plus Appendix Pages  
 Finalized Date: 14-OCT-2018  
 Account: RESBEA

Project: TROILUS SUMMER 2018

**CERTIFICATE OF ANALYSIS VO18241902**

Sample Description	Method Analyte Units LOD	ME-ICP41	ME-ICP41	ME-ICP41	ME-ICP41	ME-ICP41	ME-ICP41	
		Th	Ti	Ti	U	V	W	Zn
		ppm	%	ppm	ppm	ppm	ppm	ppm
		20	0.01	10	10	1	10	2
S649179		<20	0.02	<10	<10	19	<10	62
S649180		<20	0.01	<10	<10	11	<10	632
S649181		<20	0.03	<10	<10	10	<10	324
S649182		<20	0.01	<10	<10	24	<10	1220
S649183		<20	0.08	<10	<10	21	<10	482
S649184		<20	0.07	<10	<10	20	<10	77
S649185		<20	0.07	<10	<10	26	<10	1470
S649186		<20	0.02	<10	<10	12	<10	3590
S649187		<20	0.11	<10	<10	36	<10	71
S649188		<20	0.18	<10	<10	21	<10	43
S649189		<20	0.05	<10	<10	15	<10	1030
S649190		<20	0.04	<10	<10	13	<10	118
S649191		<20	0.06	<10	<10	42	<10	1210
S649192		<20	0.06	10	<10	106	<10	28
S649199		<20	0.06	<10	<10	8	<10	668
S649200		<20	<0.01	<10	<10	4	<10	2680



ALS Canada Ltd.  
2103 Dollarton Hwy  
North Vancouver BC V7H 0A7  
Phone: +1 (604) 984 0221 Fax: +1 (604) 984 0218  
www.alsglobal.com/geochemistry

To: BEAUFIELD RESOURCES INC.  
950 - 1801 MCGILL COLLEGE AVENUE  
MONTREAL QC H3A 2N4

Page: Appendix 1  
Total # Appendix Pages: 1  
Finalized Date: 14-OCT-2018  
Account: RESBEA

Project: TROILUS SUMMER 2018

**CERTIFICATE OF ANALYSIS VO18241902**

**CERTIFICATE COMMENTS**

**LABORATORY ADDRESSES**

Applies to Method:	Processed at ALS Val d'Or located at 1324 Rue Turcotte, Val d'Or, QC, Canada.		
	Au-AA23	CRU-31	CRU-QC
	PUL-31	PUL-QC	SPL-21
			LOG-22
			WEI-21
Applies to Method:	Processed at ALS Vancouver located at 2103 Dollarton Hwy, North Vancouver, BC, Canada.		
	ME-ICP41		

---

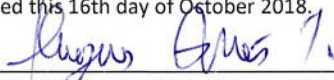
**Appendix VIII : Certificate of qualification**

## **CERTIFICATE OF QUALIFICATION (Hugues Guérin Tremblay)**

I, Hugues Guérin Tremblay, P.Geo., do hereby certify that:

- 1- I am geologist and the President of :  
Laurentia Exploration Inc.  
2300 Chemin de la Rive  
Alma (Qc)  
G8B 5V3
- 2- I am qualified geologist, having receive my academic formation at Université du Québec à Chicoutimi (UQAC) in 2011;
- 3- This cetificate applies to the Technical Report entiled "Summer 2018 fieldwork on the Troilus-Tortigny property". This report was written for Beaufield Resources dated in October 2018;
- 4- I'm a member of Ordre des Géologue du Québec (OGQ), #1584, of the Québec Mining Exploration Association (AEMQ) and the Prospectors and Developers Association of Canada (PDAC);
- 5- I have field experience of mapping, prospecting, sampling, understanding and compiling data for base metals and gold in weak to highly metamorphic terrane of Archean Shield. Especialy in James Bay (La Grande Sub-Province, Ashuanipi Sub-Province, Opitica Sub-Province and Opinaca Sub-Province) and Chibougamau, Chapais, Lebel-sur-Quevillon (Abitibi Sub-Province). I have the same experience for industrial minerals in highly and deformed terrane in the Grenville Province. Especialy in Anorthositic Suite in Saguenay-Lac-St-Jean and Metasedimental rocks in southern part of Québec. I have worked as a geologist for a total of 8 years since my university's graduation. I have been involved for all aspect of exploration and definition work (planning, supervision, execution, organisation, etc...I have been in charge of geologists, engineers, technicals team, technicians and all others person who work on the geological project. I also wrote numerous reports for gold, bases metals and industrials mineralisation. I was in charge of the team, all geological work, geotechnical work, hydrogeological and the logistic for the Pre-Fesability studies and Fesability study of Lac à Paul Project 200 km in North of Saguenay. I plan and supervise lot of field visit for financing and Ministry inspection. Finally, I interpreted and modelisated the 3D geological model in Lac à Paul and I participated of numerous resources estimate on this project;
- 6- I am not aware of any material fact or material change with respect to the subject matter of the Report that is not reflected in the report, the omission to disclose which makes the Report misleading;
- 7- I had no prior involvement with the property that is subject of this report;
- 8- I'm independent of the issuer of Beaufield Resources.

Dated this 16th day of October 2018.

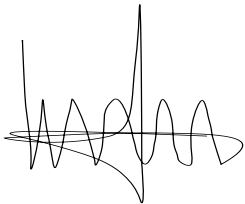
  
Hugues Guérin Tremblay, P. Geo., OGQ, AEMQ, PDAC



## Certificate of qualification

I, the undersigned Pape Doudou Tague, residing at 2059 rue des Roitelets, Chicoutimi, Quebec, G7H 0B6, Canada, certify that:

- I am currently employed at Laurentia Exploration, 2300 chemin de la Rive, Alma, Quebec, G8B 5V3, Canada.
- I graduated from the University of Quebec at Chicoutimi where I obtained my bachelor's degree in geological engineering in 2016.
- I have nine (9) months of experience in the field of mineral exploration and geological mapping and I have worked in Quebec, mainly in the Baie-James area.
- I am a geologist # 2044 of the "Ordre des Géologues du Québec".
- I worked full-time as a geologist in training for the 2018 field campaign on the Urban and Troilus properties owned by Beaufield Resources Inc.
- I am responsible for the writing of several sections of this report based on data generated in the field and by Beaufield Resources Inc. and data from various authors and other sources as reported in the References section of this report.
- I am not aware of any material fact or significant change in the subject that is not reflected in this report or the omission of data which would render it misleading.
- I made this report according to the best of my geoscience knowledge.



Pape Doudou Tague, Geologist in training  
#OGQ : 2044

October 2018

---

## CERTIFICATE OF AUTHOR

I, Mathieu Stephens, reside 5390 West River Drive, Manotick (Ontario), K4M 1G4, and hereby certify that:

- I am currently employed as Professional Geologist with Beaufield Resources Inc., 950 - 1801 McGill College Ave, Montreal, Quebec, H3A 2N4
- I graduated from the "Université du Québec à Montréal" with a B.Sc. in Geology in 1999.
- I have been working as a Professional Geologist in mineral exploration, since 2012.
- I am a Professional Geologist and a registered member of the "Ordre des Géologues du Québec" (#1467).
- I am involved in the Troilus since the fall of 2008.
- I am a qualified person with respect with Urban property in accordance with section 5.1 of the National Instrument 43-101.
- I do not fulfill the requirements set out in section 1.5 of National Instrument 43-101 for an "independent qualified person" relative to the issuer, being part of the stock option plan of Beaufield Resources Inc.
- I have reviewed all sections of the report titled "Summer 2018 Fieldwork on the Troilus-Tortingy Property" and dated October 12<sup>th</sup>, 2018.
- I have not visited the property in 2018
- I am not aware of any missing information or changes, which would cause this report to be misleading.

Dated in Montreal on this 5<sup>th</sup> day of November 2018.

"Mathieu Stephens"



---

Mathieu Stephens, P. Geo